#### Радиологические паспорта испытательных площадок на территории Семипалатинского испытательного полигона

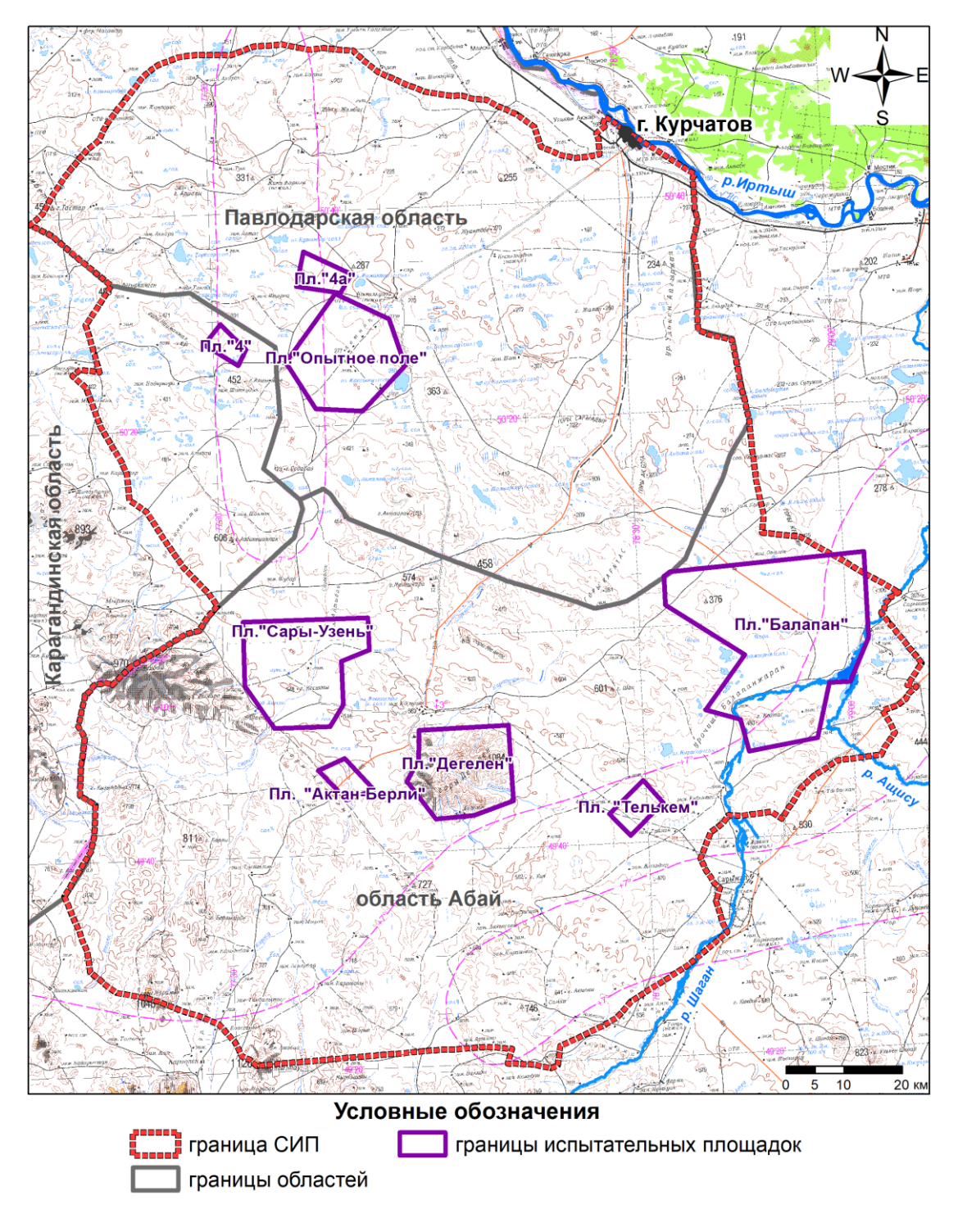


Рисунок 1. Схема расположения испытательных площадок на территории СИП

# Республиканское государственное предприятие на праве хозяйственного ведения «НАЦИОНАЛЬНЫЙ ЯДЕРНЫЙ ЦЕНТР РЕСПУБЛИКИ КАЗАХСТАН» Филиал «Институт радиационной безопасности и экологии»

## РАДИОЛОГИЧЕСКИЙ ПАСПОРТ ИСПЫТАТЕЛЬНОЙ ПЛОЩАДКИ «САРЫ-УЗЕНЬ»

#### 1. Общая характеристика испытательной площадки

**Название:** «Сары-Узень» (Рисунок 1, Рисунок 2).

**Предназначение:** проведение подземных ядерных взрывов в вертикальных выработках – скважинах.

Административное месторасположение расположение: область Абай.

**Географические координаты:** 49°57′39′′ с. ш. 77°40′09′′ в. д.

Площадь: ~325 км<sup>2</sup>. **Периметр:** 73,7 км.

**Условия проведения испытаний ядерного оружия:** подземные ядерные взрывы (средняя глубина закладки боезаряда 350 м) и модельные эксперименты.

Период проведения испытаний ядерного оружия: с 1965 по 1980 гг. [1, 2, 3, 4, 5].

Количество подземных ядерных взрывов: 24 испытаний в 25 скважинах [3].

Характеристика источника радиоактивного загрязнения объектов окружающей среды:

- испытания на выброс грунта;
- внештатные аварийные ситуации во время проведения испытаний;
- привнесение загрязнение от наземных ядерных испытаний;
- антропогенная деятельность (добыча металлолома, вскрытие штолен).

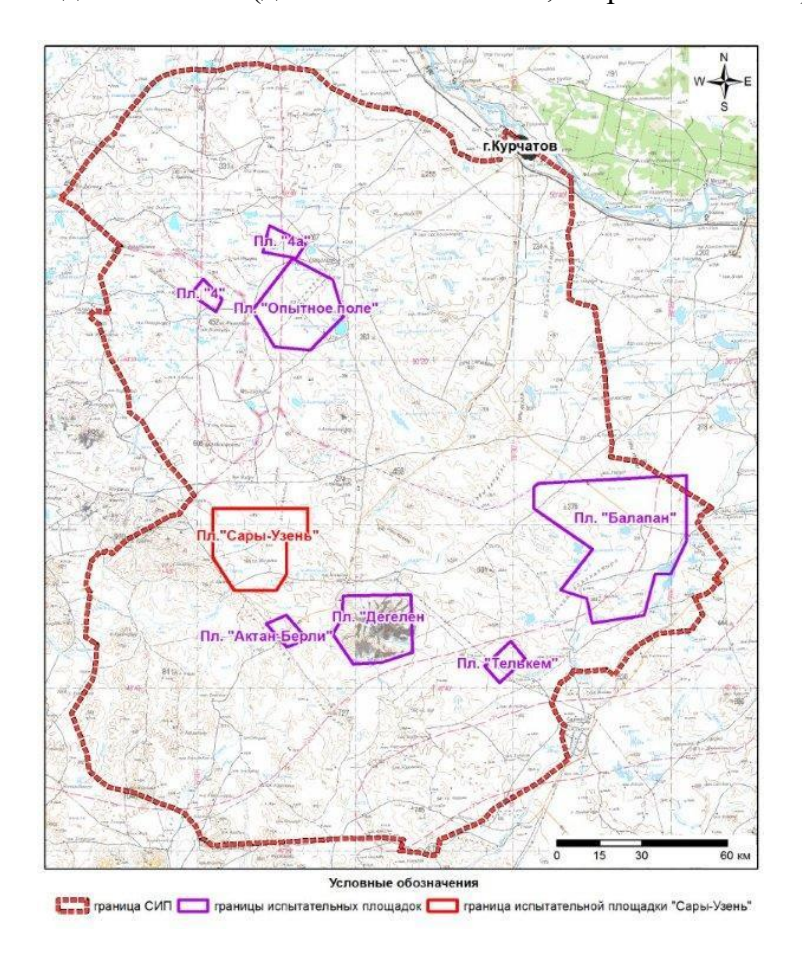


Рисунок 1. Карта-схема расположения испытательных площадок на территории СИП

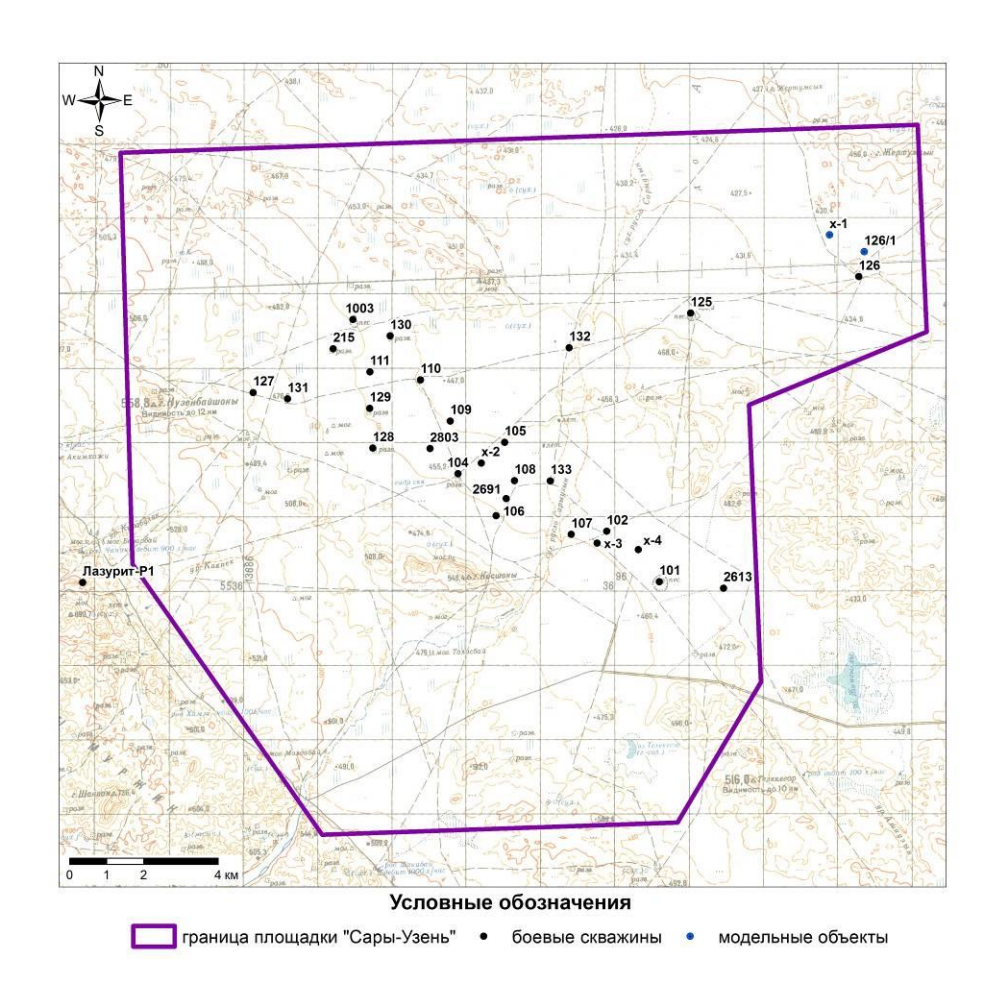


Рисунок 2. Карта-схема расположения боевых скважин на территории испытательной площадки «Сары-Узень»

Историческая информация о подземных ядерных взрывах на территории испытательной площадки «Сары-Узень» представлена в приложении (Приложение 1, Таблица 1), [1, 2, 3, 4].

#### 2. Текущая радиоэкологическая ситуация окружающей среды

Актуальная информация о радиоэкологической обстановке окружающей среды испытательной площадки «Сары-Узень» получена в результате проведения комплексного экологического обследования земель Семипалатинского испытательного полигона в рамках выполнения работ по бюджетной программе 036 «Развитие атомных и энергетических проектов».

Значения площадной активности радионуклидов в почвенном покрове сравнивались со значениями, установленными в приложении 13 Критериев оценки экологической обстановки территорий, утвержденных приказом и.о. Министра экологии, геологии и природных ресурсов Республики Казахстан от 13 августа 2021 года № 327 «Об утверждении Критериев оценки экологической обстановки территорий».

Значения удельной активности радионуклидов в воде сравнивались со значениями уровней вмешательства, установленными в приложении 19 Гигиенических нормативов к обеспечению радиационной безопасности, утвержденных приказом Министра здравоохранения Республики Казахстан от 2 августа 2022 года № ҚР ДСМ-71 «Об утверждении гигиенических нормативов к обеспечению радиационной безопасности».

Значения объемной активности радионуклидов в воздухе сравнивались со значениями допустимой среднегодовой объемной активности, установленными для категории «население» в приложении 4 Гигиенических нормативов к обеспечению радиационной безопасности, утвержденных приказом Министра здравоохранения Республики Казахстан от 2 августа 2022 года № ҚР ДСМ-71 «Об утверждении гигиенических нормативов к обеспечению радиационной безопасности».

Значения удельной активности радионуклидов в объектах животного мира сравнивались со значениями допустимых уровней, установленными в приложении 5 Гигиенических нормативов к обеспечению радиационной безопасности, утвержденных приказом Министра здравоохранения Республики Казахстан от 2 августа 2022 года № ҚР ДСМ-71 «Об утверждении гигиенических нормативов к обеспечению радиационной безопасности».

#### 2.1 Радиоактивное загрязнение почвы

Радиационные параметры на поверхности почвенного покрова на территории испытательной площадки:

- $\bullet$  диапазон значений мощности эквивалентной дозы гамма-излучения на поверхности почвы: 0,1-65 мкЗв/ч (предел измерения используемой аппаратуры -10 мЗв/ч);
- диапазон значений плотности потока бета-частиц:  $<10-8,0\times10^2$  част/(см<sup>2</sup>·мин) (предел измерения используемой аппаратуры -10 част/(см<sup>2</sup>·мин);
  - диапазон значений плотности потока альфа-частиц: нет измерений.

**Основные техногенные радионуклиды:** <sup>241</sup>Am, <sup>137</sup>Cs, <sup>90</sup>Sr, <sup>239+240</sup>Pu.

- диапазон удельных активностей основных техногенных радионуклидов, Бк/кг:
  - $^{241}$ Am:  $<0,3-1,2\times10^5$ ;
  - $^{-137}$ Cs:  $<0.1-4.8\times10^4$ ;
  - $^{90}$ Sr:  $<0,2-2,4\times10^4$ ;
  - $^{239+240}$ Pu:  $< 0.1 1.9 \times 10^6$ .

Количество радиационно-опасных объектов: 30 объектов (испытательные скважины, объекты с модельными экспериментами) (Рисунок 2

). Обследование внутри скважин не проводилось.

**Количество радиационно-загрязненных участко**в: 7 участков (схема расположения — Рисунок 3, радиационные характеристики — Таблица 1).

Диапазон значений площадной активности основных техногенных радионуклидов,  $\kappa \mathbf{F} \kappa / \mathbf{m}^2$ :

- $\bullet$  <sup>241</sup>Am  $< 4.9 \times 10^2 7.8 \times 10^3$ ;
- $^{137}$ Cs  $< 75 3.1 \times 10^3$ ;
- $\bullet$  90Sr <1,2×10<sup>2</sup>-1,6×10<sup>3</sup>;
- $\bullet$  <sup>239+240</sup>Pu <4,1×10<sup>2</sup>– 1,2×10<sup>5</sup>.

Площадь радиоактивного загрязнения,  $M^2$ : 9,4×10<sup>5</sup>.

Средняя глубина залегания радионуклидов, м: 0,1.

Плотность почвы, г/см<sup>3</sup>: 1,3.

**Объем радиоактивного грунта, м<sup>3</sup>:**  $1,5 \times 10^6$ .

Запас радионуклидов (по максимальным значениям удельных активностей радионуклидов в почве), Бк:  $^{241}$ Am  $-8.8\times10^{11};$   $^{137}$ Cs  $-1.8\times10^{13};$   $^{90}$ Sr  $-2.3\times10^{13};$   $^{239+240}$ Pu  $-1.2\times10^{14}$ 

Дополнительная информация о радиоактивном загрязнении почвы радиационнозагрязненных участков испытательной площадки «Сары-Узень» представлена в приложении (ПРИЛОЖЕНИЕ 2).

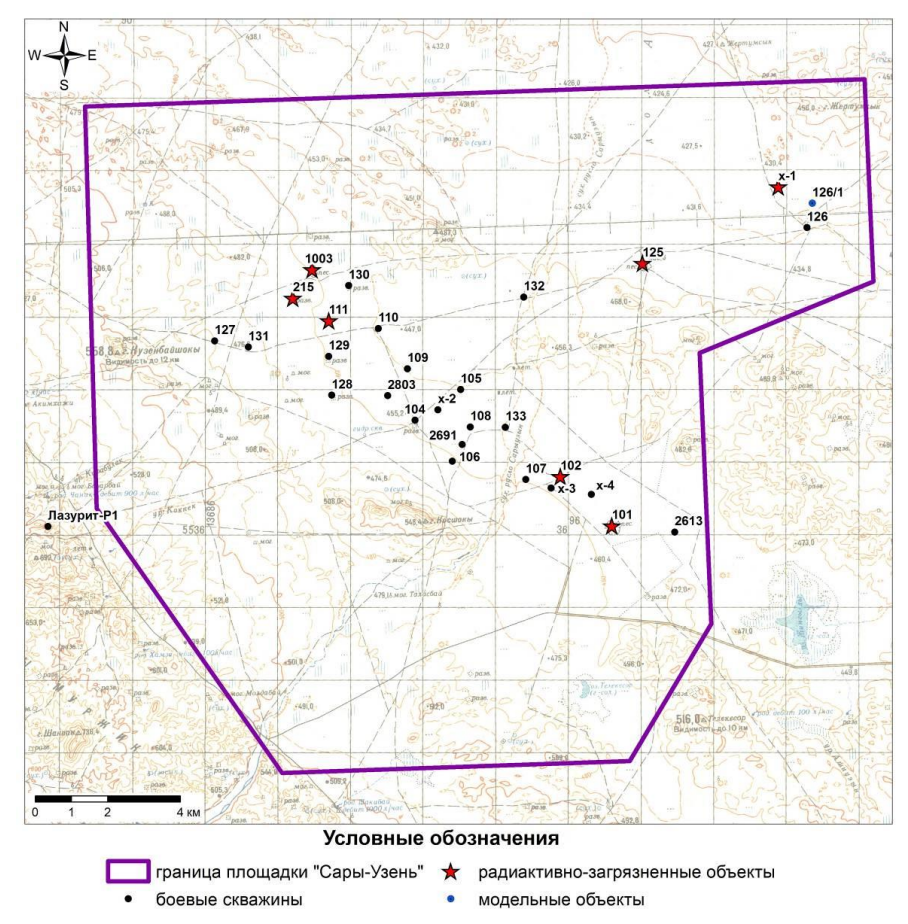


Рисунок 3. Карта-схема расположения радиационно-опасных объектов на площадке «Сары-Узень»

Таблица 1. Информация о радиоактивном загрязнении в поверхностном слое почвы радиационно-опасных объектов площадки «Сары-Узень»

| No. | Та           |                      | <sup>90</sup> Sr    |                      | <sup>137</sup> Cs   |                     |                      |                      | <sup>239+240</sup> Pu |                      |                      | <sup>241</sup> Am   |                      |
|-----|--------------|----------------------|---------------------|----------------------|---------------------|---------------------|----------------------|----------------------|-----------------------|----------------------|----------------------|---------------------|----------------------|
| Л/п | №<br>oбъекта | Аs,<br>кБк/м²        | V, м <sup>3</sup>   | А, Бк                | As,<br>кБк/м²       | V, m <sup>3</sup>   | А, Бк                | Аs,<br>кБк/м²        | V, m <sup>3</sup>     | А, Бк                | Аs,<br>кБк/м²        | V, m <sup>3</sup>   | А, Бк                |
| 1   | 101          | 9,1×10 <sup>2</sup>  | 1,1×10 <sup>6</sup> | 2,0×10 <sup>13</sup> | 6,5×10 <sup>2</sup> | 1,1×10 <sup>6</sup> | 1,4×10 <sup>13</sup> | 7,5×10 <sup>2</sup>  | 1,1×10 <sup>6</sup>   | 1,6×10 <sup>13</sup> | <4,9×10 <sup>2</sup> | -                   | -                    |
| 2   | 102          | 2,6×10 <sup>2</sup>  | 1,2×10 <sup>2</sup> | 6,2×10 <sup>8</sup>  | $3,1\times10^{3}$   | 2,2×10 <sup>2</sup> | 1,4×10 <sup>10</sup> | <4,1×10 <sup>2</sup> | -                     | -                    | <4,9×10 <sup>2</sup> | -                   | -                    |
| 3   | 111          | <1,2×10 <sup>2</sup> | -                   | -                    | 7,9×10 <sup>2</sup> | 5,8×10 <sup>2</sup> | 9,2×10 <sup>9</sup>  | <4,1×10 <sup>2</sup> | -                     | -                    | <4,9×10 <sup>2</sup> | -                   | -                    |
| 4   | 125          | <1,2×10 <sup>2</sup> | -                   | -                    | <75                 | -                   | -                    | 6,3×10 <sup>2</sup>  | 3,4×10 <sup>5</sup>   | 4,3×10 <sup>12</sup> | <4,9×10 <sup>2</sup> | -                   | -                    |
| 5   | 215          | 7,2×10 <sup>2</sup>  | $3,2\times10^{3}$   | 4,6×10 <sup>10</sup> | $2,1\times10^{3}$   | 4,9×10 <sup>3</sup> | 2,0×10 <sup>11</sup> | 1,2×10 <sup>5</sup>  | 3,0×10 <sup>4</sup>   | 7,4×10 <sup>13</sup> | 7,8×10 <sup>3</sup>  | 5,6×10 <sup>3</sup> | 8,7×10 <sup>11</sup> |
| 6   | 1003         | 1,6×10 <sup>3</sup>  | 9,1×10 <sup>4</sup> | 2,8×10 <sup>12</sup> | 1,8×10 <sup>3</sup> | 9,6×10 <sup>4</sup> | 3,4×10 <sup>12</sup> | 9,8×10 <sup>3</sup>  | 1,0×10 <sup>5</sup>   | 2,0×10 <sup>13</sup> | <4,9×10 <sup>2</sup> | -                   | -                    |
| 7   | x-1          | <1,2×10 <sup>2</sup> | -                   | -                    | <75                 | -                   | -                    | 4,8×10 <sup>4</sup>  | 8,8×10 <sup>2</sup>   | 6,9×10 <sup>11</sup> | 5,4×10 <sup>3</sup>  | 81                  | 7,2×10 <sup>9</sup>  |

#### 2.2 Радиоактивное загрязнение поверхностных вод площадки

Диапазон удельных активностей основных техногенных радионуклидов, Бк/м<sup>3</sup>:

- $^{241}$ Am: <1.0;
- $^{137}$ Cs:  $<1.0\times10^{-2}-2.2$ :
- $^{90}$ Sr:  $<0,1-5,3\times10^2$ ;
- <sup>239+240</sup>Pu: <3.7×10<sup>-4</sup>– 12:
- ${}^{3}\text{H}$ : <6.0–8.5×10 ${}^{4}$ .

#### 2.3 Радиоактивное загрязнение подземных вод площадки

Диапазон удельных активностей основных техногенных радионуклидов, Бк/м<sup>3</sup>:

- $^{241}$ Am: <3,0;
- $^{137}$ Cs: <0,4 9,5;
- $\bullet$  90Sr: <0,1 22;
- $\bullet$  <sup>239+240</sup>Pu: <1,5×10<sup>-4</sup>;
- $\bullet$  <sup>3</sup>H: <6,0 3,0×10<sup>4</sup>.

#### 2.4 Радиоактивное загрязнение атмосферного воздуха

Диапазон удельных активностей основных техногенных радионуклидов, Бк/кг:

- $\bullet$  <sup>241</sup>Am:  $<6.0\times10^{-8}-2.6\times10^{2}$ ;
- $^{137}$ Cs:  $<5.0\times10^{-7} 3.6\times10^{3}$ :
- $^{90}$ Sr:  $<1.9\times10^{-7}-1.9\times10^{-2}$ :
- $\bullet$  <sup>239+240</sup>Pu: <4.9×10<sup>-6</sup> 5.1×10<sup>-2</sup>.

#### 2.5 Радиоактивное загрязнение растительного покрова

Диапазон удельных активностей основных техногенных радионуклидов, Бк/кг:

- $\bullet$  <sup>241</sup>Am: <0,1 6,0×10<sup>2</sup>;
- $^{137}$ Cs:  $<0,1-1,2\times10^3$ :
- $\bullet$  90Sr:  $<0.9-4.5\times10^3$ ;
- $\bullet$  <sup>239+240</sup>Pu: <0.1 7.3×10<sup>4</sup>.

#### 2.6 Радиоактивное загрязнение объектов животного мира

Диапазон удельных активностей основных техногенных радионуклидов, Бк/кг:

- $\bullet$  <sup>241</sup>Am: <4,0×10<sup>-2</sup> 3.7:
- $^{137}$ Cs:  $<1.3-3.6\times10^2$ :
- $\bullet$  90Sr: <1,2 6,6×10<sup>3</sup>;
- $\bullet$  <sup>239+240</sup>Pu: <1,0×10<sup>-2</sup>-3,6.

#### приложение 1

#### Хронология испытаний ядерного оружия на территории испытательной площадки «Сары-Узень»

Таблица 1. Хронология испытаний ядерного оружия на территории площадки «Сары-Узень»

| №<br>п/<br>п | №<br>скв. | Дата<br>испытания | Цель<br>испыт<br>ания | Мощность<br>испытания | Радиаци<br>онный<br>эффект | №<br>п/п | № скв.          | Дата<br>испытания | Цель<br>испыт<br>ания | Мощность<br>испытания | Радиаци<br>онный<br>эффект |
|--------------|-----------|-------------------|-----------------------|-----------------------|----------------------------|----------|-----------------|-------------------|-----------------------|-----------------------|----------------------------|
| 1            | 101       | 18.12.1966        | ОПЗ                   | 20-150                | BHK-<br>HPC                | 16       | 129             | 19.06.1971        | ОЯО                   | 0,001-20              | ВНК                        |
| 2            | 102       | 16.09.1967        | ОЯО                   | 0,001-20              | ВНК                        | 17       | 130             | 29.03.1977        | ОЯО                   | 20-150                | ВНК                        |
| 3            | 104       | 21.07.1970        | ОЯО                   | 0,001-20              | ВКП                        | 18       | 131             | 19.04.1973        | СЯО                   | 0,001-20              | ВНК                        |
| 4            | 105       | 22.09.1967        | ОЯО                   | 10                    | ВКП                        | 19       | 132             | 26.08.1972        | СЯО                   | 0,001-20              | ВНК                        |
| 5            | 106       | 22.11.1967        | ОЯО                   | 0,001-20              | ВКП                        | 20       | 133             | 04.08.1976        | СЯО                   | 0,001-20              | ВНК                        |
| 6            | 107       | 28.12.1969        | ОЯО                   | 46                    | ВКП                        | 21       | 215             | 28.11.1974        | СЯО                   | 0,001-20              | BHK-<br>HPC                |
| 7            | 108       | 31.05.1969        | ОЯО                   | 0,001-20              | ВНК                        | 22       | 1003            | 14.10.1965        | ПВ                    | 1,1                   | ВВГ                        |
| 8            | 109       | 16.02.1979        | ОЯО                   | 0,001-20              | ВНК                        | 23       | 2613            | 18.07.1979        | ОЯО                   | 0,001-20              | ВКП                        |
| 9            | 110       | 06.06.1971        | ОЯО                   | 16                    | ВНК                        | 24       | 2691            | 19.03.1978        | ОЯО                   | 0,001-20              | ВКП                        |
| 10           | 111       | 09.10.1971        | ОЯО                   | 12                    | BHK-<br>HPC                | 25       | 2803            | 16.02.1979        | СЯО                   | 0,001-20              | ВНК                        |
| 11           | 125       | 04.11.1970        | ОПЗ                   | 0,001-20              | ВНК                        | 26       | Р-1,<br>Лазурит | 07.12.1974        | ПВ                    | 1,7                   | ВНК                        |
| 12           | 126       | 04.04.1980        | ОЯО                   | 0,001-20              | ВКП                        | 27       | X-1             | -                 | -                     | -                     | -                          |
| 13           | 126/1     | -                 | -                     | -                     | -                          | 28       | X-2             | -                 | -                     | -                     | -                          |
| 14           | 127       | 21.10.1971        | ОЯО                   | 23                    | ВНК                        | 29       | X-3             | -                 | -                     | -                     | -                          |
| 15           | 128       | 02.09.1972        | ОЯО                   | 2                     | ВНК                        | 30       | X-4             | -                 | -                     | -                     | -                          |

Сокращения: ВВГ — взрыв с выбросом грунта

ВКП — взрыв камуфлета полного

ВНК — взрыв неполного камуфлета

ВНК-НРС — взрыв неполного камуфлета с нештатной радиационной ситуацией

ОПЗ — отработка промышленных зарядов (для производства ядерных взрывов в мирных целях);

ПВ — промышленные ядерные взрывы (проведение в мирных целях, отработка технологии);

СЯО — совершенствование ядерного оружия

#### Перечень радиационно-опасных объектов испытательной площадки «Сары-Узень»

На основании данных по лабораторным анализам и анализу карт площадного распределения техногенных радионуклидов приустьевых площадок скважин установлен перечень радиационно-опасных объектов (Рисунок 4).

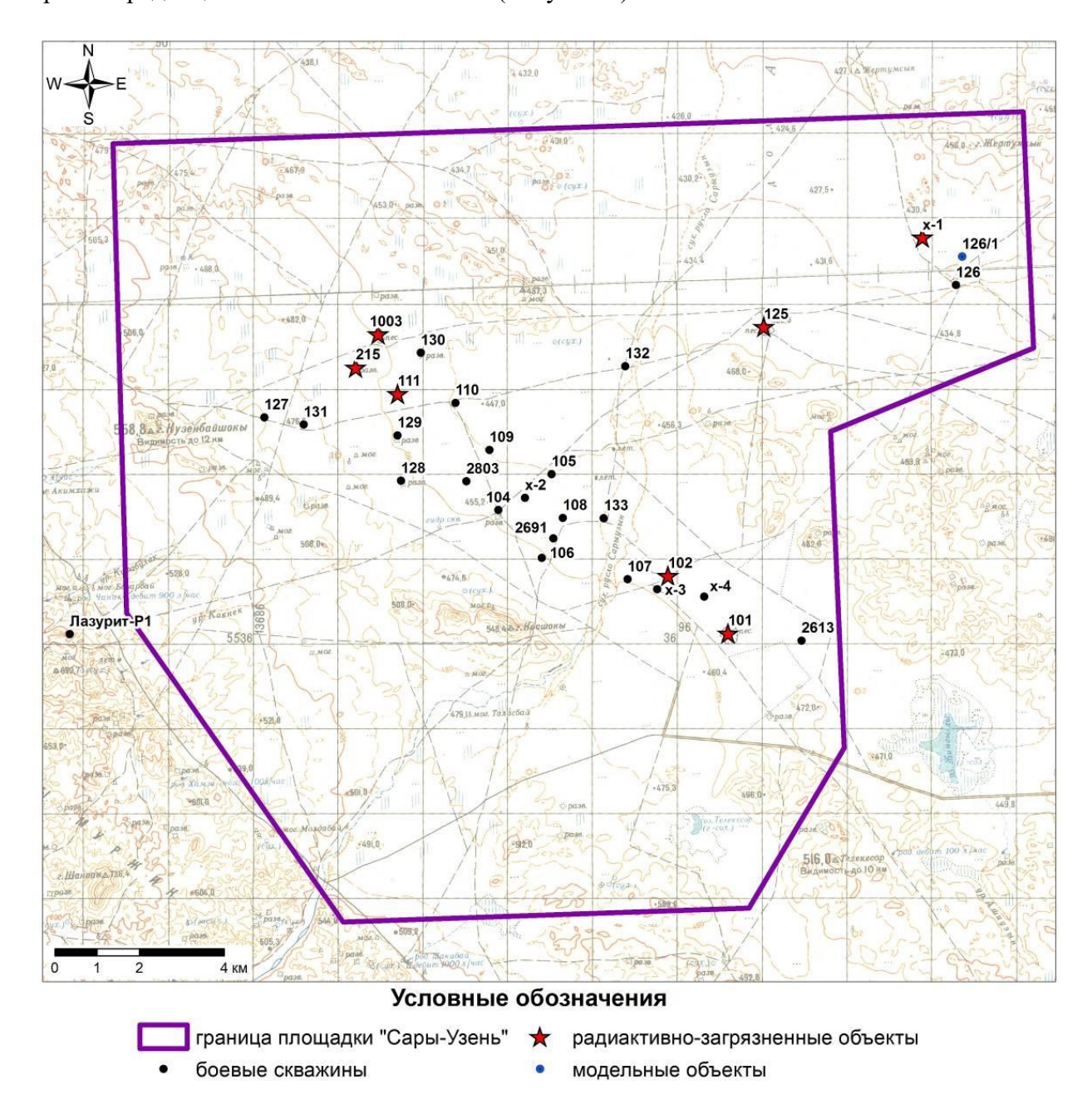


Рисунок 4. Карта-схема площадки «Сары-Узень» с обозначением радиационно-опасных объектов

#### Место расположения

Территория приустьевой площадки скважины расположена в юго-восточной части площадки «Сары-Узень» на расстоянии 3 км в западном направлении от ее границы. Географические координаты представлены в таблице (Таблица 2).

Таблица 2. Географические координаты скважины №101

| No over | Географические координаты |        |    |         |    |    |  |
|---------|---------------------------|--------|----|---------|----|----|--|
| № скв   |                           | Широта |    | Долгота |    |    |  |
| 101     | 49                        | 55     | 30 | 77      | 44 | 47 |  |

#### Характеристика источника радиационного загрязнения

18.12.1966 г. проведен подземный экскавационный ядерный взрыв. Цель проведения испытания — ОПЗ (отработка промышленных зарядов для производства ядерных взрывов в мирных целях). Мощность взрыва — 20-150 кт; радиационный эффект — ВНК (НРС) — нештатная радиационная ситуация.

Поствзрывные изменения дневной поверхности наблюдаются в виде воронки диаметром 350-400 м, высотой навала 10-15 м. Дно воронки заполнено водой.

#### Экологические характеристики объекта

На скважине наиболее показательным техногенным радионуклидом является <sup>137</sup>Cs (Рисунок 5). Загрязнение имеет масштабный характер и в большей степени сконцентрировано вокруг приустьевой территории скважины.

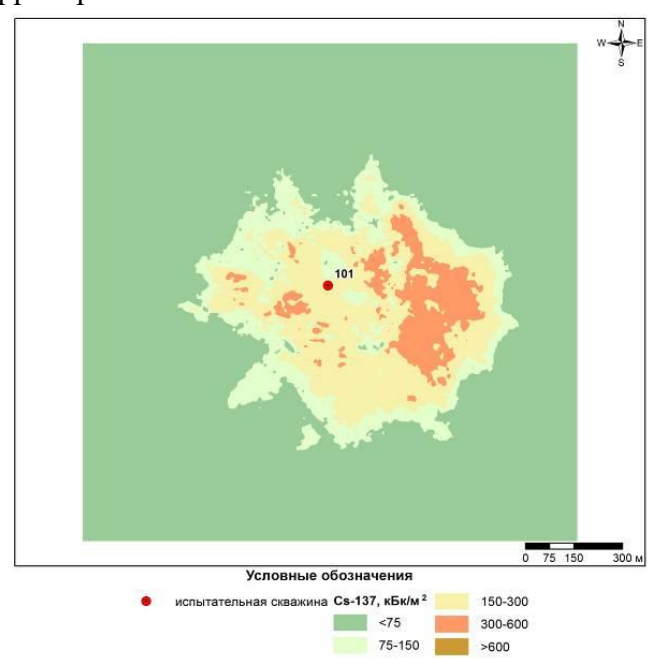


Рисунок 5. Карта площадного распределения <sup>137</sup>Cs на территории скважины № 101

Диапазон площадных активностей основных техногенных радионуклидов, кБк/м<sup>2</sup>:

- $^{241}$ Am:  $<4,9\times10^2$ ;
- $^{137}$ Cs:  $<75 6.5 \times 10^2$ ;
- $\bullet$  90 Sr: <1,2×10<sup>2</sup> 9,1×10<sup>2</sup>;
- $\bullet$  <sup>239+240</sup>Pu: <4.1×10<sup>2</sup> 7.5×10<sup>2</sup>.

Площадь радиоактивного загрязнения, превышающая значения, указанные в Критериях оценки экологической обстановки территорий, составляет порядка 0.5 км<sup>2</sup>. В тоже время объем радиоактивного материала, с учетом навалов воронки, составляет порядка  $1.1 \times 10^6$  м<sup>3</sup>.

#### Место расположения

Территория приустьевой площадки скважины расположена в юго-восточной части площадки «Сары-Узень» на расстоянии 4 км в западном направлении от ее границы. Географические координаты представлены в таблице (Таблица 3).

Таблица 3. Географические координаты скважины №102

| No oven |    |    | Географически | ие координаты |    |      |
|---------|----|----|---------------|---------------|----|------|
| № скв   |    |    | Долгота       |               |    |      |
| 102     | 49 | 56 | 15,9          | 77            | 43 | 39,4 |

#### Характеристика источника радиационного загрязнения

Радиационное загрязнение образовано 16.09.1967 г. в результате проведения подземного ядерного взрыва. Целью проведения испытания было создание и совершенствование ядерного оружия (СЯО), мощность взрыва составила от 0,001 до 20 кт в тротиловом эквиваленте. Радиационный эффект испытания — взрыв сопровождался незначительным истечением в атмосферу инертных газов (ВНК).

#### Экологические характеристики объекта

На скважине наиболее показательным техногенным радионуклидом является <sup>137</sup>Cs (Рисунок 6). Загрязнение имеет локальный характер и сконцентрировано у устья скважины.

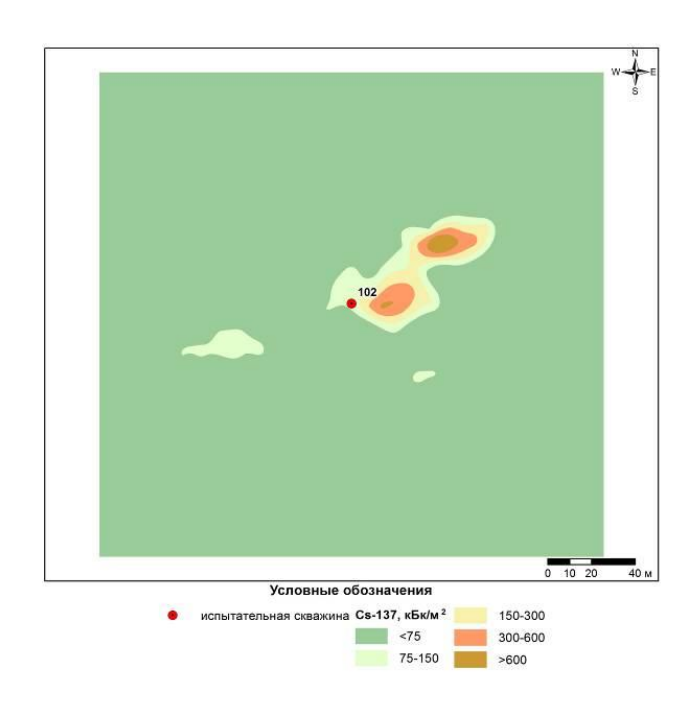


Рисунок 6. Карта площадного распределения <sup>137</sup>Сs на территории скважины № 102

Диапазон площадных активностей основных техногенных радионуклидов, кБк/м<sup>2</sup>:

- $^{241}$ Am:  $<4.9\times10^2$ ;
- $^{137}$ Cs:  $< 75 3.1 \times 10^3$ ;
- $^{90}$ Sr: <1,2×10<sup>2</sup> -2,6×10<sup>2</sup>;
- $\bullet$  <sup>239+240</sup>Pu: <4,1×10<sup>2</sup>.

Площадь радиоактивного загрязнения, превышающая значения, указанные в Критериях оценки экологической обстановки территорий, составляет порядка  $2.0 \times 10^{-3}$  км<sup>2</sup>. В тоже время объем радиоактивного материала, с учетом навалов воронки, составляет порядка  $2.2 \times 10^2$  м<sup>3</sup>.

#### Место расположения

Территория приустьевой площадки скважины расположена в центральной части площадки «Сары-Узень» на расстоянии 7 км в восточном направлении от ее границы. Географические координаты представлены в таблице (Таблица 4).

Таблица 4. Географические координаты скважины №111

| No over | № скв |        |      |         |    |      |  |
|---------|-------|--------|------|---------|----|------|--|
| № СКВ   |       | Широта |      | Долгота |    |      |  |
| 111     | 49    | 58     | 42,3 | 77      | 38 | 27,1 |  |

#### Характеристика источника радиационного загрязнения

Радиоактивное загрязнение образовано в результате проведения в 09.10.1971 г. подземного ядерного взрыва. Целью проведения испытания было создание и совершенствование ядерного оружия, мощность взрыва составила 12 кт в тротиловом эквиваленте.

Радиационный эффект испытания – ВНК (НРС) (нештатная радиационная ситуация).

#### Экологические характеристики объекта

На скважине наиболее показательным техногенным радионуклидом является <sup>137</sup>Cs (Рисунок 7). Загрязнение имеет локальный характер и сконцентрировано у устья скважины.

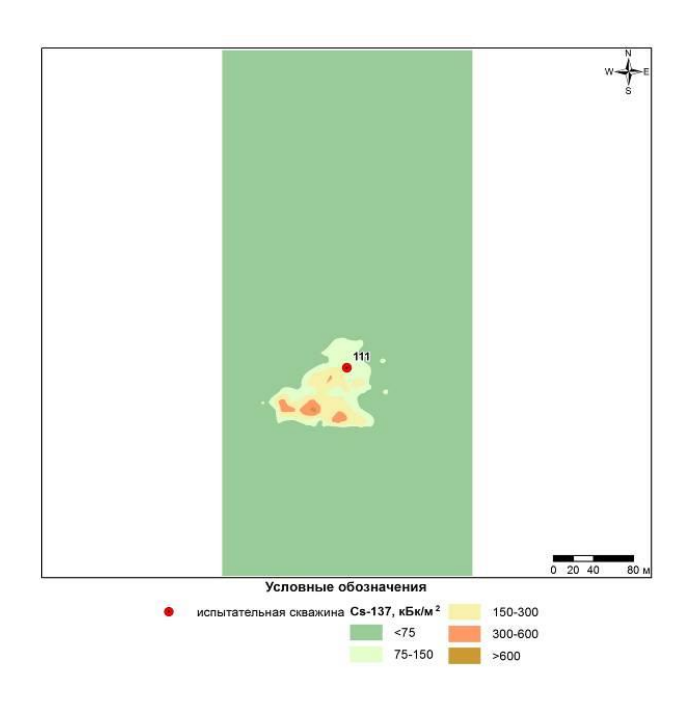


Рисунок 7. Карта площадного распределения <sup>137</sup>Сs на территории скважины № 111

Диапазон площадных активностей основных техногенных радионуклидов, кБк/м<sup>2</sup>:

- $^{241}$ Am:  $<4.9\times10^2$ ;
- $^{137}$ Cs:  $<75 7.9 \times 10^2$ ;
- $^{90}$ Sr: <1.2×10<sup>2</sup>:
- $^{239+240}$ Pu:  $<4,1\times10^2$ .

Площадь радиоактивного загрязнения, превышающая значения, указанные в Критериях оценки экологической обстановки территорий, составляет порядка  $6.0 \times 10^{-3}$  км<sup>2</sup>. В тоже время объем радиоактивного материала, с учетом навалов воронки, составляет порядка  $5.8 \times 10^2$  м<sup>3</sup>.

#### Место расположения

Территория приустьевой площадки скважины расположена в центральной части площадки «Сары-Узень» на расстоянии 6 км в южном направлении от ее границы. Географические координаты представлены в таблице (Таблица 5).

Таблица 5. Географические координаты скважины №125

| No over |    |        | Географически | рические координаты |    |      |  |  |
|---------|----|--------|---------------|---------------------|----|------|--|--|
| № скв   |    | Широта |               | Долгота             |    |      |  |  |
| 125     | 49 | 59     | 25,2          | 77                  | 45 | 36,6 |  |  |

#### Характеристика источника радиационного загрязнения

04.11.1970 г. проведен подземный экскавационный (с выбросом грунта) ядерный взрыв. Цель проведения испытания — ОПЗ (отработка промышленных зарядов для производства ядерных взрывов в мирных целях). Мощность взрыва — до 20 кт; радиационный эффект — ВНК (взрыв сопровождался незначительным истечением в атмосферу инертных газов).

#### Экологические характеристики объекта

На скважине наиболее показательным техногенным радионуклидом является <sup>239+240</sup>Pu (Рисунок 8). Загрязнение имеет масштабный характер и в большей степени сконцентрировано в северной части приустьевой территории скважины.

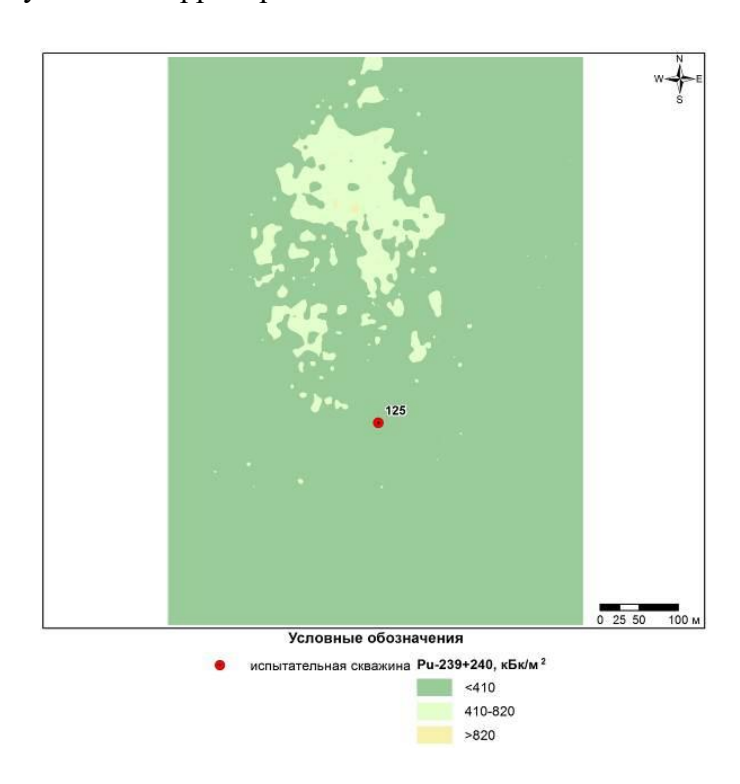


Рисунок 8. Карта площадного распределения <sup>239+240</sup>Ри на территории скважины № 125

Диапазон площадных активностей основных техногенных радионуклидов, кБк/м<sup>2</sup>:

- $^{241}$ Am:  $<4.9\times10^2$ :
- <sup>137</sup>Cs: <75;
- $^{90}$ Sr:  $<1.2\times10^2$ :
- $\bullet$  <sup>239+240</sup>Pu: <4.1×10<sup>2</sup> 6.3×10<sup>2</sup>.

Площадь радиоактивного загрязнения, превышающая значения, указанные в Критериях оценки экологической обстановки территорий, составляет порядка  $3.0 \times 10^{-2}$  км<sup>2</sup>. В тоже время объем радиоактивного материала, с учетом навалов воронки, составляет порядка  $3.4 \times 10^{5}$  м<sup>3</sup>.

#### Место расположения

Территория приустьевой площадки скважины расположена в центральной части площадки «Сары-Узень» на расстоянии 6 км в восточном направлении от ее границы. Географические координаты представлены в таблице (Таблица 6).

Таблица 6. Географические координаты скважины №215

| No over | Географические координаты |        |   |         |    |    |  |
|---------|---------------------------|--------|---|---------|----|----|--|
| № скв   |                           | Широта |   | Долгота |    |    |  |
| 215     | 49                        | 59     | 3 | 77      | 37 | 38 |  |

#### Характеристика источника радиационного загрязнения

Радиоактивное загрязнение образовано в результате проведенного 28.11.1974 г. подземного ядерного взрыва. Целью проведения испытания было создание и совершенствование ядерного оружия, мощность взрыва — до  $20~\rm kT$  в тротиловом эквиваленте.

Радиационный эффект испытания – ВНК (НРС) (нештатная радиационная ситуация).

#### Экологические характеристики объекта

На скважине наиболее показательным техногенным радионуклидом является <sup>239+240</sup>Pu (Рисунок 9). Он имеет масштабный характер и в большей степени распространяется в северовосточном направлении.

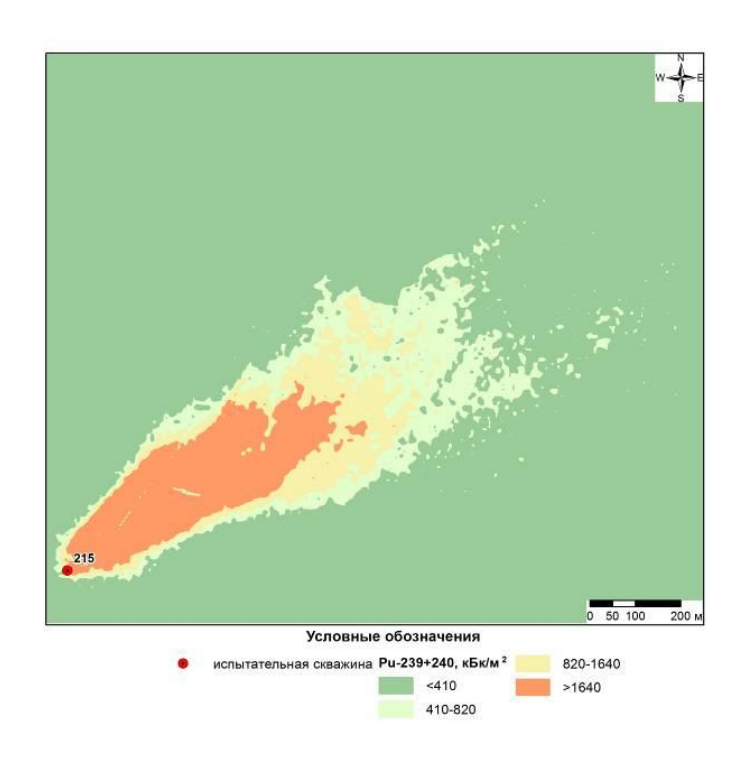


Рисунок 9. Карта площадного распределения <sup>239+240</sup>Pu на территории скважины № 215

Диапазон площадных активностей основных техногенных радионуклидов, кБк/м<sup>2</sup>:

- $\bullet$  <sup>241</sup>Am:  $<4.9\times10^2-7.8\times10^3$ ;
- $^{137}$ Cs:  $<75 2.1 \times 10^3$ :
- $^{90}$ Sr:  $<1,2\times10^2-7,2\times10^2$ ;
- $\bullet$  <sup>239+240</sup>Pu: <4.1×10<sup>2</sup> 1.2×10<sup>5</sup>.

Площадь радиоактивного загрязнения, превышающая значения, указанные в Критериях оценки экологической обстановки территорий, составляет порядка 0.3 км<sup>2</sup>. В тоже время объем радиоактивного материала, с учетом навалов воронки, составляет порядка  $3.0 \times 10^4$  м<sup>3</sup>.

#### Место расположения

Территория приустьевой площадки скважины расположена в центральной части площадки «Сары-Узень» на расстоянии 5 км в южном направлении от ее границы. Географические координаты представлены в таблице (таблица 7).

Таблица 7. Географические координаты скважины №1003

| ĺ | № скв  |    |        | Географически | рафические координаты |    |      |  |  |
|---|--------|----|--------|---------------|-----------------------|----|------|--|--|
|   | M2 CKB |    | Широта |               | Долгота               |    |      |  |  |
|   | 1003   | 49 | 59     | 25,9          | 77                    | 38 | 08,2 |  |  |

#### Характеристика источника радиационного загрязнения

14.10.1965 г. проведен подземный экскавационный (с выбросом грунта) ядерный взрыв. Цель проведения испытания – промышленные ядерные взрывы в мирных целях и отработка технологий проведения МЯВ (ПВ). Мощность взрыва – 1,1 кт; радиационный эффект – ВВГ (воронка на выброс).

#### Экологические характеристики объекта

На скважине наиболее показательным техногенным радионуклидом является <sup>239+240</sup>Pu (Рисунок 10). Загрязнение имеет масштабный характер и в большей степени сконцентрировано вокруг приустьевой территории скважины.

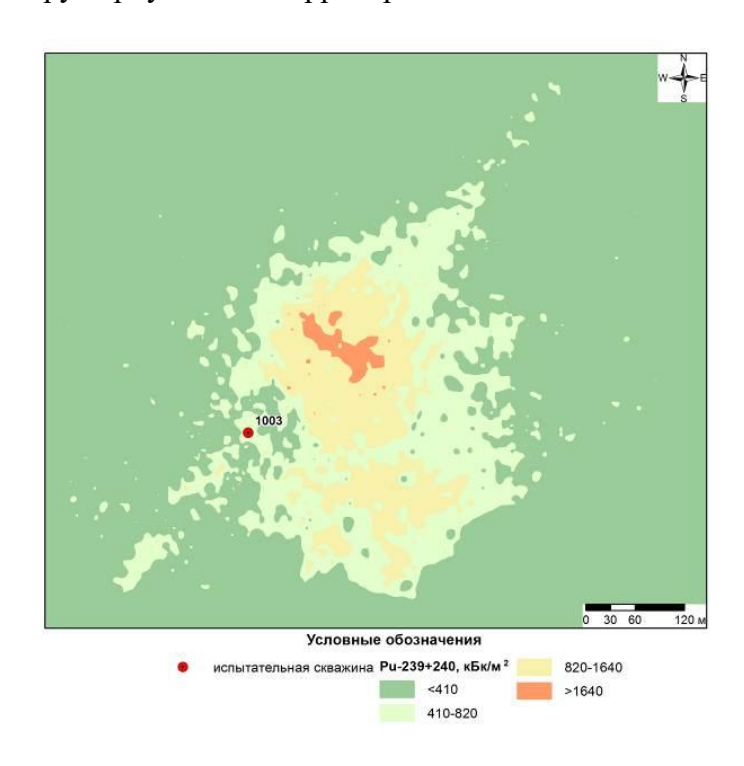


Рисунок 10. Карта площадного распределения <sup>239+240</sup>Ри на территории скважины № 1003

Диапазон площадных активностей основных техногенных радионуклидов, кБк/м<sup>2</sup>:

- $\bullet$  <sup>241</sup>Am: <4,9×10<sup>2</sup>;
- $^{137}$ Cs:  $<75 1.8 \times 10^3$ ;
- $^{90}$ Sr:  $<1,2\times10^2-1,6\times10^3$ ;
- $\bullet$  <sup>239+240</sup>Pu: <4,1×10<sup>2</sup> 9,8×10<sup>3</sup>.

Площадь радиоактивного загрязнения, превышающая значения, указанные в Критериях оценки экологической обстановки территорий, составляет порядка  $0.1~{\rm km}^2$ . В тоже время объем радиоактивного материала, с учетом навалов воронки, составляет порядка  $1.0 \times 10^5 {\rm m}^3$ .

#### Участок радиоактивного загрязнения модельного объекта Х-1

#### Место расположения

Территория модельного объекта расположена в восточной части площадки «Сары-Узень» на расстоянии 2 км в западном направлении от ее границы. Географические координаты представлены в таблице (Таблица 8).

Таблица 8. Географические координаты модельного объекта Х-1

| № объекта  | Географические координаты |        |      |         |    |      |  |
|------------|---------------------------|--------|------|---------|----|------|--|
| лу ооъекта |                           | Широта |      | Долгота |    |      |  |
| X-1        | 50                        | 0      | 26,8 | 77      | 48 | 54,9 |  |

#### Характеристика источника радиационного загрязнения

Информация об испытании отсутствует.

#### Экологические характеристики объекта

На объекте наиболее показательным техногенным радионуклидом является <sup>239+240</sup>Pu (Рисунок 11). Основное загрязнение сконцентрировано на территории самого объекта, однако также имеются локальные участи на различном удалении.

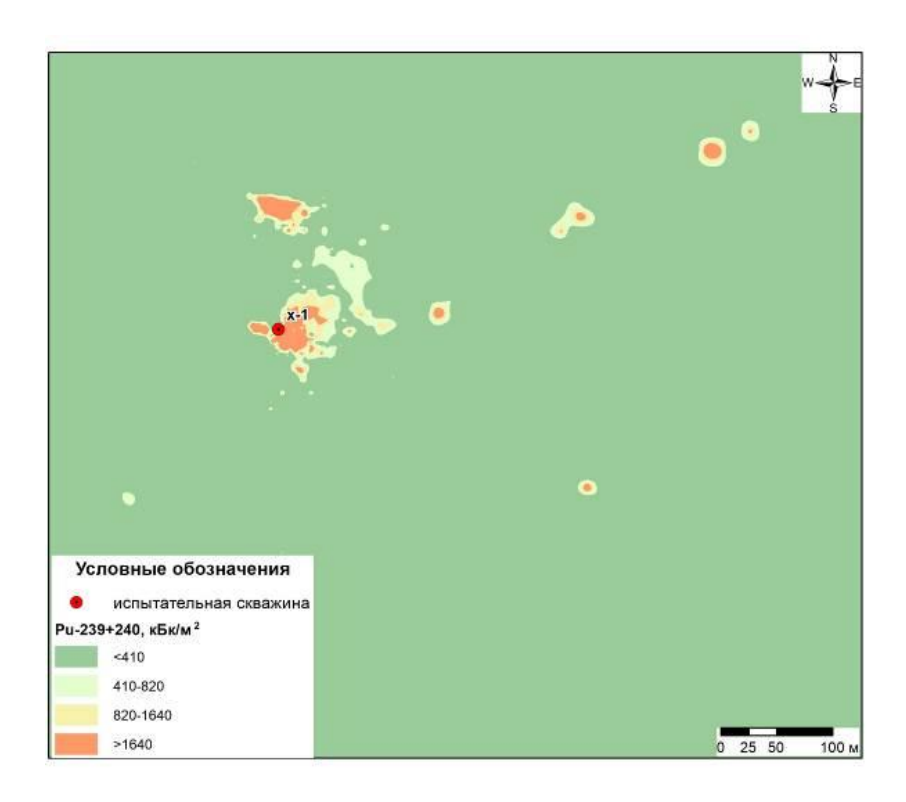


Рисунок 11. Карта площадного распределения <sup>239+240</sup>Ри на территории модельного объекта X-1

Диапазон площадных активностей основных техногенных радионуклидов, кБк/м<sup>2</sup>:

- $\bullet$  <sup>241</sup>Am:  $<4.9\times10^2-5.4\times10^3$ :
- <sup>137</sup>Cs: <75;
- $^{90}$ Sr:  $<1,2\times10^2$ ;
- $\bullet$  <sup>239+240</sup>Pu: <4,1×10<sup>2</sup> 4,8×10<sup>4</sup>.

Площадь радиоактивного загрязнения, превышающая значения, указанные в Критериях оценки экологической обстановки территорий, составляет порядка  $0.1~{\rm km}^2$ . В тоже время объем радиоактивного материала, с учетом навалов воронки, составляет порядка  $1.1 \times 10^3~{\rm m}^3$ .

#### СПИСОК ИСПОЛЬЗОВАННЫХ ИСТОЧНИКОВ

- 1 Логачев В.А. и др. Ядерные испытания СССР. Семипалатинский полигон. Под ред. Логачева В.А.-Москва: ИздАТ, 1997 г.
- 2 Михайлов В.Н. и др. Испытание ядерного оружия и ядерные взрывы в мирных целях СССР. 1949—1990 гг. / Под ред. В.Н. Михайлова. Саров: РФЯЦ-ВНИИЭФ, 1996. 66 с.
- 3 Андрюшин И.А., Илькаев Р.И., Чернышев А.К. Общие характеристики и некоторые вопросы экологических последствий ядерных испытаний СССР. Труды РФЯЦ-ВНИИЭФ Том 1, Научно-исследовательское издание, Саров, 2001-637 с.
- 4 Сайбеков Т.С., Абылаев Ж.А. Атлас. Радиационная обстановка на территории Республики Казахстан с 1954 по 1994 годы. Алматы: Министерство экологии и биоресурсов РК, 1997- Т.16, Семипалатинская область. 400 с.
- 5 Бюллетень центра общественной информации по атомной энергии. -Москва. №12 (стр56). 1998 г.

# Республиканское государственное предприятие на праве хозяйственного ведения «НАЦИОНАЛЬНЫЙ ЯДЕРНЫЙ ЦЕНТР РЕСПУБЛИКИ КАЗАХСТАН» Филиал «Институт радиационной безопасности и экологии»

## РАДИОЛОГИЧЕСКИЙ ПАСПОРТ ИСПЫТАТЕЛЬНОЙ ПЛОЩАДКИ «АКТАН-БЕРЛИ»

#### 1. Общая характеристика испытательной площадки

**Название:** «Актан-Берли» («Муржик») (Рисунок 1, Рисунок 2).

**Предназначение:** проведение гидроядерных экспериментов различных типов в скважинах глубиной 5-30 м [1, 2, 3].

Административное месторасположение: область Абай.

**Географические координаты:** 49° 46′ 58′′ с. ш. 77° 46′ 57′′ в. д.

Площадь, км<sup>2</sup>: 34. Периметр, км: 24,44.

Условия проведения испытаний: гидроядерные эксперименты различных типов.

Период проведения испытаний: с 1958 г. по 1989 г. [1, 2, 3].

Количество ядерных взрывов: достоверно не известно.

Характеристика источника радиоактивного загрязнения объектов окружающей среды:

• радиоактивное загрязнение объектов окружающей среды, превышающее минимально значимую удельную активность и Критерии оценки экологической обстановки территорий отсутствует [4, 5].

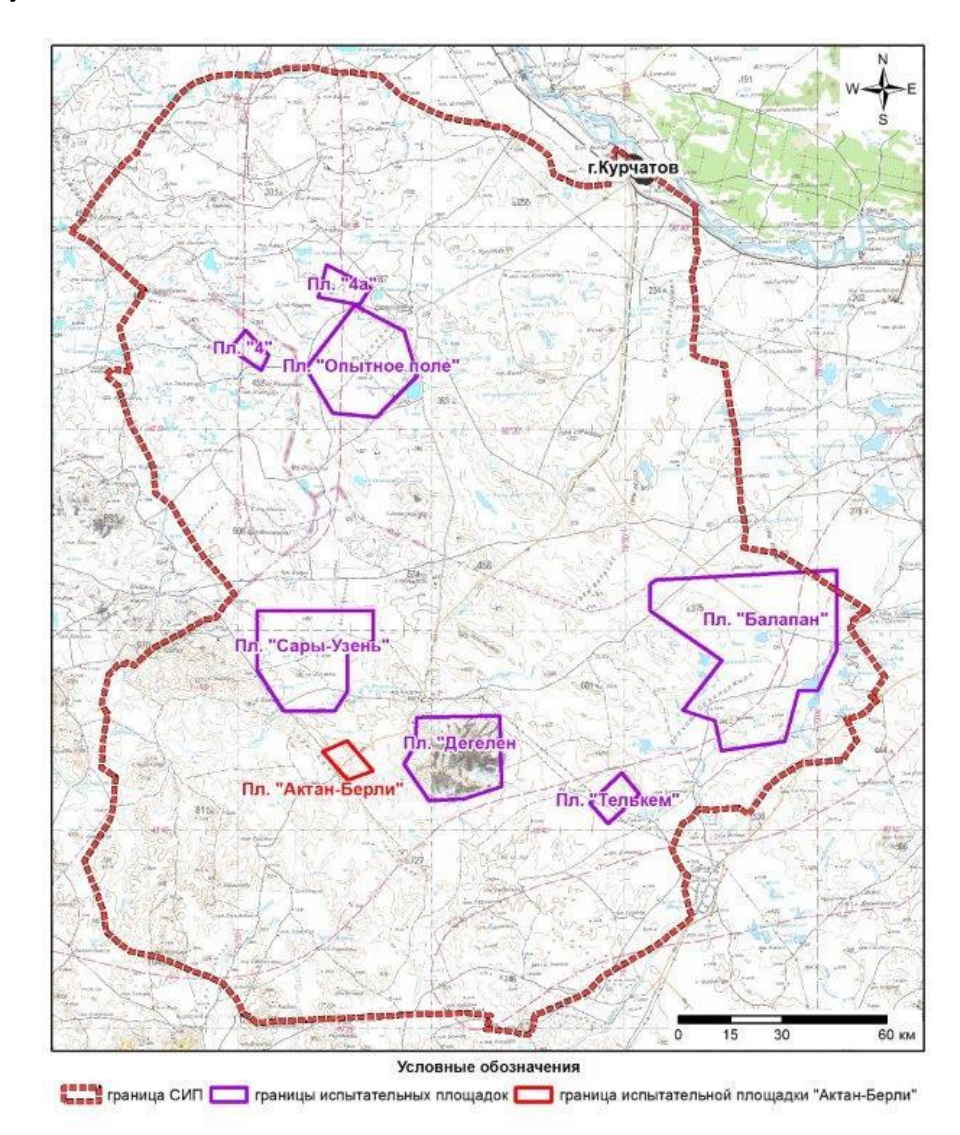


Рисунок 1. Карта-схема расположения испытательных площадок на территории СИП

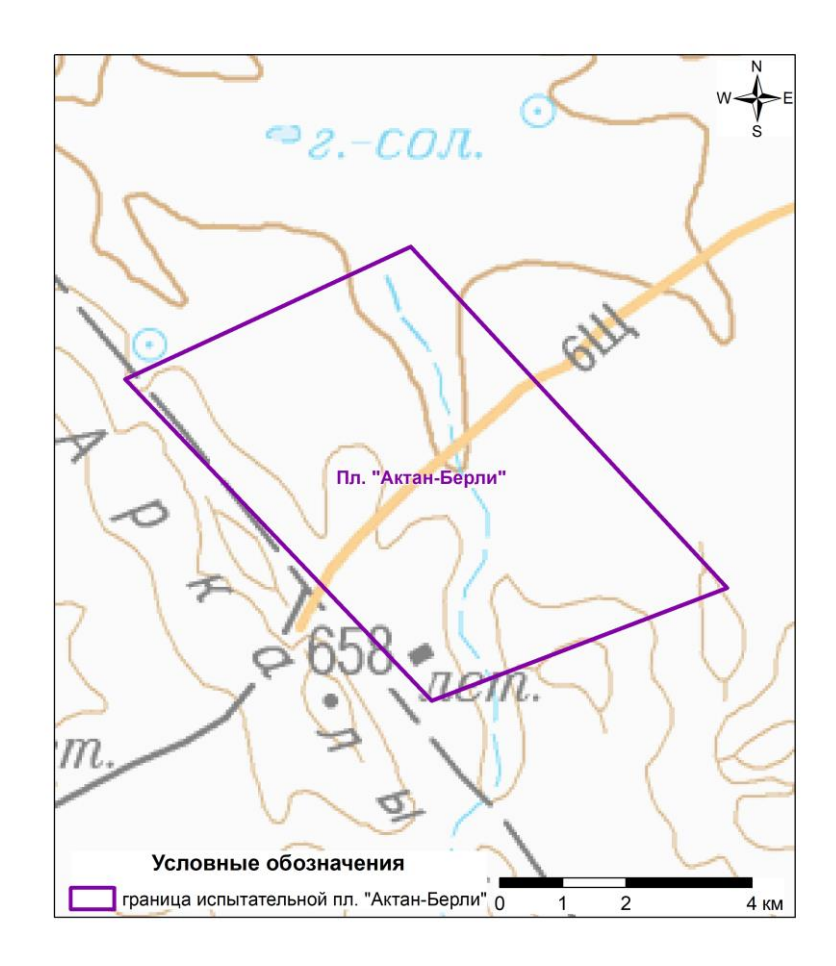


Рисунок 2. Карта-схема расположения на территории испытательной площадки «Актан-Берли»

Историческая информация об испытаниях на территории площадки «Актан-Берли» в открытых литературных источниках отсутствует.

### 2. Текущая радиоэкологическая ситуация окружающей среды

Актуальная информация о радиоэкологической обстановке окружающей среды испытательной площадки «Актан-Берли» получена в результате проведения комплексного экологического обследования земель Семипалатинского испытательного полигона в рамках выполнения работ по бюджетной программе 036 «Развитие атомных и энергетических проектов».

Значения площадной активности радионуклидов в почвенном покрове сравнивались со значениями, установленными в приложении 13 Критериев оценки экологической обстановки территорий, утвержденных приказом и.о. Министра экологии, геологии и природных ресурсов Республики Казахстан от 13 августа 2021 года № 327 «Об утверждении Критериев оценки экологической обстановки территорий».

Значения удельной активности радионуклидов в воде сравнивались со значениями уровней вмешательства, установленными в приложении 19 Гигиенических нормативов к обеспечению радиационной безопасности, утвержденных приказом Министра здравоохранения Республики Казахстан от 2 августа 2022 года № ҚР ДСМ-71 «Об утверждении гигиенических нормативов к обеспечению радиационной безопасности».

Значения объемной активности радионуклидов в воздухе сравнивались со значениями допустимой среднегодовой объемной активности, установленными для категории «население» в приложении 4 Гигиенических нормативов к обеспечению радиационной безопасности, утвержденных приказом Министра здравоохранения Республики Казахстан от

2 августа 2022 года № ҚР ДСМ-71 «Об утверждении гигиенических нормативов к обеспечению радиационной безопасности».

Значения удельной активности радионуклидов в объектах животного мира сравнивались со значениями допустимых уровней, установленными в приложении 5 Гигиенических нормативов к обеспечению радиационной безопасности, утвержденных приказом Министра здравоохранения Республики Казахстан от 2 августа 2022 года № ҚР ДСМ-71 «Об утверждении гигиенических нормативов к обеспечению радиационной безопасности».

#### 2.1 Радиоактивное загрязнение почвы

Радиационные параметры на поверхности почвенного покрова на территории испытательной площадки:

- $\bullet$  диапазон значений мощности эквивалентной дозы гамма-излучения на поверхности почвы: 0.10 0.19 мкЗв/ч (предел измерения используемой аппаратуры -10 мкЗв/ч);
- диапазон значений плотности потока бета-частиц: <10 част/(см<sup>2</sup>·мин) (предел измерения используемой аппаратуры 10 част/(см<sup>2</sup>·мин);
  - диапазон значений плотности потока альфа-частиц: нет измерений.

**Основные техногенные радионуклиды:** <sup>241</sup>Am, <sup>137</sup>Cs, <sup>90</sup>Sr, <sup>239+240</sup>Pu.

- диапазон удельных активностей основных техногенных радионуклидов в почве, Бк/кг:
  - $^{241}$ Am: < 0.3 85;
  - $^{137}$ Cs:  $<0,1-6,0\times10^2$ ;
  - $^{90}$ Sr:  $<0.2 3.3 \times 10^2$ :
  - 239+240Pu: 0,5 89.

Количество радиационно-опасных объектов: информация отсутствует.

Количество радиационно-загрязненных участков: нет (

). ...

Диапазон значений площадной активности основных техногенных радионуклидов,  $\kappa \mathbf{F} \kappa / \mathbf{m}^2$ :

- $\bullet$  <sup>241</sup>Am: <4,9×10<sup>2</sup>;
- $^{137}$ Cs < 75:
- $^{90}$ Sr: <1,2×10<sup>2</sup>;
- $^{239+240}$ Pu:  $<4.1\times10^2$ .

Площадь радиоактивного загрязнения, м<sup>2</sup>: нет.

Средняя глубина залегания радионуклидов, м: 0,05.

Плотность почвы,  $\Gamma/\text{см}^3$ : 1,3.

Объем радиоактивного грунта, м<sup>3</sup>: нет.

Запас радионуклидов (по максимальным значениям удельных активностей радионуклидов в почве), Бк: нет.

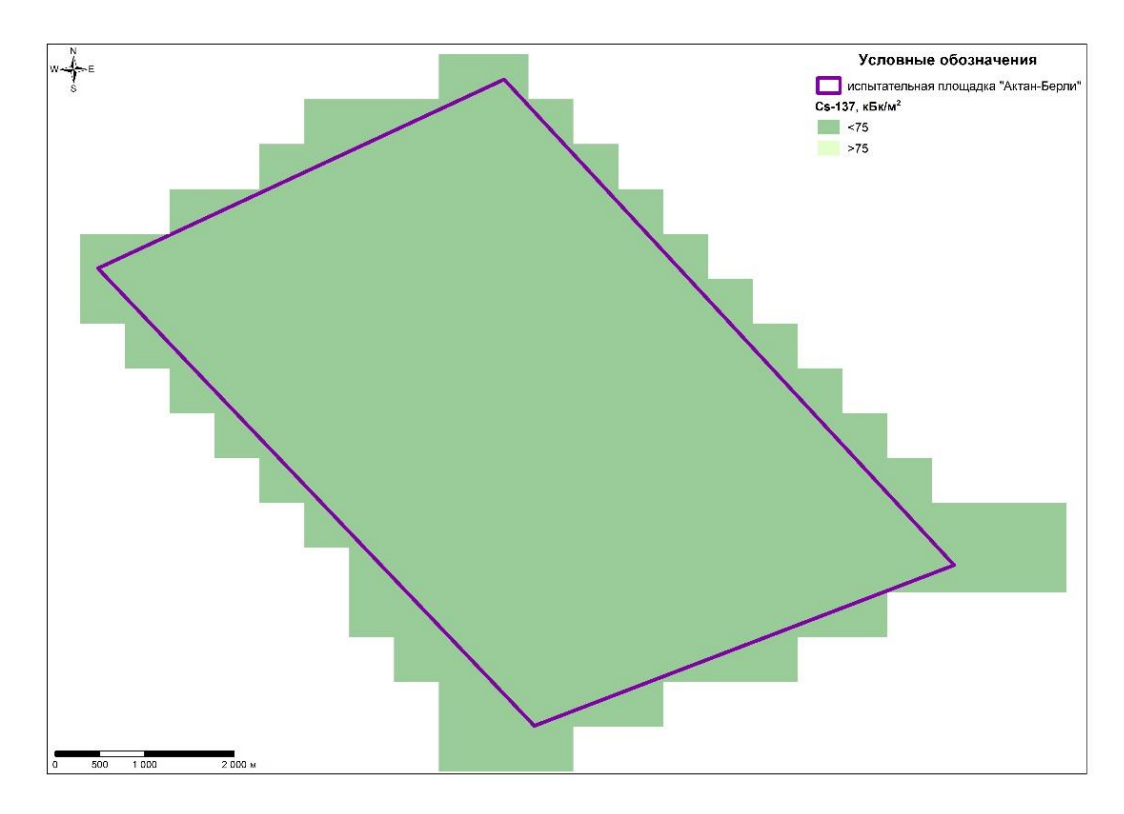


Рисунок 3. Карта-схема распределение радиоактивности на площадке «Актан-Берли»

#### 2.2 Радиоактивное загрязнение поверхностных вод площадки

Диапазон удельных активностей основных техногенных радионуклидов, Бк/м<sup>3</sup>:

- $^{241}$ Am: <2,0;
- $^{137}$ Cs: <1,0;
- 90Sr: <2,0;
- <sup>239+240</sup>Pu: <0,1;
- ${}^{3}$ H: <6,0.

#### 2.3 Радиоактивное загрязнение подземных вод площадки

Диапазон удельных активностей основных техногенных радионуклидов, Бк/м<sup>3</sup>:

- $\bullet$  <sup>241</sup>Am: <1,0;
- <sup>137</sup>Cs: <1.0:
- $^{90}$ Sr: <4.0×10<sup>-2</sup>;
- $\bullet$  <sup>239+240</sup>Pu: <3,0×10<sup>-4</sup>;
- ${}^{3}$ H: <6.0–30.

#### 2.4 Радиоактивное загрязнение растительного покрова

Диапазон удельных активностей основных техногенных радионуклидов, Бк/кг:

- $\bullet$  <sup>241</sup>Am: <0,5;
- $^{137}$ Cs: <0.1;
- $^{90}$ Sr: <2,0×10<sup>-4</sup>;
- $\bullet$  <sup>239+240</sup>Pu: <6,2×10<sup>-8</sup> 1,9×10<sup>-3</sup>.

#### 2.5 Радиоактивное загрязнение растительного покрова

Диапазон удельных активностей основных техногенных радионуклидов, Бк/кг:

- <sup>241</sup>Am: <0,1;
- $^{137}$ Cs: <0.4-1.1;
- <sup>90</sup>Sr: <0,7–6,6;
- $^{239+240}$ Pu:  $<5.0\times10^{-2}-0.2$ ;

### 2.6 Радиоактивное загрязнение объектов животного мира

Диапазон удельных активностей основных техногенных радионуклидов, Бк/кг:

- <sup>241</sup>Am: <1,0;
- $^{137}$ Cs: <0,9-1,0;
- <sup>90</sup>Sr: <2,0;
- <sup>239+240</sup>Pu: <0,1;

#### СПИСОК ИСПОЛЬЗОВАННЫХ ИСТОЧНИКОВ

- 1 Семипалатинский испытательный полигон: программа СТК. Курчатов, 2004. 142 с.
- 2 Семипалатинский полигон. Создание, Деятельность, Конверсия / Под ред. В.С. Школьника. Алматы, 2004. 285 с.
- 3 Ядерные испытания СССР. Современное радиоэкологическое состояние полигонов / Кол. авторов под рук. проф. В.А. Логачева. М.: Изд.АТ, 2002. 639 с.
- 4 Приказ и.о. Министра экологии, геологии и природных ресурсов Республики Казахстан «Об утверждении критериев оценки экологической обстановки территорий» от 13 августа 2021 года № 327 (зарегистрирован в Государственном реестре нормативных правовых актов Республики Казахстан № 157905).
- 5 Приказ Министра здравоохранения Республики Казахстан «Об утверждении гигиенических нормативов к обеспечению радиационной безопасности» от 2 августа 2022 года № ҚР ДСМ-71 (зарегистрирован в Государственном реестре нормативных правовых актов Республики Казахстан № 170343).

## Республиканское государственное предприятие на праве хозяйственного ведения «НАЦИОНАЛЬНЫЙ ЯДЕРНЫЙ ЦЕНТР РЕСПУБЛИКИ КАЗАХСТАН» Филиал «Институт радиационной безопасности и экологии»

## РАДИОЛОГИЧЕСКИЙ ПАСПОРТ ИСПЫТАТЕЛЬНОЙ ПЛОЩАДКИ «ДЕГЕЛЕН»

#### 1. Общая характеристика испытательной площадки

**Название:** «Дегелен» (Рисунок 1, Рисунок 2).

**Предназначение:** проведение подземных ядерных взрывов в горизонтальных горных выработках – штольнях.

Административное месторасположение: область Абай.

**Географические координаты:** 49° 47′ 17′′ с. ш. 78° 04′ 03′′ в. д.

Площадь, км<sup>2</sup>: 240. **Периметр, км**: 59,8.

Условия проведения ядерных испытаний: подземные ядерные взрывы.

Период проведения подземных ядерных взрывов: с 1961 г. по 1989 г. [1, 2, 3, 4].

Количество подземных ядерных взрывов: 209 испытаний в 181 штольне [3].

Характеристика источника радиоактивного загрязнения объектов окружающей среды:

- внештатные аварийные ситуации во время проведения испытаний;
- вынос радионуклидов водотоками из испытательных штолен;
- антропогенная деятельность (добыча металлолома, вскрытие штолен).

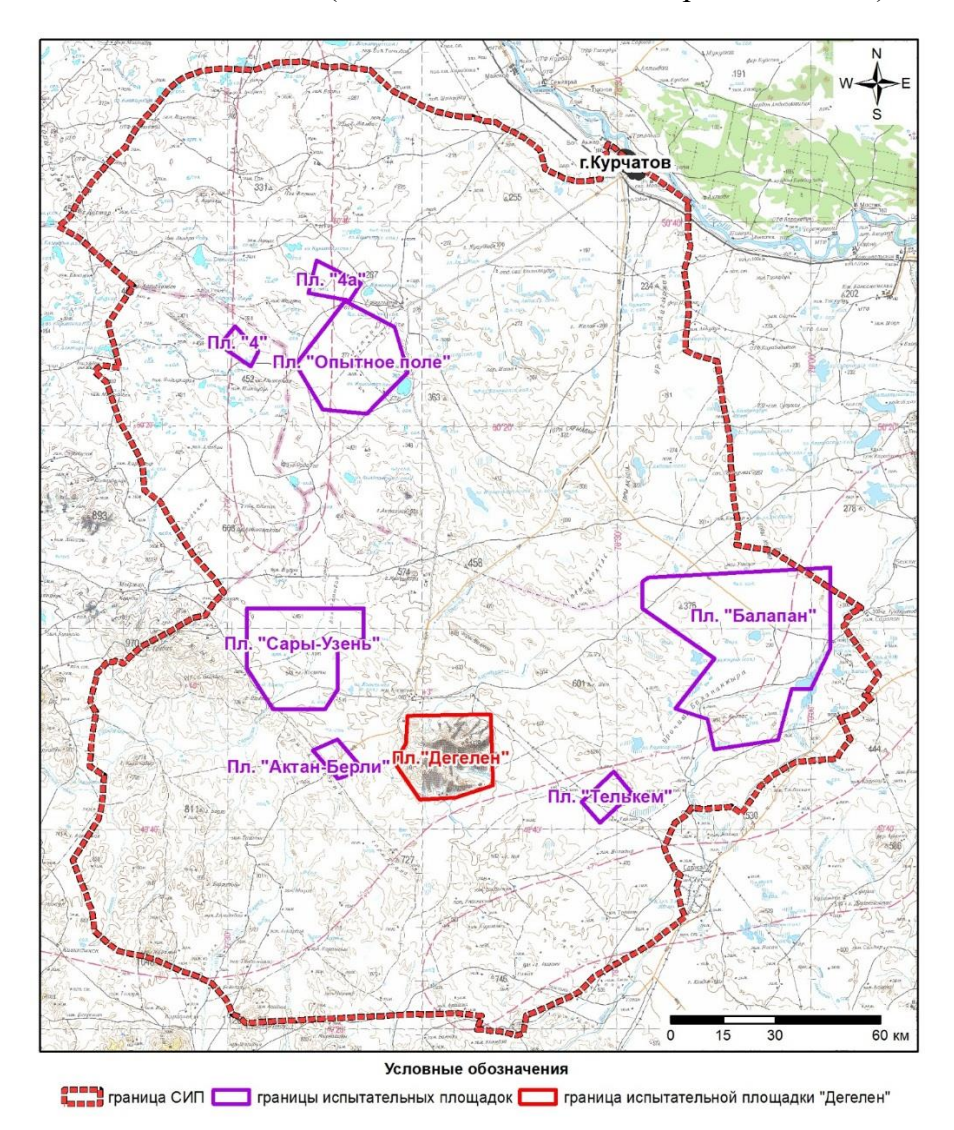


Рисунок 1. Карта-схема расположения испытательной площадки «Дегелен» на территории СИП

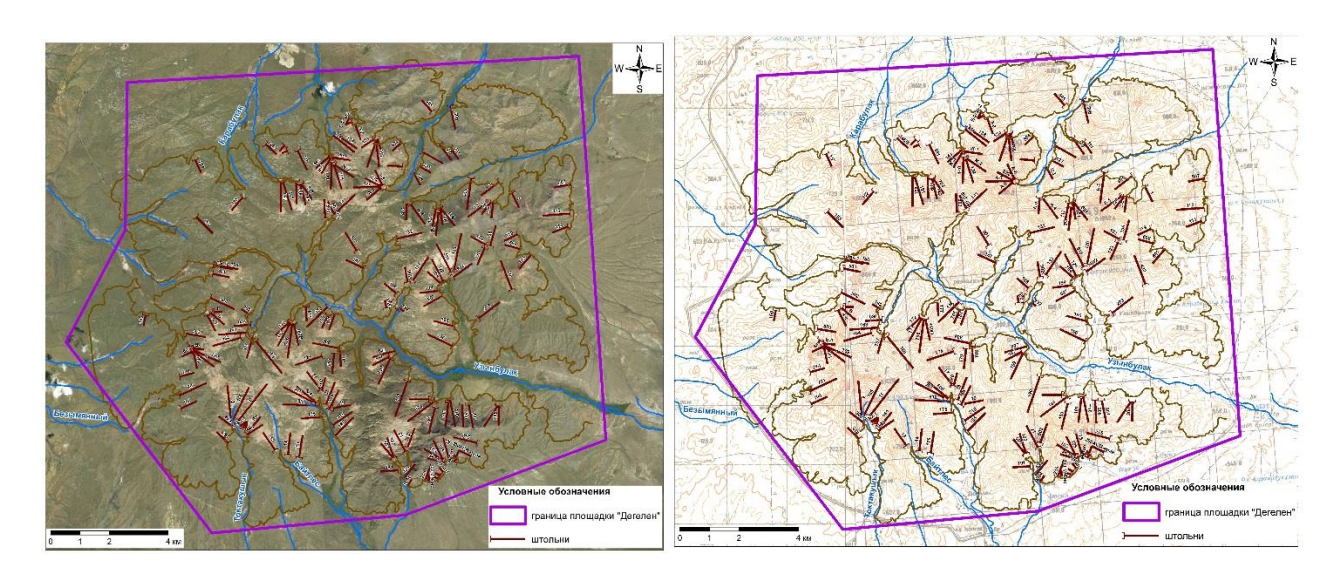


Рисунок 2. Карта-схема территории испытательной площадки «Дегелен», расположение испытательных штолен

Историческая информация о подземных ядерных взрывах на территории испытательной площадки «Дегелен» представлена в приложении (Приложение 1, Таблица 1), [1, 2, 3, 4].

#### 2. Текущая радиоэкологическая ситуация окружающей среды

Актуальная информация о радиоэкологической обстановке окружающей среды испытательной площадки «Дегелен» получена в результате проведения комплексного экологического обследования земель Семипалатинского испытательного полигона в рамках выполнения работ по бюджетной программе 036 «Развитие атомных и энергетических проектов».

Значения площадной активности радионуклидов в почвенном покрове сравнивались со значениями, установленными в приложении 13 Критериев оценки экологической обстановки территорий, утвержденных приказом и.о. Министра экологии, геологии и природных ресурсов Республики Казахстан от 13 августа 2021 года № 327 «Об утверждении Критериев оценки экологической обстановки территорий».

Значения удельной активности радионуклидов в воде сравнивались со значениями уровней вмешательства, установленными в приложении 19 Гигиенических нормативов к обеспечению радиационной безопасности, утвержденных приказом Министра здравоохранения Республики Казахстан от 2 августа 2022 года № ҚР ДСМ-71 «Об утверждении гигиенических нормативов к обеспечению радиационной безопасности».

Значения объемной активности радионуклидов в воздухе сравнивались со значениями допустимой среднегодовой объемной активности, установленными для категории «население» в приложении 4 Гигиенических нормативов к обеспечению радиационной безопасности, утвержденных приказом Министра здравоохранения Республики Казахстан от 2 августа 2022 года № ҚР ДСМ-71 «Об утверждении гигиенических нормативов к обеспечению радиационной безопасности».

Значения удельной активности радионуклидов в объектах животного мира сравнивались со значениями допустимых уровней, установленными в приложении 5 Гигиенических нормативов к обеспечению радиационной безопасности, утвержденных приказом Министра здравоохранения Республики Казахстан от 2 августа 2022 года № ҚР ДСМ-71 «Об утверждении гигиенических нормативов к обеспечению радиационной безопасности».

#### 2.1 Радиоактивное загрязнение почвы

Радиационные параметры на поверхности почвенного покрова на территории испытательной плошалки:

- $\bullet$  диапазон значений мощности эквивалентной дозы гамма-излучения:  $0,10-2,3\times10^2$  мкЗв/ч (предел измерения используемой аппаратуры -10 мкЗв/ч);
- диапазон значений плотности потока бета-частиц:  $<10-2,4\times10^4$  част/(см $^2\cdot$ мин) (предел измерения используемой аппаратуры -10 част/(см $^2\cdot$ мин);
- диапазон удельных активностей основных техногенных радионуклидов в почве, Бк/кг:
  - $^{241}$ Am:  $<0,1-5,4\times10^5$ ;
  - $^{-137}$ Cs:  $<0,2-6,5\times10^6$ ;
  - $^{90}$ Sr:  $<0,6-3,7\times10^6$ ;
  - = 239+240Pu: <0,1 4,8×10<sup>5</sup>.

**Количество радиационно-опасных объектов:** 181 объект (испытательные штольни) (). Обследование внутри штолен не проводилось.

**Количество радиационно-загрязненных участков**: 16 участков. (схема расположения – Рисунок 3, радиационные характеристики – Таблица 1).

**Основные техногенные радионуклиды:** <sup>137</sup>Cs, <sup>90</sup>Sr, <sup>239+240</sup>Pu, <sup>241</sup>Am.

Площадная активность, кБк/м<sup>2</sup>:

- $\bullet$  <sup>241</sup>Am  $<4.9 \times 10^2 3.5 \times 10^3$ ;
- $^{137}$ Cs  $< 75 4.2 \times 10^5$ ;
- $\bullet$  90 Sr <1,2×10<sup>2</sup> 2,4×10<sup>5</sup>;
- $\bullet$  <sup>239+240</sup>Pu  $< 4.1 \times 10^2 3.1 \times 10^4$ .

Площадь радиоактивного загрязнения,  $M^2$ : 7,6×10<sup>5</sup>.

Средняя глубина залегания радионуклидов, м: 0,2.

Плотность почвы, г/см<sup>3</sup>: 1,3

**Объем радиоактивного грунта, м<sup>3</sup>:**  $1,5 \times 10^5$ .

Запас радионуклидов (по максимальным значениям удельных активностей радионуклидов в почве), Бк:  $^{241}$ Am  $-8.7\times10^{10};$   $^{137}$ Cs  $-6.2\times10^{13};$   $^{90}$ Sr  $-6.2\times10^{12};$   $^{239+240}$ Pu  $-4.7\times10^{13}.$ 

Дополнительная информация об радиоактивном загрязнении почвы радиационнозагрязненных участков испытательной площадки «Дегелен» представлена в приложении (ПРИЛОЖЕНИЕ 2).



Рисунок 3. Карта-схема расположения радиационно-опасных объектов на площадке «Дегелен»

Таблица 1. Активность радионуклидов в поверхностном слое почвы радиационно-опасных объектов площадки «Дегелен»

|           | THUR T. TERTING     | 137Cs               | nykingob b i         | оверхностном        | 90Sr                | аднационно-          |                     | <sup>239+240</sup> Pu | ки удетелен          |                        | <sup>241</sup> Am   |                      |
|-----------|---------------------|---------------------|----------------------|---------------------|---------------------|----------------------|---------------------|-----------------------|----------------------|------------------------|---------------------|----------------------|
| № участка | Аs,<br>кБк/м²       | V, m <sup>3</sup>   | А, Бк                | As, κ <b>Б</b> κ/м² | V, м <sup>3</sup>   | А, Бк                | As, кБк/м²          | V, m <sup>3</sup>     | А, Бк                | As, кБк/м <sup>2</sup> | V, m <sup>3</sup>   | А, Бк                |
| 1         | 4,5×10 <sup>4</sup> | 1,0×10 <sup>3</sup> | 9,0×10 <sup>11</sup> | 1,2×10 <sup>3</sup> | 5,7×10 <sup>2</sup> | 1,4×10 <sup>10</sup> | 6,1×10 <sup>3</sup> | 5,2×10 <sup>3</sup>   | 6,3×10 <sup>11</sup> | 3,5×10 <sup>3</sup>    | 4,3                 | 3,0×10 <sup>8</sup>  |
| 2         | 6,5×10 <sup>4</sup> | 1,5×10 <sup>3</sup> | 2,0×10 <sup>12</sup> | 2,3×10 <sup>3</sup> | 8,7×10 <sup>2</sup> | 4,0×10 <sup>10</sup> | 3,1×10 <sup>4</sup> | 2,0×10 <sup>4</sup>   | 1,2×10 <sup>13</sup> | 3,5×10 <sup>3</sup>    | 1,6×10 <sup>2</sup> | 1,1×10 <sup>10</sup> |
| 3         | 1,2×10 <sup>5</sup> | 5,1×10 <sup>3</sup> | 1,2×10 <sup>13</sup> | 6,2×10 <sup>3</sup> | $3,2\times10^{3}$   | 4,0×10 <sup>11</sup> | 1,4×10 <sup>4</sup> | 2,5×10 <sup>4</sup>   | 7,0×10 <sup>12</sup> | 1,6×10 <sup>3</sup>    | 4,3×10 <sup>2</sup> | 1,4×10 <sup>10</sup> |
| 4         | $3,8\times10^{3}$   | 9,0×10 <sup>2</sup> | 6,8×10 <sup>10</sup> | 1,4×10 <sup>4</sup> | $4,7 \times 10^{2}$ | 1,3×10 <sup>11</sup> | 1,8×10 <sup>3</sup> | $7,4\times10^3$       | 2,7×10 <sup>11</sup> | <4,9×10 <sup>2</sup>   | -                   | -                    |
| 5         | 2,1×10 <sup>3</sup> | 1,5×10 <sup>2</sup> | 6,3×10 <sup>9</sup>  | 3,6×10 <sup>2</sup> | 64                  | 4,6×10 <sup>8</sup>  | 8,8×10 <sup>2</sup> | 3,1×10 <sup>2</sup>   | 5,5×10 <sup>19</sup> | <4,9×10 <sup>2</sup>   | -                   | -                    |
| 6         | 3,6×10 <sup>4</sup> | 1,5×10 <sup>2</sup> | 1,1×10 <sup>11</sup> | 1,3×10 <sup>2</sup> | 98                  | 2,5×10 <sup>8</sup>  | 2,9×10 <sup>3</sup> | 6,1×10 <sup>2</sup>   | 3,5×10 <sup>10</sup> | <4,9×10 <sup>2</sup>   | -                   | -                    |
| 7         | 2,9×10 <sup>4</sup> | 1,0×10 <sup>3</sup> | 5,8×10 <sup>11</sup> | 6,2×10 <sup>3</sup> | $3,5 \times 10^{2}$ | 4,3×10 <sup>10</sup> | 3,9×10 <sup>3</sup> | 5,0×10 <sup>2</sup>   | 3,9×10 <sup>10</sup> | <4,9×10 <sup>2</sup>   | -                   | -                    |
| 8         | $3,0\times10^{2}$   | 1,5×10 <sup>2</sup> | 9,0×10 <sup>8</sup>  | 5,1×10 <sup>2</sup> | 47                  | 4,8×10 <sup>8</sup>  | 2,6×10 <sup>3</sup> | 1,1×10 <sup>3</sup>   | 5,7×10 <sup>10</sup> | <4,9×10 <sup>2</sup>   | -                   | -                    |
| 9         | 3,3×10 <sup>4</sup> | 9,0×10 <sup>2</sup> | 5,9×10 <sup>11</sup> | 6,5×10 <sup>3</sup> | $5,1\times10^{2}$   | 6,6×10 <sup>10</sup> | 2,4×10 <sup>3</sup> | 1,1×10 <sup>3</sup>   | 5,3×10 <sup>10</sup> | <4,9×10 <sup>2</sup>   | -                   | -                    |
| 10        | 3,3×10 <sup>4</sup> | 2,2×10 <sup>2</sup> | 1,5×10 <sup>11</sup> | 5,9×10 <sup>3</sup> | 95                  | 1,1×10 <sup>10</sup> | 9,0×10 <sup>2</sup> | 4,8×10 <sup>2</sup>   | 8,6×10 <sup>9</sup>  | <4,9×10 <sup>2</sup>   | -                   | -                    |
| 11        | 1,5×10 <sup>5</sup> | 1,2×10 <sup>4</sup> | 3,6×10 <sup>13</sup> | 1,6×10 <sup>4</sup> | $8,6 \times 10^3$   | 2,8×10 <sup>12</sup> | 1,8×10 <sup>4</sup> | 5,2×10 <sup>4</sup>   | 1,9×10 <sup>13</sup> | $2,1\times10^3$        | $1,4 \times 10^3$   | 5,9×10 <sup>10</sup> |
| 12        | 4,2×10 <sup>5</sup> | 8,4×10 <sup>2</sup> | 7,1×10 <sup>12</sup> | 2,4×10 <sup>5</sup> | $4,8\times10^{2}$   | 2,3×10 <sup>12</sup> | 1,0×10 <sup>4</sup> | 1,2×10 <sup>4</sup>   | $2,4\times10^{12}$   | 1,1×10 <sup>3</sup>    | 49                  | 1,1×10 <sup>9</sup>  |
| 13        | <75                 | -                   | -                    | 7,2×10 <sup>2</sup> | 3,3×10 <sup>2</sup> | 4,8×10 <sup>9</sup>  | 7,3×10 <sup>3</sup> | 2,5×10 <sup>3</sup>   | 3,7×10 <sup>11</sup> | 8,1×10 <sup>2</sup>    | 1,8                 | 2,9×10 <sup>7</sup>  |
| 14        | 2,0×10 <sup>4</sup> | 3,6×10 <sup>3</sup> | 1,4×10 <sup>12</sup> | 6,2×10 <sup>3</sup> | 2,2×10 <sup>3</sup> | 2,7×10 <sup>11</sup> | 1,4×10 <sup>4</sup> | 1,3×10 <sup>4</sup>   | 3,6×10 <sup>12</sup> | 1,6×10 <sup>3</sup>    | 53                  | 1,7×10 <sup>9</sup>  |
| 15        | 3,9×10 <sup>4</sup> | 9,4×10 <sup>2</sup> | 7,3×10 <sup>11</sup> | 1,6×10 <sup>4</sup> | $4,0\times10^{2}$   | 1,3×10 <sup>11</sup> | $7,4\times10^3$     | 1,0×10 <sup>4</sup>   | 1,5×10 <sup>12</sup> | 8,2×10 <sup>2</sup>    | 29                  | 4,8×10 <sup>8</sup>  |
| 16        | 1,0×10 <sup>3</sup> | 2,7×10 <sup>2</sup> | 5,4×10 <sup>9</sup>  | 5,5×10 <sup>2</sup> | $1,5 \times 10^2$   | 1,7×10 <sup>9</sup>  | 1,8×10 <sup>3</sup> | 5,2×10 <sup>2</sup>   | 1,9×10 <sup>10</sup> | <4,9×10 <sup>2</sup>   | -                   | -                    |

#### 2.2 Радиоактивное загрязнение поверхностных вод площадки

Диапазон удельных активностей основных техногенных радионуклидов, Бк/м<sup>3</sup>:

- $\bullet$  <sup>241</sup>Am: <1,2×10<sup>-3</sup> 30;
- $^{137}$ Cs:  $<1,0\times10^{-3}-3,8\times10^{3}$ ;
- $^{90}$ Sr:  $<4,0\times10^{-3}-4,3\times10^{3}$ ;
- $\bullet$  <sup>239+240</sup>Pu: <1,1×10<sup>-5</sup> 1,2×10<sup>3</sup>;
- ${}^{3}\text{H}$ : <6.0 2.6×10<sup>5</sup>.

#### 2.3 Радиоактивное загрязнение подземных вод площадки

Диапазон удельных активностей основных техногенных радионуклидов, Бк/м<sup>3</sup>:

- $\bullet$  <sup>241</sup>Am: <2,0×10<sup>-2</sup>–2;
- $^{137}$ Cs: <9.0×10<sup>-3</sup>–60;
- $^{90}$ Sr:  $<5,0\times10^{-3}-31$ ;
- $^{239+240}$ Pu:  $< 7,5 \times 10^{-5} 6,3$ ;
- ${}^{3}\text{H}$ :  $<6.0 5.0 \times 10^{4}$ .

#### 2.4 Радиоактивное загрязнение атмосферного воздуха

Диапазон удельных активностей основных техногенных радионуклидов, Бк/кг:

- $^{241}$ Am:  $<2,9\times10^{-7}-0,5;$
- $^{137}$ Cs:  $<2.0\times10^{-7}-3.2$ :
- $\bullet$  90Sr: <1,1×10<sup>-6</sup> 4,5×10<sup>2</sup>;
- $\bullet$  <sup>239+240</sup>Pu: <1.1×10<sup>-7</sup> 40.

#### 2.5 Радиоактивное загрязнение растительного покрова

Диапазон удельных активностей основных техногенных радионуклидов, Бк/кг:

- $^{241}$ Am:  $<0,2-3,3\times10^4$ ;
- $^{137}$ Cs:  $<0,3-1,6\times10^6$ ;
- $\bullet$  90Sr: <0,8 2,5×10<sup>6</sup>;
- $^{239+240}$ Pu:  $<0,1-4,2\times10^4$ ;

#### 2.6 Радиоактивное загрязнение объектов животного мира

Диапазон удельных активностей основных техногенных радионуклидов, Бк/кг:

- $\bullet$  <sup>241</sup>Am: <3,0×10<sup>-2</sup> 1,4×10<sup>2</sup>;
- $^{137}$ Cs:  $<6.0\times10^{-2} 5.4\times10^{4}$ :
- $^{90}$ Sr:  $<4,0\times10^{-2}-6,8\times10^{5}$ ;
- $\bullet$  <sup>239+240</sup>Pu: <3.0×10<sup>-3</sup> 76.

#### приложение 3

#### Хронология подземных ядерных испытаний на территории испытательной площадки «Дегелен»

Таблица 2. Хронология подземных испытаний ядерного оружия на территории испытательной площадки «Дегелен»

| <b>№</b><br>п/п | Дата испытания | Шифр штольни                    | Цель испытания                  | Мощность испытания, кт тротилового эквивалента         | Условия<br>проведения | Радиационная<br>ситуация | Примечание  |
|-----------------|----------------|---------------------------------|---------------------------------|--|-----------------------|--------------------------|---|
| 1.              | Нет информации | 011                             | Нет информации                  | Нет информации   | Подземный             | Нет информации           |   |
| 2.              | Нет информации | 022                             | Нет информации                  | Нет информации   | Подземный             | Нет информации           |   |
| 3.              | 17.09.1965     | 1                               | СЯО                             | 0,001-20   | Подземный             | Нет информации           |   |
| 4.              | 06.09.1970     | 8                               | ОПЗ                             | 0,001-20   | Подземный             | Нет информации           |   |
| 5.              | 20.03.1966     | 11                              | СЯО                             | 100  | Подземный             | ВКП                      |   |
| 6.              | 19.10.1966     | 13                              | СЯО                             | 20-150   | Подземный             | Нет информации           |   |
| 7.              | 03.12.1966     | 14<br>14                        | СЯО<br>ОПЗ                      | 0,001-20<br>0,001-20                                   | Подземный             | Нет информации           | Первый групповой ЯВ в одной штольне               |
| 8.              | 05.08.1966     | 17                              | СЯО                             | 0,001-20   | Подземный             | ВНК                      |   |
| 9.              | 04.08.1967     | 18<br>18                        | ОЯО<br>СЯО                      | 0,001-20<br>0,001-20                                   | Подземный             | ВНК                      |   |
| 10.             | 25.03.1967     | 19<br>19                        | СЯО<br>ИПФ                      | 0,001-20<br>0,001-20                                   | Подземный             | Нет информации           |   |
| 11.             | 26.02.1967     | 21                              | ФМИ                             | 20-150   | Подземный             | ВНК                      |   |
| 12.             | 21.07.1966     | 24                              | СЯО                             | 20-150   | Подземный             | ВНК                      |   |
| 13.             | 07.05.1966     | 25                              | ОПЗ                             | 4  | Подземный             | Нет информации           |   |
| 14.             | 19.10.1988     | 034                             | ИПΦ                             | 0,001-20   | Подземный             | Нет информации           |   |
| 15.             | 11.03.1975     | 101                             | СЯО                             | 0,001-20   | Подземный             | Нет информации           |   |
| 16.             | 20.11.1981     | 103                             | СЯО                             | 0,001-20   | Подземный             | Нет информации           | 2 идентичных ЯВ                                   |
| 17.             | 28.07.1978     | 104<br>104<br>104<br>104<br>104 | СЯО<br>СЯО<br>ОЯО<br>ОЯО<br>ОЯО | 20-150<br>0,001-20<br>0,001-20<br>0,001-20<br>0,001-20 | Подземные             | Нет информации           | Групповой ЯВ с максимальным числом взрывов на СИП |
| 18.             | 22.09.1967     | 105                             | СЯО                             | 10   | Подземный             | ВКП                      |   |

| №<br>п/п | Дата испытания           | Шифр штольни      | Цель испытания    | Мощность испытания, кт тротилового эквивалента | Условия<br>проведения  | Радиационная<br>ситуация | Примечание      |
|----------|--------------------------|-------------------|-------------------|--|------------------------|--------------------------|-----------------|
|          | 29.11.1971               | 105               | СЯО               | 0,001-20                                       |                        |                          |                 |
| 19.      | 22.11.1967<br>17.07.1981 | 106<br>106        | ОЯО<br>ОЯО        | 0,001-20<br>0,001-20                           | Подземный<br>Подземный | ВНК                      |                 |
| 20.      | 29.08.1978               | 107<br>107<br>107 | СЯО<br>СЯО<br>ИАР | 0,001-20<br>0,001-20<br><0,001                 | Подземный              | ВКП                      |                 |
| 21.      | 31.05.1969               | 108               | СЯО               | 0,001-20                                       | Подземный              | Нет информации           |                 |
| 22.      | 16.02.1979               | 109               | СЯО               | 0,001-20                                       | Подземный              | Нет информации           |                 |
| 23.      | 07.06.1972               | 110               | СЯО               | 0,001-20                                       | Подземный              | Нет информации           |                 |
| 24.      | 17.08.1977               | 111               | СЯО               | 0,001-20                                       | Подземный              | Нет информации           |                 |
| 25.      | 16.02.1973               | 113               | СЯО               | 20-150   | Подземный              | Нет информации           |                 |
| 26.      | 29.01.1971               | 114               | ИПФ               | 0,001-20                                       | Подземный              | Нет информации           |                 |
| 27.      | 15.01.1976               | 115               | СЯО               | 0,001-20                                       | Подземный              | Нет информации           |                 |
| 28.      | 25.05.1971               | 119               | СЯО               | 0,001-20                                       | Подземный              | Нет информации           |                 |
| 29.      | 24.07.1970               | 120               | СЯО               | 0,001-20                                       | Подземный              | Нет информации           |                 |
| 30.      | 07.08.1975               | 122               | СЯО               | 0,001-20                                       | Подземный              | Нет информации           |                 |
| 31.      | 07.08.1975               | 123               | СЯО               | 0,001-20                                       | Подземный              | Нет информации           |                 |
| 32.      | 04.04.1980               | 126               | СЯО               | 0,001-20                                       | Подземный              | Нет информации           |                 |
| 33.      | 25.06.1980               | 127               | СЯО               | 0,001-20                                       | Подземный              | ВКП                      |                 |
| 34.      | 18.10.1979               | 128               | СЯО               | 0,001-20                                       | Подземный              | ВНК                      | 2 идентичных ЯВ |
| 35.      | 26.12.1983               | 129               | ФМИ               | 0,001-20                                       | Подземный              | ВКП                      |                 |
| 36.      | 26.02.1987               | 130               | ФМИ               | 0,001-20                                       | Подземный              | Нет информации           |                 |
| 37.      | 09.09.1984               | 132               | ИПФ               | 0,001-20                                       | Подземный              | ВКП                      | 4 идентичных ЯВ |
| 38.      | 15.07.1975               | 133               | СЯО               | 0,001-20                                       | Подземный              | ВКП                      | 2 идентичных ЯВ |
| 39.      | Нет информации           | 134               | Нет информации    | Нет информации                                 | Подземный              | Нет информации           |                 |
| 40.      | 22.12.1981               | 135               | СЯО               | 0,001-20                                       | Подземный              | Нет информации           | 3 идентичных ЯВ |
| 41.      | 29.10.1977               | 136<br>136        | СЯО<br>ФМИ        | 0,001-20<br>0,001-20                           | Подземные              | ВКП                      |                 |
| 42.      | 06.06.1987               | 138               | ФМИ               | 0,001-20                                       | Подземный              | ВКП                      |                 |
| 43.      | 17.02.1989               | 139               | СЯО               | 0,001-20                                       | Подземный              | ВКП                      |                 |

| <b>№</b><br>п/п | Дата испытания           | Шифр штольни             | Цель испытания           | Мощность испытания, кт тротилового эквивалента | Условия<br>проведения  | Радиационная<br>ситуация | Примечание   |
|-----------------|--------------------------|--------------------------|--------------------------|--|------------------------|--------------------------|--|
| 44.             | 10.12.1972               | 140                      | ОКО                      | 20-150   | Подземный              | Нет информации           | Первый групповой ЧВ (3-<br>2 и 140) в штольнях на<br>СИП |
| 45.             | 31.05.1979               | 141                      | СЯО                      | 0,001-20                                       | Подземный              | Нет информации           | 3 идентичных ЯВ  |
| 46.             | 30.10.1976               | 143                      | ИПФ                      | 0,001-20                                       | Подземный              | Нет информации           |  |
| 47.             | Нет информации           | 147                      | Нет информации           | Нет информации                                 | Подземный              | Нет информации           |  |
| 48.             | 09.04.1971<br>09.04.1971 | 148/1<br>148/1           | ПВ<br>ПВ                 | 0,23<br>0,23                                   | Подземный<br>Подземный | Нет информации           |  |
| 49.             | Нет информации           | 148/2                    | Нет информации           | Нет информации                                 | Подземный              | Нет информации           |  |
| 50.             | 16.12.1974<br>16.12.1974 | 148/5<br>148/5           | ПВ<br>ПВ                 | 3,8<br>3,8                                     | Подземный<br>Подземный | Нет информации           |  |
| 51.             | Нет информации           | 149                      | Нет информации           | Нет информации                                 | Подземный              | Нет информации           |  |
| 52.             | 19.02.1982               | 150                      | ОЯО                      | 0,001-20                                       | Подземный              | Нет информации           | 2 идентичных взрыва                                      |
| 53.             | Нет информации           | 151                      | Нет информации           | Нет информации                                 | Подземный              | Нет информации           |  |
| 54.             | 25.07.1985               | 152<br>152<br>152<br>152 | СЯО<br>СЯО<br>ЧАИ<br>ЧАИ | 0,001-20<br>0,001-20<br>0,001-20<br>0,001-20   | Подземные              | Нет информации           |  |
| 55.             | 20.02.1975               | 156                      | ИПФ                      | 0,001-20                                       | Подземный              | Нет информации           |  |
| 56.             |                          | 156 T                    | Нет информации           | Нет информации                                 | Подземный              | Нет информации           |  |
| 57.             | 15.12.1971               | 157                      | ИПФ                      | 0,001-20                                       | Подземный              | Нет информации           |  |
| 58.             | Нет информации           | 158                      | Нет информации           | Нет информации                                 | Подземный              | Нет информации           |  |
| 59.             | Нет информации           | 160                      | Нет информации           | Нет информации                                 | Подземный              | Нет информации           |  |
| 60.             | 29.11.1978               | 162                      | СЯО                      | 0,001-20                                       | Подземные              | Нет информации           |  |
| 61.             | 20.02.1975               | 163                      | ИПФ                      | 0,001-20                                       | Подземные              | Нет информации           | 3 идентичных ЯВ  |
| 62.             | 06.05.1987               | 164                      | ФМИ                      | 0,001-20                                       | Подземные              | ВНК                      |  |
| 63.             | 08.06.1975               | 165                      | ОП3                      | 0,001-20                                       | Подземные              | Нет информации           |  |
| 64.             | 17.07.1987               | 168                      | ФМИ                      | 20-150   | Подземные              | ВКП                      |  |
| 65.             | Нет информации           | 169                      | Нет информации           |  | Подземные              | Нет информации           |  |
| 66.             | 23.11.1988               | 169/1<br>169/1           | СЯО                      | 0,001-20<br>0,001-20                           | Подземные              | Нет информации           |  |

| №<br>п/п | Дата испытания | Шифр штольни | Цель испытания | Мощность<br>испытания, кт<br>тротилового<br>эквивалента | Условия<br>проведения | Радиационная<br>ситуация | Примечание          |
|----------|----------------|--------------|----------------|---|-----------------------|--------------------------|---------------------|
|          |                | 169/1        | ФМИ            | <0,001  |                       |                          |                     |
|          |                |              | ИАР            |   |                       |                          |                     |
| 67.      | 04.10.1989     | 169/2-1      | ОЯО            | 0,001-20  | Подземные             | ВНК                      |                     |
| 68.      | Нет информации | 169/2-2      | Нет информации | Нет информации  | Подземные             | Нет информации           |                     |
| 69.      | Нет информации | 169/2-TP     | Нет информации | Нет информации  | Подземные             | Нет информации           |                     |
| 70.      | Нет информации | 170          | Нет информации | Нет информации  | Подземные             | Нет информации           |                     |
| 71.      | 25.12.1982     | 172          | СЯО            | 0,001-20  | Подземные             | ВНК                      | 2 идентичных взрыва |
| 72.      | 22.05.1980     | 173          | СЯО            | 0,001-20  | Подземные             | ВКП                      | 3 идентичных взрыва |
| 73.      | Нет информации | 174          | Нет информации | Нет информации  | Подземные             | Нет информации           |                     |
| 74.      | 30.07.1977     | 175          | СЯО            | 0,001-20  | Подземные             | ВКП                      | 2 идентичных взрыва |
| 75.      | 16.05.1974     | 176          | СЯО            | 0,001-20  | Подземные             | ВКП                      |                     |
| 76.      | 30.03.1983     | 177          | СЯО            | 0,001-20  | Подземные             | Нет информации           |                     |
| 77.      | Нет информации | 178          | Нет информации | Нет информации  | Подземные             | Нет информации           |                     |
| 78.      | 13.09.1974     | 179          | ИПФ            | 0,001-20  | Подземные             | ВКП                      |                     |
| 79.      | 29.11.1983     | 180          | СЯО            | 0,001-20  | Подземные             | ВНК                      | 2 идентичных взрыва |
| 80.      | 10.04.1980     | 181          | СЯО            | 0,001-20  | Подземные             | Нет информации           | 2 идентичных взрыва |
| 81.      | 14.08.1981     | 184          | СЯО            | 0,001-20  | Подземные             | Нет информации           | 3 идентичных взрыва |
| 82.      | 23.07.1976     | 185          | СЯО            | 0,001-20  | Подземные             | Нет информации           |                     |
| 83.      | 12.04.1983     | 186          | ИПΦ            | 0,001-20  | Подземные             | ВНК                      |                     |
| 84.      | 30.06.1981     | 187          | СЯО            | 0,001-20  | Подземные             | Нет информации           | 2 идентичных взрыва |
| 0.5      | 15.04.1004     | 190          | СЯО            | 20-150  | П                     | Нет информации           |                     |
| 85.      | 15.04.1984     | 190          | СЯО            | 0,001-20  | Подземные             |                          |                     |
|          |                | 191          | СЯО            | 0,001-20  |                       | Нет информации           |                     |
| 86.      | 28.03.1972     | 191          | ОП3            | 0,001-20  | Подземные             |                          |                     |
|          |                | 191          | ИАР            | <0,001  |                       |                          |                     |
| 87.      | 05.10.1975     | 192          | СЯО            | 0,001-20  | Подземные             | ВНК                      |                     |
| 88.      | 17.12.1970     | 193          | СЯО            | 20-150  | Подземные             | Нет информации           |                     |
| 89.      | 31.10.1978     | 194          | ФМИ            | 0,001-20  | Подземные             | Нет информации           |                     |
| 90.      | 10.07.1974     | 195          | СЯО            | 0,001-20  | Подземные             | Нет информации           |                     |
| 91.      | 25.06.1982     | 196<br>196   | ИПФ<br>ОЯО     | 0,001-20<br>0,001-20                                    | Подземные             | Нет информации           |                     |

| <b>№</b><br>п/п | Дата испытания | Шифр штольни | Цель испытания | Мощность испытания, кт тротилового эквивалента | Условия<br>проведения | Радиационная<br>ситуация | Примечание      |
|-----------------|----------------|--------------|----------------|--|-----------------------|--------------------------|-----------------|
| 92.             | Нет информации | 198          | Нет информации | Нет информации                                 | Подземные             | Нет информации           |                 |
| 93.             | 15.10.1978     | 200АСМ л     | ИПФ            | 0,001-20                                       | Подземные             | Нет информации           |                 |
| 94.             | Нет информации | 200АСМ п     | Нет информации | Нет информации                                 | Подземные             | Нет информации           |                 |
| 95.             | Нет информации | 200 M-A      | Нет информации | Нет информации                                 | Подземные             | Нет информации           |                 |
| 96.             | 18.10.1984     | 200 М бис    | ИПФ            | 0,001-20                                       | Подземные             | ВНК                      |                 |
| 97.             | 10.03.1972     | 201          | СЯО            | 0,001-20                                       | Подземные             | Нет информации           | 2 идентичных ЯВ |
| 98.             | 21.09.1982     | 203          | СЯО            | 0,001-20                                       | Подземные             | Нет информации           | 2 идентичных ЯВ |
| 99.             | 22.04.1978     | 204          | СЯО            | 0,001-20                                       | Подземные             | Нет информации           | 3 идентичных ЯВ |
| 100.            | 26.10.1973     | 205          | ИПФ            | 0,001-20                                       | Подземные             | ВНК                      |                 |
| 101.            | Нет информации | 207          | Нет информации | Нет информации                                 | Подземные             | Нет информации           |                 |
| 102.            | 03.04.1987     | 208          | ОЯО            | 0,001-20                                       | Подземные             | ВКП                      | 3 идентичных ЯВ |
| 103.            | Нет информации | 210          | Нет информации | Нет информации                                 | Подземные             | Нет информации           |                 |
| 104.            | Нет информации | 212          | Нет информации | Нет информации                                 | Подземные             | Нет информации           |                 |
| 105.            | Нет информации | 214          | Нет информации | Нет информации                                 | Подземные             | Нет информации           |                 |
| 106.            | 30.05.1983     | 215<br>215   | РИМФ<br>СЯО    | 0,001-20<br>0,001-20                           | Подземные             | ВКП                      |                 |
| 107.            | 29.11.1983     | 216          | СЯО            | 0,001-20                                       | Подземные             | Нет информации           |                 |
| 108.            | Нет информации | 420          | Нет информации | Нет информации                                 | Подземные             | Нет информации           |                 |
| 109.            | Нет информации | 430          | Нет информации | Нет информации                                 | Подземные             | Нет информации           |                 |
| 110.            | 30.10.1967     | 501          | СЯО            | 0.001-20                                       | Полземные             | Нет информации           |                 |
| 111.            | 06.09.1970     | 502          | СЯО            | 0,001-20                                       | Подземные             | Нет информации           |                 |
| 112.            | 11.09.1969     | 503<br>503   | ОП3<br>ОП3     | 0,001-20<br>0,001-20                           | Подземные             | Нет информации           |                 |
| 113.            | 23.05.1968     | 504          | СЯО            | < 0,001  | Подземные             | ВНК                      |                 |
| 114.            | 24.04.1968     | 505          | ОЯО            | 0,001-20                                       | Подземные             | Нет информации           |                 |
| 115.            | 15.07.1967     | 506          | ОП3            | 0,001-20                                       | Подземные             | Нет информации           |                 |
| 116.            | 08.12.1967     | 507          | СЯО            | 0,001-20                                       | Подземные             | ВНК                      |                 |
| 117.            | 18.12.1968     | 508          | ОП3            | 0,001-20                                       | Подземные             | ВКП                      |                 |
| 118.            | 05.09.1968     | 509          | ИПФ            | 0,001-20                                       | Подземные             | ВКП                      |                 |
| 119.            | 28.06.1970     | 510          | СЯО            | 20-150   | Подземные             | Нет информации           |                 |
| 120.            | 27.11.1969     | 511          | ОП3            | 0,001-20                                       | Подземные             | Нет информации           |                 |

| №<br>п/п | Дата испытания | Шифр штольни      | Цель испытания    | Мощность испытания, кт тротилового эквивалента | Условия<br>проведения | Радиационная<br>ситуация | Примечание  |
|----------|----------------|-------------------|-------------------|--|-----------------------|--------------------------|---|
| 121.     | 07.06.1972     | 601               | ИПФ               | 0,001-20                                       | Подземные             | Нет информации           |   |
| 122.     | 30.01.1974     | 603               | ИПФ               | 0,001-20                                       | Подземные             | Нет информации           | Произведено 3 идентичных взрыва. Испытание отнесено к групповому ЯИ по его специфике, хотя разновременность взрыва была более 0,1 сек |
| 123.     | 13.12.1975     | 604               | СЯО               | 0,001-20                                       | Подземные             | ВКП                      |   |
| 124.     | 11.06.1968     | 605               | СЯО               | 0,001-20                                       | Подземные             |                          |   |
| 125.     | 09.11.1968     | 606               | ОП3               | 0,001-20                                       | Подземные             | ВКП                      |   |
| 126.     | 01.10.1969     | 607<br>607        | СЯО<br>СЯО        | 0,001-20<br>0,001-20                           | Подземные             | Нет информации           |   |
| 127.     | 12.07.1968     | 608<br>608        | ОЯО<br>СЯО        | 0,001-20<br>0,001-20                           | Подземные             | ВНК                      |   |
| 128.     | 30.12.1971     | 609               | СЯО               | 20-150   | Подземные             | Нет информации           |   |
| 129.     | 27.03.1970     | 610               | ОП3               | 0,001-20                                       | Подземные             | Нет информации           |   |
| 130.     | 30.01.1967     | 611<br>611        | СЯО<br>СЯО        | 0,001-20<br>0,001-20                           | Подземные             | ВКП                      |   |
| 131.     | 26.03.1978     | 701               | СЯО               | 0,001-20                                       | Подземные             | Нет информации           | 2 идентичных ЯВ   |
| 132.     | 29.06.1967     | 703               | СЯО               | 0,001-20                                       | Подземные             | ВКП                      |   |
| 133.     | 22.04.1988     | 704               | ИПФ               | 0,001-20                                       | Подземные             | ВКП                      |   |
| 134.     | 28.06.1970     | 705<br>705        | ОПЗ<br>СЯО        | 0,001-20<br>0,001-20                           | Подземные             | Нет информации           |   |
| 135.     | 25.04.1971     | 706               | СЯО               | 90   | Подземные             | Нет информации           |   |
| 136.     | 29.03.1977     | 707<br>707<br>707 | СЯО<br>СЯО<br>ИАР | 0,001-20<br>0,001-20<br><0,001                 | Подземные             | ВКП                      |   |
| 137.     | 16.08.1972     | 708               | ИПФ               | 8  | Подземные             | Нет информации           |   |
| 138.     | 16.05.1969     | 709               | СЯО               | 0,001-20                                       | Подземные             | ВКП                      |   |
| 139.     | 04.07.1969     | 710               | ОП3               | 0,001-20                                       | Подземные             | Нет информации           |   |

| №<br>п/п | Дата испытания           | Шифр штольни      | Цель испытания    | Мощность испытания, кт тротилового эквивалента | Условия<br>проведения | Радиационная<br>ситуация | Примечание                                  |
|----------|--------------------------|-------------------|-------------------|--|-----------------------|--------------------------|---|
|          |                          | 710               | СЯО               | 0,001-20                                       |                       |                          |   |
| 140.     | 23.07.1969               | 801               | СЯО               | 16   | Подземные             | ВКП                      |   |
| 141.     | 29.01.1970               | 802               | ИПФ               | 0,001-20                                       | Подземные             | Нет информации           | Было произведено 3 идентичных ЯВ            |
| 142.     | 26.12.1977               | 803               | СЯО               | 0,001-20                                       | Подземные             | ВКП                      |   |
| 143.     | 23.11.1984               | 803 бис           | СЯО               | 0,001-20                                       | Подземные             | Нет информации           | 3 идентичных ЯВ                             |
| 144.     | 10.07.1973               | 806<br>806<br>806 | СЯО<br>СЯО<br>ИАР | 0,001-20<br>0,001-20<br><0,001                 | Подземные             | Нет информации           |   |
| 145.     | 22.03.1971               | 807               | СЯО               | 0,001-20                                       | Подземные             | Нет информации           |   |
| 146.     | 30.12.1971               | 809               | СЯО               | 0,001-20                                       | Подземные             | Нет информации           |   |
| 147.     | 07.01.1968               | 810               | ОП3               | 0,001-20                                       | Подземные             | Нет информации           |   |
| 148.     | 19.07.1985               | 901               | СЯО               | 0,001-20                                       | Подземные             | ВКП                      |   |
| 149.     | 31.07.1980               | 902               | СЯО               | 0,001-20                                       | Подземные             | Нет информации           | 2 идентичных ЯВ                             |
| 150.     | 04.02.1965               | A                 | ФМИ               | 0,001-20                                       | Подземные             | ВКП                      |   |
| 151.     | 02.02.1962<br>27.10.1966 | A-1               | ИПФ<br>СЯО        | 0,001-20<br>150-1500                           | Подземные             | ВКП                      | Первое подземное испытание СССР в целях ИПФ |
| 152.     | 16.05.1964<br>21.10.1967 | A-4<br>A-4        | ОЯО<br>ОЯО        | 20-150<br>150-1500                             | Подземные             | Нет информации           | Первый групповой ЯВ в 2 штольнях            |
| 153.     | 19.07.1964               | A-5<br>A-5        | ФМИ<br>СЯО        | 20-150<br>20-150                               | Подземные             | Нет информации           | Первый групповой ЯВ в 2 штольнях            |
| 154.     | 15.03.1964<br>14.10.1970 | A-6<br>A-6        | ИПФ<br>СЯО        | 20-150<br>150-1500                             | Подземные             | Нет информации           | 3 идентичных ЯВ                             |
| 155.     | 20.08.1968               | A-7<br>A-7        | СЯО<br>ИАР        | 0,001-20<br><0,001                             | Подземные             | Нет информации           |   |
| 156.     | 27.09.1971               | A-8               | СЯО               | 150-1500                                       | Подземные             | Нет информации           | 4 идентичных ЯВ                             |
| 157.     | 25.10.1964<br>17.10.1967 | Б Б               | ОП3<br>ОП3        | 0,001-20<br>0,001-20                           | Подземные             | Нет информации           |   |
| 158.     | Нет информации           | Б –2/80-1         | Нет информации    | Нет информации                                 | Подземные             | Нет информации           |   |
| 159.     | Нет информации           | Б-2/80-2          | Нет информации    | Нет информации                                 | Подземные             | Нет информации           |   |

| №<br>п/п | Дата испытания           | Шифр штольни | Цель испытания | Мощность испытания, кт тротилового эквивалента | Условия<br>проведения | Радиационная<br>ситуация | Примечание  |
|----------|--------------------------|--------------|----------------|--|-----------------------|--------------------------|---|
| 160.     | 11.10.1961<br>12.09.1973 | B-1<br>B-1   | ФМИ<br>СЯО     | 1<br>150-1500-10000                            | Подземные             | ВНК                      | Первое подземное испытание СССР, на СИП и в штольне Самое мощное подземное испытание СССР |
| 161.     | 06.06.1964               | B-2          | ФМИ            | 0,001-20                                       | Подземные             | ВНК                      |   |
| 162.     | 18.09.1964<br>29.10.1966 | Γ            | ФМИ<br>СЯО     | 0,001-20<br>0,001-20                           | Подземные             | Нет информации           | Первое подземное ЯИ на<br>СИПНЗ в штольне   |
| 163.     | 13.02.1966               | E-1          | ОПЗ            | 125  | Подземные             | ВКП                      | Самый мощный ЯВ на<br>СИП в штольне   |
| 164.     | 29.09.1968               | E-2          | ИПФ            | 60   | Подземные             | Нет информации           |   |
| 165.     | 17.06.1965               | Ж-1          | ОП3            | 0,001-20                                       | Подземные             | ВНК                      |   |
| 166.     | 22.11.1965               | Ж-2          | СЯО            | 29   | Подземные             | ВКП                      |   |
| 167.     | 03.03.1965               | Ж-3          | СЯО            | 0,001-20                                       | Подземные             | ВНК                      |   |
| 168.     | Нет информации           | Ж-4          | Нет информации | Нет информации                                 | Подземные             | Нет информации           |   |
| 169.     | 08.10.1965               | 3-1          | СЯО            | 0,001-20                                       | Подземные             | Нет информации           |   |
| 170.     | 10.12.1972               | 3-2          | ОКО            | 0,001-20                                       | Подземные             | Нет информации           | Первый групповой ЯВ в двух штольнях (3-2 и 140) на территории СИП                         |
| 171.     | 24.12.1965               | 3-3          | ОП3            | 0,001-20                                       | Подземные             | ВНК                      |   |
| 172.     | 16.11.1964               | 3-5          | ОП3            | 20-150   | Подземные             | ВКП                      |   |
| 173.     | 29.06.1966               | 3-6          | ОП3            | 20-150   | Подземные             | Нет информации           |   |
| 174.     | 16.10.1987               | К-85         | ИПФ            | 0,001-20                                       | Подземные             | Нет информации           |   |
| 175.     | Нет информации           | K-2/1        | Нет информации | Нет информации                                 | Подземные             | Нет информации           |   |
| 176.     | Нет информации           | K-2/2        | Нет информации | Нет информации                                 | Подземные             | Нет информации           |   |
| 177.     | 06.07.1972               | Метро        | Нет информации | Нет информации                                 | Подземные             | Нет информации           |   |
| 178.     | Нет информации           | Метро-Х      | Нет информации | Нет информации                                 | Подземные             | Нет информации           |   |
| 179.     | Нет информации           | НЦР-1        | Нет информации | Нет информации                                 | Подземные             | Нет информации           |   |
| 180.     | Нет информации           | НЦР-2        | Нет информации | Нет информации                                 | Подземные             | Нет информации           |   |
| 181.     | Нет информации           | НЦР-3        | Нет информации | Нет информации                                 | Подземные             | Нет информации           |   |

#### Сокращения:

СЯО - создание или совершенствование ядерного оружия;
ФМИ - фундаментальные и методические исследования;
ИАР - исследования аварийных режимов и аварийных ситуаций;
ИПФ - исследования поражающих факторов ЯВ и их воздействие на военные и гражданские объекты;
ВКП - взрыв полного камуфлета,

ВНК - взрыв неполного камуфлета

#### Перечень радиационно-опасных объектов испытательной площадки «Дегелен»

На основании данных по лабораторным анализам и анализу карт площадного распределения техногенных радионуклидов установлен перечень радиационно-опасных объектов (Рисунок 4).

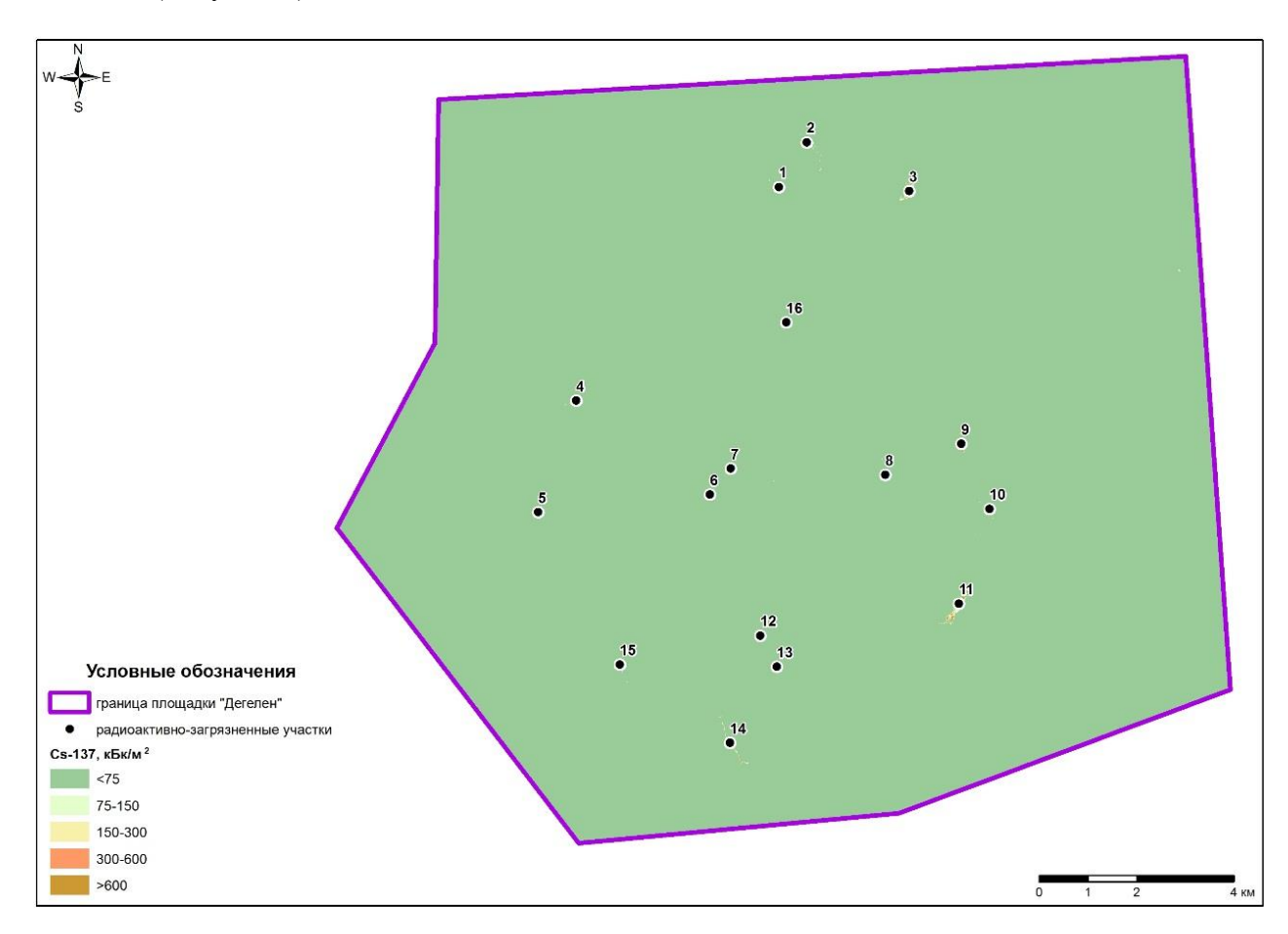


Рисунок 4. Карта-схема расположения радиационно-опасных объектов на площадке «Дегелен»

#### Место расположения

Участок расположен в северной части площадки «Дегелен», район штолен 138 и 511. Долина р. Карабулак. Географические координаты представлены в таблице (Таблица 2).

Таблица 2.Географические координаты участка №1

| No vino otivo | Географические координаты |        |    |    |         |    |
|---------------|---------------------------|--------|----|----|---------|----|
| № участка     |                           | Широта |    |    | Долгота |    |
| 1             | 49                        | 50     | 14 | 78 | 03      | 33 |

#### Характеристика источника радиационного загрязнения

Радиационное загрязнение образовано в результате проведения подземных ядерных испытаний в штольнях 138 и 511.

#### Экологические характеристики объекта

На участке наиболее показательным техногенным радионуклидом является <sup>137</sup>Cs (Рисунок 5). Он имеет локальный характер и распространяется в пределах припортальной территории штолен и водотока из штольни 511.

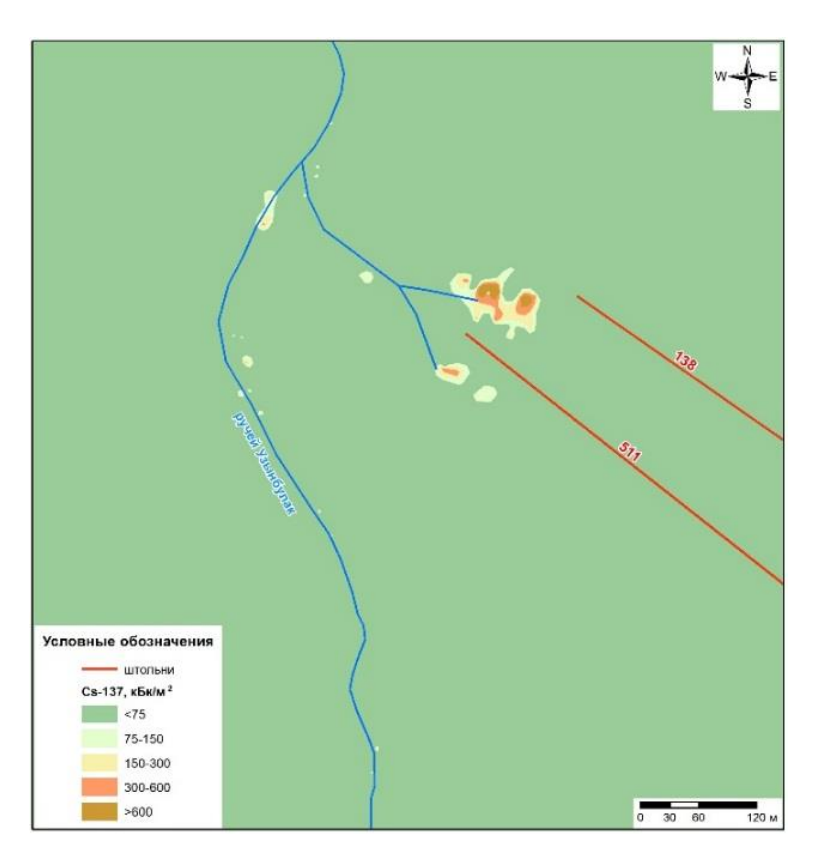


Рисунок 5. Карта площадного распределения <sup>137</sup>Сs на участке №1

Диапазон площадных активностей основных техногенных радионуклидов, кБк/м<sup>2</sup>:

- $\bullet$  <sup>241</sup>Am:  $<4.9\times10^2-3.5\times10^2$ ;
- $^{137}$ Cs:  $< 75 4.5 \times 10^4$ ;
- $^{90}$ Sr:  $<1,2\times10^2-1,2\times10^3$ ;
- $\bullet$  <sup>239+240</sup>Pu: <4,1×10<sup>2</sup> 6,1×10<sup>3</sup>.

Площадь радиоактивного загрязнения, превышающая значения, указанные в Критериях оценки экологической обстановки территорий, составляет порядка  $2,6\times10^4$  м<sup>2</sup>. В тоже время объем радиоактивного материала составляет порядка  $5,2\times10^3$  м<sup>3</sup>.

#### Место расположения

Участок расположен в северной части площадки «Дегелен», район штольни 3-6, Б-2/80-1, Б-2/80-2. Долина р. Карабулак. Географические координаты представлены в таблице (Таблица 3).

Таблица 3. Географические координаты участка №2

| Ŋ | Ма хима атма | Географические координаты |        |    |    |         |    |  |
|---|--------------|---------------------------|--------|----|----|---------|----|--|
|   | № участка    |                           | Широта |    |    | Долгота |    |  |
|   | 2            | 49                        | 50     | 41 | 78 | 04      | 04 |  |

#### Характеристика источника радиационного загрязнения

Радиационное загрязнение образовано в результате проведения подземных ядерных испытаний в штольнях 3-6, Б-2/80-1, Б-2/80-2.

#### Экологические характеристики объекта

На участке наиболее показательным техногенным радионуклидом является <sup>137</sup>Cs (

). Он имеет локальный характер и распространяется в пределах припортальной территории штолен и водотоков из них.

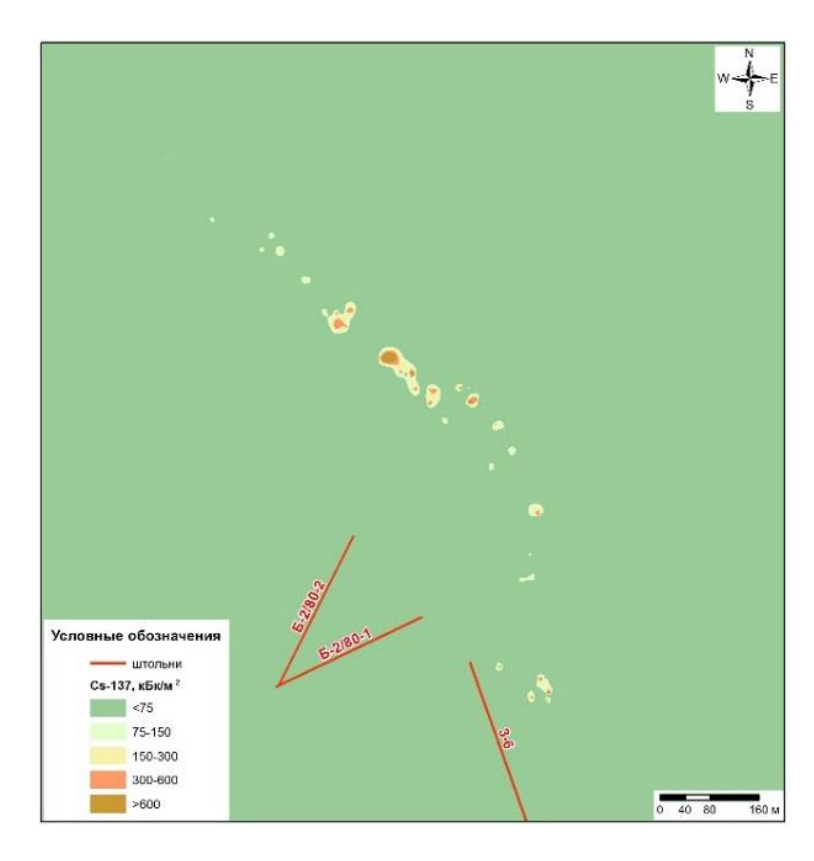


Рисунок 6. Карта площадного распределения <sup>137</sup>Сs на участке №2

Диапазон площадных активностей основных техногенных радионуклидов, кБк/м<sup>2</sup>:

- $\bullet$  <sup>241</sup>Am:  $<4.9\times10^2-3.5\times10^3$ ;
- $^{137}$ Cs:  $< 75 6.5 \times 10^4$ :
- $^{90}$ Sr:  $<1,2\times10^2-2,3\times10^3$ ;
- $\bullet$  <sup>239+240</sup>Pu: <4.1×10<sup>2</sup> 3.1×10<sup>4</sup>.

Площадь радиоактивного загрязнения, превышающая значения, указанные в Критериях оценки экологической обстановки территорий, составляет порядка  $9.9 \times 10^4$  м<sup>2</sup>. В тоже время объем радиоактивного материала составляет порядка  $2.0 \times 10^4$  м<sup>3</sup>.

#### Место расположения

Участок расположен в северной части площадки «Дегелен», в правом притоке р. Карабулак. Район штольни 504. Географические координаты представлены в таблице (Таблица 4).

Таблица 4. Географические координаты участка №3

| J | Мо туго отгаз | Географические координаты |        |    |    |         |    |
|---|---------------|---------------------------|--------|----|----|---------|----|
|   | № участка     |                           | Широта |    |    | Долгота |    |
|   | 3             | 49                        | 50     | 02 | 78 | 05      | 46 |

#### Характеристика источника радиационного загрязнения

Радиационное загрязнение образовано в результате проведения подземного ядерного испытаний в штольне 504 и выноса его водотоком.

#### Экологические характеристики объекта

На участке наиболее показательным техногенным радионуклидом является <sup>137</sup>Cs (Рисунок 7). Он имеет локальный характер и распространяется в пределах припортальной территории штольни и водотока из него.

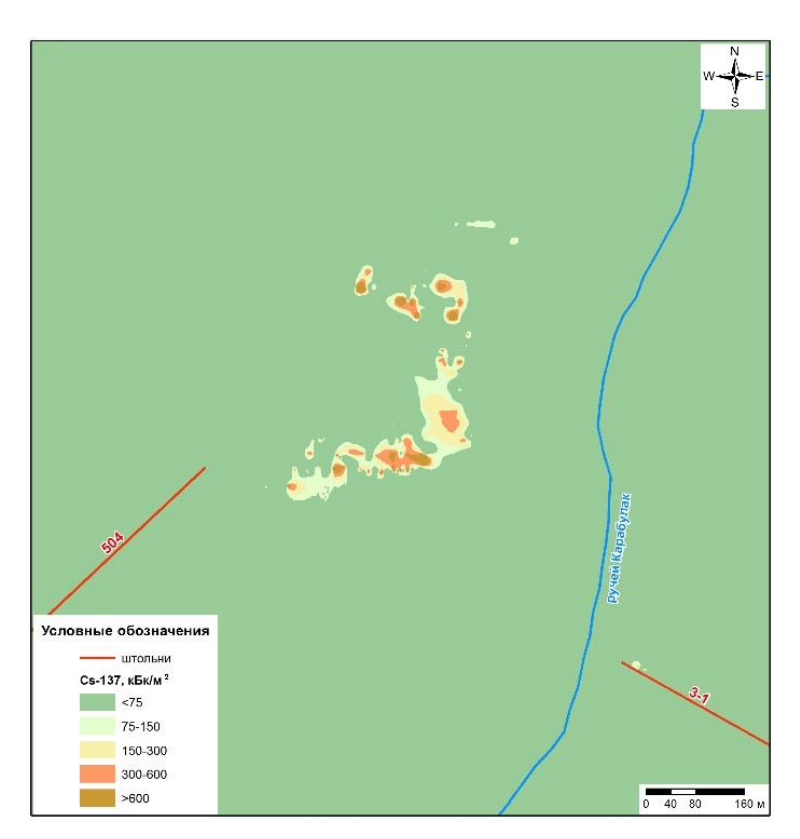


Рисунок 7. Карта площадного распределения <sup>137</sup>Сs на участке №3

Диапазон площадных активностей основных техногенных радионуклидов, кБк/м<sup>2</sup>:

- $\bullet^{241}$ Am:  $<4,9\times10^2-1,6\times10^3$ ;
- $^{137}$ Cs:  $< 75 1.2 \times 10^5$ ;
- $^{90}$ Sr:  $<1,2\times10^2-6,2\times10^3$ :
- $\bullet$  <sup>239+240</sup>Pu: <4.1×10<sup>2</sup> 1.4×10<sup>4</sup>.

Площадь радиоактивного загрязнения, превышающая значения, указанные в Критериях оценки экологической обстановки территорий, составляет порядка  $1,3\times10^5$  м². В тоже время объем радиоактивного материала составляет порядка  $2,5\times10^4$  м³.

#### Место расположения

Участок расположен в северной части площадки «Дегелен» в районе штолен 156 и 156-Т. Географические координаты представлены в таблице (Таблица 5).

Таблица 5. Географические координаты участка №4

| № участка | Географические координаты |    |    |         |    |    |
|-----------|---------------------------|----|----|---------|----|----|
|           | Широта                    |    |    | Долгота |    |    |
| 4         | 49                        | 47 | 56 | 77      | 59 | 59 |

#### Характеристика источника радиационного загрязнения

Радиационное загрязнение образовано в результате проведения подземных ядерных испытаний в штольнях 156 и 156-Т.

#### Экологические характеристики объекта

На участке наиболее показательным техногенным радионуклидом является <sup>137</sup>Cs (Рисунок 8). Он имеет локальный характер и распространяется в пределах припортальной территории штолен и водотоков из них.

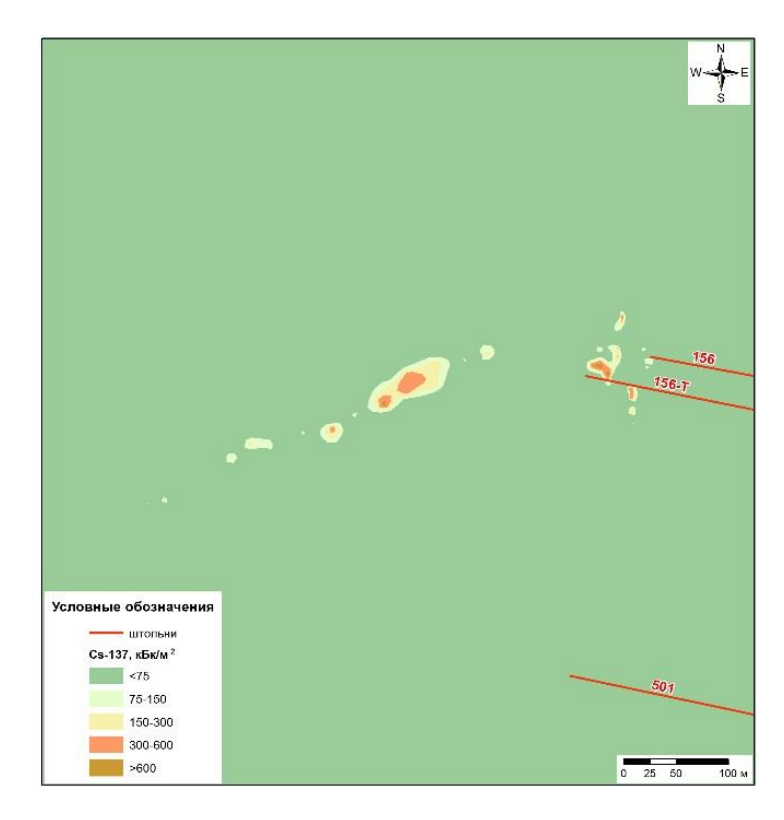


Рисунок 8. Карта площадного распределения <sup>137</sup>Сs на участке №4

Диапазон площадных активностей основных техногенных радионуклидов, кБк/м<sup>2</sup>:

- $^{241}$ Am:  $<4.9\times10^2$ ;
- $^{137}$ Cs:  $< 75 3.8 \times 10^3$ :
- $^{90}$ Sr:  $<1,2\times10^2-1,4\times10^4$ ;
- $^{239+240}$ Pu:  $<4.1\times10^2-1.8\times10^3$ .

Площадь радиоактивного загрязнения, превышающая значения, указанные в Критериях оценки экологической обстановки территорий, составляет порядка  $3.7 \times 10^4$  м<sup>2</sup>. В тоже время объем радиоактивного материала составляет порядка  $7.4 \times 10^3$  м<sup>3</sup>.

#### Место расположения

Участок расположен в западной части площадки «Дегелен» в долине ручья Безымянный. Район штольни 503. Географические координаты представлены в таблице (Таблица 6).

Таблица 6. Географические координаты участка №5

| No vivo omico | Географические координаты |    |    |         |    |    |  |
|---------------|---------------------------|----|----|---------|----|----|--|
| № участка     | Широта                    |    |    | Долгота |    |    |  |
| 5             | 49                        | 46 | 42 | 77      | 59 | 11 |  |

#### Характеристика источника радиационного загрязнения

Радиационное загрязнение образовано в результате проведения подземного ядерного испытаний в штольне 503 и выноса его водотоком.

#### Экологические характеристики объекта

На участке наиболее показательным техногенным радионуклидом является <sup>137</sup>Cs (Рисунок 9). Он имеет локальный характер и распространяется в пределах припортальной территории штольни и водотока из него.

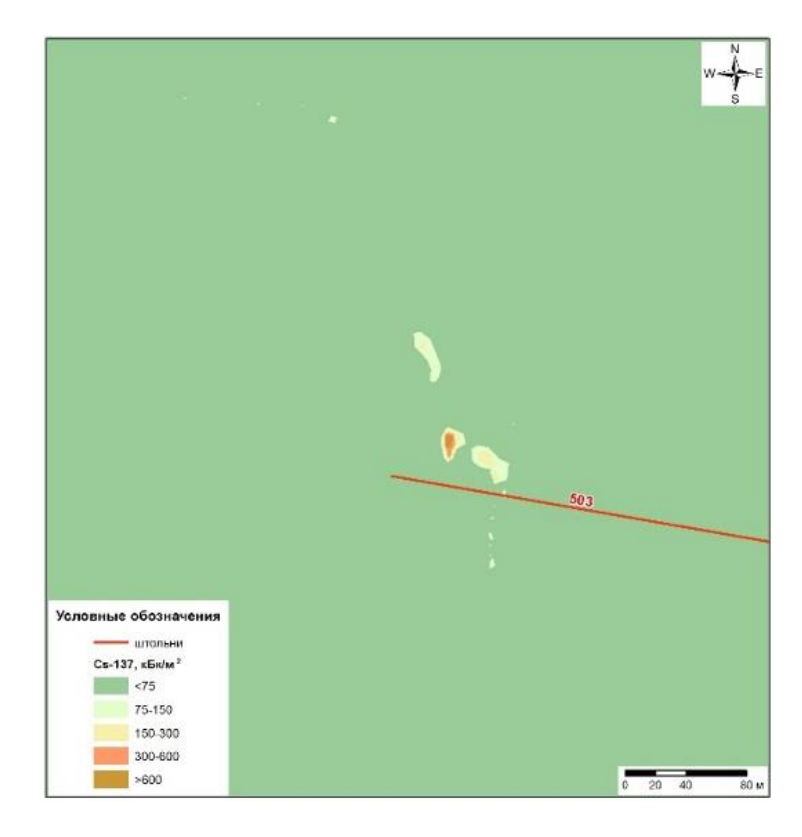


Рисунок 9. Карта площадного распределения <sup>137</sup>Сs на участке №5

Диапазон площадных активностей основных техногенных радионуклидов, кБк/м<sup>2</sup>:

- $\bullet$  <sup>241</sup>Am: <4,9×10<sup>2</sup>;
- $^{137}$ Cs:  $< 75 2.1 \times 10^3$ :
- $^{90}$ Sr:  $<1,2\times10^2-3,6\times10^2$ ;
- $\bullet$  <sup>239+240</sup>Pu: <4,1×10<sup>2</sup> 8,8×10<sup>2</sup>.

Площадь радиоактивного загрязнения, превышающая значения, указанные в Критериях оценки экологической обстановки территорий, составляет порядка  $1,5 \times 10^3$  м<sup>2</sup>. В тоже время объем радиоактивного материала составляет порядка  $3,1 \times 10^2$  м<sup>3</sup>.

#### Место расположения

Участок расположен в центральной части площадки «Дегелен». Второй правый приток ручья Узынбулак. Район штолен 173, 172, D. Географические координаты представлены в таблице (Таблица 7).

Таблица 2 Географические координаты участка №6

|     | No vyvo omvo | Географические координаты |        |    |    |         |    |
|-----|--------------|---------------------------|--------|----|----|---------|----|
| JN⊇ | № участка    |                           | Широта |    |    | Долгота |    |
|     | 6            | 49                        | 46     | 50 | 78 | 02      | 07 |

#### Характеристика источника радиационного загрязнения

Радиационное загрязнение образовано в результате проведения подземного ядерного испытаний в штольне 172.

#### Экологические характеристики объекта

На участке наиболее показательным техногенным радионуклидом является <sup>137</sup>Cs (Рисунок 10). Он имеет локальный характер и распространяется в пределах припортальной территории штольни.

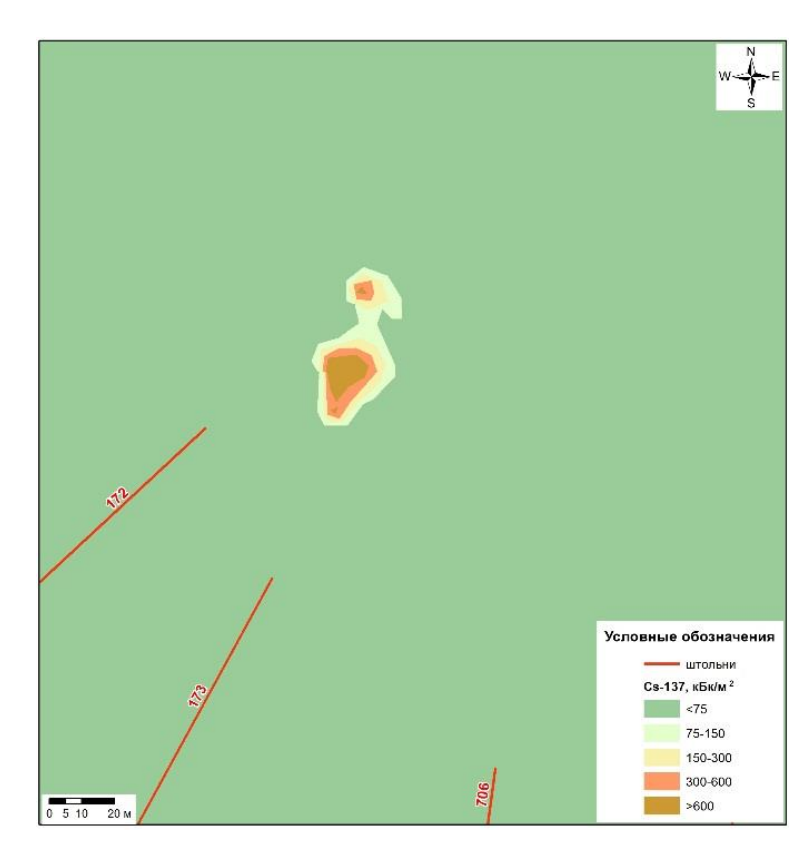


Рисунок 10. Карта площадного <sup>137</sup>Сs распределения на участке №6

Диапазон площадных активностей основных техногенных радионуклидов, кБк/м<sup>2</sup>:

- $^{241}$ Am:  $<4,9\times10^2$ ;
- $^{137}$ Cs:  $< 75 3.6 \times 10^4$ ;
- $^{90}$ Sr:  $<1,2\times10^2-1,3\times10^2$ ;
- $^{239+240}$ Pu:  $<4.1\times10^2-2.9\times10^3$ .

Площадь радиоактивного загрязнения, превышающая значения, указанные в Критериях оценки экологической обстановки территорий, составляет порядка  $3.0 \times 10^3$  м<sup>2</sup>. В тоже время объем радиоактивного материала составляет порядка  $6.1 \times 10^2$  м<sup>3</sup>.

#### Место расположения

Участок расположен в центральной части площадки «Дегелен». Второй правый приток ручья Узынбулак. Водоток из штольни 177. Географические координаты представлены в таблице (Таблица 8).

Таблица 8. Географические координаты участка №7

| MG       |           | Географические координаты |        |    |    |         |    |  |
|----------|-----------|---------------------------|--------|----|----|---------|----|--|
| JN2 y 43 | № участка |                           | Широта |    |    | Долгота |    |  |
| 7        | 7         | 49                        | 47     | 08 | 78 | 02      | 32 |  |

#### Характеристика источника радиационного загрязнения

Радиационное загрязнение образовано в результате проведения подземного ядерного испытаний в штольне 177 и выноса его водотоком.

#### Экологические характеристики объекта

На участке наиболее показательным техногенным радионуклидом является <sup>137</sup>Cs (Рисунок 11). Он имеет локальный характер и распространяется в пределах припортальной территории штольни и водотока из него.

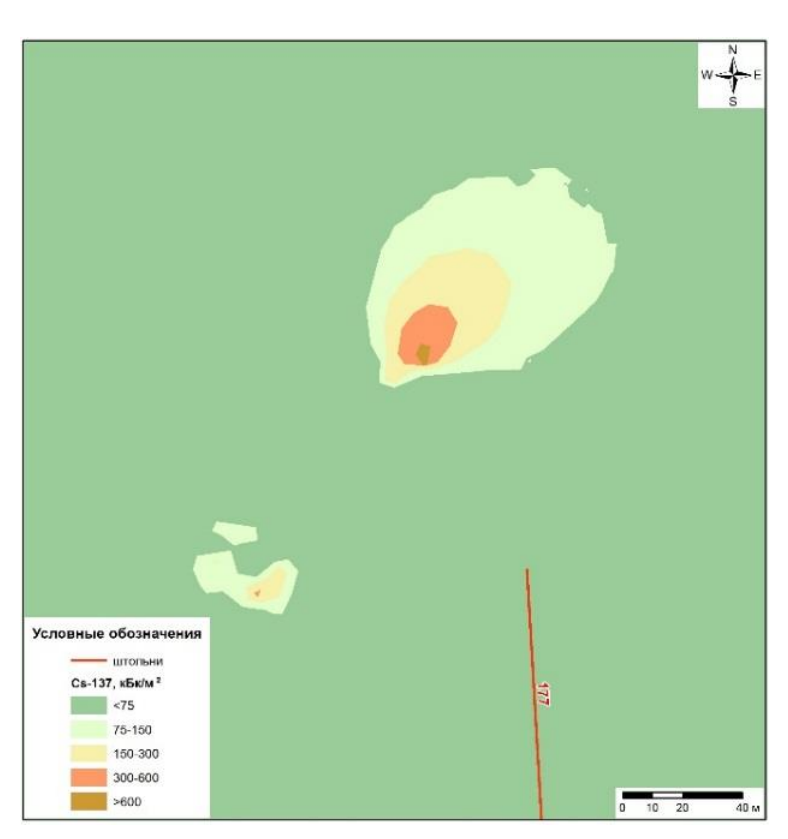


Рисунок 11. Карта площадного распределения <sup>137</sup>Сs на участке №7

Диапазон площадных активностей основных техногенных радионуклидов, кБк/м<sup>2</sup>:

- $^{241}$ Am:  $<4,9\times10^2$ ;
- $^{137}$ Cs:  $< 75 2.9 \times 10^4$ ;
- $^{90}$ Sr:  $<1,2\times10^2-6,2\times10^3$ ;
- $\bullet$  <sup>239+240</sup>Pu: <4.1×10<sup>2</sup> 3.9×10<sup>3</sup>.

Площадь радиоактивного загрязнения, превышающая значения, указанные в Критериях оценки экологической обстановки территорий, составляет порядка  $4.8 \times 10^3$  м<sup>2</sup>. В тоже время объем радиоактивного материала составляет порядка  $1.0 \times 10^3$  м<sup>3</sup>.

#### Место расположения

Участок расположен в центральной части площадки «Дегелен». Третий левый приток ручья Узынбулак. Район штолен 192, 212, K-2/2. Географические координаты представлены в таблице (Таблица 9).

Таблица 9. Географические координаты участка №8

|  | No vivo omico |    |        | Географически | ие координаты |         |    |
|--|---------------|----|--------|---------------|---------------|---------|----|
|  | № участка     |    | Широта |               |               | Долгота |    |
|  | 8             | 49 | 46     | 58            | 78            | 05      | 09 |

#### Характеристика источника радиационного загрязнения

Радиационное загрязнение образовано в результате проведения подземных ядерных испытаний в штольнях 212, K-2/2 и выноса его водотоком.

#### Экологические характеристики объекта

На участке наиболее показательным техногенным радионуклидом является <sup>137</sup>Cs (Рисунок 12). Он имеет локальный характер и распространяется в пределах припортальной территории штолен и водотоков из них.

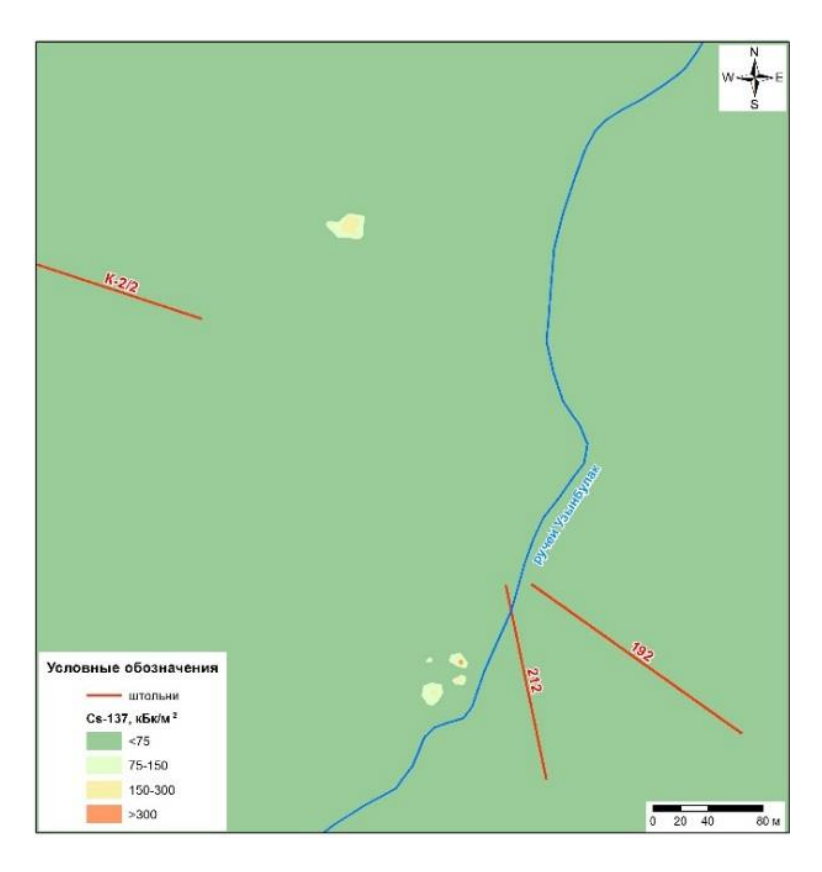


Рисунок 12. Карта площадного распределения <sup>137</sup>Сs на участке №8

Диапазон площадных активностей основных техногенных радионуклидов, кБк/м<sup>2</sup>:

- $^{241}$ Am:  $<4,9\times10^2$ ;
- $^{137}$ Cs:  $< 75 3.0 \times 10^2$ ;
- $^{90}$ Sr:  $< 1,2 \times 10^2 5,1 \times 10^2$ ;
- $\bullet$  <sup>239+240</sup>Pu:  $< 4,1\times10^2 2,6\times10^3$ .

Площадь радиоактивного загрязнения, превышающая значения, указанные в Критериях оценки экологической обстановки территорий, составляет порядка  $5.5 \times 10^3$  м<sup>2</sup>. В тоже время объем радиоактивного материала составляет порядка  $1.1 \times 10^3$  м<sup>3</sup>.

#### Место расположения

Участок расположен в центральной части площадки «Дегелен». Четвертый левый приток ручья Узынбулак. Район штолен 129, 704, 194, 607. Географические координаты представлены в таблице (Таблица 10).

Таблица 10. Географические координаты участка №9

| Ma . |           |    | Географические координаты |    |    |         |    |  |  |
|------|-----------|----|---------------------------|----|----|---------|----|--|--|
| 745  | № участка |    | Широта                    |    |    | Долгота |    |  |  |
|      | 9         | 49 | 47                        | 12 | 78 | 06      | 29 |  |  |

#### Характеристика источника радиационного загрязнения

Радиационное загрязнение образовано в результате проведения подземных ядерных испытаний в штольнях 704, 194, 607 и выноса его водотоком.

#### Экологические характеристики объекта

На участке наиболее показательным техногенным радионуклидом является <sup>137</sup>Cs (Рисунок 13). Он имеет локальный характер и распространяется в пределах припортальной территории штолен и водотоков из них.

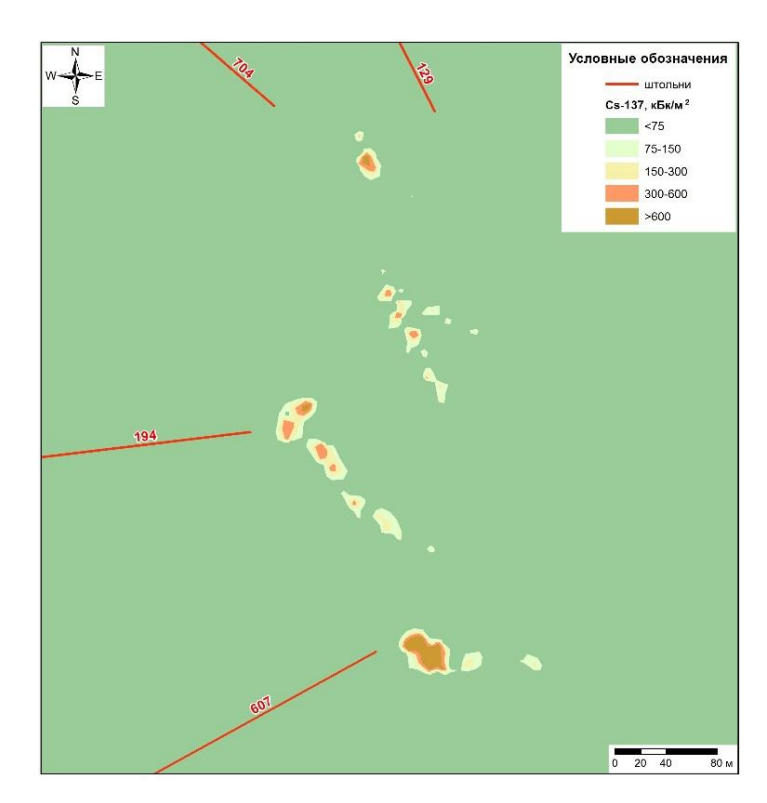


Рисунок 13. Карта площадного <sup>137</sup>Сs распределения на участке №9

Диапазон площадных активностей основных техногенных радионуклидов, кБк/м<sup>2</sup>:

- $\bullet$  <sup>241</sup>Am: <4,9×10<sup>2</sup>;
- $^{137}$ Cs:  $< 75 3,3 \times 10^4$ ;
- $^{90}$ Sr:  $< 1,2 \times 10^2 6,5 \times 10^3$ ;
- $\bullet$  <sup>239+240</sup>Pu:  $< 4,1\times10^2 2,4\times10^3$ .

Площадь радиоактивного загрязнения, превышающая значения, указанные в Критериях оценки экологической обстановки территорий, составляет порядка  $5.6 \times 10^3$  м<sup>2</sup>. В тоже время объем радиоактивного материала составляет порядка  $1.1 \times 10^3$  м<sup>3</sup>.

#### Место расположения

Участок расположен в центральной части площадки «Дегелен». Четвертый левый приток ручья Узынбулак. Район штольни 195. Географические координаты представлены в таблице (Таблица 11).

Таблица 11. Географические координаты участка №10

| No vivo omvo |    |        | Географически | ие координаты |         |    |  |
|--------------|----|--------|---------------|---------------|---------|----|--|
| № участка    |    | Широта |               |               | Долгота |    |  |
| 10           | 49 | 46     | 37            | 78            | 06      | 44 |  |

#### Характеристика источника радиационного загрязнения

Радиационное загрязнение образовано в результате проведения подземного ядерного испытаний в штольне 195 и выноса его водотоком.

#### Экологические характеристики объекта

На участке наиболее показательным техногенным радионуклидом является <sup>137</sup>Cs (Рисунок 14). Он имеет локальный характер и распространяется в пределах припортальной территории штольни и водотока из него.

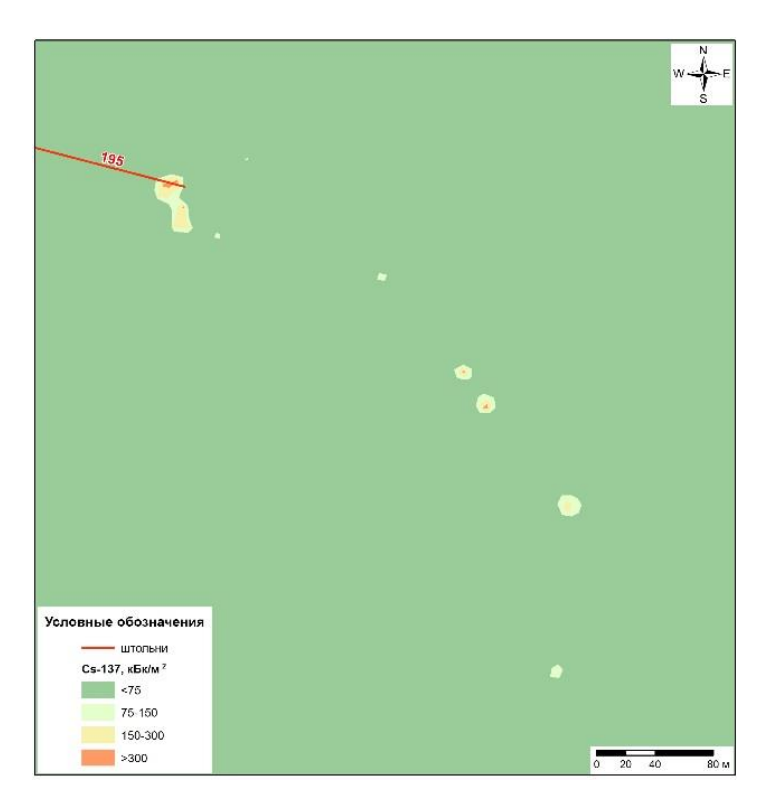


Рисунок 14. Карта площадного распределения <sup>137</sup>Сs на участке №10

Диапазон площадных активностей основных техногенных радионуклидов, кБк/м<sup>2</sup>:

- $\bullet$  <sup>241</sup>Am: <4,9×10<sup>2</sup>;
- $^{137}$ Cs:  $< 75 3.3 \times 10^4$ :
- $\bullet$  90Sr:  $< 1,2 \times 10^2 5,9 \times 10^3$ ;
- $\bullet$  <sup>239+240</sup>Pu:  $< 4.1 \times 10^2 9.0 \times 10^2$ .

Площадь радиоактивного загрязнения, превышающая значения, указанные в Критериях оценки экологической обстановки территорий, составляет порядка  $4.8 \times 10^3$  м<sup>2</sup>. В тоже время объем радиоактивного материала составляет порядка  $4.8 \times 10^2$  м<sup>3</sup>.

#### Место расположения

Участок расположен в центральной части площадки «Дегелен». Четвертый правый приток ручья Узынбулак. Район штолен 104, 608. Географические координаты представлены в таблице (Таблица 12).

Таблица 12. Географические координаты участка №11

| No vivo omvo |    |        | Географически | ие координаты |         |    |  |
|--------------|----|--------|---------------|---------------|---------|----|--|
| № участка    |    | Широта |               |               | Долгота |    |  |
| 11           | 49 | 45     | 30            | 78            | 06      | 20 |  |

#### Характеристика источника радиационного загрязнения

Радиационное загрязнение образовано в результате проведения подземных ядерных испытаний в штольнях 104, 608 и выноса его водотоком.

#### Экологические характеристики объекта

На участке наиболее показательным техногенным радионуклидом является <sup>137</sup>Cs (Рисунок 15). Он имеет масштабный характер, уходя в северо- восточном направлении от припортальной территории штолен по водотокам.

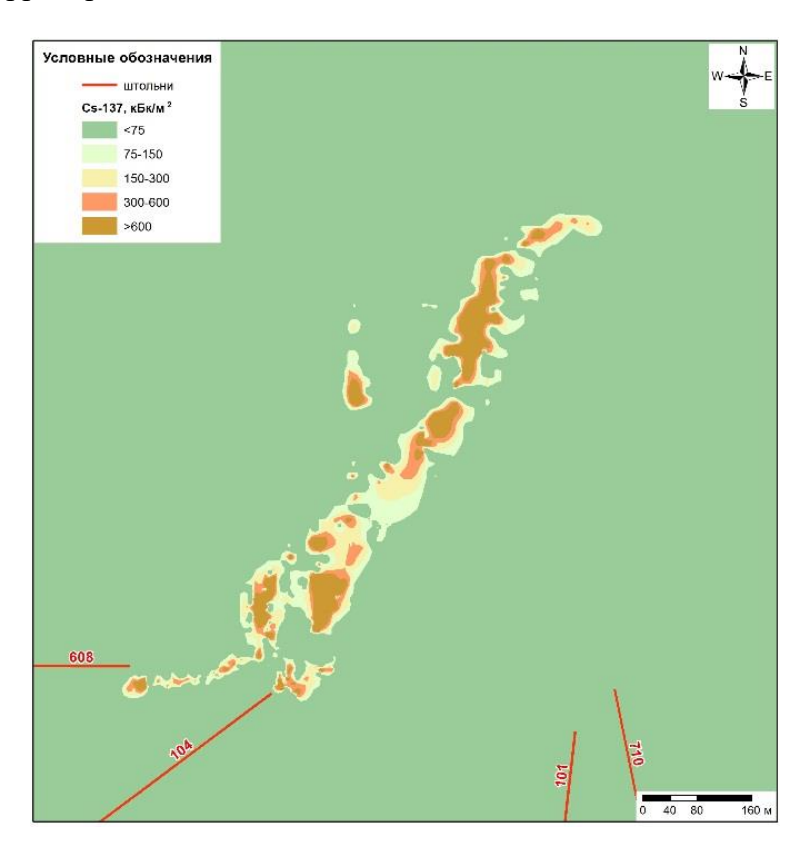


Рисунок 15. Карта площадного распределения <sup>137</sup>Сs на участке №11

Диапазон площадных активностей основных техногенных радионуклидов, кБк/м<sup>2</sup>:

- $\bullet$  <sup>241</sup>Am:  $< 4.9 \times 10^2 2.1 \times 10^3$ ;
- $^{137}$ Cs:  $< 75 1,5 \times 10^5$ ;
- $^{90}$ Sr:  $< 1.2 \times 10^2 1.6 \times 10^4$ :
- $\bullet$  <sup>239+240</sup>Pu:  $< 4.1 \times 10^2 1.8 \times 10^4$ .

Площадь радиоактивного загрязнения, превышающая значения, указанные в Критериях оценки экологической обстановки территорий, составляет порядка  $2,6\times10^5$  м<sup>2</sup>. В тоже время объем радиоактивного материала составляет порядка  $5,2\times10^4$  м<sup>3</sup>.

#### Место расположения

Участок расположен в южной части площадки «Дегелен». Долина р. Байтлес. Район штолен 609, 810. Географические координаты представлены в таблице (Таблица 13).

Таблица 13. Географические координаты участка №12

| No vivo omiso |    |        | Географически | ие координаты |         |    |
|---------------|----|--------|---------------|---------------|---------|----|
| № участка     |    | Широта |               |               | Долгота |    |
| 12            | 49 | 45     | 17            | 78            | 02      | 52 |

#### Характеристика источника радиационного загрязнения

Радиационное загрязнение образовано в результате проведения подземного ядерного испытаний в штольне 609 и выноса его водотоком.

#### Экологические характеристики объекта

На участке наиболее показательным техногенным радионуклидом является <sup>137</sup>Cs (Рисунок 16). Он имеет локальный характер и распространяется в пределах припортальной территории штольни и водотока из нее.

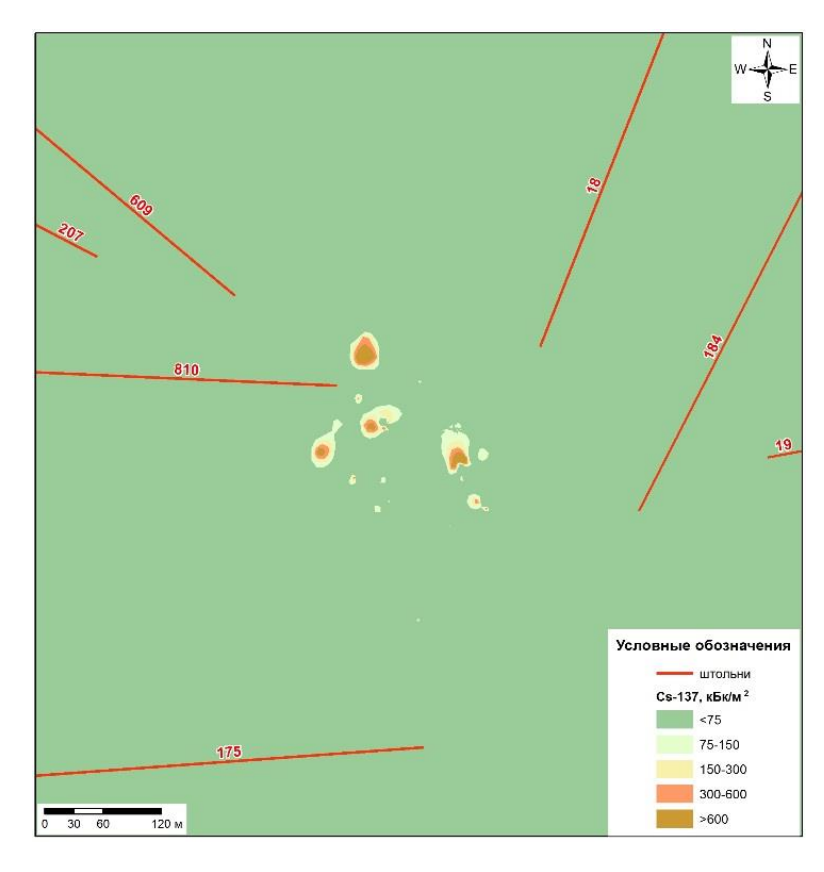


Рисунок 16. Карта площадного распределения <sup>137</sup>Сs на участке №12

Диапазон площадных активностей основных техногенных радионуклидов, кБк/м<sup>2</sup>:

- $\bullet^{241}$ Am:  $<4.9\times10^2-1.1\times10^3$ ;
- $^{137}$ Cs:  $< 75 4.2 \times 10^5$ :
- $^{90}$ Sr:  $< 1,2 \times 10^2 2,4 \times 10^5$ ;
- $\bullet$  <sup>239+240</sup>Pu:  $< 4.1 \times 10^2 1.0 \times 10^4$ .

Площадь радиоактивного загрязнения, превышающая значения, указанные в Критериях оценки экологической обстановки территорий, составляет порядка  $6.1 \times 10^4$  м<sup>2</sup>. В тоже время объем радиоактивного материала составляет порядка  $1.2 \times 10^4$  м<sup>3</sup>.

#### Место расположения

Участок расположен в южной части площадки «Дегелен». Долина р. Байтлес. Район штольни 210. Географические координаты представлены в таблице (Таблица 14).

Таблица 14. Географические координаты участка №13

| No vivo amino |    |        | Географически | ие координаты |         |    |
|---------------|----|--------|---------------|---------------|---------|----|
| № участка     |    | Широта |               |               | Долгота |    |
| 13            | 49 | 44     | 53            | 78            | 03      | 10 |

#### Характеристика источника радиационного загрязнения

Радиационное загрязнение образовано в результате проведения подземного ядерного испытаний в штольне 210 и выноса его водотоком.

#### Экологические характеристики объекта

На участке наиболее показательным техногенным радионуклидом является <sup>137</sup>Cs (Рисунок 17). Он имеет локальный характер и распространяется в пределах припортальной территории штольни и водотока из него.

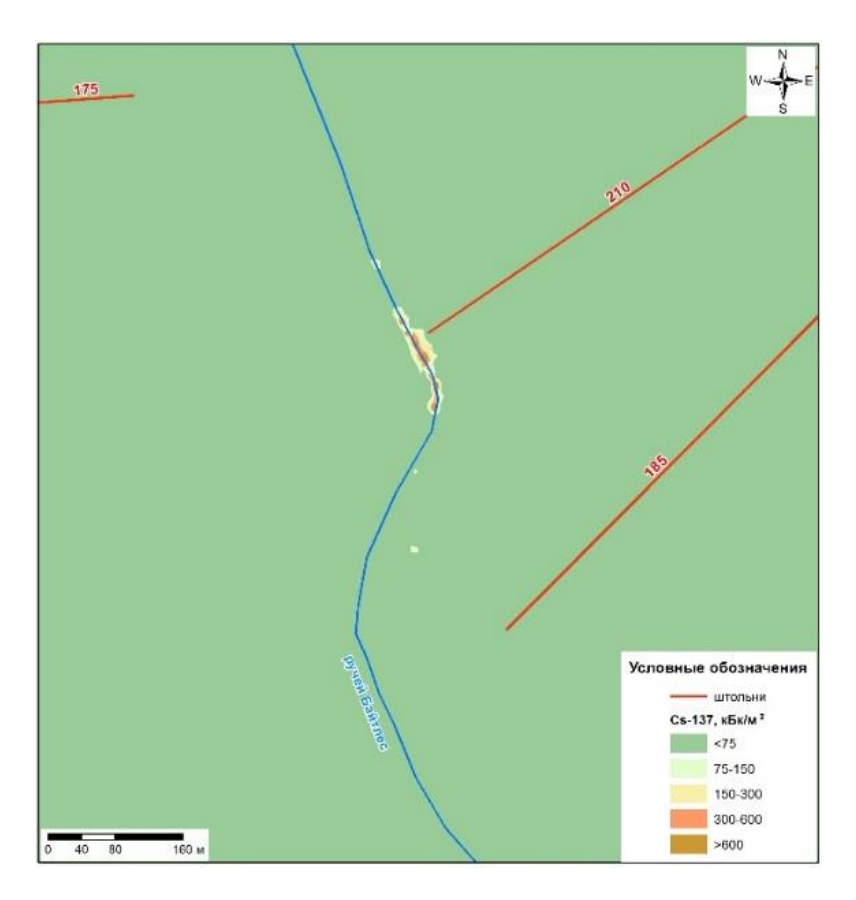


Рисунок 17. Карта площадного распределения <sup>137</sup>Сs на участке №13

Диапазон площадных активностей основных техногенных радионуклидов, кБк/м<sup>2</sup>:

- $\bullet$  <sup>241</sup>Am:  $<4,9\times10^2-8,1\times10^2$ ;
- $^{137}$ Cs: < 75;
- $^{90}$ Sr:  $<1,2\times10^2-7,2\times10^2$ ;
- $\bullet$  <sup>239+240</sup>Pu:  $< 4.1 \times 10^2 7.3 \times 10^3$ .

Площадь радиоактивного загрязнения, превышающая значения, указанные в Критериях оценки экологической обстановки территорий, составляет порядка  $1,2\times10^4$  м<sup>2</sup>. В тоже время объем радиоактивного материала составляет порядка  $2,5\times10^3$  м<sup>3</sup>.

#### Место расположения

Участок расположен в южной части площадки «Дегелен». Долина р. Байтлес. Район штольни 176. Географические координаты представлены в таблице (Таблица 15).

Таблица 15. Географические координаты участка №14

| No vivo omiso |    |        | Географически | ие координаты |         |    |  |
|---------------|----|--------|---------------|---------------|---------|----|--|
| № участка     |    | Широта |               |               | Долгота |    |  |
| 14            | 49 | 44     | 02            | 78            | 02      | 19 |  |

#### Характеристика источника радиационного загрязнения

Радиационное загрязнение образовано в результате проведения подземного ядерного испытаний в штольне 176 и выноса его водотоком.

#### Экологические характеристики объекта

На участке наиболее показательным техногенным радионуклидом является <sup>137</sup>Cs (Рисунок 18). Он имеет масштабный характер, уходя в юго- восточном направлении от припортальной территории штольни по водотоку.

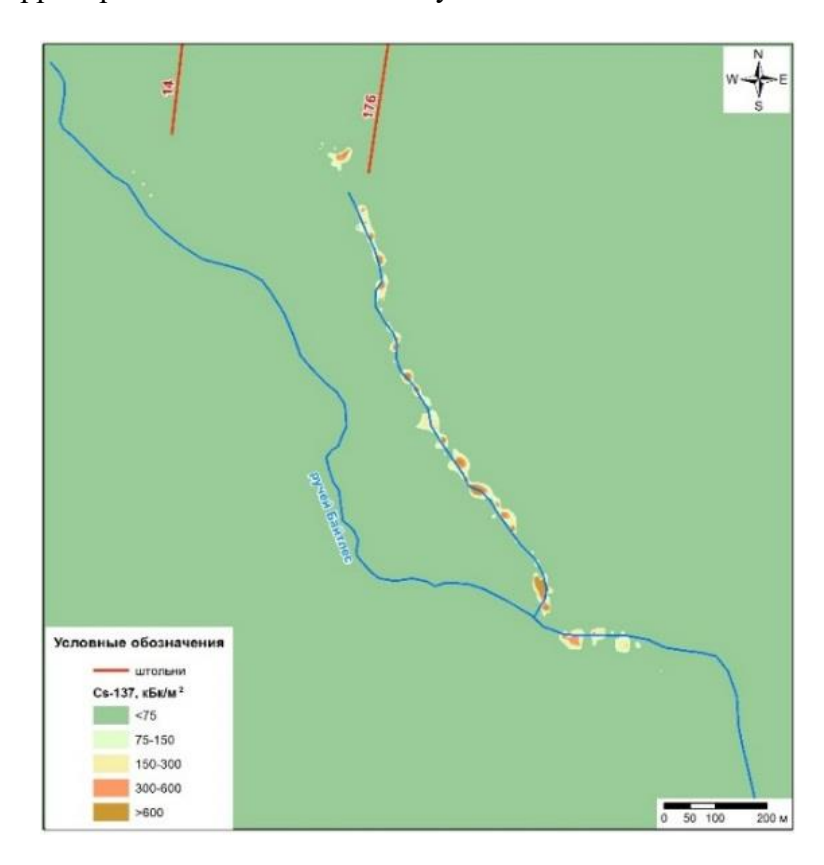


Рисунок 18. Карта площадного распределения <sup>137</sup>Сs на участке №14

Диапазон площадных активностей основных техногенных радионуклидов, кБк/м<sup>2</sup>:

- $\bullet$  <sup>241</sup>Am:  $< 4.9 \times 10^2 1.6 \times 10^3$ :
- $^{137}$ Cs:  $< 75 2.0 \times 10^4$ :
- $\bullet$  90 Sr:  $< 1.2 \times 10^2 6.2 \times 10^3$ ;
- $\bullet$  <sup>239+240</sup>Pu:  $< 4.1 \times 10^2 1.4 \times 10^4$ .

Площадь радиоактивного загрязнения, превышающая значения, указанные в Критериях оценки экологической обстановки территорий, составляет порядка  $6.4 \times 10^4$  м<sup>2</sup>. В тоже время объем радиоактивного материала составляет порядка  $1.3 \times 10^4$  м<sup>3</sup>.

#### Место расположения

Участок расположен в южной части площадки «Дегелен». Долина р. Байтлес. Район штолен 165, 11, 809. Географические координаты представлены в таблице (Таблица 16).

Таблица 16. Географические координаты участка №15

| Молический |    |        | Географически | ие координаты |         |    |
|------------|----|--------|---------------|---------------|---------|----|
| № участка  |    | Широта |               |               | Долгота |    |
| 15         | 49 | 45     | 03            | 78            | 00      | 27 |

#### Характеристика источника радиационного загрязнения

Радиационное загрязнение образовано в результате проведения подземных ядерных испытаний в штольнях 165, 11 и выноса его водотоком.

#### Экологические характеристики объекта

На участке наиболее показательным техногенным радионуклидом является <sup>137</sup>Cs (Рисунок 19). Он имеет локальный характер и распространяется в пределах припортальной территории штолен и водотоков из них.

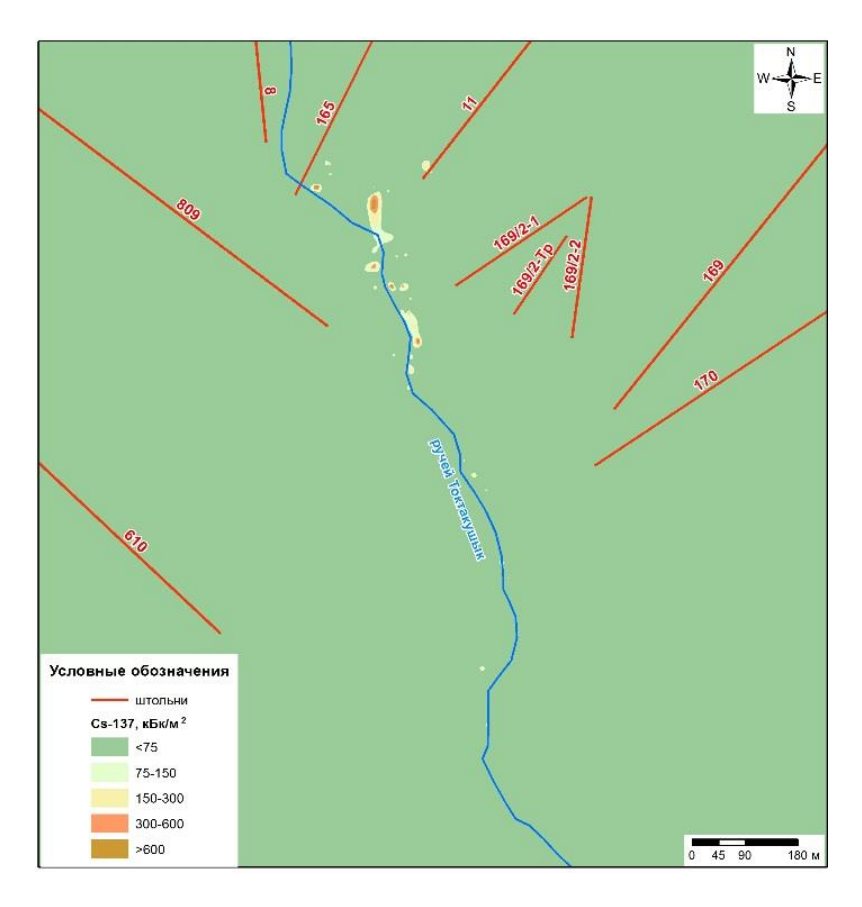


Рисунок 19. Карта площадного распределения <sup>137</sup>Сs на участке №15

Диапазон площадных активностей основных техногенных радионуклидов, кБк/м<sup>2</sup>:

- $\bullet$  <sup>241</sup>Am:  $< 4.9 \times 10^2 8.2 \times 10^2$ ;
- $^{137}$ Cs:  $< 75 3.9 \times 10^4$ ;
- $^{90}$ Sr:  $< 1,2 \times 10^2 1,6 \times 10^4$ ;
- $\bullet$  <sup>239+240</sup>Pu:  $< 4.1 \times 10^2 7.4 \times 10^3$ .

Площадь радиоактивного загрязнения, превышающая значения, указанные в Критериях оценки экологической обстановки территорий, составляет порядка  $5.1 \times 10^4$  м<sup>2</sup>. В тоже время объем радиоактивного материала составляет порядка  $1.0 \times 10^4$  м<sup>3</sup>.

#### Место расположения

Участок расположен в центральной части площадки «Дегелен». Район штолен 803 бис, 141. Географические координаты представлены в таблице (Таблица 17).

Таблица 17. Географические координаты участка №16

| No vivo omico |    |        | Географически | ие координаты |         |    |
|---------------|----|--------|---------------|---------------|---------|----|
| № участка     |    | Широта |               |               | Долгота |    |
| 16            | 49 | 48     | 42            | 78            | 03      | 32 |

#### Характеристика источника радиационного загрязнения

Радиационное загрязнение образовано в результате проведения подземных ядерных испытаний в штольнях 803 бис, 141 и выноса его водотоком.

#### Экологические характеристики объекта

На участке наиболее показательным техногенным радионуклидом является <sup>137</sup>Cs (Рисунок 20). Он имеет локальный характер и распространяется в пределах припортальной территории штолен и водотоков из них.

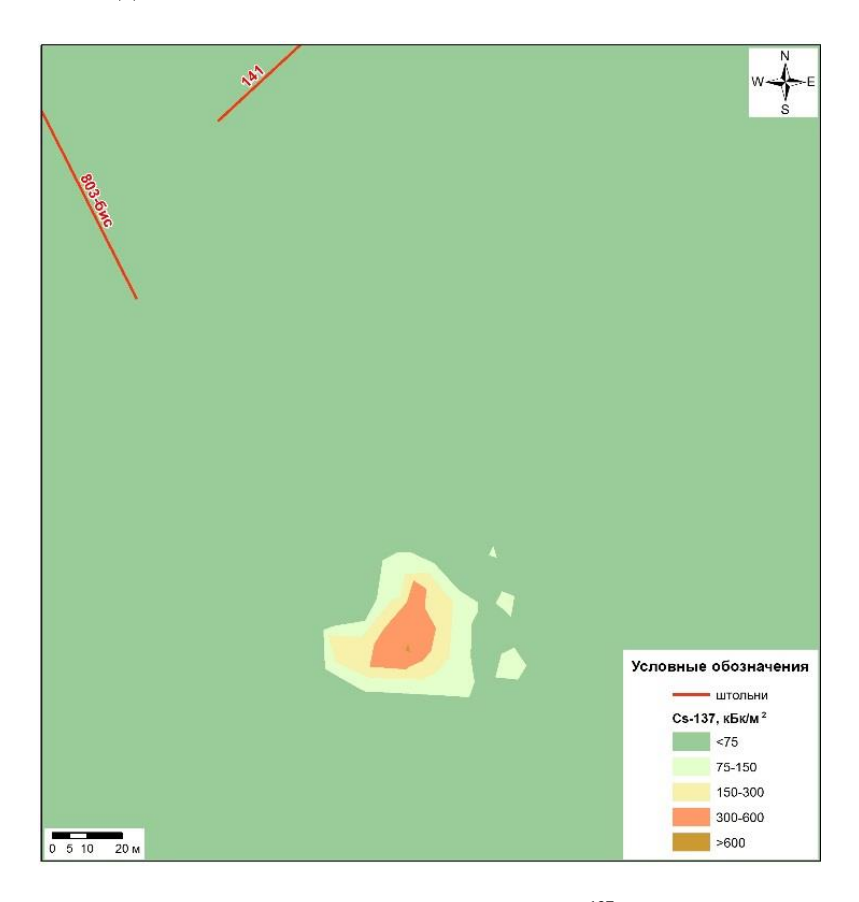


Рисунок 20. Карта площадного распределения <sup>137</sup>Сs на участке №16

Диапазон площадных активностей основных техногенных радионуклидов, кБк/м<sup>2</sup>:

- $^{241}$ Am:  $<4.9\times10^2$ ;
- $^{137}$ Cs:  $< 75 1.3 \times 10^3$ :
- $^{90}$ Sr:  $<1,2\times10^2-5,5\times10^2$ ;
- $^{239+240}$ Pu:  $< 4.1 \times 10^2 1.8 \times 10^3$ .

Площадь радиоактивного загрязнения, превышающая значения, указанные в Критериях оценки экологической обстановки территорий, составляет порядка  $2,6\times10^3$  м<sup>2</sup>. В тоже время объем радиоактивного материала составляет порядка  $5,2\times10^2$  м<sup>3</sup>.

#### СПИСОК ИСПОЛЬЗОВАННЫХ ИСТОЧНИКОВ

- 1 Логачев В.А. и др. Ядерные испытания СССР. Семипалатинский полигон. Под ред. Логачева В.А.-Москва: ИздАТ, 1997 г.
- 2 Андрюшин И.А. и др. Испытание ядерного оружия и ядерные взрывы в мирных целях СССР. 1949—1990 гг. / И.А.Андрюшин, В.В.Богдан, С.А.Ващинкин, С.А.Зеленцов, Г.Е.Золотухин, В.М.Каримов, В.В.Кириченко, А.М.Матущенко, Ю.А.Силкин, В.Г.Струков, К.В.Харитонов, А.К.Чернышев, Г.А.Цырков, М.П.Шумаев. Саров: РФЯЦ-ВНИИЭФ, 1996—66 с.
- 3 Адушкин И.А., Андрюшин И.А. и др. Ядерные испытания СССР [Технологии ядерных испытаний СССР. Воздействие на окружающую среду. Меры по обеспечению безопасности. Ядерные полигоны и площадки] / Рук. В.Н. Михайлов, В.В. Адушкин, И.А. Андрюшин [и др.]. –Т.2. М.: МСФАЭ, 1997. 302 с.: ил. ISBN 56700-125-4. Инв. 30805.
- 4 Сайбеков Т.С., Абылаев Ж.А. Атлас. Радиационная обстановка на территории Республики Казахстан с 1954 по 1994 годы. Алматы: Министерство экологии и биоресурсов РК, 1997- Т.16, Семипалатинская область. 400 с.

## Республиканское государственное предприятие на праве хозяйственного ведения «НАЦИОНАЛЬНЫЙ ЯДЕРНЫЙ ЦЕНТР РЕСПУБЛИКИ КАЗАХСТАН» Филиал «Институт радиационной безопасности и экологии»

# РАДИОЛОГИЧЕСКИЙ ПАСПОРТ ИСПЫТАТЕЛЬНОЙ ПЛОЩАДКИ «ТЕЛЬКЕМ»

#### 1. Общая характеристика испытательной площадки

**Название:** «Телькем» (Рисунок 1, Рисунок 2).

**Предназначение:** проведение подземных ядерных взрывов в мирных целях с выбросом грунта.

Административное месторасположение: область Абай.

**Географические координаты:** 49° 43′ 10′′ с. ш. 78° 28′ 30′′ в. д.

Площадь, км<sup>2</sup>: 42. **Периметр, км**: 26,6

Условия проведения ядерных испытаний: подземные с выбросом грунта.

**Период проведения подземных ядерных взрывов:** 21.10.1968 г. - 12.11.1968 г. [1, 2, 3, 4].

Количество подземных ядерных взрывов: 4.

Характеристика источника радиоактивного загрязнения объектов окружающей среды:

- отвалы воронок;
- радиоактивные следы.

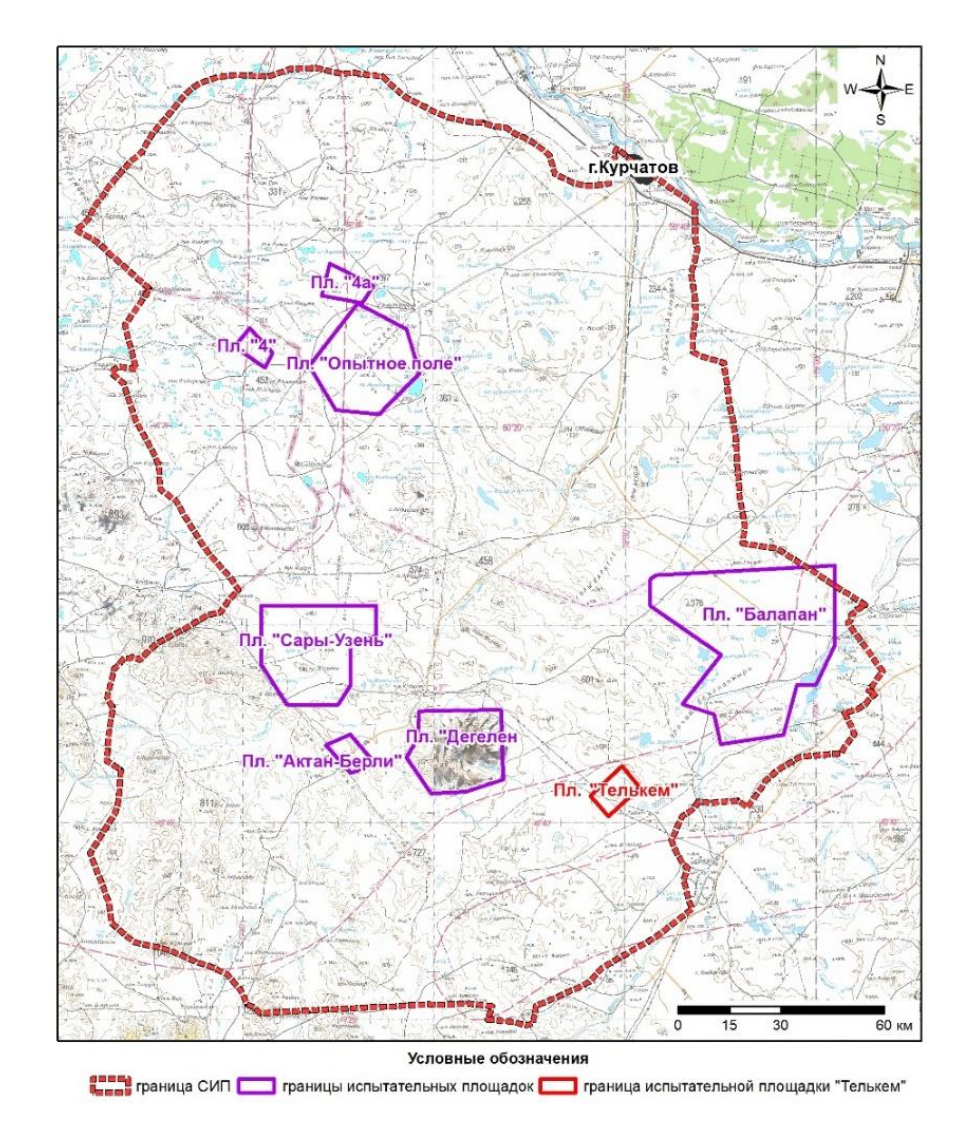


Рисунок 1. Карта-схема расположения испытательной площадки «Телькем» на территории СИП

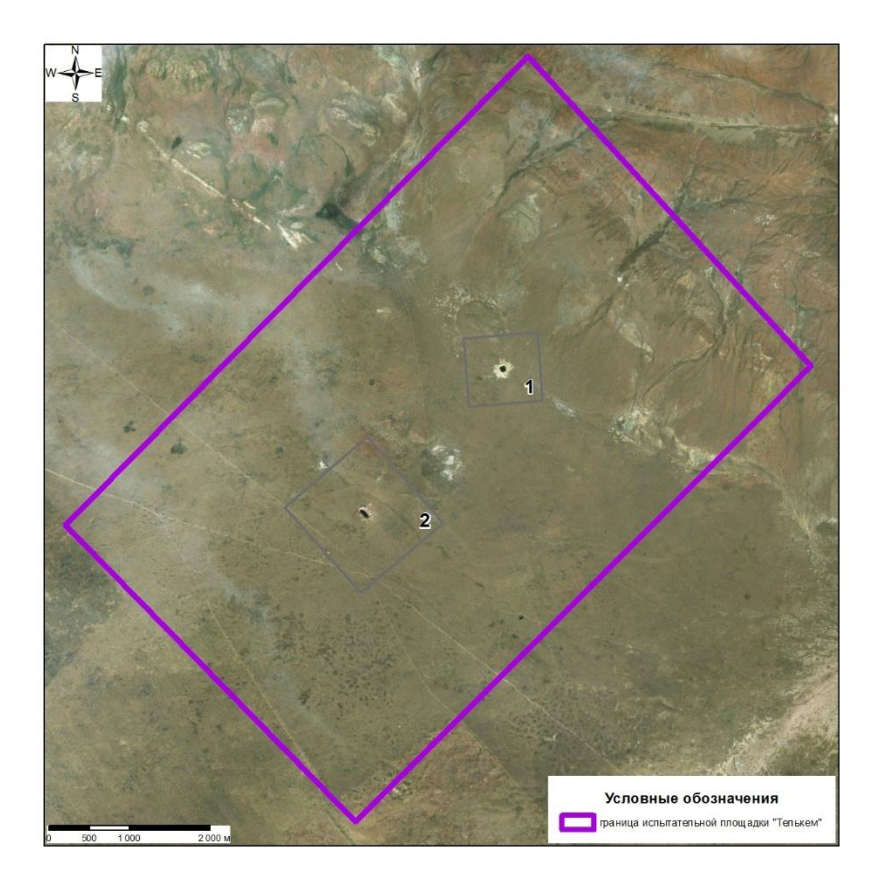


Рисунок 2. Карта-схема территории испытательной площадки «Телькем»

Историческая информация о подземных ядерных взрывах на территории испытательной площадки «Телькем» представлена в приложении (ПРИЛОЖЕНИЕ 1, Таблица 1), [1, 2, 3, 4].

#### 2. Текущая радиоэкологическая ситуация окружающей среды

Актуальная информация о радиоэкологической обстановке окружающей среды испытательной площадки «Телькем» получена в результате проведения комплексного экологического обследования земель Семипалатинского испытательного полигона в рамках выполнения работ по бюджетной программе 036 «Развитие атомных и энергетических проектов».

Значения площадной активности радионуклидов в почвенном покрове сравнивались со значениями, установленными в приложении 13 Критериев оценки экологической обстановки территорий, утвержденных приказом и.о. Министра экологии, геологии и природных ресурсов Республики Казахстан от 13 августа 2021 года № 327 «Об утверждении Критериев оценки экологической обстановки территорий».

Значения удельной активности радионуклидов в воде сравнивались со значениями уровней вмешательства, установленными в приложении 19 Гигиенических нормативов к обеспечению радиационной безопасности, утвержденных приказом Министра здравоохранения Республики Казахстан от 2 августа 2022 года № ҚР ДСМ-71 «Об утверждении гигиенических нормативов к обеспечению радиационной безопасности».

Значения объемной активности радионуклидов в воздухе сравнивались со значениями допустимой среднегодовой объемной активности, установленными для категории «население» в приложении 4 Гигиенических нормативов к обеспечению радиационной безопасности, утвержденных приказом Министра здравоохранения Республики Казахстан от 2 августа 2022 года № ҚР ДСМ-71 «Об утверждении гигиенических нормативов к обеспечению радиационной безопасности».

Значения удельной активности радионуклидов в объектах животного мира сравнивались со значениями допустимых уровней, установленными в приложении 5 Гигиенических нормативов к обеспечению радиационной безопасности, утвержденных приказом Министра здравоохранения Республики Казахстан от 2 августа 2022 года № ҚР ДСМ-71 «Об утверждении гигиенических нормативов к обеспечению радиационной безопасности».

#### 2.1 Радиоактивное загрязнение почвы

Радиационные параметры на поверхности почвенного покрова на территории испытательной площадки:

- $\bullet$  диапазон значений мощности эквивалентной дозы гамма-излучения на поверхности почвы: 0.1 3.5 мкЗв/ч (предел измерения используемой аппаратуры 10 мкЗв/ч);
- диапазон значений плотности потока бета-частиц: <10-60 част/(см<sup>2</sup>·мин) (предел измерения используемой аппаратуры 10 част/(см<sup>2</sup>·мин);
  - диапазон значений плотности потока альфа-частиц: нет измерений.

**Основные техногенные радионуклиды:** <sup>241</sup>Am, <sup>137</sup>Cs, <sup>90</sup>Sr, <sup>239+240</sup>Pu.

- диапазон удельных активностей основных техногенных радионуклидов, Бк/кг:
  - $^{241}$ Am:  $<0,3-2,7\times10^4$ ;
  - $^{137}$ Cs:  $<0,1-1,3\times10^4$ ;
  - $^{90}$ Sr:  $<0,2-5,7\times10^3$ ;
  - 239+240Pu:  $<0,1-1,2\times10^5$ .

**Количество радиационно-опасных объектов:** 2 объекта (воронки от экскавационных испытаний) (Рисунок 2).

**Количество радиационно-загрязненных участков**: 2 участка (схема расположения – Рисунок 3, радиационные характеристики – Таблица 1).

Диапазон значений площадной активности основных техногенных радионуклидов,  $\kappa \mathsf{F} \kappa / \mathsf{M}^2$ :

- $\bullet$  <sup>241</sup>Am:  $<4,9\times10^2-1,8\times10^3$ ;
- $^{137}$ Cs:  $< 75 8.5 \times 10^2$ ;
- $\bullet$  90Sr:  $<1,2\times10^2-3,8\times10^2$ ;
- $\bullet$  <sup>239+240</sup>Pu:  $<4.1\times10^2-7.8\times10^3$ .

Площадь радиоактивного загрязнения,  $M^2$ : 1,6×10<sup>5</sup>.

Средняя глубина залегания радионуклидов, м: 0,1 (за исключением отвалов).

Объем радиоактивного грунта,  $M^3$ :  $6.8 \times 10^5$ .

Запас радионуклидов, Бк:  $^{241}$ Am  $-1,9\times10^{13};$   $^{137}$ Cs  $-7,9\times10^{12};$   $^{90}$ Sr  $-4,2\times10^{12};$   $^{239+240}$ Pu  $-6,8\times10^{13}.$ 

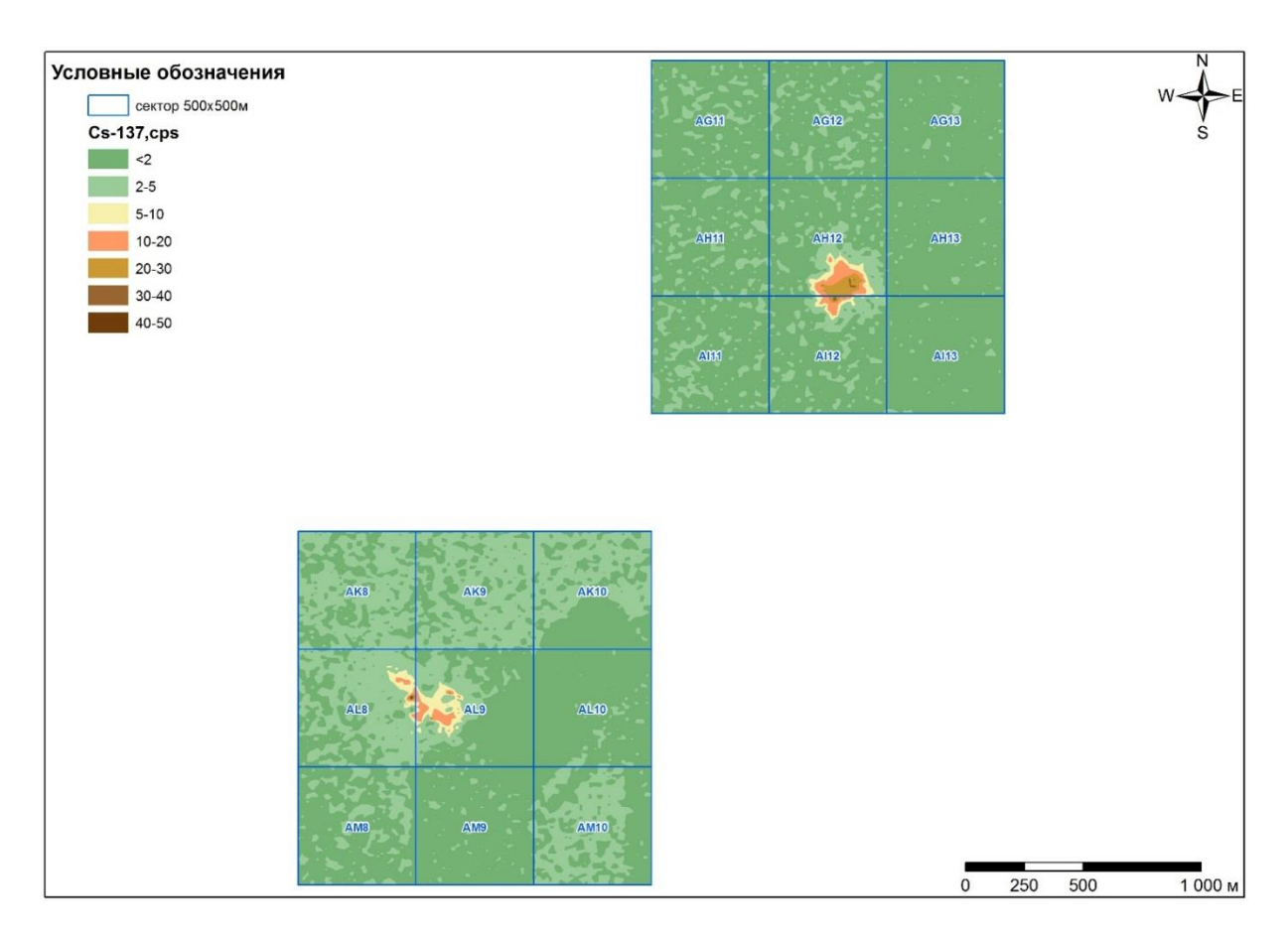


Рисунок 3. Карта-схема радиационно-опасных объектов на площадке «Телькем»

Дополнительная информация об радиоактивном загрязнении почвы радиационнозагрязненных участков испытательной площадки «Телькем» представлена в приложении (ПРИЛОЖЕНИЕ 2). Таблица 3. Активность радионуклидов в поверхностном слое почвы радиационно-опасных объектов

площадки «Телькем»

| тка       |                           | <sup>137</sup> Cs   |                      |                     | 90Sr                |                      |                           | <sup>239+240</sup> Pu |                      |                     | <sup>241</sup> Am   |                      |
|-----------|---------------------------|---------------------|----------------------|---------------------|---------------------|----------------------|---------------------------|-----------------------|----------------------|---------------------|---------------------|----------------------|
| №участ    | Аs,<br>кБк/м <sup>2</sup> | V, м <sup>3</sup>   | А, Бк                | Аs,<br>кБк/м²       | V, m <sup>3</sup>   | А, Бк                | Аs,<br>кБк/м <sup>2</sup> | V, м <sup>3</sup>     | А, Бк                | Аs,<br>кБк/м²       | V, m <sup>3</sup>   | А, Бк                |
| Телькем 1 | 8,5×10 <sup>2</sup>       | 3,0×10 <sup>5</sup> | 5,1×10 <sup>12</sup> | $3,8\times10^{2}$   | 3,0×10 <sup>5</sup> | 2,3×10 <sup>12</sup> | 1,6×10 <sup>3</sup>       | 3,1×10 <sup>5</sup>   | 9,9×10 <sup>12</sup> | 1,8×10 <sup>3</sup> | 3,0×10 <sup>5</sup> | 1,1×10 <sup>13</sup> |
| Телькем 2 | 3,9×10 <sup>2</sup>       | 3,6×10 <sup>5</sup> | 2,8×10 <sup>12</sup> | $2,7 \times 10^{2}$ | 3,6×10 <sup>5</sup> | 1,9×10 <sup>12</sup> | 7,8×10 <sup>3</sup>       | 3,7×10 <sup>5</sup>   | 5,8×10 <sup>13</sup> | $1,1\times10^{3}$   | 3,6×10 <sup>5</sup> | 7,9×10 <sup>12</sup> |

#### 2.2 Радиоактивное загрязнение поверхностных вод площадки

Диапазон удельных активностей основных техногенных радионуклидов, Бк/м<sup>3</sup>:

- $^{241}$ Am: <3,0;
- $^{137}$ Cs: <3,0;
- $\bullet$  90Sr: <0,1 7,0×10<sup>2</sup>;
- $\bullet$  <sup>239+240</sup>Pu: <1,0×10<sup>-2</sup> 59;
- $\bullet$  <sup>3</sup>H: <6.0 30.

#### 2.3 Радиоактивное загрязнение подземных вод площадки

Диапазон удельных активностей основных техногенных радионуклидов, Бк/м<sup>3</sup>:

- $\bullet$  <sup>241</sup>Am: <3,0;
- $^{137}$ Cs:  $<4,0\times10^{-2}$ ;
- $\bullet$  90Sr: <1,0×10<sup>-2</sup> 76;
- $\bullet$  <sup>239+240</sup>Pu: <1,0×10<sup>-2</sup> 0,3;
- $\bullet$  <sup>3</sup>H: -<6.0-50.

#### 2.4 Радиоактивное загрязнение атмосферного воздуха

Диапазон удельных активностей основных техногенных радионуклидов, Бк/кг:

- $\bullet$  <sup>241</sup>Am: <2.0×10<sup>-3</sup>:
- $^{137}$ Cs: <2.0×10<sup>-3</sup>:
- $\bullet$  90Sr: <4,0×10<sup>-3</sup>;
- $^{239+240}$ Pu:  $6.3 \times 10^{-4} 1.2 \times 10^{-3}$ .

#### 2.5 Радиоактивное загрязнение растительного покрова

Диапазон удельных активностей основных техногенных радионуклидов, Бк/кг:

- $^{241}$ Am:  $<0,2-1,3\times10^3$ ;
- $^{137}$ Cs:  $<0.3-1.6\times10^3$ :
- $\bullet$  90Sr:  $< 0.6 5.4 \times 10^3$ :
- $\bullet$  <sup>239+240</sup>Pu: <0,1 1,6×10<sup>4</sup>.

#### 2.6 Радиоактивное загрязнение объектов животного мира

Диапазон удельных активностей основных техногенных радионуклидов, Бк/кг:

- $\bullet$  <sup>241</sup>Am: <6,0×10<sup>-2</sup>-0,6;
- $\bullet$  <sup>137</sup>Cs: <0.4 13;
- $\bullet$  90Sr: <0,6 21;
- $\bullet$  <sup>239+240</sup>Pu: <4.0×10<sup>-2</sup>–4.3.

## Хронология подземных ядерных взрывов в мирных целях с выбросом грунта на территории испытательной площадки «Телькем»

Таблица 2. Хронология подземных ядерных взрывов в мирных целях с выбросом грунта на территории

испытательной площадки «Телькем» [1, 2, 3, 4].

| испы     | гательной площа   | дки «Телькем»         | [1, 2, 3, 4].  |  | r                       |  |
|----------|-------------------|-----------------------|--|--|-------------------------|--|
| №<br>п/п | Дата<br>испытания | Цель<br>испытания     | Мощность испытания, кт тротилового эквивалента         | Условия<br>проведения  | Глубина<br>взрыва,<br>м | Примечание   |
| 1        | 21.10.1968 г.     | ВВГ [4],<br>ПВ [2, 3] | 0,24 [2, 3],<br>0,2 [4]                                | «Телькем-1»<br>скв. 2308 [2, 3]<br>скв. Т-1 [1, 4]   | 31                      | Третий ядерный взрыв на выброс                                 |
| 2        | 12.11.1968 г.     | ВВГ [4],<br>ПВ [2, 3] | 0,2[4],<br>0,24 [2, 3],<br>0,24 [2, 3],<br>0,24 [2, 3] | «Телькем-2» скв. 2305 [Ошибка! Закладка не определена., Ошибка! Закладка не определена.] скв. 2306 [Ошибка! Закладка не определена., Ошибка! Закладка не определена., Ошибка! Закладка не определена.] скв. 2307 [Ошибка! Закладка не определена., Стемба! Закладка не определена., Ошибка! Закладка не определена., Ошибка! Закладка не определена., Ошибка! Закладка не определена., Ошибка! Закладка не | 31                      | Четвертый<br>ядерный взрыв<br>на выброс,<br>групповой<br>взрыв |

#### Сокращения:

 $\Pi B$  — подземные ядерные взрывы в мирных целях и взрывы в целях отработки технологий их проведения,  $BB\Gamma$  — взрыв с выбросом грунта.

В ходе проведения экспериментов отрабатывались технологии сооружения каналов, которые можно было бы использовать для планирования работ по созданию каналов Печора-Кама с целью отвода воды из арктических районов страны в бассейны реки Волга и Каспийское море.

#### ПРИЛОЖЕНИЕ 6

#### Перечень радиационно-опасных объектов испытательной площадки «Телькем»

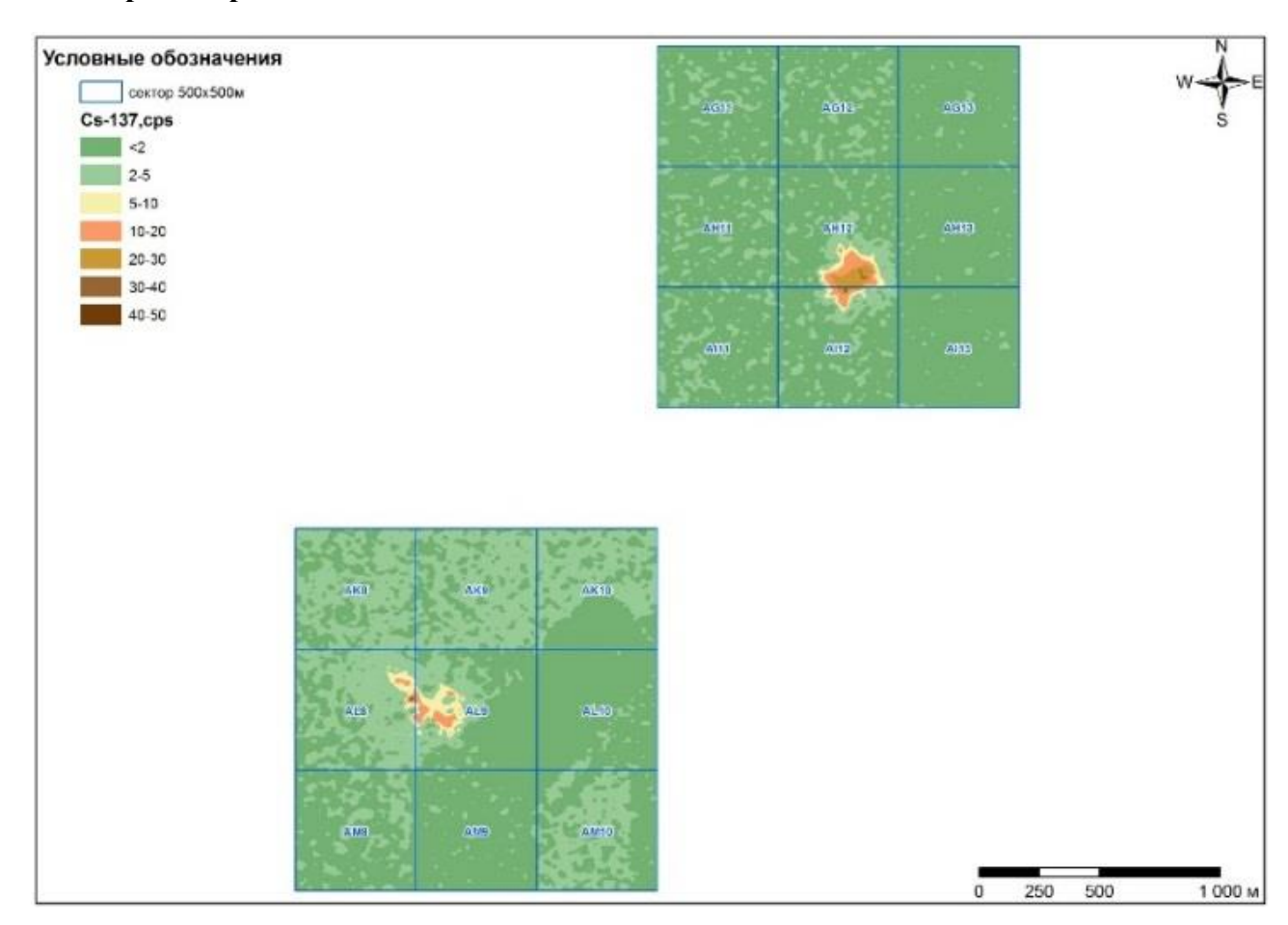


Рисунок 4. Карта-схема расположения радиационно-опасных объектов на площадке «Телькем»

#### Участок радиоактивного загрязнения приустьевой площадки скважины Телькем-1

#### Место расположения

Территория приустьевой площадки скважины юго-восточной части СИП. Географические координаты представлены в таблице (Таблица 3).

Таблица 3. Географические координаты скважины Телькем-1

| № скв     | Географические координаты |        |    |         |    |    |
|-----------|---------------------------|--------|----|---------|----|----|
| M2 CKB    |                           | Широта |    | Долгота |    |    |
| Телькем-1 | 49                        | 43     | 38 | 78      | 29 | 09 |

#### Характеристика источника радиационного загрязнения

Радиационное загрязнение образовано 21.10.1968 г. в результате проведения подземного ядерного взрыва. Цель проведения испытания: промышленные ядерные взрывы в мирных целях и отработка технологий проведения МЯВ (ПВ), мощность взрыва составила 0,2 кт в тротиловом эквиваленте. Радиационный эффект испытания — воронка на выброс (ВВГ). Третий ядерный взрыв на выброс.

#### Экологические характеристики объекта

На скважине наиболее показательным техногенным радионуклидом является <sup>239+240</sup>Pu (Рисунок 5). Он имеет масштабный характер.

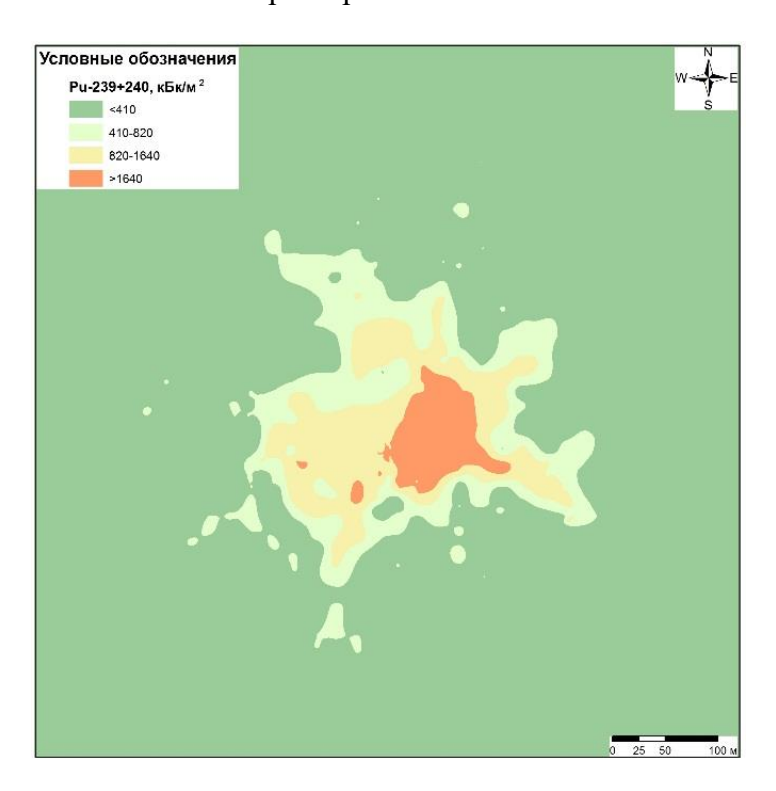


Рисунок 5. Карта площадного распределения <sup>239+240</sup>Ри на территории скважины Телькем-1

Диапазон площадных активностей основных техногенных радионуклидов, кБк/м<sup>2</sup>:

- $\bullet^{241}$ Am:  $<4,9\times10^2-1,8\times10^3$ ;
- $^{137}$ Cs:  $< 75 8,5 \times 10^2$ ;
- $^{90}$ Sr:  $<1.2\times10^2-3.8\times10^2$ ;
- $\bullet^{239+240}$ Pu:  $<4,1\times10^2-1.6\times10^3$ .

Площадь радиоактивного загрязнения, превышающая значения, указанные в Критериях оценки экологической обстановки территорий, составляет порядка  $5.8 \times 10^{-2}$  км<sup>2</sup>. В тоже время объем радиоактивного материала, с учетом навалов воронки, составляет порядка  $3.1 \times 10^5$  м<sup>3</sup>.

#### Участок радиоактивного загрязнения приустьевой площадки скважины Телькем-2

#### Место расположения

Территория приустьевой площадки скважины юго-восточной части СИП. Географические координаты представлены в таблице (Таблица 4).

Таблица 4. Географические координаты скважины Телькем-2

| № скв     | Географические координаты |    |    |         |    |    |
|-----------|---------------------------|----|----|---------|----|----|
|           | Широта                    |    |    | Долгота |    |    |
| Телькем-1 | 49                        | 42 | 48 | 78      | 27 | 29 |

#### Характеристика источника радиационного загрязнения

Радиационное загрязнение образовано 12.11.1968 г. в результате проведения подземного ядерного взрыва. Цель проведения испытания: промышленные ядерные взрывы в мирных целях и отработка технологий проведения МЯВ (ПВ), мощность взрыва составила 0,2 кт в тротиловом эквиваленте. Радиационный эффект испытания — воронка на выброс (ВВГ). Четвертый ядерный взрыв на выброс.

#### Экологические характеристики объекта

На скважине наиболее показательным техногенным радионуклидом является <sup>239+240</sup>Pu (Рисунок 6). Он имеет масштабный характер.

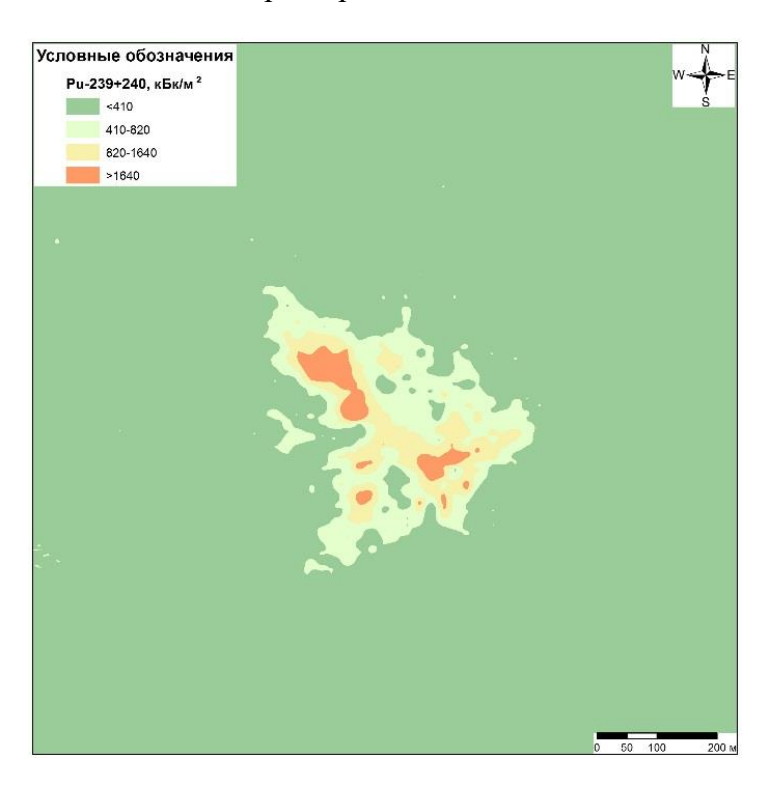


Рисунок 6. Карта площадного распределения <sup>239+240</sup>Ри на территории скважины Телькем-2

Диапазон площадных активностей основных техногенных радионуклидов, кБк/м<sup>2</sup>:

- $\bullet$  <sup>241</sup>Am: <4,9×10<sup>2</sup>–1,1×10<sup>3</sup>:
- $^{137}$ Cs:  $< 75 3.9 \times 10^2$ ;
- $^{90}$ Sr:  $<1.2\times10^2-2.7\times10^2$ ;
- $\bullet$  <sup>239+240</sup>Pu: <4,1×10<sup>2</sup> 7,8×10<sup>3</sup>.

Площадь радиоактивного загрязнения, превышающая значения, указанные в Критериях оценки экологической обстановки территорий, составляет порядка  $9.8 \times 10^{-2}$  км<sup>2</sup>. В тоже время объем радиоактивного материала, с учетом навалов воронки, составляет порядка  $3.7 \times 10^{5}$  м<sup>3</sup>.

#### СПИСОК ИСПОЛЬЗОВАННЫХ ИСТОЧНИКОВ

- 1 Логачев В.А. и др. Ядерные испытания СССР. Семипалатинский полигон. Под ред. Логачева В.А.-Москва: ИздАТ, 1997 г.
- 2 Андрюшин И.А. и др. Испытание ядерного оружия и ядерные взрывы в мирных целях СССР. 1949—1990 гг. / И.А.Андрюшин, В.В.Богдан, С.А.Ващинкин, С.А.Зеленцов, Г.Е.Золотухин, В.М.Каримов, В.В.Кириченко, А.М.Матущенко, Ю.А.Силкин, В.Г.Струков, К.В.Харитонов, А.К.Чернышев, Г.А.Цырков, М.П.Шумаев. Саров: РФЯЦ-ВНИИЭФ, 1996. 66 с.
- 3 Андрюшин И.А., Илькаев Р.И., Чернышев А.К. Общие характеристики и некоторые вопросы экологических последствий ядерных испытаний СССР. Труды РФЯЦ-ВНИИЭФ Том 1, Научно-исследовательское издание. / Под ред. В.Н. Михайлова. Саров, 2001-637 с.
- 4 Сайбеков Т.С., Абылаев Ж.А. Атлас. Радиационная обстановка на территории Республики Казахстан с 1954 по 1994 годы. Алматы: Министерство экологии и биоресурсов РК, 1997- Т.16, Семипалатинская область. 400 с.

# Республиканское государственное предприятие на праве хозяйственного ведения «НАЦИОНАЛЬНЫЙ ЯДЕРНЫЙ ЦЕНТР РЕСПУБЛИКИ КАЗАХСТАН» Филиал «Институт радиационной безопасности и экологии»

### РАДИОЛОГИЧЕСКИЙ ПАСПОРТ ИСПЫТАТЕЛЬНОЙ ПЛОЩАДКИ «БАЛАПАН»

#### 1. Общая информация об испытательной площадке

Название: «Балапан» (Рисунок 1, Рисунок 2).

**Предназначение:** проведение подземных ядерных взрывов в вертикальных выработках – скважинах.

Административное месторасположение расположение: область Абай.

**Географические координаты:** 49°58′23′′ с. ш. 78°51′48′′ в. д.

Площадь: ~771,5 км². Периметр: 128 км.

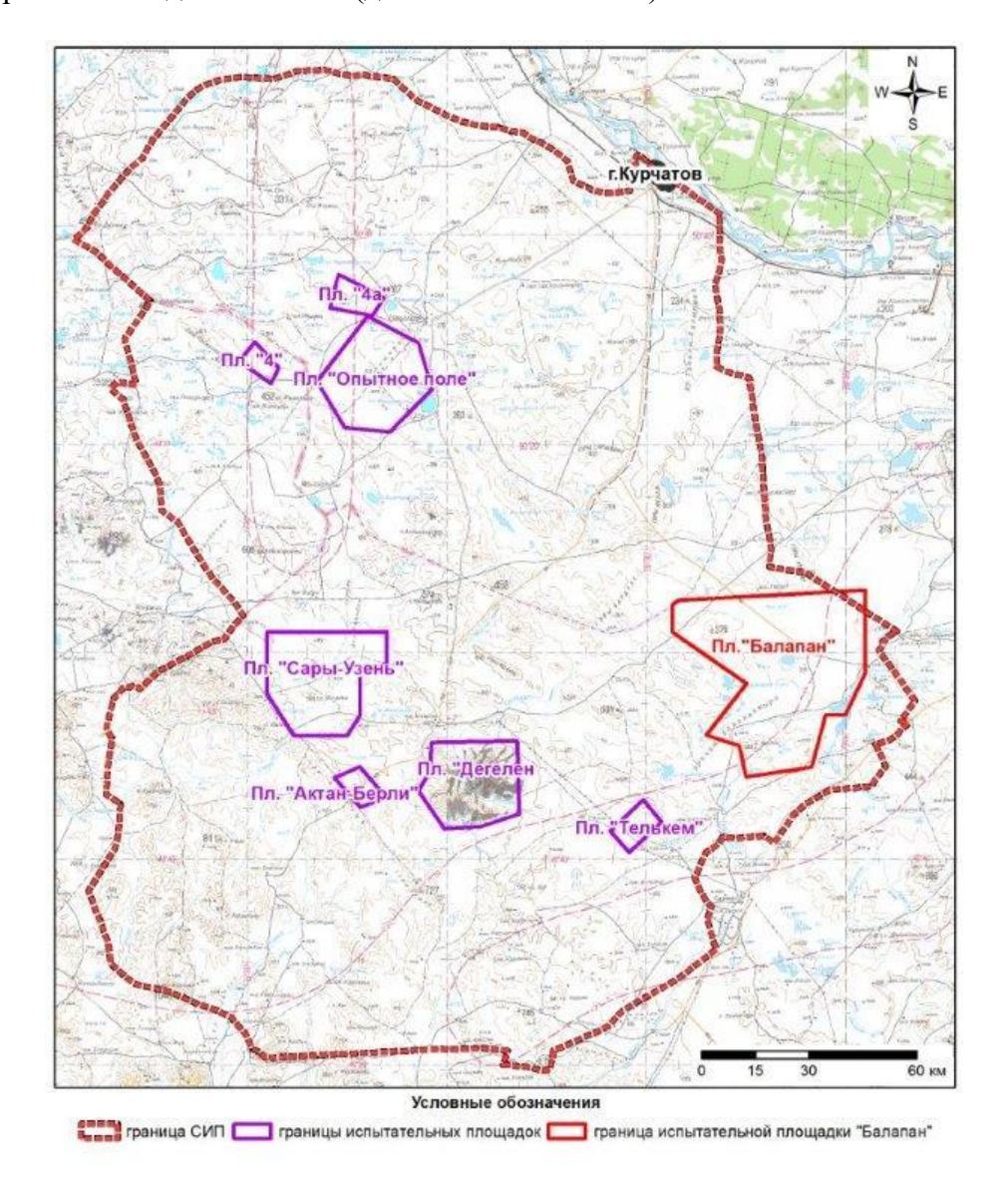
**Условия проведения испытаний ядерного оружия:** подземные ядерные взрывы (средняя глубина закладки боезаряда 600 м).

Период проведения испытаний ядерного оружия: с 1965 по 1989 гг. [1, 2, 3, 4, 5].

Количество подземных ядерных взрывов: 105 испытаний в 106 скважинах [3].

Характеристика источника радиоактивного загрязнения объектов окружающей среды:

- испытания на выброс грунта;
- внештатные аварийные ситуации во время проведения испытаний;
- привнесение радиоактивного загрязнения от наземных ядерных испытаний;
- антропогенная деятельность (добыча металлолома).



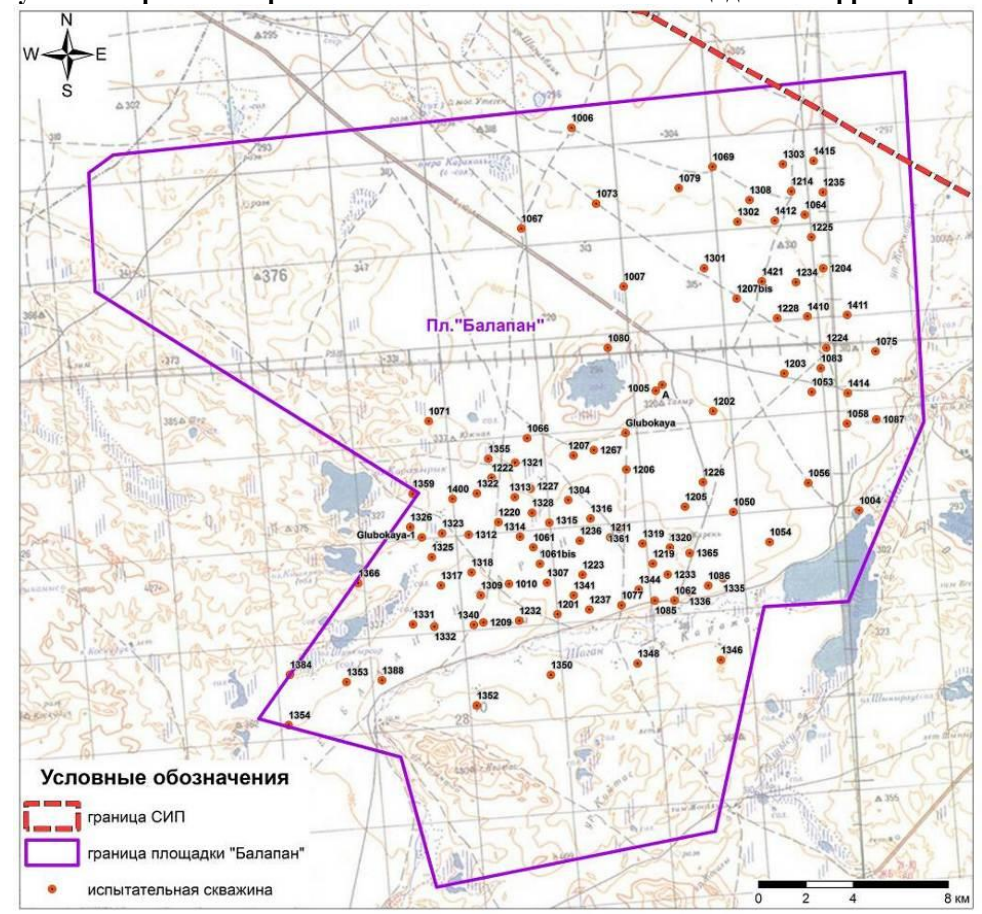


Рисунок 1. Карта-схема расположения испытательных площадок на территории СИП

Рисунок 2. Карта-схема расположения боевых скважин на территории испытательной площадки «Балапан»

Историческая информация о подземных ядерных взрывах на территории испытательной площадки «Балапан» представлена в приложении (ПРИЛОЖЕНИЕ 1, Таблица 1), [1, 2, 3, 4].

#### 2. Текущая радиоэкологическая ситуация окружающей среды

Актуальная информация о радиоэкологической обстановке окружающей среды испытательной площадки «Балапан» получена в результате проведения комплексного экологического обследования земель Семипалатинского испытательного полигона в рамках выполнения работ по бюджетной программе 036 «Развитие атомных и энергетических проектов».

Значения площадной активности радионуклидов в почвенном покрове сравнивались со значениями, установленными в приложении 13 Критериев оценки экологической обстановки территорий, утвержденных приказом и.о. Министра экологии, геологии и природных ресурсов Республики Казахстан от 13 августа 2021 года № 327 «Об утверждении Критериев оценки экологической обстановки территорий».

Значения удельной активности радионуклидов в воде сравнивались со значениями уровней вмешательства, установленными в приложении 19 Гигиенических нормативов к обеспечению радиационной безопасности, утвержденных приказом Министра здравоохранения Республики Казахстан от 2 августа 2022 года № ҚР ДСМ-71 «Об утверждении гигиенических нормативов к обеспечению радиационной безопасности».

Значения объемной активности радионуклидов в воздухе сравнивались со значениями допустимой среднегодовой объемной активности, установленными для категории

«население» в приложении 4 Гигиенических нормативов к обеспечению радиационной безопасности, утвержденных приказом Министра здравоохранения Республики Казахстан от 2 августа 2022 года № ҚР ДСМ-71 «Об утверждении гигиенических нормативов к обеспечению радиационной безопасности».

Значения удельной активности радионуклидов в объектах животного мира сравнивались со значениями допустимых уровней, установленными в приложении 5 Гигиенических нормативов к обеспечению радиационной безопасности, утвержденных приказом Министра здравоохранения Республики Казахстан от 2 августа 2022 года № ҚР ДСМ-71 «Об утверждении гигиенических нормативов к обеспечению радиационной безопасности».

#### 2.1 Радиоактивное загрязнение почвы

Радиационные параметры на поверхности почвенного покрова на территории испытательной площадки:

- $\bullet$  диапазон значений мощности эквивалентной дозы гамма-излучения на поверхности почвы:  $0.1 1.1 \times 10^2$  мкЗв/ч (предел измерения используемой аппаратуры -10 мЗв/ч);
- диапазон значений плотности потока бета-частиц:  $<10-7,5\times10^3$  част/(см<sup>2</sup>·мин) (предел измерения используемой аппаратуры -10 част/(см<sup>2</sup>·мин);
  - диапазон значений плотности потока альфа-частиц: нет измерений.

**Основные техногенные радионуклиды:** <sup>241</sup>Am, <sup>137</sup>Cs, <sup>90</sup>Sr, <sup>239+240</sup>Pu.

- диапазон удельных активностей основных техногенных радионуклидов, Бк/кг:
  - $^{241}$ Am:  $<0,3-2,5\times10^5$ ;
  - $^{-137}$ Cs:  $<0.1-5.9\times10^5$ :
  - $^{90}$ Sr:  $<0,2-2,4\times10^5$ ;
  - -239+240Pu:  $<0,1-6,9\times10^6$ .

**Количество радиационно-опасных объектов:** 106 объект (испытательные скважины) (Рисунок 2). Обследование внутри скважин не проводилось.

**Количество радиационно-загрязненных участко**в: 13 участков. (схема расположения – Рисунок 3, радиационные характеристики – Таблица 1).

Диапазон значений площадной активности основных техногенных радионуклидов,  $\kappa E \kappa / m^2$ :

- $\bullet$  <sup>241</sup>Am:  $<4.9\times10^2-1.6\times10^4$ :
- $^{137}$ Cs:  $< 75 3.8 \times 10^4$ ;
- $\bullet$  90Sr: <1,2×10<sup>2</sup> 1,6×10<sup>4</sup>;
- $\bullet$  <sup>239+240</sup>Pu: <4,1×10<sup>2</sup> 4,5×10<sup>5</sup>.

Площадь радиоактивного загрязнения, м<sup>2</sup>:  $8.0 \times 10^6$ .

Средняя глубина залегания радионуклидов, м: 0,1.

Плотность почвы,  $\Gamma/\text{см}^3$ : 1,3.

Объем радиоактивного грунта, м $^3$ :  $4,6 \times 10^6$ .

Запас радионуклидов (по максимальным значениям удельных активностей радионуклидов в почве), Бк:  $^{241}$ Am  $-6.6\times10^{11}$ ;  $^{137}$ Cs  $-4.1\times10^{14}$ ;  $^{90}$ Sr  $-1.9\times10^{14}$ ;  $^{239+240}$ Pu  $-1.7\times10^{14}$ .

Дополнительная информация о радиоактивном загрязнении почвы радиационнозагрязненных участков испытательной площадки «Балапан» представлена в приложении (ПРИЛОЖЕНИЕ 2).

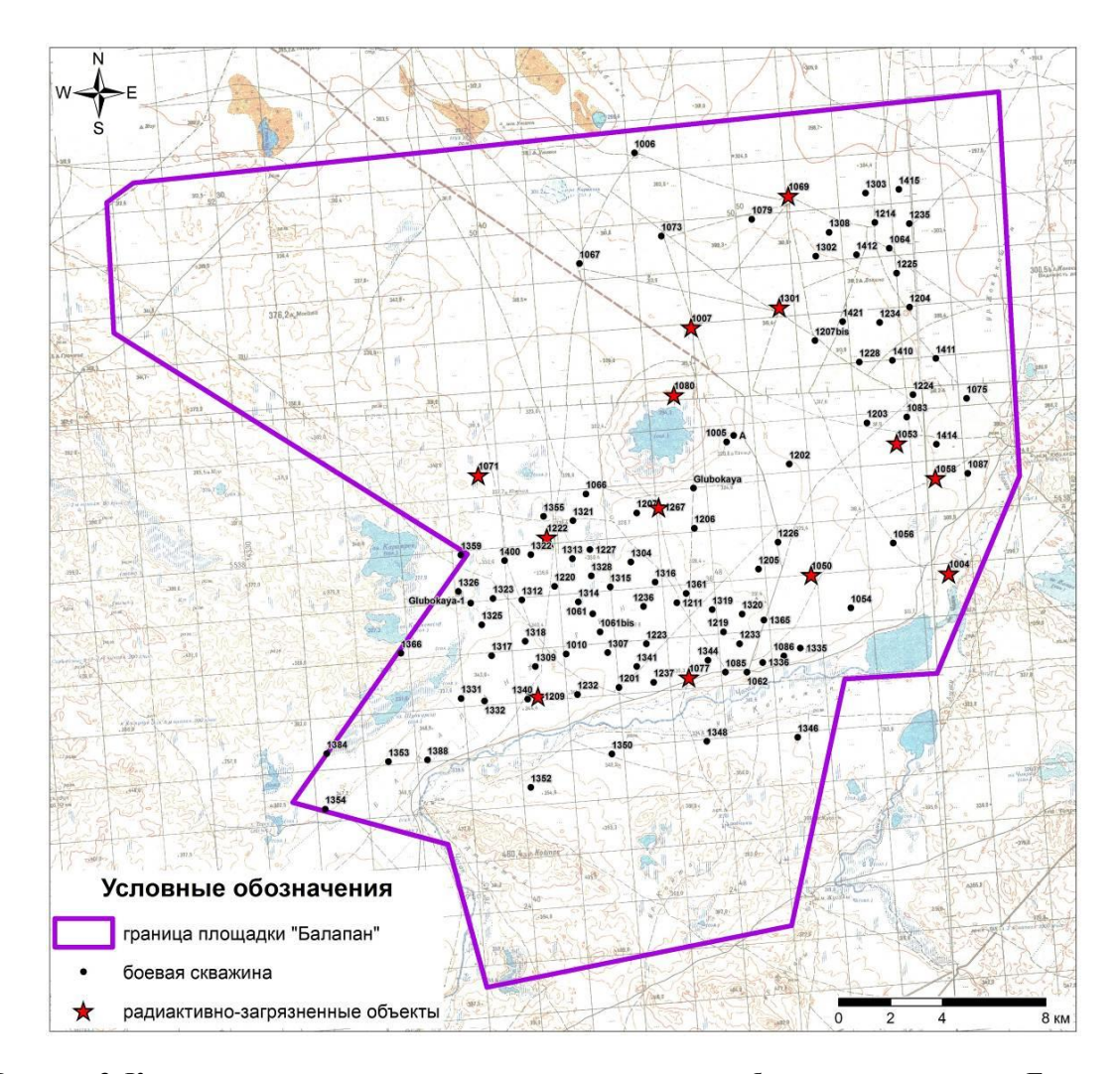


Рисунок 3. Карта-схема расположения радиационно-опасных объектов на площадке «Балапан»

Таблица 1. Информация о радиоактивном загрязнении в поверхностном слое почвы радиационно-опасных объектов площадки «Балапан»

| п     | e e     |                      | <sup>90</sup> Sr    |                      | •                   | <sup>137</sup> Cs   | •                    |                           | <sup>239+240</sup> Pu |                      |                      | <sup>241</sup> Am   |                      |
|-------|---------|----------------------|---------------------|----------------------|---------------------|---------------------|----------------------|---------------------------|-----------------------|----------------------|----------------------|---------------------|----------------------|
| № п/п | Nè ckb. | Аs,<br>кБк/м²        | V, m <sup>3</sup>   | А, Бк                | Аs,<br>кБк/м²       | V, m <sup>3</sup>   | А, Бк                | Аs,<br>кБк/м <sup>2</sup> | V, m <sup>3</sup>     | А, Бк                | Аs,<br>кБк/м²        | V, m <sup>3</sup>   | А, Бк                |
| 1     | 1004    | 2,1×10 <sup>3</sup>  | 4,4×10 <sup>6</sup> | 1,9×10 <sup>14</sup> | 4,4×10 <sup>3</sup> | 4,7×10 <sup>6</sup> | 4,1×10 <sup>14</sup> | 1,5×10 <sup>3</sup>       | 4,3×10 <sup>6</sup>   | 1,3×10 <sup>14</sup> | 6,2×10 <sup>2</sup>  | 9,5×10 <sup>2</sup> | 1,2×10 <sup>10</sup> |
| 2     | 1007    | 1,4×10 <sup>3</sup>  | 2,6×10 <sup>2</sup> | 7,1×10 <sup>9</sup>  | 2,3×10 <sup>3</sup> | 4,6×10 <sup>2</sup> | 2,1×10 <sup>10</sup> | <4,1×10 <sup>2</sup>      | -                     | -                    | <4,9×10 <sup>2</sup> | -                   | -                    |
| 3     | 1050    | 2,6×10 <sup>2</sup>  | 31                  | 1,6×10 <sup>9</sup>  | 2,9×10 <sup>2</sup> | 62                  | 3,6×10 <sup>8</sup>  | <4,1×10 <sup>2</sup>      | -                     | -                    | <4,9×10 <sup>2</sup> | -                   | -                    |
| 4     | 1053    | 6,5×10 <sup>2</sup>  | 49                  | 6,4×10 <sup>8</sup>  | 6,5×10 <sup>2</sup> | 1,9×10 <sup>2</sup> | 2,4×10 <sup>9</sup>  | <4,1×10 <sup>2</sup>      | -                     | -                    | <4,9×10 <sup>2</sup> | -                   | -                    |
| 5     | 1058    | 2,1×10 <sup>2</sup>  | 9                   | 3,8×10 <sup>7</sup>  | 9,1×10 <sup>2</sup> | 75                  | 1,4×10 <sup>9</sup>  | <4,1×10 <sup>2</sup>      | -                     | -                    | <4,9×10 <sup>2</sup> | -                   | -                    |
| 6     | 1069    | 6,4×10 <sup>3</sup>  | 1,7×10 <sup>3</sup> | 2,2×10 <sup>11</sup> | 1,1×10 <sup>4</sup> | $2,1\times10^{3}$   | 4,6×10 <sup>11</sup> | 4,5×10 <sup>5</sup>       | 4,3×10 <sup>3</sup>   | 3,9×10 <sup>13</sup> | 1,6×10 <sup>4</sup>  | 2,0×10 <sup>3</sup> | 6,5×10 <sup>11</sup> |
| 7     | 1071    | 3,2×10 <sup>2</sup>  | 1,3×10 <sup>2</sup> | 8,4×10 <sup>8</sup>  | 5,9×10 <sup>3</sup> | 2,5×10 <sup>2</sup> | 3,0×10 <sup>10</sup> | <4,1×10 <sup>2</sup>      | -                     | -                    | <4,9×10 <sup>2</sup> | -                   | -                    |
| 8     | 1077    | <1,2×10 <sup>2</sup> | -                   | -                    | 1,0×10 <sup>3</sup> | 45                  | 9,1×10 <sup>8</sup>  | <4,1×10 <sup>2</sup>      | -                     | -                    | <4,9×10 <sup>2</sup> | -                   | -                    |
| 9     | 1080    | 1,2×10 <sup>4</sup>  | 7,8×10 <sup>2</sup> | 1,9×10 <sup>11</sup> | 3,8×10 <sup>4</sup> | 1,2×10 <sup>3</sup> | 9,3×10 <sup>11</sup> | 2,3×10 <sup>3</sup>       | 4,4×10 <sup>2</sup>   | 2,0×10 <sup>10</sup> | <4,9×10 <sup>2</sup> | -                   | -                    |
| 10    | 1209    | 1,6×10 <sup>4</sup>  | 2,1×10 <sup>2</sup> | 6,6×10 <sup>10</sup> | 2,8×10 <sup>4</sup> | 2,7×10 <sup>2</sup> | 1,5×10 <sup>11</sup> | 1,1×10 <sup>3</sup>       | 90                    | 1,9×10 <sup>9</sup>  | <4,9×10 <sup>2</sup> | -                   | -                    |
| 11    | 1222    | 6,3×10 <sup>2</sup>  | 2,5×10 <sup>2</sup> | 3,1×10 <sup>9</sup>  | 1,8×10 <sup>3</sup> | 1,8×10 <sup>3</sup> | 2,4×10 <sup>10</sup> | <4,1×10 <sup>2</sup>      | -                     | -                    | <4,9×10 <sup>2</sup> | -                   | -                    |
| 12    | 1267    | 4,6×10 <sup>2</sup>  | 2                   | 1,5×10 <sup>7</sup>  | 7,8×10 <sup>2</sup> | 12                  | 1,8×10 <sup>8</sup>  | 2,8×10 <sup>3</sup>       | 20                    | 1,1×10 <sup>9</sup>  | <4,9×10 <sup>2</sup> | -                   | -                    |
| 13    | 1301    | $3,7\times10^{3}$    | 7,9×10 <sup>3</sup> | 5,9×10 <sup>11</sup> | 6,2×10 <sup>3</sup> | 1,3×10 <sup>4</sup> | 1,6×10 <sup>12</sup> | 2,4×10 <sup>3</sup>       | 5,9×10 <sup>3</sup>   | 2,8×10 <sup>11</sup> | <4,9×10 <sup>2</sup> | -                   | -                    |

#### 2.2 Радиоактивное загрязнение поверхностных вод площадки

Диапазон удельных активностей основных техногенных радионуклидов, Бк/м<sup>3</sup>:

- $\bullet$  <sup>241</sup>Am: <1,0×10<sup>-3</sup> 2,5×10<sup>2</sup>;
- $^{137}$ Cs:  $<2,0\times10^{-3}-26$ ;
- $^{90}$ Sr:  $<4,0\times10^{-3}-1,5\times10^{2}$ ;
- $\bullet$  <sup>239+240</sup>Pu: <1,4×10<sup>-5</sup> 40;
- $\bullet$  <sup>3</sup>H:  $<6-4,3\cdot10^5$ .

#### 2.3 Радиоактивное загрязнение подземных вод площадки

Диапазон удельных активностей основных техногенных радионуклидов, Бк/м<sup>3</sup>:

- $\bullet^{241}$ Am: <1,0×10<sup>-2</sup> 0,9;
- $\bullet$  <sup>137</sup>Cs: <2,0×10<sup>-3</sup> 2,6;
- $\bullet$  90Sr: <4.0×10<sup>-3</sup> 1.6×10<sup>3</sup>;
- $\bullet$  <sup>239+240</sup>Pu: <1,4×10<sup>-5</sup> 3;
- $\bullet$  <sup>3</sup>H:  $<6-5.0\cdot10^5$ .

#### 2.4 Радиоактивное загрязнение атмосферного воздуха

Диапазон удельных активностей основных техногенных радионуклидов, Бк/кг:

- $\bullet$  <sup>241</sup>Am: <2,0×10<sup>-8</sup> 3,2×10<sup>-2</sup>;
- $^{137}$ Cs:  $<5.1\times10^{-8} 5.5\times10^{-2}$ :
- $\bullet$  90Sr:  $<8.0\times10^{-8}-3.0\times10^{-2}$ ;
- $\bullet$  <sup>239+240</sup>Pu: <1,9×10<sup>-8</sup> 0,2.

#### 2.5 Радиоактивное загрязнение растительного покрова

Диапазон удельных активностей основных техногенных радионуклидов, Бк/кг:

- $\bullet$  <sup>241</sup>Am:  $<0,2-9,4\times10^4$ ;
- $^{137}$ Cs:  $<0,3-2,9\times10^5$ ;
- $\bullet$  90Sr: <1,0 4,2×10<sup>4</sup>;
- $\bullet$  <sup>239+240</sup>Pu: <0,1 3,9×10<sup>4</sup>;

#### 2.6 Радиоактивное загрязнение объектов животного мира

Диапазон удельных активностей основных техногенных радионуклидов, Бк/кг:

- $\bullet$  <sup>241</sup>Am: <3,0×10<sup>-2</sup> 27;
- $^{137}$ Cs:  $< 7.0 \times 10^{-2} 2.5 \times 10^{2}$ :
- $\bullet$  90Sr: <0.1 3.5×10<sup>2</sup>;
- $\bullet$  <sup>239+240</sup>Pu: <3.6×10<sup>-3</sup> 63.

#### приложение 7

## Хронология испытаний ядерного оружия на территории испытательной площадки «Балапан»

Таблица 4. Хронология испытаний ядерного оружия на территории испытательной площадки «Балапан»

| таоли    | ца 4. л   | ронология и       | спытании          | ядерного о                     | ружия на                   | терри    | гории     | испытателі        | ьнои площа        | адки « <b>д</b> ала            | пан»                       |
|----------|-----------|-------------------|-------------------|--------------------------------|----------------------------|----------|-----------|-------------------|-------------------|--------------------------------|----------------------------|
| №<br>п/п | №<br>скв. | Дата<br>испытания | Цель<br>испытания | Мощность<br>испытания          | Радиацио<br>нный<br>эффект | №<br>п/п | №<br>скв. | Дата<br>испытания | Цель<br>испытания | Мощность<br>испытания          | Радиацио<br>нный<br>эффект |
| 1        | 1004      | 15.01.1965        | ПВ                | 140                            | ВВГ                        | 54       | 1302      | 04.11.1978        | ОЯО<br>ОЯО        | 20-150<br>0,001-20             | ВКП                        |
| 2        | 1005      | 16.10.1974        | ИПФ               | 0,001-20                       | вкп                        | 55       | 1303      | 27.12.1980        | ОКО<br>ОКО        | 20-150<br>0,001-20             | ВКП                        |
| 3        | 1006      | 01.02.1979        | ОЯО               | 0,001-20                       | ВНК                        | 56       | 1304      | 07.12.1976        | ОЯО               | 20-150<br>0,001-20             | ВНК                        |
| 4        | 1007      | 10.02.1972        | СЯО               | 16                             | ВНК                        | 57       | 1307      | 26.10.1983        | СЯО               | 20-150                         | ВНК                        |
| 5        | 1010      | 11.06.1978        | СЯО               | 20-150                         | ВНК                        | 58       | 1308      | 07.03.1984        | СЯО               | 20-150                         | ВКП                        |
| 6        | 1050      | 29.07.1974        | ОКО               | 0,001-20                       | ВНК                        | 59       | 1309      | 02.12.1979        | СЯО<br>ФМИ        | 20-150<br>0,001-20             | ВНК                        |
| 7        | 1053      | 19.06.1968        | ФМИ               | 0,001-20                       | ВКП                        | 60       | 1312      | 27.12.1981        | СЯО               | 20-150                         | ВКП                        |
| 8        | 1054      | 30.11.1969        | ОКО               | 125                            | ВНК                        | 61       | 1313      | 16.12.1984        | ORO<br>ORO        | 20-150<br>0,001-20             | ВНК                        |
| 9        | 1056      | 30.06.1971        | ОКО               | 0,001-20                       | вкп                        | 62       | 1314      | 05.12.1982        | ОЯО<br>ОЯО        | 20-150<br>0,001-20             | ВКП                        |
| 10       | 1058      | 27.12.1974        | ОЯО               | 20-150                         | вкп                        | 63       | 1315      | 12.03.1987        | ОЯО<br>ОЯО        | 0,001-20<br>0,001-20           | ВНК                        |
| 11       | 1061      | 02.11.1972        | ОЯО               | 165                            | вкп                        | 64       | 1316      | 25.04.1984        | ОЯО<br>ОЯО        | 20-150<br>0,001-20             | ВКП                        |
| 12       | 1062      | 04.07.1976        | ОЯО               | 20-150                         | вкп                        | 65       | 1317      | 31.08.1982        | ОЯО<br>ОЯО        | 0,001-20<br>0,001-20           | ВКП                        |
| 13       | 1064      | 14.12.1973        | СЯО               | 20-150                         | ВНК                        | 66       | 1318      | 03.04.1987        | СЯО               | 20-150                         | ВНК                        |
| 14       | 1066      | 23.07.1973        | ОПЗ               | 150-1500                       | вкп                        | 67       | 1319      | 15.06.1985        | ОЯО<br>ОЯО        | 20-150<br>20-150               | ВКП                        |
| 15       | 1067      | 25.12.1975        | ОЯО               | 20-150                         | вкп                        | 68       | 1320      | 12.06.1983        | ОЯО<br>ОЯО        | 20-150<br>0,001-20             | ВКП                        |
| 16       | 1069      | 04.11.1973        | ОЯО               | 0,001-20                       | BHK-<br>HPC                | 69       | 1321      | 04.07.1982        | ORO<br>ORO<br>ORO | 0,001-20<br>20-150<br>0,001-20 | ВНК                        |
| 17       | 1071      | 25.04.1980        | ORO<br>ORO        | 20-150<br>0,001-20             | внк                        | 70       | 1322      | 20.07.1985        | ОЯО               | 20-150                         | внк                        |
| 18       | 1073      | 12.11.1977        | СЯО               | 0,001-20                       | ВКП                        | 71       | 1323      | 27.10.1984        | СЯО               | 20-150                         | ВНК                        |
| 19       | 1075      | 09.06.1976        | ОКО               | 0,001-20                       | ВКП                        | 72       | 1325      | 06.10.1983        | ОЯО<br>ОЯО        | 20-150<br>0,001-20             | ВНК                        |
| 20       | 1077      | 05.07.1978        | ОКО               | 20-150                         | ВНК                        | 73       | 1326      | 20.06.1987        | ОЯО<br>ОЯО        | 20-150<br>0,001-20             | ВНК                        |
| 21       | 1079      | 05.09.1977        | СЯО<br>ФМИ        | 20-150<br>0,001-20             | ВНК                        | 74       | 1328      | 22.01.1989        | ОЯО<br>ОЯО        | 0,001-20<br>20-150             | ВНК                        |
| 22       | 1080      | 29.06.1977        | СЯО               | 0,001-20                       | ВНК                        | 75       | 1331      | 19.02.1984        | СЯО               | 20-150                         | ВКП                        |
| 23       | 1083      | 12.06.1980        | ОКО               | 20-150                         | ВНК                        | 76       | 1332      | 15.11.1987        | ОКО<br>ОКО        | 20-150<br>0,001-20             | ВНК                        |
| 24       | 1085      | 04.08.1979        | ОЯО<br>ОЯО        | 20-150<br>0,001-20             | ВНК                        | 77       | 1335      | 29.03.1984        | ОКО               | 20-150                         | ВКП                        |
| 25       | 1086      | 14.12.1980        | ORO<br>ORO<br>ORO | 0,001-20<br>0,001-20<br>20-150 | ВНК                        | 78       | 1336      | 03.04.1988        | ОЯО               | 20-150                         | ВНК                        |
| 26       | 1087      | 12.10.1980        | ORO<br>ORO        | 20-150<br>20-150               | ВКП                        | 79       | 1340      | 10.02.1985        | ORO<br>ORO<br>ORO | 0,001-20<br>0,001-20<br>20-150 | внк                        |
| 27       | 1201      | 21.04.1976        | ОЯО               | 0,001-20                       | вкп                        | 80       | 1341      | 15.06.1985        | ОЯО<br>ОЯО        | 20-150<br>0,001-20             | внк                        |
| 28       | 1202      | 28.08.1976        | ОЯО               | 20-150                         | ВКП                        | 81       | 1344      | 14.07.1984        | ORO<br>ORO        | 20-150<br>0,001-20             | ВНК                        |
| 29       | 1203      | 27.05.1981        | ОЯЭ               | 0,001-20                       | ВНК                        | 82       | 1346      | 17.12.2018        | ORO<br>ORO        | 20-150<br>0,001-20             | ВНК                        |
| 30       | 1204      | 10.12.1972        | ОПЗ               | 140                            | BHK-<br>HPC                | 83       | 1348      | 02.08.1987        | ORO<br>ORO<br>ORO | 0,001-20<br>20-150<br>20-150   | вкп                        |
| 31       | 1205      | 27.04.1975        | ОЯО               | 20-150                         | ВКП                        | 84       | 1350      | 14.09.1988        | ФМИ               | 20-150                         | ВКП                        |
| 32       | 1206      | 29.10.1975        | СЯО               | 20-150                         | ВНК                        | 85       | 1352      | 08.07.1989        | ОЯО               | 20-150                         | ВКП                        |
| 33       | 1207      | 31.05.1974        | ОЯО               | 0,001-20                       | ВНК                        | 86       | 1353      | 28.12.1984        | ОПЗ<br>СПО        | 20-150<br>0,001-20             | ВНК                        |
| 34       | 1209      | 07.12.1976        | ОКО               | 0,001-20                       | ВНК                        | 87       | 1354      | 30.06.1985        | ОЯО<br>ОЯО        | 0,001-20<br>20-150             | ВКП                        |

| 35 | 1211 | 15.09.1978 | ORO               | 20-150                           | ВНК         | 88  | 1355               | 13.12.1987 | ORO<br>ORO        | 0,001-20<br>20-150             | ВНК |
|----|------|------------|-------------------|----------------------------------|-------------|-----|--------------------|------------|-------------------|--------------------------------|-----|
| 36 | 1214 | 29.10.1977 | СЯО               | 20-150                           | ВКП         | 89  | 1359               | 04.05.1988 | ФМИ               | 20-150                         | -   |
| 37 | 1219 | 25.04.1982 | ОКО<br>ОКО<br>ОКО | 20-150<br>20-150<br>20-150       | -           | 90  | 1361               | 13.02.1988 | ORO<br>ORO        | 20-150<br>0,001-20             | внк |
| 38 | 1220 | 14.09.1980 | ОЯО               | 20-150                           | вкп         | 91  | 1365               | 19.10.1989 | ОЯО<br>ОКО<br>ОКО | 20-150<br>0,001-20<br>0,001-20 | ВКП |
| 39 | 1222 | 29.11.1978 | ОЯО<br>ОЯО        | 20-150<br>0,001-20               | ВНК         | 92  | 1366               | 12.02.1989 | ОЯО               | 20-150                         | ВНК |
| 40 | 1223 | 23.06.1979 | ОЯО               | 20-150                           | ВНК         | 93  | 1384               | 17.04.1987 | ОЯО<br>ОЯО<br>ОКО | 20-150<br>0,001-20<br>0,001-20 | ВКП |
| 41 | 1224 | 28.10.1979 | ОЯО<br>ОЯО        | 20-150<br>0,001-20               | ВКП         | 94  | 1388               | 27.12.1987 | ОЯО<br>ОЯО        | 20-150<br>0,001-20             | ВКП |
| 42 | 1225 | 07.07.1979 | ОЯО<br>ОЯО        | 20-150<br>0,001-20               | вкп         | 95  | 1400               | 29.05.1977 | ОЯО               | 20-150                         | ВНК |
| 43 | 1226 | 18.08.1979 | ОЯО<br>ОЯО        | 20-150<br>0,001-20               | вкп         | 96  | 1410               | 02.09.1989 | ОКО<br>ОКО        | 0,001-20<br>0,001-20           | ВКП |
| 44 | 1227 | 29.06.1980 | ОЯО<br>ОЯО<br>ОКО | 0,001-20<br>0,001-20<br>20-150   | ВНК         | 97  | 1411               | 02.12.1984 | СЯО<br>ФМИ        | 20-150<br>0,001-20             | ВНК |
| 45 | 1228 | 29.08.1978 | СЯО               | 20-150                           | ВНК         | 98  | 1412               | 12.11.1988 | СЯО               | 0,001-20                       | ВКП |
| 46 | 1232 | 22.04.1981 | ORO<br>ORO<br>ORO | 20-150<br>0,001-20<br>0,001-20   | вкп         | 99  | 1414               | 26.05.1984 | ОКО<br>ОКО        | 20-150<br>0,001-20             | ВНК |
| 47 | 1233 | 13.09.1981 | СЯО               | 20-150                           | ВНК         | 100 | 1415               | 26.12.1982 | ИМФ<br>ОЯО        | 20-150<br>20-150               | ВКП |
| 48 | 1234 | 29.03.1981 | ORO<br>ORO<br>ORO | 0,001-20<br>0,001-20<br>0,001-20 | вкп         | 101 | 1421               | 14.06.1988 | ОЯО               | 0,001-20                       | внк |
| 49 | 1235 | 20.11.1983 | ORO<br>ORO        | 0,001-20<br>0,001-20             | ВКП         | 102 | 1061<br>-бис       | 15.06.1985 | ОЯО               | 0,001-20                       | ВНК |
| 50 | 1236 | 18.10.1981 | ОКО<br>ОКО        | 20-150<br>0,001-20               | ВКП         | 103 | 1207<br>-бис       | 23.11.1976 | ОЯЭ               | 20-150                         | ВКП |
| 51 | 1237 | 29.11.1981 | ORO<br>ORO<br>ORO | 0,001-20<br>0,001-20<br>0,001-20 | внк         | 104 | A                  | 30.06.1975 | ОЯО               | 0,001-20                       | внк |
| 52 | 1267 | 20.09.1973 | ОЯО               | <0,001                           | ВКП         | 105 | Глуб<br>окая       | 30.11.1977 | ORO<br>ORO        | 20-150<br>0,001-20             | ВНК |
| 53 | 1301 | 16.04.1974 | ОЯО               | 0,001-20                         | BHK-<br>HPC | 106 | Глуб<br>окая<br>-1 | 23.12.1979 | ORO<br>ORO        | 20-150<br>0,001-20             | ВКП |

#### Сокращения:

ВВГ — взрыв с выбросом грунта

ВКП — взрыв камуфлета полного

ВНК — взрыв неполного камуфлета

ВНК-НРС — взрыв неполного камуфлета с нештатной радиационной ситуацией

ИПФ— исследование поражающих факторов ЯВ; ОПЗ — отработка промышленных зарядов (для производства ядерных взрывов в мирных целях);

ПВ — промышленные ядерные взрывы (проведение в мирных целях, отработка технологии);

СЯО — совершенствование ядерного оружия ФМИ— фундаментальные и методические исследования.

#### Перечень радиационно-опасных объектов испытательной площадки «Балапан»

На основании данных по лабораторным анализам и анализу карт площадного распределения техногенных радионуклидов приустьевых площадок скважин установлен перечень радиационно-опасных объектов (Рисунок 4).

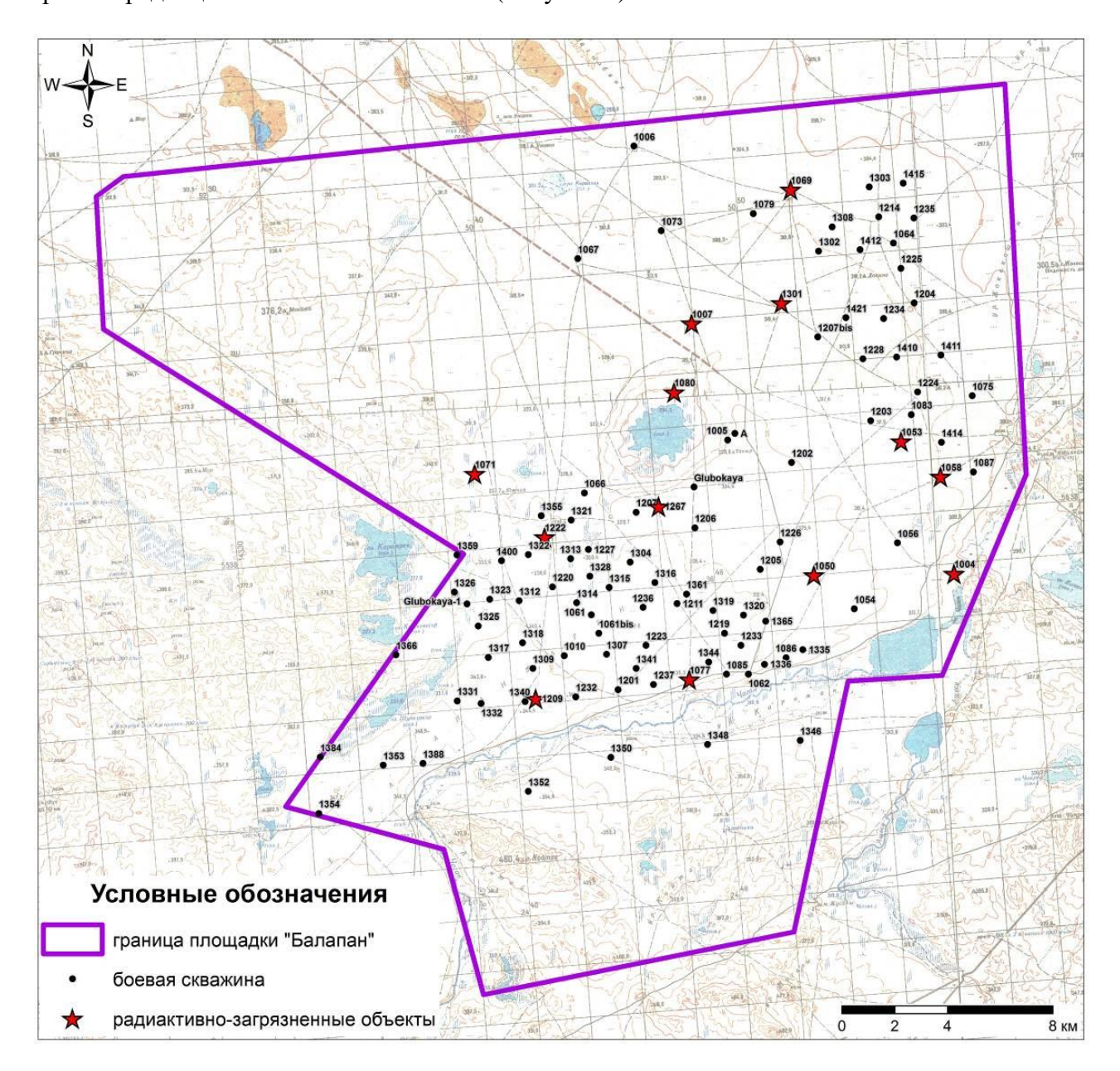


Рисунок 4. Карта-схема площадки «Балапан» с обозначением радиационно-опасных объектов

#### Место расположения

Территория приустьевой площадки скважины расположена в восточной части площадки «Балапан» на расстоянии 1 км в западном направлении от ее границы. Географические координаты представлены в таблице (Таблица 2).

Таблица 2. Географические координаты скважины №1004

| No over | Географические координаты |        |  |         |  |    |  |  |
|---------|---------------------------|--------|--|---------|--|----|--|--|
| № скв   |                           | Широта |  | Долгота |  |    |  |  |
| 1004    | 49 56 12 79 00            |        |  |         |  | 28 |  |  |

#### Характеристика источника радиационного загрязнения

Радиационное загрязнение образовано 15.01.1965 г. в результате проведения подземного ядерного взрыва. Цель проведения испытания: промышленные ядерные взрывы в мирных целях и отработка технологий проведения МЯВ (ПВ), мощность взрыва составила 140 кт в тротиловом эквиваленте. Радиационный эффект испытания — воронка на выброс (ВВГ). Первый промышленный взрыв; первое ЯИ на СИП в скважине; взрыв на выброс.

#### Экологические характеристики объекта

На скважине наиболее показательным техногенным радионуклидом является <sup>137</sup>Cs (Рисунок 5). Он имеет масштабный характер и в большей степени распространяется в северном направлении.

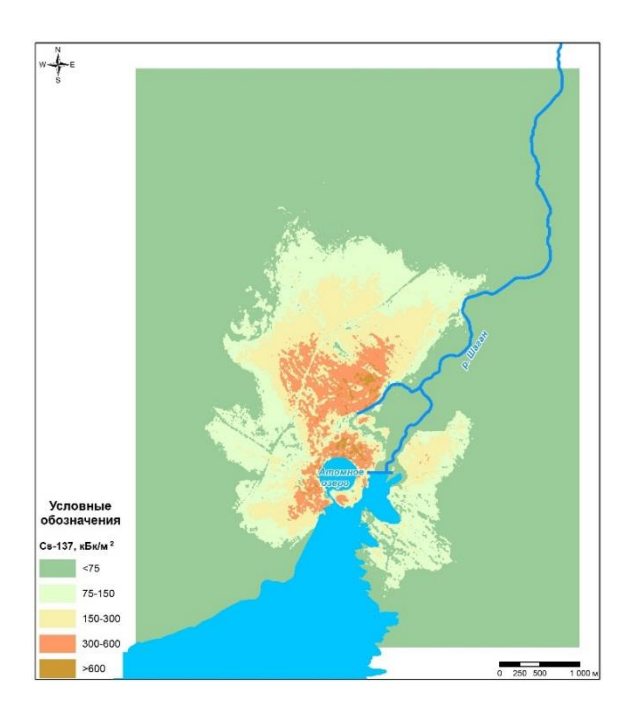


Рисунок 5. Карта площадного распределения <sup>137</sup>Сs на территории скважины № 1004

Диапазон площадных активностей основных техногенных радионуклидов, кБк/м<sup>2</sup>:

- $\bullet$  <sup>241</sup>Am:  $<4.9\times10^2-6.2\times10^2$ :
- $^{137}$ Cs:  $< 75 4.4 \times 10^3$ ;
- $^{90}$ Sr:  $<1.2\times10^2-2.1\times10^3$ :
- $^{239+240}$ Pu:  $<4.1\times10^2-1.5\times10^3$ .

Площадь радиоактивного загрязнения, превышающая значения, указанные в Критериях оценки экологической обстановки территорий, составляет порядка  $7.7 \text{ кm}^2$ . В тоже время объем радиоактивного материала, с учетом навалов воронки, составляет порядка  $4.7 \times 10^6 \text{ m}^3$ .

#### Место расположения

Территория приустьевой площадки скважины расположена в центральной части площадки «Балапан» на расстоянии 8 км в южном направлении от ее границы. Географические координаты представлены в таблице (Таблица 3).

Таблица 3. Географические координаты скважины №1007

| No over | Географические координаты |        |  |         |  |    |  |  |
|---------|---------------------------|--------|--|---------|--|----|--|--|
| № скв   |                           | Широта |  | Долгота |  |    |  |  |
| 1007    | 50 01 27 78 52            |        |  |         |  | 41 |  |  |

#### Характеристика источника радиационного загрязнения

Радиационное загрязнение образовано 10.02.1972 г. в результате проведения подземного ядерного взрыва. Целью проведения испытания было создание и совершенствование ядерного оружия, мощность взрыва составила 16 кт в тротиловом эквиваленте. Радиационный эффект испытания — быстрое и динамическое истечение по боевой скважине газообразных и парообразных радиоактивных продуктов с последующим возгоранием смеси.

#### Экологические характеристики объекта

На скважине наиболее показательным техногенным радионуклидом является <sup>137</sup>Cs (Рисунок 6). Он имеет локальный характер и в большей степени распространяется в пределах приустьевой территории испытательной скважины.

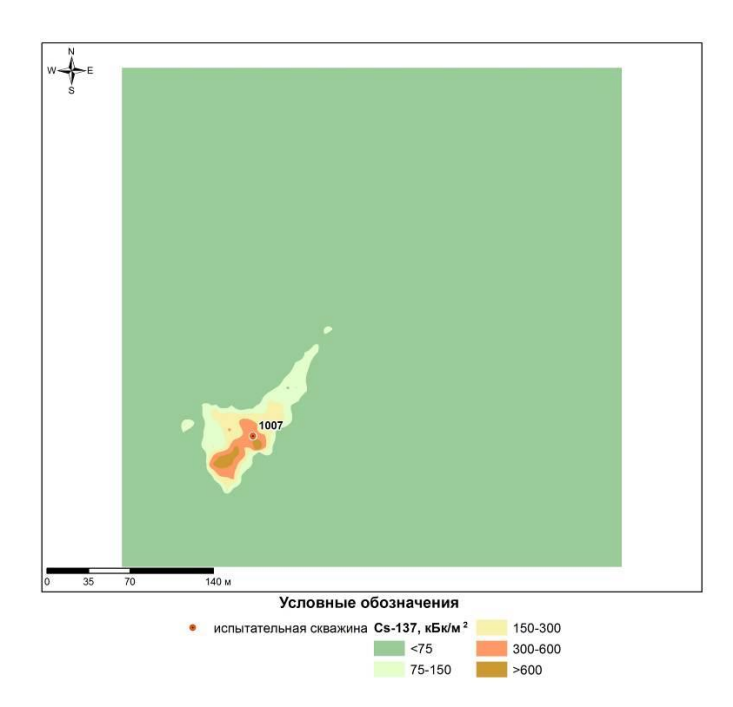


Рисунок 6. Карта площадного распределения <sup>137</sup>Сs на территории скважины № 1007

Диапазон площадных активностей основных техногенных радионуклидов, кБк/м<sup>2</sup>:

- $^{241}$ Am:  $<4,9\times10^2$ ;
- $^{137}$ Cs:  $< 75 2.3 \times 10^3$ ;
- $^{90}$ Sr:  $<1,2\times10^2-1,4\times10^3$ ;
- $^{239+240}$ Pu:  $<4,1\times10^2$ .

Площадь радиоактивного загрязнения, превышающая значения, указанные в Критериях оценки экологической обстановки территорий, составляет порядка  $4.0 \times 10^{-3}$  км². В тоже время объем радиоактивного материала составляет порядка  $4.6 \times 10^{3}$  м³.

#### Место расположения

Территория приустьевой площадки скважины расположена в восточной части площадки «Балапан» на расстоянии 7 км в западном направлении от ее границы. Географические координаты представлены в таблице (Таблица 4).

Таблица 4.Географические координаты скважины №1050

| No over | Географические координаты |        |  |         |  |  |  |  |
|---------|---------------------------|--------|--|---------|--|--|--|--|
| № скв   |                           | Широта |  | Долгота |  |  |  |  |
| 1050    | 49 56 31 78 56 07         |        |  |         |  |  |  |  |

#### Характеристика источника радиационного загрязнения

Радиационное загрязнение образовано 29.07.1974 г. в результате проведения подземного ядерного взрыва. Цель проведения испытания: создание или совершенствование ядерного оружия (СЯО), мощность взрыва составила до 20 кт в тротиловом эквиваленте. Радиационный эффект испытания – взрыв сопровождался незначительным истечением в атмосферу инертных газов (ВНК).

#### Экологические характеристики объекта

На скважине наиболее показательным техногенным радионуклидом является <sup>137</sup>Cs (Рисунок 7). Он имеет локальный характер и распространяется в пределах приустьевой территории испытательной скважины.

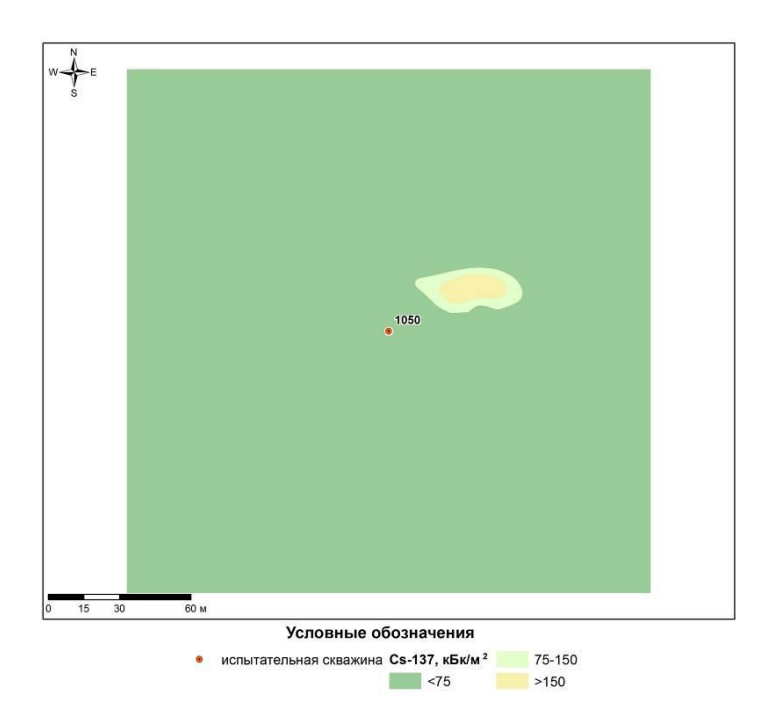


Рисунок 7. Карта площадного распределения <sup>137</sup>Сs на территории скважины № 1050

Диапазон площадных активностей основных техногенных радионуклидов, кБк/м<sup>2</sup>:

- $\bullet$  <sup>241</sup>Am: <4,9×10<sup>2</sup>;
- $^{137}$ Cs:  $< 75 2.9 \times 10^2$ ;
- $^{90}$ Sr:  $<1,2\times10^2-2,6\times10^2$ ;
- $^{239+240}$ Pu:  $<4,1\times10^2$ .

Площадь радиоактивного загрязнения, превышающая значения, указанные в Критериях оценки экологической обстановки территорий, составляет порядка  $6.0 \times 10^{-4}$  км<sup>2</sup>. В тоже время объем радиоактивного материала составляет порядка 62 м<sup>3</sup>.

#### Место расположения

Территория приустьевой площадки скважины расположена в восточной части площадки «Балапан» на расстоянии 5 км в западном направлении от ее границы. Географические координаты представлены в таблице (Таблица 5).

Таблица 5. Географические координаты скважины №1053

| No over | Географические координаты |        |    |         |    |    |  |
|---------|---------------------------|--------|----|---------|----|----|--|
| № скв   |                           | Широта |    | Долгота |    |    |  |
| 1053    | 49                        | 58     | 49 | 78      | 59 | 08 |  |

#### Характеристика источника радиационного загрязнения

Радиационное загрязнение образовано 19.06.1968 г. в результате проведения подземного ядерного взрыва. Цель проведения испытания: фундаментальные и методические исследования (ФМИ), мощность взрыва составила до 20 кт в тротиловом эквиваленте. Радиационный эффект испытания — взрыв не сопровождался истечением в атмосферу инертных газов (ВКП).

#### Экологические характеристики объекта

На скважине наиболее показательным техногенным радионуклидом является <sup>137</sup>Cs (Рисунок 8). Он имеет локальный характер и в большей степени распространяется в пределах приустьевой территории испытательной скважины.

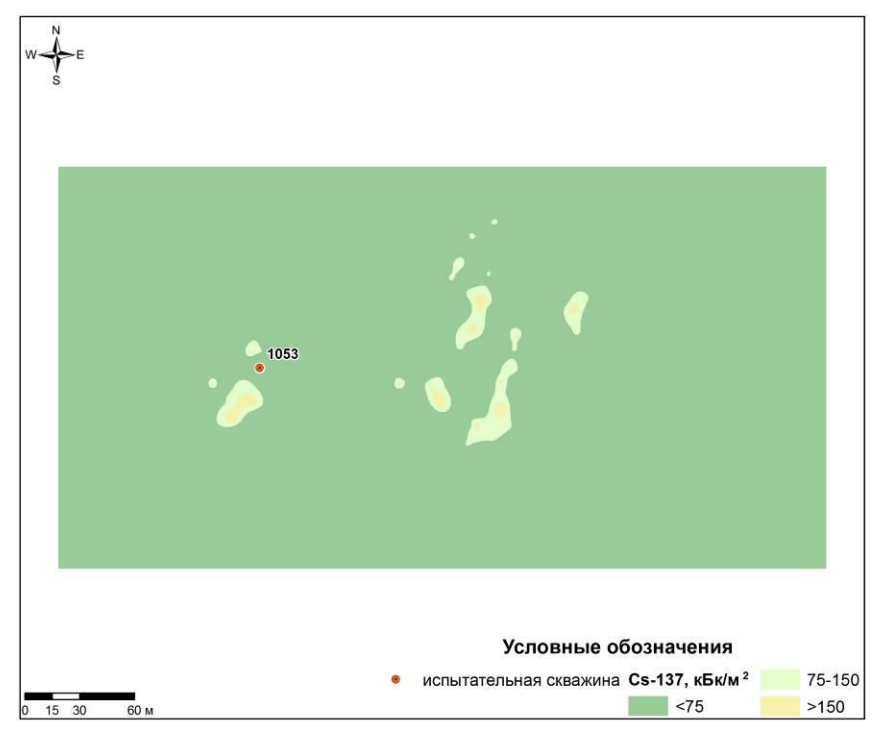


Рисунок 8. Карта площадного распределения <sup>137</sup>Сs на территории скважины № 1053

Диапазон площадных активностей основных техногенных радионуклидов, кБк/м<sup>2</sup>:

- $\bullet$  <sup>241</sup>Am: <4,9×10<sup>2</sup>;
- $^{137}$ Cs:  $< 75 6.5 \times 10^2$ ;
- $^{90}$ Sr:  $<1,2\times10^2-6,5\times10^2$ ;
- $^{239+240}$ Pu:  $<4,1\times10^2$ .

Площадь радиоактивного загрязнения, превышающая значения, указанные в Критериях оценки экологической обстановки территорий, составляет порядка  $1.8 \times 10^{-3}$  км<sup>2</sup>. В тоже время объем радиоактивного материала составляет порядка  $1.9 \times 10^2$  м<sup>3</sup>.

#### Место расположения

Территория приустьевой площадки скважины расположена в восточной части площадки «Балапан» на расстоянии 2 км в западном направлении от ее границы. Географические координаты представлены в таблице (Таблица 6).

Таблица 6.Географические координаты скважины №1058

| No over | Географические координаты |        |  |         |  |  |  |  |
|---------|---------------------------|--------|--|---------|--|--|--|--|
| № скв   |                           | Широта |  | Долгота |  |  |  |  |
| 1058    | 49 58 06 78 00 00         |        |  |         |  |  |  |  |

#### Характеристика источника радиационного загрязнения

Радиационное загрязнение образовано 20.12.1974 г. в результате проведения подземного ядерного взрыва. Цель проведения испытания: создание или совершенствование ядерного оружия (СЯО), мощность взрыва составила 20-150 кт в тротиловом эквиваленте. Радиационный эффект испытания – взрыв не сопровождался истечением в атмосферу инертных газов (ВКП).

#### Экологические характеристики объекта

На скважине наиболее показательным техногенным радионуклидом является <sup>137</sup>Cs (Рисунок 9). Он имеет локальный характер и распространяется в пределах приустьевой территории испытательной скважины.

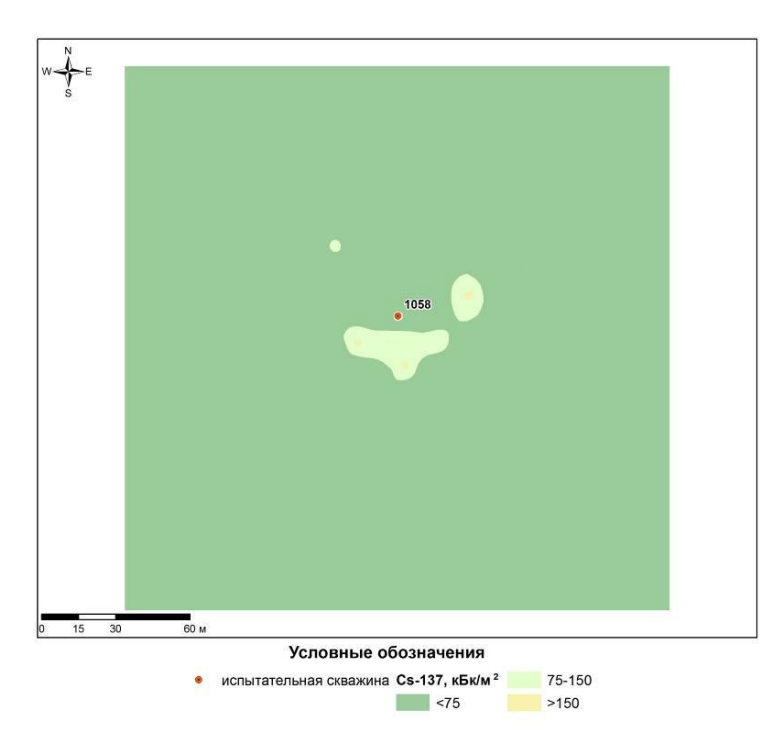


Рисунок 9. Карта площадного распределения <sup>137</sup>Сs на территории скважины № 1058

Диапазон площадных активностей основных техногенных радионуклидов, кБк/м<sup>2</sup>:

- $^{241}$ Am:  $<4,9\times10^2$ ;
- $^{137}$ Cs:  $< 75 9,1 \times 10^2$ ;
- $\bullet$  90Sr: <1,2×10<sup>2</sup> 2,1×10<sup>2</sup>;
- $\bullet$  <sup>239+240</sup>Pu: <4.1×10<sup>2</sup>.

Площадь радиоактивного загрязнения, превышающая значения, указанные в Критериях оценки экологической обстановки территорий, составляет порядка  $7.0 \times 10^{-4}$  км<sup>2</sup>. В тоже время объем радиоактивного материала составляет порядка  $7.5 \text{ м}^3$ .

#### Место расположения

Территория приустьевой площадки скважины расположена в северо-восточной части площадки «Балапан» на расстоянии 2 км в южном направлении от ее границы. Географические координаты представлены в таблице (Таблица 7).

Таблица 7.Географические координаты скважины №1069

| No over | Географические координаты |        |  |         |  |    |  |  |
|---------|---------------------------|--------|--|---------|--|----|--|--|
| № скв   |                           | Широта |  | Долгота |  |    |  |  |
| 1069    | 50 03 47 78 55            |        |  |         |  | 59 |  |  |

#### Характеристика источника радиационного загрязнения

Радиационное загрязнение образовано 04.11.1973 г. в результате проведения подземного ядерного взрыва. Целью проведения испытания было создание и совершенствование ядерного оружия, мощность взрыва составила до 20 кт в тротиловом эквиваленте. Радиационный эффект испытания — быстрое и динамическое истечение по боевой скважине газообразных и парообразных радиоактивных продуктов с последующим возгоранием смеси (ВНК-НРС).

#### Экологические характеристики объекта

На скважине наиболее показательным техногенным радионуклидом является <sup>239+240</sup>Pu (Рисунок 10). Он имеет масштабный характер и в большей степени распространяется в северном направлении.

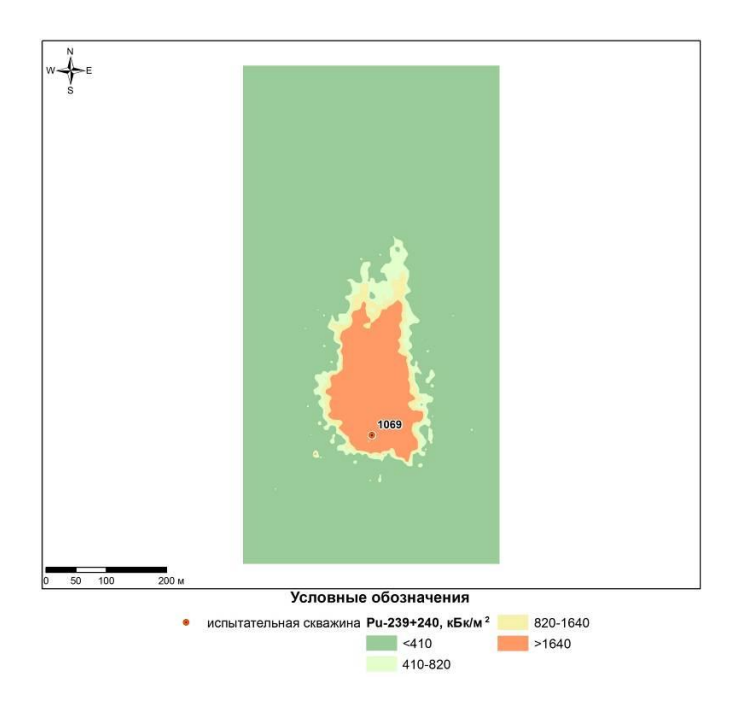


Рисунок 10. Карта площадного распределения <sup>239+240</sup>Pu на территории скважины № 1069

Диапазон площадных активностей основных техногенных радионуклидов, кБк/м<sup>2</sup>:

- $\bullet$  <sup>241</sup>Am: <4,9×10<sup>2</sup>–1,6×10<sup>4</sup>;
- $^{137}$ Cs:  $< 75 1.1 \times 10^4$ ;
- $^{90}$ Sr:  $<1.2\times10^2-6.4\times10^3$ :
- $^{239+240}$ Pu:  $<4.1\times10^2-4.5\times10^5$ .

Площадь радиоактивного загрязнения, превышающая значения, указанные в Критериях оценки экологической обстановки территорий, составляет порядка  $4.3 \times 10^{-2}$  км $^2$ . В тоже время объем радиоактивного материала составляет порядка  $4.3 \times 10^3$  м $^3$ .

#### Место расположения

Территория приустьевой площадки скважины расположена в западной части площадки «Балапан» на расстоянии 2 км в северо-восточном направлении от ее границы. Географические координаты представлены в таблице (Таблица 8).

Таблица 8. Географические координаты скважины №1071

| No over | Географические координаты |        |  |         |  |    |  |  |
|---------|---------------------------|--------|--|---------|--|----|--|--|
| № скв   |                           | Широта |  | Долгота |  |    |  |  |
| 1071    | 49 58 39 78 45            |        |  |         |  | 32 |  |  |

#### Характеристика источника радиационного загрязнения

Радиационное загрязнение образовано 04.12.1973 г. в результате проведения подземного ядерного взрыва. Цель проведения испытания: создание или совершенствование ядерного оружия (СЯО), мощность взрыва составила 20-150 кт в тротиловом эквиваленте. Радиационный эффект испытания – взрыв сопровождался незначительным истечением в атмосферу инертных газов (ВНК).

#### Экологические характеристики объекта

На скважине наиболее показательным техногенным радионуклидом является <sup>137</sup>Cs (Рисунок 11). Он имеет локальный характер и распространяется в пределах приустьевой территории испытательной скважины.

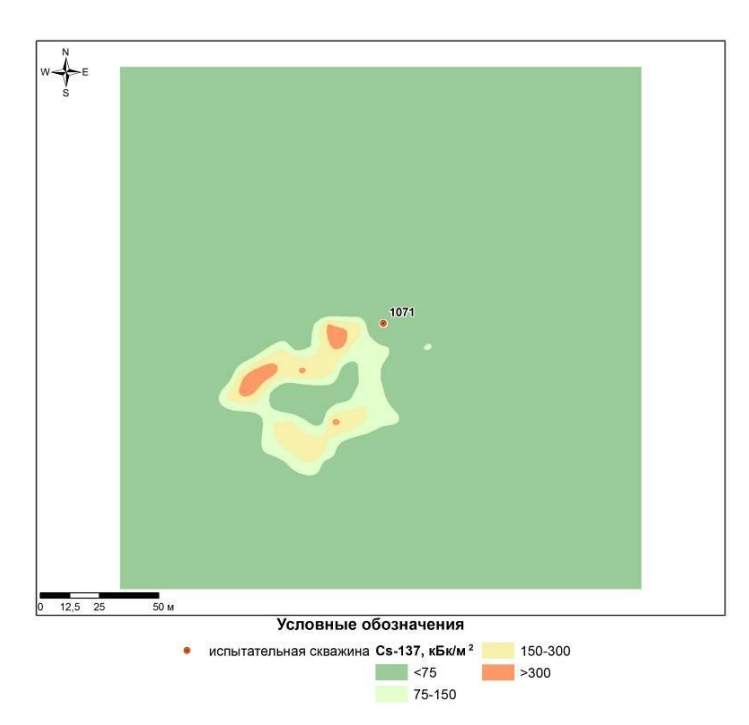


Рисунок 11. Карта площадного распределения <sup>137</sup>Сs на территории скважины № 1071

Диапазон площадных активностей основных техногенных радионуклидов, кБк/м<sup>2</sup>:

- $\bullet$  <sup>241</sup>Am: <4,9×10<sup>2</sup>;
- $^{137}$ Cs:  $< 75 5.9 \times 10^3$ :
- $^{90}$ Sr:  $<1.2\times10^2-3.2\times10^2$ ;
- $\bullet$  <sup>239+240</sup>Pu: <4.9×10<sup>2</sup>.

Площадь радиоактивного загрязнения, превышающая значения, указанные в Критериях оценки экологической обстановки территорий, составляет порядка  $2.0 \times 10^{-3}$  км<sup>2</sup>. В тоже время объем радиоактивного материала составляет порядка  $2.5 \times 10^2$  м<sup>3</sup>.

#### Место расположения

Территория приустьевой площадки скважины расположена в юго-восточной части площадки «Балапан» на расстоянии 6 км в западном направлении от ее границы. Географические координаты представлены в таблице (Таблица 9).

Таблица 9. Географические координаты скважины №1077

| No over | Географические координаты |        |  |         |  |    |  |  |
|---------|---------------------------|--------|--|---------|--|----|--|--|
| № скв   |                           | Широта |  | Долгота |  |    |  |  |
| 1071    | 49 54 13 78 52            |        |  |         |  | 00 |  |  |

#### Характеристика источника радиационного загрязнения

Радиационное загрязнение образовано 25.07.1978 г. в результате проведения подземного ядерного взрыва. Цель проведения испытания: создание или совершенствование ядерного оружия (СЯО), мощность взрыва — 20-150 кт в тротиловом эквиваленте. Радиационный эффект испытания — взрыв сопровождался истечением в атмосферу инертных газов (ВНК).

#### Экологические характеристики объекта

На скважине наиболее показательным техногенным радионуклидом является <sup>137</sup>Cs (Рисунок 12). Он имеет локальный характер и распространяется в пределах приустьевой территории испытательной скважины.

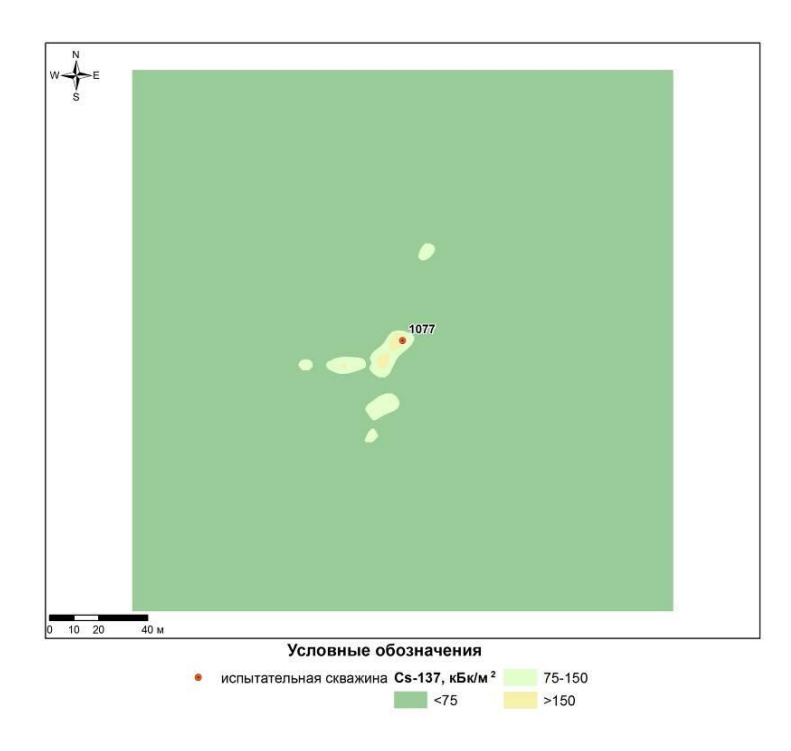


Рисунок 12. Карта площадного распределения <sup>137</sup>Сs на территории скважины № 1077

Диапазон площадных активностей основных техногенных радионуклидов, кБк/м<sup>2</sup>:

- $^{241}$ Am:  $<4.9\times10^2$ :
- $^{137}$ Cs:  $< 75 1,0 \times 10^3$ ;
- $^{90}$ Sr: <1,2×10<sup>2</sup>;
- $\bullet$  <sup>239+240</sup>Pu: <4.9×10<sup>2</sup>.

Площадь радиоактивного загрязнения, превышающая значения, указанные в Критериях оценки экологической обстановки территорий, составляет порядка  $4.0 \times 10^{-4}$  км<sup>2</sup>. В тоже время объем радиоактивного материала составляет порядка  $45 \text{ м}^3$ .

#### Место расположения

Территория приустьевой площадки скважины расположена в центральной части площадки «Балапан» на расстоянии 10 км в южном направлении от ее границы. Географические координаты представлены в таблице (Таблица 10).

Таблица 10. Географические координаты скважины №1080

| No over | Географические координаты |        |  |         |  |  |  |  |
|---------|---------------------------|--------|--|---------|--|--|--|--|
| № скв   |                           | Широта |  | Долгота |  |  |  |  |
| 1080    | 50 00 07 78 51 59         |        |  |         |  |  |  |  |

#### Характеристика источника радиационного загрязнения

Радиационное загрязнение образовано 29.06.1977 г. в результате проведения подземного ядерного взрыва. Цель проведения испытания: создание или совершенствование ядерного оружия (СЯО), мощность взрыва составила 0,001 до 20 кт в тротиловом эквиваленте. Радиационный эффект испытания — ВНК (взрыв сопровождался незначительным истечением в атмосферу инертных газов).

#### Экологические характеристики объекта

На скважине наиболее показательным техногенным радионуклидом является <sup>137</sup>Cs (Рисунок 13). Он имеет масштабный характер и в большей степени распространяется в северовосточном направлении.

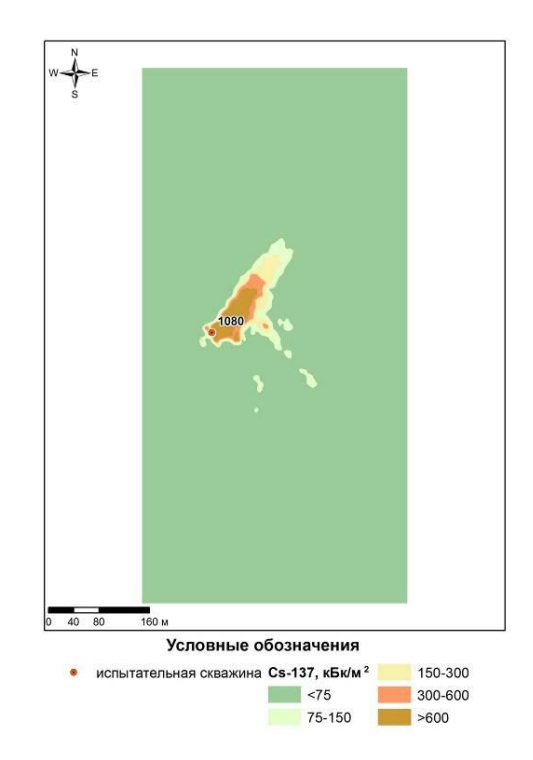


Рисунок 13. Карта площадного распределения <sup>137</sup>Cs на территории скважины № 1080 Диапазон площадных активностей основных техногенных радионуклидов, кБк/м<sup>2</sup>:

- $\bullet$  <sup>241</sup>Am: <4,9×10<sup>2</sup>;
- $^{137}$ Cs:  $<75 3.8 \times 10^4$ :
- $\bullet$  90Sr: <1,2×10<sup>2</sup> 1,2×10<sup>4</sup>;
- $^{239+240}$ Pu:  $<4.1\times10^2-2.3\times10^3$ .

Площадь радиоактивного загрязнения, превышающая значения, указанные в Критериях оценки экологической обстановки территорий, составляет порядка  $1,2\times10^{-2}$  км². В тоже время объем радиоактивного материала составляет порядка  $1,2\times10^3$  м³.

#### Место расположения

Территория приустьевой площадки скважины расположена в юго-западной части площадки «Балапан» на расстоянии 6 км в восточном направлении от ее границы. Географические координаты представлены в таблице (Таблица 11).

Таблица 11. Географические координаты скважины №1209

| No over | Географические координаты |        |    |    |         |    |  |  |  |  |
|---------|---------------------------|--------|----|----|---------|----|--|--|--|--|
| № скв   |                           | Широта |    |    | Долгота |    |  |  |  |  |
| 1209    | 49                        | 53     | 59 | 78 | 47      | 06 |  |  |  |  |

#### Характеристика источника радиационного загрязнения

Радиационное загрязнение образовано 07.12.1976 г. в результате проведения подземного ядерного взрыва. Цель проведения испытания: создание или совершенствование ядерного оружия (СЯО), мощность взрыва до 20 кт в тротиловом эквиваленте. Радиационный эффект испытания – взрыв сопровождался истечением в атмосферу инертных газов (ВНК).

#### Экологические характеристики объекта

На скважине наиболее показательным техногенным радионуклидом является <sup>137</sup>Cs (Рисунок 14). Он имеет локальный характер и распространяется в пределах приустьевой территории испытательной скважины.

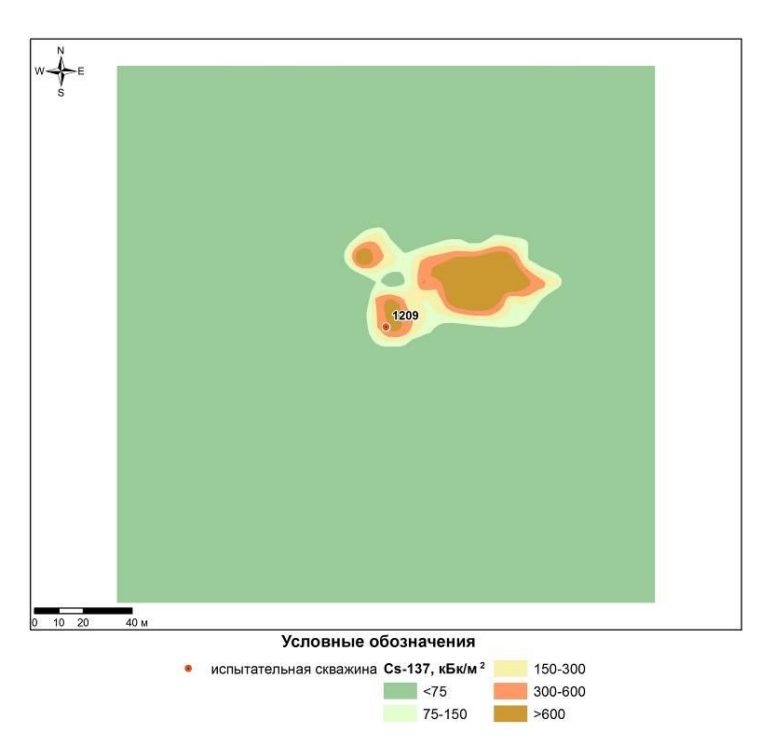


Рисунок 14. Карта площадного распределения <sup>137</sup>Сs на территории скважины № 1209

Диапазон площадных активностей основных техногенных радионуклидов, кБк/м<sup>2</sup>:

- $^{241}$ Am:  $<4,9\times10^2$ ;
- $^{137}$ Cs:  $< 75 2.8 \times 10^4$ :
- $\bullet$  90Sr: <1,2×10<sup>2</sup> 1,6×10<sup>4</sup>;
- $^{239+240}$ Pu:  $<4.1\times10^2-1.1\times10^3$ .

Площадь радиоактивного загрязнения, превышающая значения, указанные в Критериях оценки экологической обстановки территорий, составляет порядка  $2.0 \times 10^{-3}~{\rm km}^2$ . В тоже время объем радиоактивного материала составляет порядка  $2.7 \times 10^2~{\rm m}^3$ .

#### Место расположения

Территория приустьевой площадки скважины расположена в центральной части площадки «Балапан» на расстоянии 5 км в восточном направлении от ее границы. Географические координаты представлены в таблице (Таблица 12).

Таблица 12. Географические координаты скважины №1222

| No over | Географические координаты |        |    |    |         |    |  |  |  |
|---------|---------------------------|--------|----|----|---------|----|--|--|--|
| № скв   |                           | Широта |    |    | Долгота |    |  |  |  |
| 1222    | 49                        | 57     | 17 | 78 | 47      | 39 |  |  |  |

#### Характеристика источника радиационного загрязнения

Радиационное загрязнение образовано 29.11.1978 г. в результате проведения 2-х подземных ядерных взрывов. Цель проведения испытания: создание или совершенствование ядерного оружия (СЯО). Мощность 1-го взрыва составила 20-150 кт, 2-го взрыва — до 20 кт в тротиловом эквиваленте. Радиационный эффект испытания — взрыв сопровождался истечением в атмосферу инертных газов (ВНК).

#### Экологические характеристики объекта

На скважине наиболее показательным техногенным радионуклидом является <sup>137</sup>Cs (Рисунок 15). Он имеет локальный характер и распространяется в пределах приустьевой территории испытательной скважины.

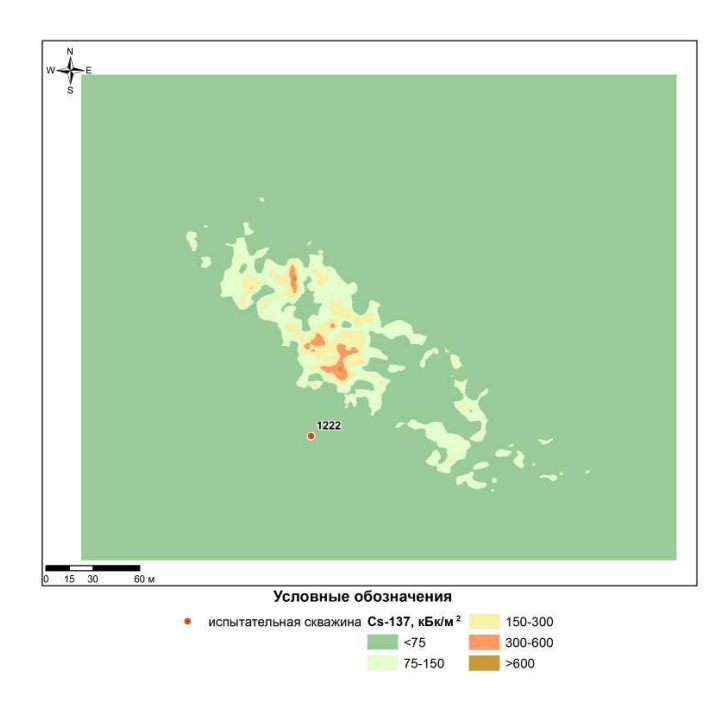


Рисунок 15. Карта площадного распределения <sup>137</sup>Сs на территории скважины №1222

Диапазон площадных активностей основных техногенных радионуклидов, кБк/м<sup>2</sup>:

- $\bullet$  <sup>241</sup>Am: <4,9×10<sup>2</sup>;
- $^{137}$ Cs:  $< 75 1.8 \times 10^3$ :
- $\bullet$  90Sr:  $<1,2\times10^2-6,3\times10^2$ ;
- $^{239+240}$ Pu:  $<4.1\times10^2$ .

Площадь радиоактивного загрязнения, превышающая значения, указанные в Критериях оценки экологической обстановки территорий, составляет порядка  $6.0 \times 10^{-3}$  км<sup>2</sup>. В тоже время объем радиоактивного материала составляет порядка  $6.8 \times 10^2$  м<sup>3</sup>.

#### Место расположения

Территория приустьевой площадки скважины расположена в центральной части площадки «Балапан» на расстоянии 8 км в восточном направлении от ее границы. Географические координаты представлены в таблице (Таблица 13).

Таблица 13. Географические координаты скважины №1267

| No over | Географические координаты |        |    |    |         |    |  |  |  |
|---------|---------------------------|--------|----|----|---------|----|--|--|--|
| № скв   |                           | Широта |    |    | Долгота |    |  |  |  |
| 1267    | 49                        | 57     | 48 | 78 | 51      | 18 |  |  |  |

#### Характеристика источника радиационного загрязнения

Радиационное загрязнение образовано 20.09.1973 г. в результате проведения подземного ядерного взрыва. Цель проведения взрыва: создание или совершенствование ядерного оружия (СЯО); мощность взрыва — до 20 кт в тротиловом эквиваленте. Радиационный эффект испытания — взрыв не сопровождался истечением в атмосферу инертных газов (ВКП).

#### Экологические характеристики объекта

На скважине наиболее показательным техногенным радионуклидом является <sup>239+240</sup>Pu (Рисунок 16). Он имеет локальный характер и распространяется в пределах приустьевой территории испытательной скважины.

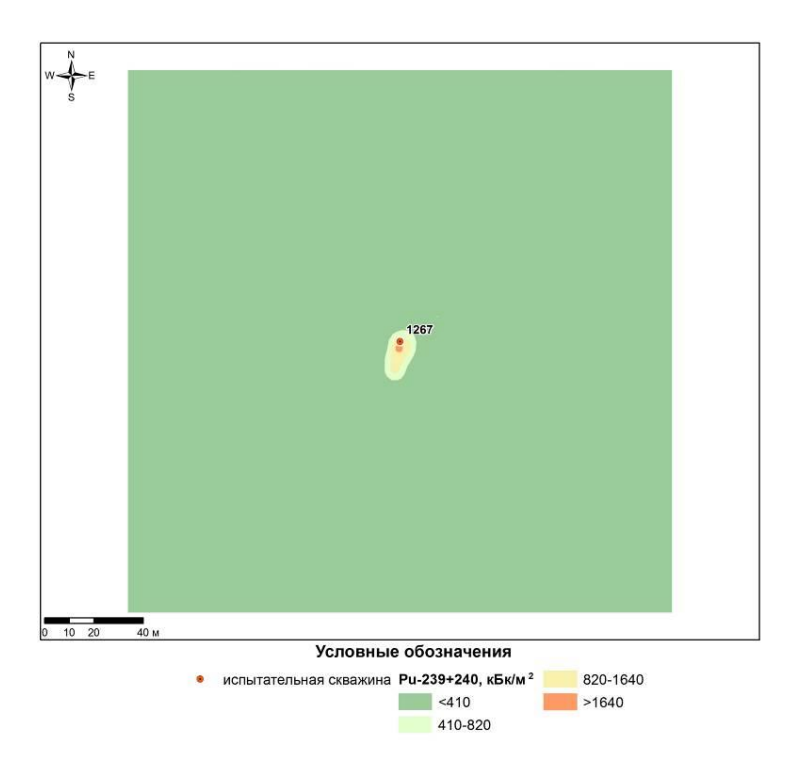


Рисунок 16. Карта площадного распределения <sup>239+240</sup>Ри на территории скважины № 1267

Диапазон площадных активностей основных техногенных радионуклидов, кБк/м<sup>2</sup>:

- $\bullet$  <sup>241</sup>Am: <4,9×10<sup>2</sup>;
- $^{137}$ Cs:  $< 75 7.8 \times 10^2$ ;
- $\bullet$  90Sr:  $<1.2\times10^2-4.6\times10^2$ :
- $^{239+240}$ Pu:  $<4,1\times10^2-2.8\times10^3$ .

Площадь радиоактивного загрязнения, превышающая значения, указанные в Критериях оценки экологической обстановки территорий, составляет порядка  $1.0 \times 10^{-4}~{\rm km}^2$ . В тоже время объем радиоактивного материала составляет порядка  $12~{\rm m}^3$ .

#### Место расположения

Территория приустьевой площадки скважины расположена в северо-восточной части площадки «Балапан» на расстоянии 5 км в южном направлении от ее границы. Географические координаты представлены в таблице (Таблица 14).

Таблица 14. Географические координаты скважины №1301

| No over | Географические координаты |        |    |    |         |    |  |  |  |  |
|---------|---------------------------|--------|----|----|---------|----|--|--|--|--|
| № скв   |                           | Широта |    |    | Долгота |    |  |  |  |  |
| 1301    | 50                        | 01     | 28 | 78 | 55      | 35 |  |  |  |  |

#### Характеристика источника радиационного загрязнения

Радиационное загрязнение образовано 16.04.1974 г. в результате проведения подземного ядерного взрыва. Целью проведения испытания было создание и совершенствование ядерного оружия, мощность взрыва составила до 20 кт в тротиловом эквиваленте. Радиационный эффект испытания — быстрое и динамическое истечение по боевой скважине газообразных и парообразных радиоактивных продуктов с последующим возгоранием смеси (ВНК-НРС).

#### Экологические характеристики объекта

На скважине наиболее показательным техногенным радионуклидом является <sup>137</sup>Cs (Рисунок 17). Он имеет масштабный характер и в большей степени распространяется в южном направлении.

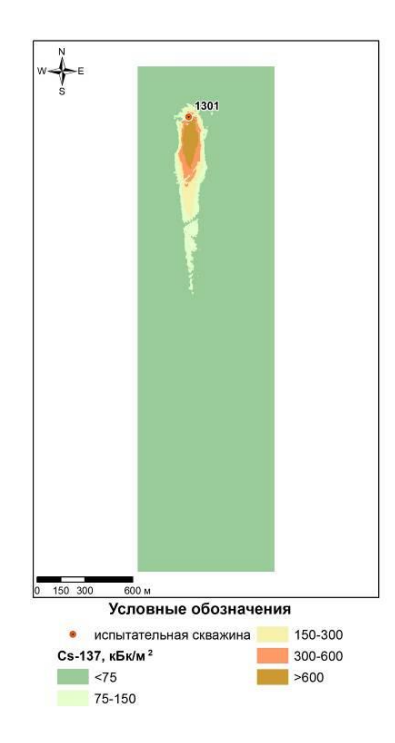


Рисунок 17. Карта площадного распределения <sup>137</sup>Сs на территории скважины № 1301

Диапазон площадных активностей основных техногенных радионуклидов, кБк/м<sup>2</sup>:

- $\bullet$  <sup>241</sup>Am: <4,9×10<sup>2</sup>;
- $^{137}$ Cs:  $< 75 6.2 \times 10^3$ :
- $^{90}$ Sr:  $<1.2\times10^2-3.7\times10^3$ :
- $^{239+240}$ Pu:  $<4,1\times10^2-2,4\times10^3$ .

Площадь радиоактивного загрязнения, превышающая значения, указанные в Критериях оценки экологической обстановки территорий, составляет порядка  $0,127 \text{ км}^2$ . В тоже время объем радиоактивного материала составляет порядка  $1,3 \times 10^4 \text{ м}^3$ .

#### СПИСОК ИСПОЛЬЗОВАННЫХ ИСТОЧНИКОВ

- 1 Логачев В.А. и др. Ядерные испытания СССР. Семипалатинский полигон. Под ред. Логачева В.А.-Москва: ИздАТ, 1997 г.
- 2 Михайлов В.Н. и др. Испытание ядерного оружия и ядерные взрывы в мирных целях СССР. 1949—1990 гг. / Под ред. В.Н. Михайлова. Саров: РФЯЦ-ВНИИЭФ, 1996. 66 с.
- 3 Андрюшин И.А., Илькаев Р.И., Чернышев А.К. Общие характеристики и некоторые вопросы экологических последствий ядерных испытаний СССР. Труды РФЯЦ-ВНИИЭФ Том 1, Научно-исследовательское издание, Саров, 2001-637 с.
- 4 Сайбеков Т.С., Абылаев Ж.А. Атлас. Радиационная обстановка на территории Республики Казахстан с 1954 по 1994 годы. Алматы: Министерство экологии и биоресурсов РК, 1997- Т.16, Семипалатинская область. 400 с.
- 5 Бюллетень центра общественной информации по атомной энергии. -Москва. №12 (стр56). 1998 г.

# Республиканское государственное предприятие на праве хозяйственного ведения «НАЦИОНАЛЬНЫЙ ЯДЕРНЫЙ ЦЕНТР РЕСПУБЛИКИ КАЗАХСТАН» Филиал «Институт радиационной безопасности и экологии»

### РАДИОЛОГИЧЕСКИЙ ПАСПОРТ ИСПЫТАТЕЛЬНОЙ ПЛОЩАДКИ «ОПЫТНОЕ ПОЛЕ»

#### 1. Общая характеристика испытательной площадке

**Название:** «Опытное поле» (Рисунок 1, Рисунок 2).

Предназначение: проведение наземных и воздушных испытаний ядерного оружия.

Административное местоположение: Павлодарская область.

**Географические координаты:** 50°26′18,648′′ с. ш. 77°49′21,980′′ в. д.

Площадь, км<sup>2</sup>: 270. Периметр, км: 61,68.

**Условия проведения испытаний ядерного оружия:** наземные, воздушные, гидроядерные, гидродинамические.

**Период проведения наземных и воздушных испытаний ядерного оружия:** с 1949 по 1962 гг. [1, 2, 3, 4, 5].

Количество воздушных испытаний ядерного оружия: 86.

Количество наземных испытаний ядерного оружия: 30.

**Место проведения испытаний ядерного оружия:** технические площадки  $\Pi$ -1,  $\Pi$ -2,  $\Pi$ -3,  $\Pi$ -5,  $\Pi$ -7.

Период проведения гидроядерных и гидродинамических экспериментов (модельные взрывные эксперименты с ядерными зарядами): с 1958 г. по 1963 г. [6].

Количество гидроядерных экспериментов: 40.

Количество гидродинамических экспериментов: 5.

**Место проведения гидроядерных и гидродинамических экспериментов:** технические площадки  $\Pi$ -7,  $\Pi$ -2 $\Gamma$  [7].

Характеристика источника радиоактивного загрязнения объектов окружающей среды:

- ядерные воздушные и наземные испытания (эпицентральные зоны и следы радиоактивных выпадений);
- гидроядерные и гидродинамические эксперименты (эпицентральные зоны и следы радиоактивных выпадений).

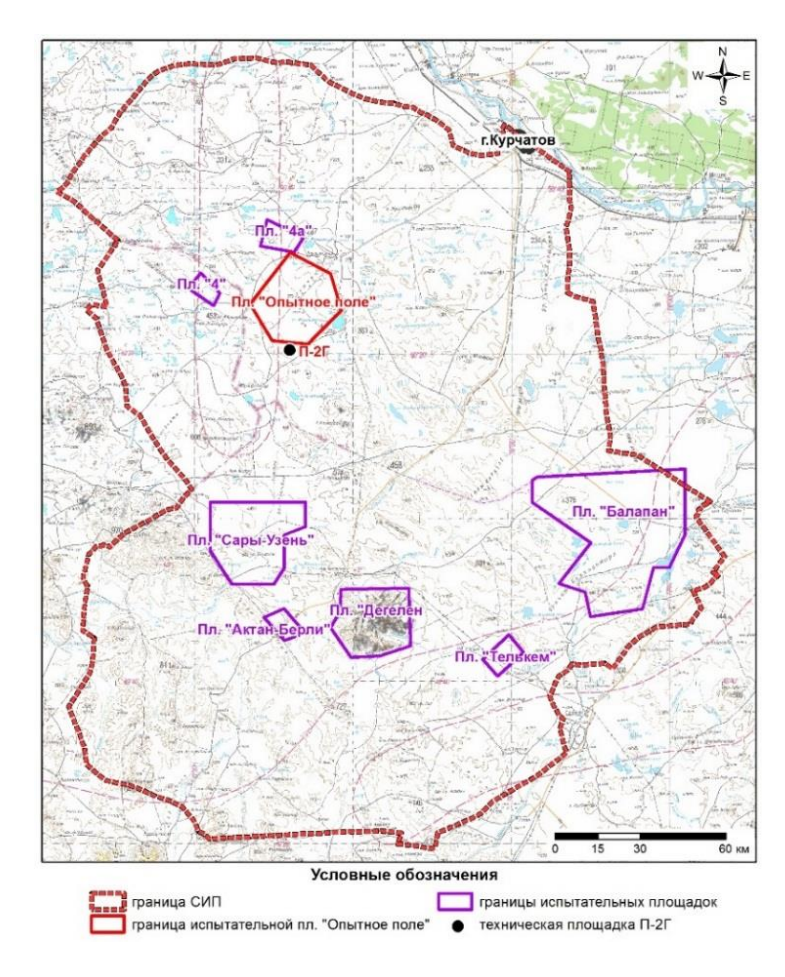


Рисунок 1. Карта-схема расположения испытательных площадок на территории СИП

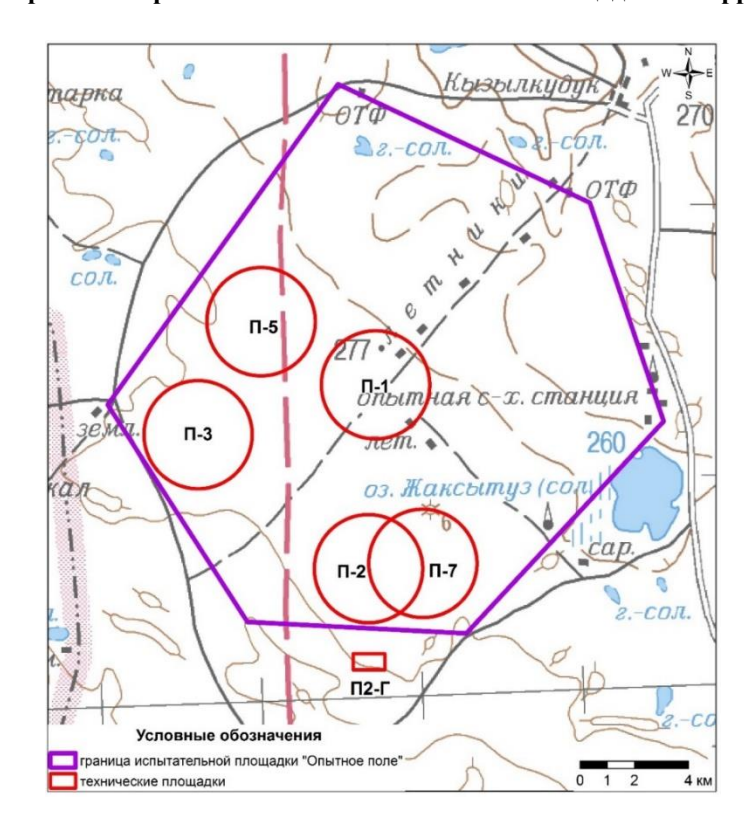


Рисунок 2. Карта-схема расположения технических площадок на территории площадки «Опытное поле»

Техническая площадка  $\Pi$ -2 $\Gamma$  располагается за границей испытательной площадки «Опытное поле», на части территории, прилегающей с юга. Однако, согласно литературным

данным [7] и схожести формата проведения испытаний, П-2Г рассматривается совместно с испытательной площадкой «Опытное поле».

Историческая информация об испытаниях ядерного оружия на территории испытательной площадки «Опытном поле» представлена в приложении (Приложение 1, Таблица 2), [1, 2, 3, 4, 5].

Историческая информация о гидроядерных экспериментах на территории испытательной площадки «Опытном поле» представлена в приложении (Приложение 1, Таблица 3), [6].

#### 2. Текущая радиоэкологическая обстановка окружающей среды

Актуальная информация о радиоэкологической обстановке окружающей среды испытательной площадки «Опытное поле» получена в результате проведения комплексного экологического обследования земель Семипалатинского испытательного полигона в рамках выполнения работ по бюджетной программе 036 «Развитие атомных и энергетических проектов».

Значения площадной активности радионуклидов в почвенном покрове сравнивались со значениями, установленными в приложении 13 Критериев оценки экологической обстановки территорий, утвержденных приказом и.о. Министра экологии, геологии и природных ресурсов Республики Казахстан от 13 августа 2021 года № 327 «Об утверждении Критериев оценки экологической обстановки территорий».

Значения удельной активности радионуклидов в воде сравнивались со значениями уровней вмешательства, установленными в приложении 19 Гигиенических нормативов к обеспечению радиационной безопасности, утвержденных приказом Министра здравоохранения Республики Казахстан от 2 августа 2022 года № ҚР ДСМ-71 «Об утверждении гигиенических нормативов к обеспечению радиационной безопасности».

Значения объемной активности радионуклидов в воздухе сравнивались со значениями допустимой среднегодовой объемной активности, установленными для категории «население» в приложении 4 Гигиенических нормативов к обеспечению радиационной безопасности, утвержденных приказом Министра здравоохранения Республики Казахстан от 2 августа 2022 года № ҚР ДСМ-71 «Об утверждении гигиенических нормативов к обеспечению радиационной безопасности».

Значения удельной активности радионуклидов в объектах животного мира сравнивались со значениями допустимых уровней, установленными в приложении 5 Гигиенических нормативов к обеспечению радиационной безопасности, утвержденных приказом Министра здравоохранения Республики Казахстан от 2 августа 2022 года № ҚР ДСМ-71 «Об утверждении гигиенических нормативов к обеспечению радиационной безопасности».

#### 2.1 Радиоактивное загрязнение почвы

Радиационные параметры на поверхности почвенного покрова на территории испытательной площадки:

- $\bullet$  диапазон значений мощности эквивалентной дозы гамма-излучения на поверхности почвы:  $0.1 4.7 \times 10^2$  мкЗв/ч (предел измерения используемой аппаратуры -10 мкЗв/ч);
- диапазон значений плотности потока бета-частиц:  $<10-2,9\times10^4$  част/(см<sup>2</sup>×мин) (предел измерения используемой аппаратуры -10 част/(см<sup>2</sup>×мин);
  - диапазон значений плотности потока альфа-частиц: нет измерений.

**Основные техногенные радионуклиды:** <sup>241</sup>Am, <sup>137</sup>Cs, <sup>90</sup>Sr, <sup>239+240</sup>Pu.

- диапазон удельных активностей основных техногенных радионуклидов, Бк/кг:
- $^{241}$ Am:  $<1,1-9,4\times10^6$ ;
- $^{137}$ Cs:  $< 0.9 3.4 \times 10^5$ :
- $^{90}$ Sr:  $<1,1-2,8\times10^5$ ;
- $^{239+240}$ Pu:  $<1,1\times10^{-7}-9,3\times10^{6}$ .

**Количество радиационно-опасных объектов:** 57 объектов (эпицентральные зоны, следы радиоактивных выпадений; схема расположения — Рисунок 3).

**Количество радиационно-загрязненных участков:** 25 участков (радиационные характеристики – Таблица 1).

Диапазон значений площадной активности основных техногенных радионуклидов,  $\kappa E \kappa / m^2$ :

- $\bullet$  <sup>241</sup>Am:  $<4,9\times10^2-6,1\times10^5$ ;
- $^{137}$ Cs:  $< 75 2.2 \times 10^4$ ;
- $\bullet$  90Sr: <1,2×10<sup>2</sup> 1,8×10<sup>4</sup>;
- $\bullet$  <sup>239+240</sup>Pu: <4,1×10<sup>2</sup> 6,0×10<sup>5</sup>.

Площадь радиоактивного загрязнения,  $M^2$ :  $4.2 \times 10^7$ .

Средняя глубина залегания радионуклидов, м: 0,2.

Плотность почвы,  $\Gamma/\text{см}^3$ : 1,3.

Объем радиоактивного грунта,  $M^3$ : 6,1×10<sup>6</sup>.

Запас радионуклидов (по максимальным значениям удельных активностей радионуклидов в почве), Бк:  $^{241}$ Am  $-6.8\times10^{14};$   $^{137}$ Cs  $-7.4\times10^{13};$   $^{90}$ Sr  $-4.9\times10^{13};$   $^{239+240}$ Pu  $-7.7\times10^{14}.$ 

Дополнительная информация о радиоактивном загрязнении почвы радиационнозагрязненных участков испытательной площадки «Опытное поле» представлена в приложении (ПРИЛОЖЕНИЕ 2). Таблица 5. Информация о радиоактивном загрязнении в поверхностном слое почвы радиационно-опасных объектов испытательной площадки «Опытное поле»

| Š   |              | т.                      |                      | 90Sr                | •                    |                     | <sup>137</sup> Cs   |                      |                     | <sup>239+240</sup> Pu |                      |                      | <sup>241</sup> Am   |                       |
|-----|--------------|-------------------------|----------------------|---------------------|----------------------|---------------------|---------------------|----------------------|---------------------|-----------------------|----------------------|----------------------|---------------------|-----------------------|
| Л/п | №<br>объекта | Техническая<br>площадка | Аs,<br>кБк/м²        | V, m <sup>3</sup>   | А, Бк                | Аs,<br>кБк/м²       | V, m <sup>3</sup>   | А, Бк                | Аs,<br>кБк/м²       | V, m <sup>3</sup>     | А, Бк                | Аs,<br>кБк/м²        | V, m <sup>3</sup>   | А, Бк                 |
| 1.  | 1            | П-1                     | 1,0×10 <sup>4</sup>  | 1,3×10 <sup>5</sup> | 2,8×10 <sup>13</sup> | 1,1×10 <sup>4</sup> | 2,1×10 <sup>5</sup> | 3,0×10 <sup>13</sup> | 1,6×10 <sup>4</sup> | 4,5×10 <sup>5</sup>   | 1,1×10 <sup>14</sup> | 1,9×10 <sup>3</sup>  | 4,5×10 <sup>5</sup> | 1,7×10 <sup>13</sup>  |
| 2.  | 2            | П-1                     | <1,2×10 <sup>2</sup> | -                   | -                    | 4,6×10 <sup>2</sup> | 5,4×10 <sup>3</sup> | 4,9×10 <sup>10</sup> | 2,0×10 <sup>5</sup> | 5,6×10 <sup>3</sup>   | 2,3×10 <sup>13</sup> | 5,1×10 <sup>3</sup>  | 5,4×10 <sup>3</sup> | 5,6×10 <sup>11</sup>  |
| 3.  | 3            | П-3                     | 4,0×10 <sup>2</sup>  | 1,5×10 <sup>3</sup> | 1,2×10 <sup>10</sup> | 5,7×10 <sup>2</sup> | 6,6×10 <sup>3</sup> | 75°                  | 8,5×10 <sup>4</sup> | 4,1×10 <sup>4</sup>   | 7,0×10 <sup>13</sup> | 6,6×10 <sup>3</sup>  | 3,7×10 <sup>4</sup> | 4,8×10 <sup>12</sup>  |
| 4.  | 4            | П-3                     | <1,2×10 <sup>2</sup> | -                   | -                    | 1,1×10 <sup>2</sup> | 8,5×10 <sup>1</sup> | 1,9×10 <sup>8</sup>  | 4,3×10 <sup>4</sup> | 5,9×10 <sup>3</sup>   | 5,1×10 <sup>12</sup> | 5,1×10 <sup>2</sup>  | 5,8×10 <sup>3</sup> | 5,3×10 <sup>10</sup>  |
| 5.  | 5            | П-3                     | 1,5×10 <sup>2</sup>  | 1,1×10 <sup>3</sup> | 2,2×10 <sup>9</sup>  | 2,5×10 <sup>2</sup> | 1,4×10 <sup>3</sup> | 7,3×10 <sup>9</sup>  | 2,3×10 <sup>5</sup> | 1,3×10 <sup>4</sup>   | 5,9×10 <sup>13</sup> | 2,2×10 <sup>4</sup>  | 1,3×10 <sup>4</sup> | 5,7×10 <sup>12</sup>  |
| 6.  | 6            | П-3                     | <1,2×10 <sup>2</sup> | -                   | -                    | <75                 | -                   | -                    | $9,1\times10^{3}$   | 1,3×10 <sup>4</sup>   | 2,4×10 <sup>12</sup> | <4,9×10 <sup>2</sup> | 1,3×10 <sup>4</sup> | 9,4×10 <sup>10</sup>  |
| 7.  | 7            | П-5                     | $3,1\times10^3$      | 1,2×10 <sup>4</sup> | 5,5×10 <sup>11</sup> | 4,0×10 <sup>3</sup> | 1,7×10 <sup>4</sup> | 1,3×10 <sup>12</sup> | 1,4×10 <sup>4</sup> | 4,1×10 <sup>4</sup>   | 1,1×10 <sup>13</sup> | 7,5×10 <sup>2</sup>  | 4,0×10 <sup>4</sup> | 6,1×10 <sup>11</sup>  |
| 8.  | 8            | П-5                     | 1,8×10 <sup>4</sup>  | 2,1×10 <sup>4</sup> | 7,6×10 <sup>12</sup> | 2,2×10 <sup>4</sup> | 4,5×10 <sup>4</sup> | 2,0×10 <sup>13</sup> | 5,5×10 <sup>4</sup> | 1,7×10 <sup>4</sup>   | 1,8×10 <sup>13</sup> | 7,2×10 <sup>3</sup>  | 3,3×10 <sup>4</sup> | 4,7×10 <sup>12</sup>  |
| 9.  | 9            | П-5                     | 6,2×10 <sup>2</sup>  | 2,1×10 <sup>4</sup> | 2,5×10 <sup>11</sup> | 6,9×10 <sup>2</sup> | 8,2×10 <sup>4</sup> | 9,6×10 <sup>11</sup> | 5,2×10 <sup>3</sup> | 1,5×10 <sup>5</sup>   | 8,0×10 <sup>12</sup> | 1,2×10 <sup>3</sup>  | 1,5×10 <sup>5</sup> | 3,6×10 <sup>12</sup>  |
| 10. | 10           | П-5                     | 6,0×10 <sup>3</sup>  | 2,4×10 <sup>4</sup> | 1,0×10 <sup>12</sup> | 6,7×10 <sup>3</sup> | 3,8×10 <sup>4</sup> | 2,7×10 <sup>12</sup> | 4,1×10 <sup>4</sup> | 7,6×10 <sup>4</sup>   | 6,2×10 <sup>13</sup> | 2,6×10 <sup>3</sup>  | 7,5×10 <sup>4</sup> | 3,8×10 <sup>12</sup>  |
| 11. | 11           | П-5                     | 1,9×10 <sup>2</sup>  | 1,7×10 <sup>2</sup> | 5,9×10 <sup>8</sup>  | 7,8×10 <sup>2</sup> | 1,4×10 <sup>3</sup> | 2,1×10 <sup>10</sup> | $3,8\times10^{3}$   | 6,6×10 <sup>4</sup>   | 2,2×10 <sup>12</sup> | <4,9×10 <sup>2</sup> | 6,4×10 <sup>4</sup> | 3,6×10 <sup>11</sup>  |
| 12. | 12           | П-5                     | <1,2×10 <sup>2</sup> | -                   | -                    | <75                 | -                   | -                    | 2,4×10 <sup>4</sup> | 1,5×10 <sup>4</sup>   | 7,4×10 <sup>12</sup> | $3,8\times10^{3}$    | 1,4×10 <sup>4</sup> | 1,1×10 <sup>12</sup>  |
| 13. | 13           | П-5                     | $8,8\times10^{2}$    | 4,0×10 <sup>4</sup> | 1,9×10 <sup>11</sup> | 9,8×10 <sup>2</sup> | 1,5×10 <sup>5</sup> | 5,3×10 <sup>11</sup> | 5,6×10 <sup>3</sup> | 3,9×10 <sup>5</sup>   | 1,5×10 <sup>13</sup> | 5,6×10 <sup>2</sup>  | 3,8×10 <sup>5</sup> | 1,5×10 <sup>12</sup>  |
| 14. | 14           | П-5                     | $2,9 \times 10^{2}$  | 5,6×10 <sup>2</sup> | 2,2×10 <sup>9</sup>  | $3,3\times10^{2}$   | 2,9×10 <sup>3</sup> | 1,3×10 <sup>10</sup> | $2,4\times10^{3}$   | 5,5×10 <sup>3</sup>   | 2,7×10 <sup>10</sup> | <4,9×10 <sup>2</sup> | 5,5×10 <sup>3</sup> | 2,3×10 <sup>10</sup>  |
| 15. | 15           | П-5                     | 2,3×10 <sup>2</sup>  | 1,3×10 <sup>2</sup> | 4,9×10 <sup>8</sup>  | 2,6×10 <sup>2</sup> | 6,9×10 <sup>3</sup> | 1,9×10 <sup>10</sup> | 1,5×10 <sup>3</sup> | 5,7×10 <sup>4</sup>   | 3,0×10 <sup>11</sup> | <4,9×10 <sup>2</sup> | 5,6×10 <sup>4</sup> | 8,9×10 <sup>10</sup>  |
| 16. | 16           | П-2                     | $8,5 \times 10^2$    | $3,7 \times 10^3$   | 6,3×10 <sup>10</sup> | 7,7×10 <sup>2</sup> | 5,0×10 <sup>3</sup> | 5,0×10 <sup>10</sup> | 3,5×10 <sup>4</sup> | 5,4×10 <sup>3</sup>   | 3,8×10 <sup>12</sup> | 1,3×10 <sup>3</sup>  | 5,4×10 <sup>3</sup> | 1,4×10 <sup>11</sup>  |
| 17. | 17           | П-2                     | <1,2×10 <sup>2</sup> | -                   | 1                    | <75                 | -                   | 1                    | 6,0×10 <sup>5</sup> | 3,6×10 <sup>3</sup>   | 4,4×10 <sup>13</sup> | 1,1×10 <sup>5</sup>  | 3,8×10 <sup>3</sup> | 8,5×10 <sup>12</sup>  |
| 18. | 18           | П-2                     | $1,7 \times 10^3$    | 2,9×10 <sup>3</sup> | 9,3×10 <sup>9</sup>  | 1,9×10 <sup>3</sup> | 2,9×10 <sup>3</sup> | 9,1×10 <sup>9</sup>  | 5,2×10 <sup>5</sup> | 5,9×10 <sup>3</sup>   | 1,3×10 <sup>13</sup> | 5,2×10 <sup>4</sup>  | 5,9×10 <sup>3</sup> | 1,6×10 <sup>12</sup>  |
| 19. | 19           | П-2                     | 1,2×10 <sup>4</sup>  | 3,4×10 <sup>4</sup> | 8,0×10 <sup>12</sup> | 1,4×10 <sup>4</sup> | 4,1×10 <sup>4</sup> | 1,1×10 <sup>13</sup> | 7,2×10 <sup>4</sup> | 5,2×10 <sup>4</sup>   | 7,4×10 <sup>13</sup> | $2,1\times10^{3}$    | 5,2×10 <sup>4</sup> | 12,2×10 <sup>12</sup> |
| 20. | 20           | П2-П7                   | $7,8\times10^{2}$    | $2,6\times10^3$     | 4,1×10 <sup>10</sup> | $9,1\times10^{2}$   | 3,9×10 <sup>3</sup> | 7,0×10 <sup>10</sup> | 1,0×10 <sup>4</sup> | $7,6 \times 10^3$     | 1,6×10 <sup>12</sup> | $6,2\times10^2$      | 7,6×10 <sup>3</sup> | 9,3×10 <sup>10</sup>  |
| 21. | 21           | П2-П7                   | 1,0×10 <sup>3</sup>  | 4,2×10 <sup>2</sup> | 3,6×10 <sup>9</sup>  | 1,3×10 <sup>3</sup> | 1,1×10 <sup>3</sup> | 3,0×10 <sup>10</sup> | 9,8×10 <sup>3</sup> | 3,2×10 <sup>3</sup>   | 6,2×10 <sup>11</sup> | 2,8×10 <sup>3</sup>  | 3,2×10 <sup>3</sup> | 1,8×10 <sup>11</sup>  |
| 22. | 22           | П2-П7                   | $<1,2\times10^{2}$   | -                   | -                    | 81                  | 9,2                 | $9,1\times10^{6}$    | 2,1×10 <sup>4</sup> | 2,2×10 <sup>3</sup>   | 9,9×10 <sup>10</sup> | $2,1\times10^{3}$    | 2,2×10 <sup>3</sup> | 8,4×10 <sup>10</sup>  |

| 0     | та           |                         |                      | 90Sr                |                      |                        | <sup>137</sup> Cs   |                      |                     | <sup>239+240</sup> Pu |                      |                      | <sup>241</sup> Am   |                      |
|-------|--------------|-------------------------|----------------------|---------------------|----------------------|------------------------|---------------------|----------------------|---------------------|-----------------------|----------------------|----------------------|---------------------|----------------------|
| п/п № | №<br>объекта | Техническая<br>площадка | Аs,<br>кБк/м²        | V, m <sup>3</sup>   | А, Бк                | As,<br>κ <b>Γ</b> κ/м² | V, m <sup>3</sup>   | А, Бк                | Аs,<br>кБк/м²       | V, m <sup>3</sup>     | А, Бк                | Аs,<br>кБк/м²        | V, m <sup>3</sup>   | А, Бк                |
| 23.   | 23           | П2-П7                   | 1,6×10 <sup>2</sup>  | 11                  | 3,3×10 <sup>7</sup>  | 2,9×10 <sup>2</sup>    | 3,7×10 <sup>2</sup> | 2,1×10 <sup>9</sup>  | 3,1×10 <sup>4</sup> | 1,4×10 <sup>3</sup>   | 1,8×10 <sup>11</sup> | 9,3×10 <sup>3</sup>  | 1,4×10 <sup>3</sup> | 2,7×10 <sup>11</sup> |
| 24.   | 24           | П-7                     | $9,1\times10^{2}$    | 2,3×10 <sup>3</sup> | 4,1×10 <sup>10</sup> | 1,3×10 <sup>3</sup>    | $3,1\times10^{3}$   | 8,1×10 <sup>10</sup> | 6,0×10 <sup>4</sup> | 9,1×10 <sup>3</sup>   | 1,1×10 <sup>13</sup> | 7,5×10 <sup>3</sup>  | 9,1×10 <sup>3</sup> | 1,4×10 <sup>12</sup> |
| 25.   | 25           | П2-П7                   | 5,2×10 <sup>2</sup>  | 2,5×10 <sup>3</sup> | 1,8×10 <sup>10</sup> | 3,1×10 <sup>3</sup>    | 3,0×10 <sup>3</sup> | 1,8×10 <sup>11</sup> | 8,8×10 <sup>4</sup> | 1,2×10 <sup>4</sup>   | 2,2×10 <sup>13</sup> | 3,4×10 <sup>4</sup>  | 1,2×10 <sup>4</sup> | 8,4×10 <sup>12</sup> |
| 26.   | 26           | П2-П7                   | <1,2×10 <sup>2</sup> | 4,2×10 <sup>2</sup> | 5,5×10 <sup>7</sup>  | <75                    | -                   | -                    | 2,0×10 <sup>3</sup> | 4,5×10 <sup>2</sup>   | 9,7×10 <sup>9</sup>  | <4,9×10 <sup>2</sup> | 4,5×10 <sup>2</sup> | 1,8×10 <sup>9</sup>  |
| 27.   | 27           | П-2                     | 1,2×10 <sup>3</sup>  | 2,1×10 <sup>3</sup> | 4,1×10 <sup>9</sup>  | 1,4×10 <sup>3</sup>    | 4,1×10 <sup>3</sup> | 8,7×10 <sup>9</sup>  | 1,7×10 <sup>4</sup> | 4,5×10 <sup>4</sup>   | 1,5×10 <sup>13</sup> | 1,4×10 <sup>3</sup>  | 4,4×10 <sup>4</sup> | 8,6×10 <sup>11</sup> |
| 28.   | 28           | П2-П7                   | <1,2×10 <sup>2</sup> | -                   | -                    | <75                    | -                   | -                    | 3,4×10 <sup>4</sup> | 7,0×10 <sup>4</sup>   | 4,7×10 <sup>13</sup> | $7,4\times10^{3}$    | 7,0×10 <sup>4</sup> | 1,0×10 <sup>13</sup> |
| 29.   | 29           | П-2                     | 8,5×10 <sup>2</sup>  | 6,2×10 <sup>3</sup> | 1,4×10 <sup>10</sup> | 9,5×10 <sup>2</sup>    | 1,5×10 <sup>4</sup> | 2,7×10 <sup>10</sup> | 3,3×10 <sup>3</sup> | 1,8×10 <sup>4</sup>   | 1,3×10 <sup>11</sup> | <4,9×10 <sup>2</sup> | 1,8×10 <sup>4</sup> | 9,0×10 <sup>10</sup> |
| 30.   | 30           | П2-П7                   | <1,2×10 <sup>2</sup> | -                   | -                    | 1,3×10 <sup>2</sup>    | 4,6×10 <sup>2</sup> | 9,3×10 <sup>8</sup>  | $3,1\times10^{3}$   | 9,8×10 <sup>3</sup>   | 4,5×10 <sup>10</sup> | 5,3×10 <sup>2</sup>  | 9,6×10 <sup>3</sup> | 1,0×10 <sup>11</sup> |
| 31.   | 31           | П2-П7                   | 1,9×10 <sup>2</sup>  | 2,8                 | 4,0×10 <sup>6</sup>  | $2,1\times10^{2}$      | 1,3×10 <sup>3</sup> | 5,1×10 <sup>9</sup>  | 4,8×10 <sup>3</sup> | 3,2×10 <sup>4</sup>   | 3,0×10 <sup>12</sup> | 5,6×10 <sup>5</sup>  | 3,1×10 <sup>4</sup> | 3,4×10 <sup>14</sup> |
| 32.   | 32           | П2-П7                   | 1,7×10 <sup>2</sup>  | 5,2                 | 1,2×10 <sup>7</sup>  | 1,2×10 <sup>3</sup>    | 2,0×10 <sup>2</sup> | 4,6×10 <sup>9</sup>  | 2,0×10 <sup>4</sup> | 2,1×10 <sup>4</sup>   | 1,0×10 <sup>12</sup> | 6,4×10 <sup>3</sup>  | 2,1×10 <sup>4</sup> | 2,7×10 <sup>12</sup> |
| 33.   | 33           | П2-П7                   | <1,2×10 <sup>2</sup> | -                   | -                    | 76                     | 2,1×10 <sup>1</sup> | 2,5×10 <sup>7</sup>  | 1,7×10 <sup>4</sup> | 2,2×10 <sup>4</sup>   | 9,1×10 <sup>11</sup> | $3,8\times10^{3}$    | 2,2×10 <sup>4</sup> | 1,7×10 <sup>12</sup> |
| 34.   | 34           | П2-П7                   | $1,7 \times 10^3$    | 2,1×10 <sup>4</sup> | 7,1×10 <sup>11</sup> | $1,1\times10^{3}$      | 2,1×10 <sup>4</sup> | 4,7×10 <sup>11</sup> | 6,0×10 <sup>5</sup> | 2,1×10 <sup>4</sup>   | 2,4×10 <sup>13</sup> | 4,6×10 <sup>5</sup>  | 2,1×10 <sup>4</sup> | 1,9×10 <sup>14</sup> |
| 35.   | 35           | Π-7                     | <1,2×10 <sup>2</sup> | -                   | -                    | <75                    | -                   | -                    | 1,1×10 <sup>4</sup> | 8,0×10 <sup>4</sup>   | 1,8×10 <sup>13</sup> | 2,4×10 <sup>3</sup>  | 7,9×10 <sup>4</sup> | 3,7×10 <sup>12</sup> |
| 36.   | 36           | Π-7                     | <1,2×10 <sup>2</sup> | -                   | -                    | 82                     | 7,4                 | 6,0×10 <sup>6</sup>  | 7,2×10 <sup>3</sup> | 1,2×10 <sup>5</sup>   | 1,4×10 <sup>13</sup> | 7,2×10 <sup>2</sup>  | 1,2×10 <sup>5</sup> | 1,3×10 <sup>12</sup> |
| 37.   | 37           | Π-7                     | <1,2×10 <sup>2</sup> | -                   | -                    | <75                    | -                   | -                    | 1,8×10 <sup>4</sup> | 5,7×10 <sup>4</sup>   | 3,0×10 <sup>12</sup> | 1,8×10 <sup>3</sup>  | 5,3×10 <sup>4</sup> | 7,6×10 <sup>11</sup> |
| 38.   | 38           | Π-7                     | <1,2×10 <sup>2</sup> | -                   | -                    | <75                    | -                   | -                    | 8,3×10 <sup>3</sup> | 8,9×10 <sup>4</sup>   | 3,0×10 <sup>12</sup> | 8,3×10 <sup>2</sup>  | 8,7×10 <sup>4</sup> | 9,0×10 <sup>11</sup> |
| 39.   | 39           | П-2Г                    | <1,2×10 <sup>2</sup> | -                   | -                    | <75                    | -                   | -                    | 3,0×10 <sup>4</sup> | 8,0×10 <sup>4</sup>   | 4,8×10 <sup>13</sup> | 1,6×10 <sup>3</sup>  | 7,8×10 <sup>4</sup> | 2,4×10 <sup>12</sup> |
| 40.   | 40           | П-2Г                    | <1,2×10 <sup>2</sup> | -                   | -                    | <75                    | -                   | -                    | 3,2×10 <sup>3</sup> | $3,9 \times 10^3$     | 1,2×10 <sup>11</sup> | 6,1×10 <sup>5</sup>  | 3,8×10 <sup>3</sup> | 4,7×10 <sup>13</sup> |
| 41.   | 41           | П-2Г                    | <1,2×10 <sup>2</sup> | -                   | -                    | <75                    | -                   | -                    | 8,6×10 <sup>3</sup> | 3,9×10 <sup>4</sup>   | 3,1×10 <sup>12</sup> | 1,2×10 <sup>3</sup>  | 3,8×10 <sup>4</sup> | 9,4×10 <sup>11</sup> |
| 42.   | 42           | П-2Г                    | <1,2×10 <sup>2</sup> | -                   | -                    | <75                    | -                   | -                    | 2,0×10 <sup>3</sup> | 3,1×10 <sup>3</sup>   | 1,2×10 <sup>11</sup> | <4,9×10 <sup>2</sup> | 3,0×10 <sup>3</sup> | 1,0×10 <sup>10</sup> |
| 43.   | 43           | П-2Г                    | <1,2×10 <sup>2</sup> | -                   | -                    | <75                    | -                   | -                    | 3,7×10 <sup>3</sup> | 6,4×10 <sup>3</sup>   | 4,8×10 <sup>11</sup> | <4,9×10 <sup>2</sup> | 6,3×10 <sup>3</sup> | 4,9×10 <sup>10</sup> |
| 44.   | 44           | П-2Г                    | $<1,2\times10^{2}$   | -                   | -                    | <75                    | -                   | -                    | 2,5×10 <sup>3</sup> | $9,5 \times 10^{3}$   | 2,0×10 <sup>11</sup> | <4,9×10 <sup>2</sup> | 9,2×10 <sup>3</sup> | 5,2×10 <sup>10</sup> |

| 9     | Та           | _                       |                      | 90Sr                |                      |                     | <sup>137</sup> Cs   |                      |                     | <sup>239+240</sup> Pu |                      |                      | <sup>241</sup> Am   |                      |
|-------|--------------|-------------------------|----------------------|---------------------|----------------------|---------------------|---------------------|----------------------|---------------------|-----------------------|----------------------|----------------------|---------------------|----------------------|
| п/п № | №<br>объекта | Техническая<br>площадка | Аs,<br>кБк/м²        | V, m <sup>3</sup>   | А, Бк                | Аs,<br>кБк/м²       | V, m <sup>3</sup>   | А, Бк                | Аs,<br>кБк/м²       | V, m <sup>3</sup>     | А, Бк                | Аs,<br>кБк/м²        | V, m <sup>3</sup>   | А, Бк                |
| 45.   | 45           | П-2Г                    | <1,2×10 <sup>2</sup> | -                   | -                    | <75                 | -                   | -                    | 3,4×10 <sup>3</sup> | 7,3×10 <sup>3</sup>   | 3,1×10 <sup>11</sup> | <4,9×10 <sup>2</sup> | 7,0×10 <sup>3</sup> | 3,4×10 <sup>10</sup> |
| 46.   | 46           | П-2Г                    | <1,2×10 <sup>2</sup> | -                   | -                    | <75                 | -                   | -                    | 7,8×10 <sup>3</sup> | 6,0×10 <sup>3</sup>   | 9,3×10 <sup>11</sup> | 8,1×10 <sup>2</sup>  | 5,8×10 <sup>3</sup> | 9,4×10 <sup>10</sup> |
| 47.   | 47           | П-2Г                    | <1,2×10 <sup>2</sup> | -                   | -                    | <75                 | -                   | -                    | 2,6×10 <sup>3</sup> | 1,4×10 <sup>3</sup>   | 7,1×10 <sup>10</sup> | 7,8×10 <sup>2</sup>  | 1,3×10 <sup>3</sup> | 2,0×10 <sup>10</sup> |
| 48.   | 48           | П-2Г                    | <1,2×10 <sup>2</sup> | -                   | -                    | <75                 | -                   | -                    | 1,8×10 <sup>4</sup> | 7,3×10 <sup>3</sup>   | 2,7×10 <sup>12</sup> | 1,4×10 <sup>3</sup>  | $7,0\times10^3$     | 2,0×10 <sup>11</sup> |
| 49.   | 49           | П-2Г                    | <1,2×10 <sup>2</sup> | -                   | -                    | <75                 | -                   | -                    | 3,2×10 <sup>4</sup> | 1,9×10 <sup>3</sup>   | 1,2×10 <sup>12</sup> | 8,8×10 <sup>2</sup>  | 1,8×10 <sup>3</sup> | 2,1×10 <sup>10</sup> |
| 50.   | 50           | П-2Г                    | <1,2×10 <sup>2</sup> | -                   | -                    | <75                 | -                   | -                    | 5,9×10 <sup>3</sup> | 2,8×10 <sup>3</sup>   | 3,3×10 <sup>11</sup> | <4,9×10 <sup>2</sup> | $2,7 \times 10^3$   | 2,6×10 <sup>10</sup> |
| 51.   | 51           | П-2Г                    | <1,2×10 <sup>2</sup> | -                   | -                    | <75                 | -                   | -                    | 4,4×10 <sup>4</sup> | 3,7×10 <sup>3</sup>   | 3,3×10 <sup>12</sup> | $3,1\times10^{3}$    | $3,7 \times 10^3$   | 2,3×10 <sup>11</sup> |
| 52.   | 52           | П-2Г                    | <1,2×10 <sup>2</sup> | -                   | -                    | <75                 | -                   | -                    | $7,0\times10^3$     | $2,1\times10^{3}$     | 2,9×10 <sup>11</sup> | 6,5×10 <sup>2</sup>  | 1,9×10 <sup>3</sup> | 2,5×10 <sup>10</sup> |
| 53.   | 53           | П-2Г                    | <1,2×10 <sup>2</sup> | -                   | -                    | <75                 | -                   | -                    | 8,6×10 <sup>2</sup> | 1,6×10 <sup>2</sup>   | 2,7×10 <sup>9</sup>  | <4,9×10 <sup>2</sup> | 1,5×10 <sup>2</sup> | 2,4×10 <sup>8</sup>  |
| 54.   | 54           | вне<br>площадок         | 8,0×10 <sup>3</sup>  | 1,6×10 <sup>4</sup> | 2,4×10 <sup>12</sup> | 1,4×10 <sup>3</sup> | 2,2×10 <sup>4</sup> | 6,3×10 <sup>12</sup> | 1,2×10 <sup>4</sup> | 2,5×10 <sup>4</sup>   | 6,0×10 <sup>12</sup> | 2,0×10 <sup>3</sup>  | 2,4×10 <sup>4</sup> | 9,7×10 <sup>11</sup> |
| 55.   | 55           | вне<br>площадок         | $4,0\times10^{2}$    | $8,3\times10^{3}$   | 6,7×10 <sup>10</sup> | $2,8\times10^{2}$   | 3,9×10 <sup>4</sup> | 2,2×10 <sup>11</sup> | 1,6×10 <sup>3</sup> | 4,4×10 <sup>4</sup>   | 1,2×10 <sup>11</sup> | <4,9×10 <sup>2</sup> | 4,0×10 <sup>4</sup> | 2,3×10 <sup>11</sup> |
| 56.   | 56           | вне<br>площадок         | <1,2×10 <sup>2</sup> | -                   | -                    | <75                 | -                   | -                    | 1,3×10 <sup>3</sup> | 9,0×10³               | 7,5×10 <sup>8</sup>  | 3,8×10 <sup>3</sup>  | 8,7×10 <sup>3</sup> | 6,6×10 <sup>11</sup> |
| 57.   | 57           | вне<br>площадок         | 1,7×10 <sup>2</sup>  | -                   | -                    | 1,9×10 <sup>2</sup> | 1,8×10 <sup>3</sup> | 4,2×10 <sup>8</sup>  | 2,0×10 <sup>4</sup> | 2,6×10 <sup>5</sup>   | 1,6×10 <sup>13</sup> | 2,0×10 <sup>3</sup>  | 2,6×10 <sup>5</sup> | 3,1×10 <sup>12</sup> |

#### 2.2 Радиоактивное загрязнение поверхностных вод площадки

Диапазон удельных активностей основных техногенных радионуклидов, Бк/м<sup>3</sup>:

- $\bullet$  <sup>241</sup>Am: <3,0×10<sup>-2</sup> 0,9;
- $^{137}$ Cs: <1,0×10<sup>-2</sup> 22,2;
- $^{90}$ Sr:  $<1,0\times10^{-2}-4,0\times10^{2};$
- $\bullet$  <sup>239+240</sup>Pu: <1,0×10<sup>-4</sup> 5,5;
- ${}^{3}\text{H}$ : <6,0 5,0×10<sup>2</sup>.

#### 2.3 Радиоактивное загрязнение подземных вод площадки

Диапазон удельных активностей основных техногенных радионуклидов, Бк/м<sup>3</sup>:

- $^{241}$ Am:  $<3.0\times10^{-2}$ ;
- $^{137}$ Cs: <2,0×10<sup>-2</sup>;
- $\bullet$  90Sr: <7.0×10<sup>-2</sup> 2.0;
- $^{239+240}$ Pu:  $<1,8\times10^{-4}-2,3\times10^{-2}$ ;
- ${}^{3}\text{H}$ : <6.0 1.6×10 ${}^{2}$ .

#### 2.4 Радиоактивное загрязнение атмосферного воздуха

Диапазон удельных активностей основных техногенных радионуклидов, Бк/кг:

- $^{241}$ Am:  $<1,5\times10^{-7}-1,3\times10^{4}$ ;
- $^{137}$ Cs:  $<1.5\times10^{-7}-68$ ;
- $^{90}$ Sr:  $<2,0\times10^{-7}-21$ ;
- $\bullet$  <sup>239+240</sup>Pu: <1.1×10<sup>-6</sup> 4.5×10<sup>4</sup>.

#### 2.5 Радиоактивное загрязнение растительного покрова

Диапазон удельных активностей основных техногенных радионуклидов, Бк/кг:

- $\bullet$  <sup>241</sup>Am: <2,0×10<sup>-2</sup> 3,8×10<sup>3</sup>;
- $^{137}$ Cs:  $<5.0\times10^{-2}-1.1\times10^{3}$ :
- $\bullet$  90Sr:  $<5,1-2,7\times10^4$ ;
- $^{239+240}$ Pu:  $<2.0\times10^{-2}-7.4\times10^{3}$ .

#### 2.6 Радиоактивное загрязнение объектов животного мира

Диапазон удельных активностей основных техногенных радионуклидов, Бк/кг:

- $\bullet$  <sup>241</sup>Am:  $<4.0\times10^{-2}-4.8\times10^{2}$ :
- $^{137}$ Cs:  $<0,1-3,9\times10^4$ ;
- $\bullet$  90Sr:  $<0.2 8.6 \times 10^4$ ;
- $\bullet$  <sup>239+240</sup>Pu: <2,0×10<sup>-2</sup> 24.

#### Хронология испытаний ядерного оружия и гидроядерных экспериментов на территории испытательной площадки «Опытном поле»

Таблица 2. Хронология наземных и воздушных испытаний ядерного оружия на территории испытательной площадки «Опытном поле»

| №<br>п/п | Дата<br>испытания            | Цель<br>испытания | Мощность испытания, кт тротилового эквивалента | Условия<br>проведения | Высота<br>взрыва, м                               | №<br>п/п | Дата испытания                  | Цель<br>испытания | Мощность испытания, кт тротилового эквивалента | Условия<br>проведения | Высота<br>взрыва,<br>м |
|----------|------------------------------|-------------------|--|-----------------------|---|----------|---------------------------------|-------------------|--|-----------------------|------------------------|
| 1.       | 29.08.1949 г.                | СЯО               | 22   | наземный              | башня 30  | 59.      | 17.09.1961 г.                   | СЯО               | 20-150   | воздушный             |                        |
| 2.       | 24.09.1951 г.                | СЯО               | 38   | наземный              | башня 30  | 60.      | 18.09.1961 г.                   | ИАР               | 0,004  | наземный              | 1                      |
| 3.       | 18.10.1951 г.                | СЯО               | 42   | воздушный             |   | 61.      | 18.09.1961 г.                   | СЯО               | 0,75   | воздушный             |                        |
| 4.       | 12.08.1953 г.                | СЯО               | 400  | наземный              | башня 30  | 62.      | 19.09.1961 г.                   | ИАР               | 0,03   | наземный              | 0                      |
| 5.       | 23.08.1953 г.                | СЯО               | 28   | воздушный             | 600   | 63.      | 20.09.1961 г.                   | СЯО               | 4,8  | воздушный             |                        |
| 6.       | 03.09.1953 г.                | СЯО               | 5,8  | воздушный             |   | 64.      | 21.09.1961 г.                   | СЯО               | 0,8  | воздушный             | 110                    |
| 7.       | 08.09.1953 г.                | СЯО               | 1,6  | воздушный             |   | 65.      | 26.09.1961 г.                   | СЯО               | 1,2  | воздушный             |                        |
| 8.       | 10.09.1953 г.                | СЯО               | 4,9  | воздушный             | 220   | 66.      | 01.10.1961 г.                   | СЯО               | 3  | воздушный             |                        |
| 9.       | 29.09.1954 г.                | СЯО               | 0,2  | воздушный             |   | 67.      | 04.10.1961 г.                   | СЯО               | 13   | воздушный             |                        |
| 10.      | 01.10.1954 г.                | СЯО               | 0,03   | воздушный             |   | 68.      | 12.10.1961 г.                   | СЯО               | 15   | воздушный             | 570                    |
| 11.      | 05.10.1954 г.                | СЯО               | 4  | наземный              | 0   | 69.      | 17.10.1961 г.                   | СЯО               | 6,6  | воздушный             |                        |
| 12.      | 03.10.1954 г.                | СЯО               | 2  | воздушный             |   | 70.      | 19.10.1961 г.                   | СЯО               | 0,001-20                                       | воздушный             | 710                    |
| 13.      | 08.10.1954 г.                | СЯО               | 0,8  | воздушный             |   | 71.      | 25.10.1961 г.                   | ФМИ               | 0,5  | воздушный             |                        |
| 14.      | 23.10.1954 г.                | СЯО               | 62   | воздушный             | 410   | 72.      | 30.10.1961 г.                   | СЯО               | 0,09   | воздушный             | 470                    |
| 15.      | 26.10.1954 г.                | СЯО               | 2,8  | воздушный             |   | 73.      | 01.11.1961 г.                   | СЯО               | 2,7  | воздушный             |                        |
| 16.      | 19.10.1954 г. (не сработало) | ОЯО               | 0  | наземный              | башня 15  | 74.      | 02.11.1961 г.                   | СЯО               | 0,6  | воздушный             |                        |
| 17.      | 30.10.1954 г.                | ORO               | 10   | наземный              | сброс с<br>самолёта с<br>подрывом на<br>высоте 50 | 75.      | 03.11.1961 г.<br>(не сработало) | ИАР               | 0  | наземный              | 0                      |
| 18.      | 29.07.1955 г.                | СЯО               | 1,3  | наземный              | 2,5   | 76.      | 03.11.1961 г.                   | СЯО               | 0,9  | воздушный             | 635                    |
| 19.      | 02.08.1955 г.                | СЯО               | 12   | наземный              | 2,5   | 77.      | 04.11.1961 г.                   | ОЯО               | 0,2  | наземный              | 0                      |
| 20.      | 05.08.1955 г.                | СЯО               | 1,5  | наземный              | 1,5   | 78.      | 01.08.1962 г.                   | СЯО               | 2,4  | воздушный             |                        |
| 21.      | 06.11.1955 г.                | СЯО               | 250  | воздушный             |   | 79.      | 03.08.1962 г.                   | СЯО               | 1,6  | воздушный             |                        |
| 22.      | 22.11.1955 г.                | СЯО               | 1600   | воздушный             |   | 80.      | 04.08.1962 г.                   | ОЯО               | 3,8  | воздушный             | 390                    |
| 23.      | 16.03.1956 г.                | СЯО               | 14   | наземный              | 0,4   | 81.      | 07.08.1962 г.                   | СЯО               | 9,9  | наземный              | 0                      |
| 24.      | 25.03.1956 г.                | СЯО               | 5,5  | наземный              | 1   | 82.      | 18.08.1962 г.                   | СЯО               | 7,4  | воздушный             | 710                    |
| 25.      | 24.08.1956 г.                | СЯО               | 27   | наземный              | Башня 100   | 83.      | 18.08.1962 г.                   | СЯО               | 5,8  | воздушный             | 310                    |
| 26.      | 30.08.1956 г.                | СЯО               | 900  | воздушный             |   | 84.      | 21.08.1962 г.                   | СЯО               | 20-150   | воздушный             |                        |

| №<br>п/п | Дата<br>испытания | Цель<br>испытания | Мощность испытания, кт тротилового эквивалента | Условия<br>проведения | Высота<br>взрыва, м | №<br>п/п | Дата испытания                  | Цель<br>испытания | Мощность испытания, кт тротилового эквивалента | Условия<br>проведения | Высота<br>взрыва,<br>м |
|----------|-------------------|-------------------|--|-----------------------|---------------------|----------|---------------------------------|-------------------|--|-----------------------|------------------------|
| 27.      | 02.09.1956 г.     | СЯО               | 51   | воздушный             |                     | 85.      | 22.08.1962 г.                   | СЯО               | 3  | воздушный             |                        |
| 28.      | 10.09.1956 г.     | СЯО               | 38   | воздушный             | 270                 | 86.      | 23.08.1962 г.                   | СЯО               | 2,5  | воздушный             |                        |
| 29.      | 17.11.1956 г.     | СЯО               | 900  | воздушный             |                     | 87.      | 25.08.1962 г.                   | СЯО               | 0,001-20                                       | воздушный             |                        |
| 30.      | 14.12.1956 г.     | СЯО               | 40   | воздушный             |                     | 88.      | 27.08.1962 г.                   | СЯО               | 11   | воздушный             |                        |
| 31.      | 08.03.1957 г.     | СЯО               | 19   | воздушный             |                     | 89.      | 31.08.1962 г.                   | ФМИ               | 2,7  | воздушный             | 700                    |
| 32.      | 03.04.1957 г.     | СЯО               | 42   | воздушный             | 1100                | 90.      | 22.09.1962 г.                   | ИАР               | 0,21   | наземный              | 0                      |
| 33.      | 06.04.1957 г.     | СЯО               | 57   | воздушный             | 1145                | 91.      | 24.09.1962 г.                   | СЯО               | 1,2  | воздушный             | 630                    |
| 34.      | 10.04.1957 г.     | СЯО               | 680  | воздушный             | 2000                | 92.      | 25.09.1962 г.                   | СЯО               | 7  | наземный              | 0                      |
| 35.      | 12.08.1957 г.     | СЯО               | 22   | воздушный             |                     | 93.      | 28.09.1962 г.                   | ФМИ               | 1,3  | воздушный             |                        |
| 36.      | 16.04.1957 г.     | СЯО               | 320  | воздушный             |                     | 94.      | 09.10.1962 г.                   | СЯО               | 8  | воздушный             |                        |
| 37.      | 22.08.1957 г.     | СЯО               | 520  | воздушный             |                     | 95.      | 10.10.1962 г.                   | СЯО               | 9,2  | воздушный             | 665                    |
| 38.      | 26.08.1957 г.     | ИАР               | 0,1  | воздушный             |                     | 96.      | 13.10.1962 г.                   | СЯО               | 4,9  | воздушный             | 720                    |
| 39.      | 13.09.1957 г.     | СЯО               | 5,9  | воздушный             |                     | 97.      | 14.10.1962 г.                   | СЯО               | 0,001-20                                       | воздушный             |                        |
| 40.      | 26.09.1957 г.     | СЯО               | 13   | воздушный             |                     | 98.      | 20.10.1962 г.                   | СЯО               | 6,7  | воздушный             |                        |
| 41.      | 28.12.1957 г.     | СЯО               | 12   | воздушный             | 615                 | 99.      | 28.10.1962 г.                   | СЯО               | 7,8  | воздушный             |                        |
| 42.      | 04.01.1958 г.     | СЯО               | 1,3  | воздушный             | 400                 | 100.     | 28.10.1962 г.                   | СЯО               | 7,8  | воздушный             |                        |
| 43.      | 17.01.1958 г.     | СЯО               | 0,5  | воздушный             | 500                 | 101.     | 30.10.1962 г.                   | СЯО               | 1,2  | наземный              | 0                      |
| 44.      | 13.03.1958 г.     | СЯО               | 1,2  | воздушный             |                     | 102.     | 31.10.1962 г.                   | СЯО               | 10   | воздушный             |                        |
| 45.      | 14.03.1958 г.     | СЯО               | 35   | воздушный             |                     | 103.     | 01.11.1962 г.                   | СЯО               | 3  | воздушный             |                        |
| 46.      | 15.03.1958 г.     | СЯО               | 14   | воздушный             | 965                 | 104.     | 03.11.1962 г.                   | СЯО               | 4,7  | воздушный             |                        |
| 47.      | 18.03.1958 г.     | ФМИ               | 0,16   | воздушный             | 290                 | 105.     | 04.11.1962 г.                   | СЯО               | 8,4  | воздушный             |                        |
| 48.      | 20.03.1958 г.     | СЯО               | 12   | воздушный             | 1015                | 106.     | 05.11.1962 г.                   | ИПΦ               | 0,4  | наземный              | Башня 15               |
| 49.      | 22.03.1958 г.     | СЯО               | 18   | воздушный             | 1415                | 107.     | 11.11.1962 г.                   | СЯО               | 0,1  | наземный              | Башня 8                |
| 50.      | 01.09.1961 г.     | ОЯО               | 16   | воздушный             | 75                  | 108.     | 13.11.1962 г. (не сработало)    | ОЯО               | 0  | наземный              | 0                      |
| 51.      | 04.09.1961 г.     | СЯО               | 9  | воздушный             | 93                  | 109.     | 14.11.1962 г.                   | СЯО               | 12   | воздушный             |                        |
| 52.      | 05.09.1961 г.     | СЯО               | 16   | воздушный             | 100                 | 110.     | 17.11.1962 г.                   | СЯО               | 18   | воздушный             |                        |
| 53.      | 06.09.1961 г.     | ОЯО               | 1,1  | воздушный             |                     | 111.     | 24.11.1962 г.<br>(не сработало) | ИАР               | 0  | наземный              | 0                      |
| 54.      | 09.09.1961 г.     | ИАР               | 0,38   | наземный              | 0                   | 112.     | 26.11.1962 г.                   | ИАР               | 0,03   | наземный              | 0                      |
| 55.      | 10.09.1961 г.     | СЯО               | 0,88   | воздушный             |                     | 113.     | 01.12.1962 г.                   | СЯО               | 2,4  | воздушный             | 680                    |
| 56.      | 11.09.1961 г.     | СЯО               | 0,3  | воздушный             |                     | 114.     | 23.12.1962 г.<br>(не сработало) | ИАР               | 0  | наземный              | 0                      |
| 57.      | 13.09.1961 г.     | СЯО               | 0,001-20                                       | воздушный             | 65                  | 115.     | 24.12.1962 г.                   | ИАР               | 0,007  | наземный              | 0                      |
| 58.      | 14.09.1961 г.     | СЯО               | 0,4  | наземный              | 0                   | 116.     | 24.12.1962 г.                   | ИАР               | 0,028  | наземный              | 0                      |

Сокращения:

СЯО – совершенствование ядерного оружия;

ИАР – исследования аварийных режимов и аварийных ситуаций;

ФМИ— фундаментальные и методические исследования.

В ряде случаев проведение ядерных испытаний преследовало несколько целей, однако для их идентификации использовалась одна цель, являющаяся для данного эксперимента приоритетной [2]. В 25 из 30 наземных ядерных испытаний произошел подрыв ядерного устройства, в 5 случаях – отказ ядерного заряда.

Таблица 6. Хронология гидроядерных экспериментов на территории испытательной площадки «Опытном поле»

| № п/п | Дата проведения | Условия проведения | № п/п | Дата проведения | Условия проведения |
|-------|-----------------|--------------------|-------|-----------------|--------------------|
| 1     | 13.03.1958 г.   | воздушный          | 21    | 13.07.1961 г.   | наземный           |
| 2     | 15.03.1958 г.   | воздушный          | 22    | 15.07.1961 г.   | наземный           |
| 3     | 20.05.1960 г.   | наземный           | 23    | 20.07.1961 г.   | наземный           |
| 4     | 22.05.1960 г.   | наземный           | 24    | 21.07.1961 г.   | наземный           |
| 5     | 24.05.1960 г.   | наземный           | 25    | 22.07.1961 г.   | наземный           |
| 6     | 26.05.1960 г.   | наземный           | 26    | 22.07.1961 г.   | наземный           |
| 7     | 31.05.1960 г.   | наземный           | 27    | 24.07.1961 г.   | наземный           |
| 8     | 03.06.1960 г.   | наземный           | 28    | 19.09.1963 г.   | наземный           |
| 9     | 06.06.1960 г.   | наземный           | 29    | 20.09.1963 г.   | наземный           |
| 10    | 08.06.1960 г.   | наземный           | 30    | 24.09.1963 г.   | наземный           |
| 11    | 10.06.1960 г.   | наземный           | 31    | 25.09.1963 г.   | наземный           |
| 12    | 11.06.1960 г.   | наземный           | 32    | 26.09.1963 г.   | наземный           |
| 13    | 13.06.1960 г.   | наземный           | 33    | 30.09.1963 г.   | наземный           |
| 14    | 16.06.1960 г.   | наземный           | 34    | 01.10.1963 г.   | наземный           |
| 15    | 27.06.1961 г.   | наземный           | 35    | 02.10.1963 г.   | наземный           |
| 16    | 29.06.1961 г.   | наземный           | 36    | 10.10.1963 г.   | наземный           |
| 17    | 01.07.1961 г.   | наземный           | 37    | 11.10.1963 г.   | наземный           |
| 18    | 04.07.1961 г.   | наземный           | 38    | 12.10.1963 г.   | наземный           |
| 19    | 06.07.1961 г.   | наземный           | 39    | 12.10.1963 г.   | наземный           |
| 20    | 08.07.1961 г.   | наземный           | 40    | 15.10.1963 г.   | наземный           |

При проведении гидроядерных экспериментов значимое ядерное энерговыделение практически отсутствовало, что способствовало образованию малого количества «осколков деления». Вследствие этого, радиационное воздействие на окружающую среду происходило за счет диспергирования ядерных материалов, входящих в состав ядерного заряда. При проведении одних экспериментов диспергированию подвергался уран, при других – плутоний [6].

## Перечень радиационно-опасных объектов испытательной площадки «Опытное поле»

На основании данных по лабораторным анализам и анализу карт площадного распределения техногенных радионуклидов приустьевых площадок скважин установлен перечень радиационно-опасных объектов (Рисунок 3).

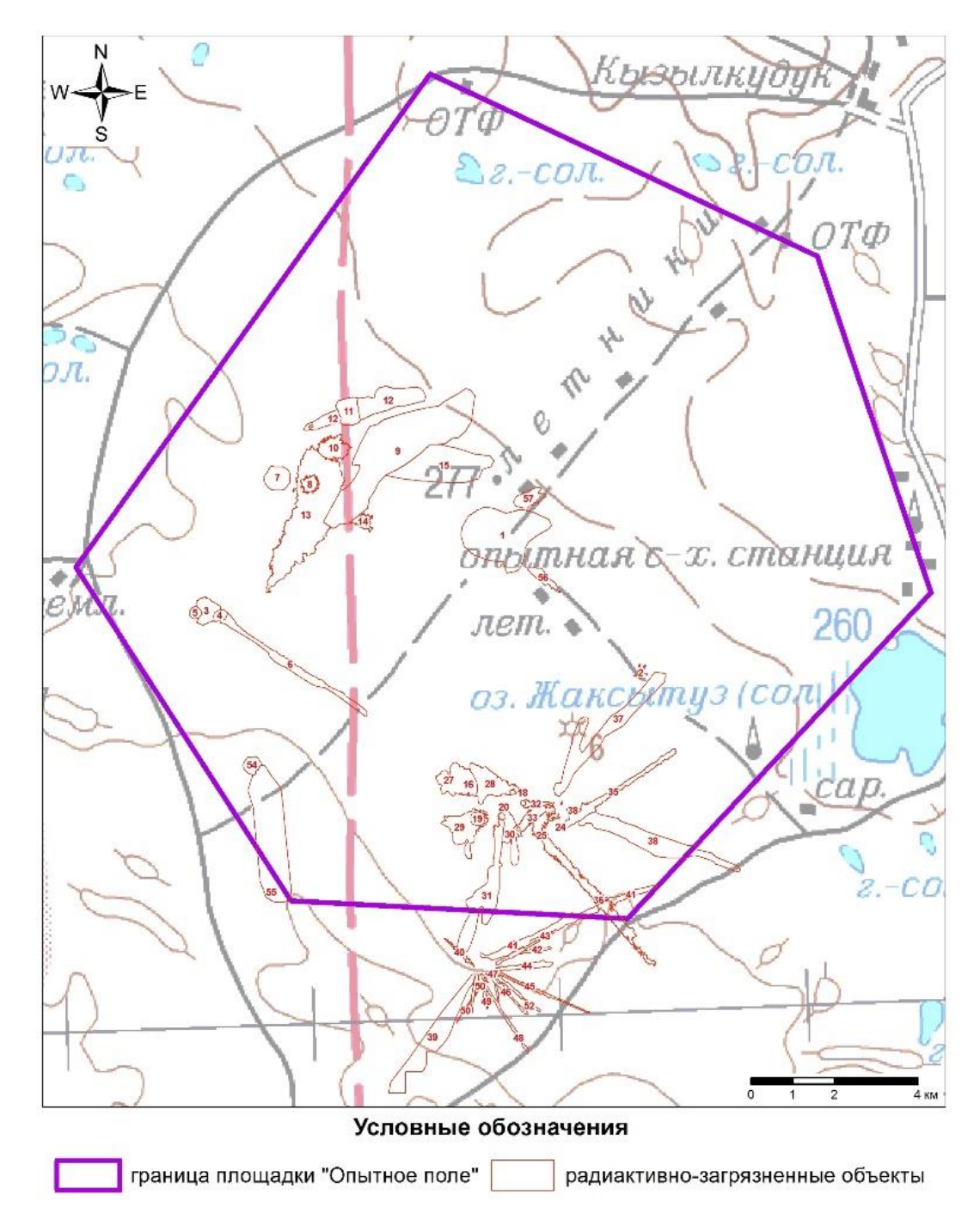


Рисунок 3. Карта-схема площадки «Опытное-поле» с обозначением радиационно-опасных объектов

#### Место расположения

Участок радиоактивного загрязнения расположен в центральная часть площадки П-1. Географические координаты представлены в таблице (Таблица 4).

Таблица 4. Географические координаты участка №1

| Географические координаты |                     |                |  |  |    |  |  |
|---------------------------|---------------------|----------------|--|--|----|--|--|
| № участка                 |                     | Широта Долгота |  |  |    |  |  |
| 1                         | 50 26 14,9 77 49 11 |                |  |  | 11 |  |  |

#### Характеристика источника радиационного загрязнения

Эпицентр наземного ядерного испытания со значительным энерговыделением, не приведший к значительным нарушениям рельефа, с образованием воронки.

#### Экологические характеристики объекта

На участке наиболее показательным техногенным радионуклидом является  $^{239+240}$ Pu (Рисунок 4).

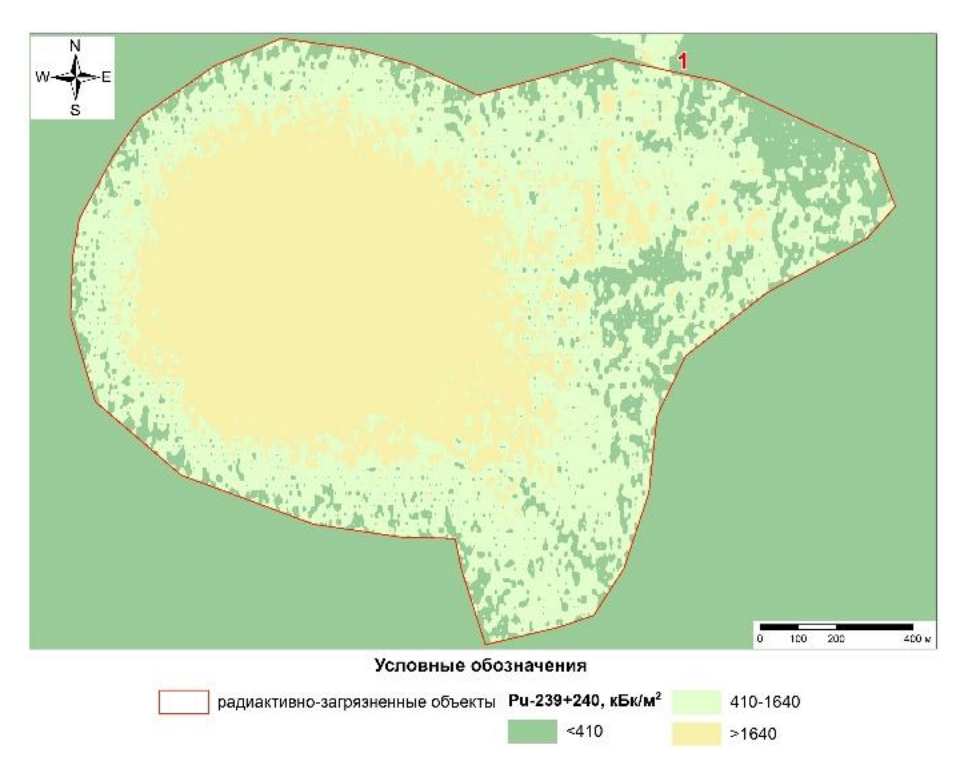


Рисунок 4. Карта площадного распределения <sup>239+240</sup>Ри на участке №1

Диапазон площадных активностей основных техногенных радионуклидов, кБк/м<sup>2</sup>:

- $\bullet$  <sup>241</sup>Am:  $<4,9\times10^2-1,9\times10^3$ ;
- $^{137}$ Cs:  $<75-1,1\times10^4$ ;
- $^{90}$ Sr:  $<1,2\times10^2-1,0\times10^4$ ;
- $\bullet$  <sup>239+240</sup>Pu: <4.1×10<sup>2</sup> 1.6×10<sup>4</sup>.

Площадь радиоактивного загрязнения, превышающая значения, указанные в Критериях оценки экологической обстановки территорий, составляет порядка  $1.8 \times 10^6$  м<sup>2</sup>. В тоже время объем радиоактивного материала, составляет порядка  $4.5 \times 10^5$  м<sup>3</sup>.

#### Место расположения

Участок радиоактивного загрязнения расположен в северо-восточная часть площадки П-1. Географические координаты представлены в таблице (Таблица 5).

Таблица 5. Географические координаты участка №2

| No vivo omvo | Географические координаты |                |  |  |  |  |  |  |
|--------------|---------------------------|----------------|--|--|--|--|--|--|
| № участка    |                           | Широта Долгота |  |  |  |  |  |  |
| 2            | 50 26 42,4 77 49 45,2     |                |  |  |  |  |  |  |

#### Характеристика источника радиационного загрязнения

Техногенный объект, территория которого подверглась интенсивному техногенному преобразованию и радиоактивному загрязнению.

#### Экологические характеристики объекта

На участке наиболее показательным техногенным радионуклидом является  $^{239+240}$ Pu (Рисунок 5).

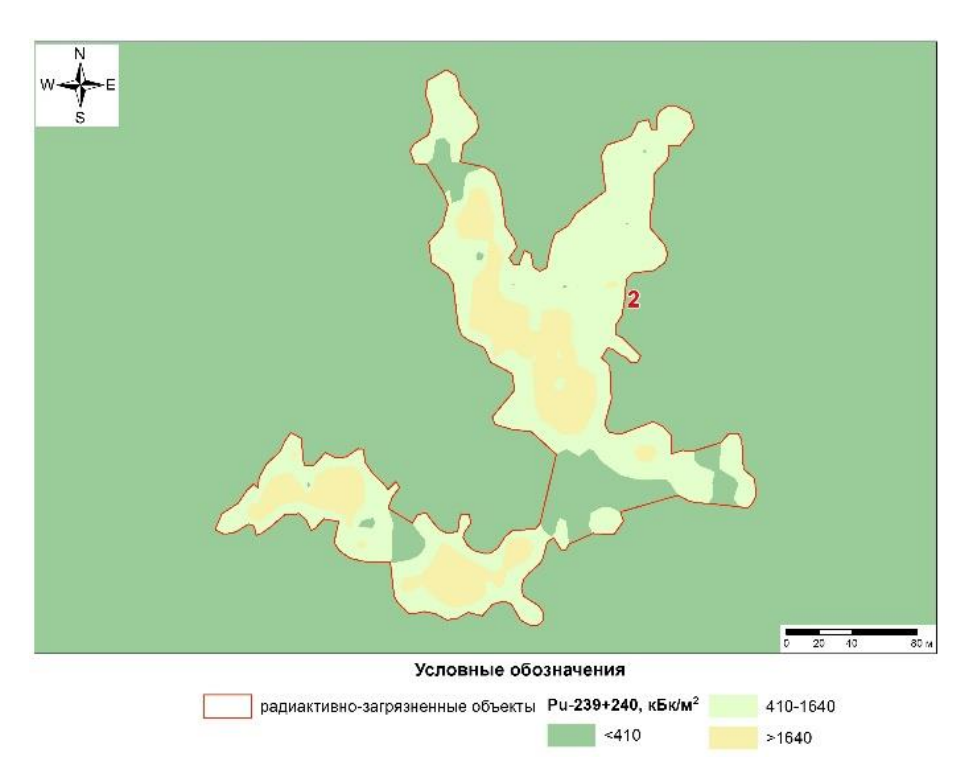


Рисунок 5. Карта площадного распределения <sup>239+240</sup>Ри на участке №2

Диапазон площадных активностей основных техногенных радионуклидов, кБк/м<sup>2</sup>:

- $\bullet$  <sup>241</sup>Am:  $<4,9\times10^2-5,1\times10^3$ ;
- $^{137}$ Cs:  $<75-4,6\times10^2$ ;
- $^{90}$ Sr:  $<1,2\times10^2-5,1\times10^2$ ;
- $^{239+240}$ Pu:  $<4.1\times10^2-2.0\times10^5$ .

Площадь радиоактивного загрязнения, превышающая значения, указанные в Критериях оценки экологической обстановки территорий, составляет порядка  $2.8 \times 10^4$  м<sup>2</sup>. В тоже время объем радиоактивного материала, составляет порядка  $5.6 \times 10^3$  м<sup>3</sup>.

#### Место расположения

Участок радиоактивного загрязнения расположен в центральная часть площадки П-3. Географические координаты представлены в таблице (Таблица 6).

Таблица 6. Географические координаты участка №3

| No vivo omico | Географические координаты |                |      |    |    |     |
|---------------|---------------------------|----------------|------|----|----|-----|
| № участка     |                           | Широта Долгота |      |    |    |     |
| 3             | 50                        | 25             | 25,8 | 77 | 43 | 8,5 |

#### Характеристика источника радиационного загрязнения

Эпицентр наземного ядерного испытания со значительным энерговыделением, не приведший к значительным нарушениям рельефа.

#### Экологические характеристики объекта

На участке наиболее показательным техногенным радионуклидом является  $^{239+240}$ Pu (Рисунок 6).

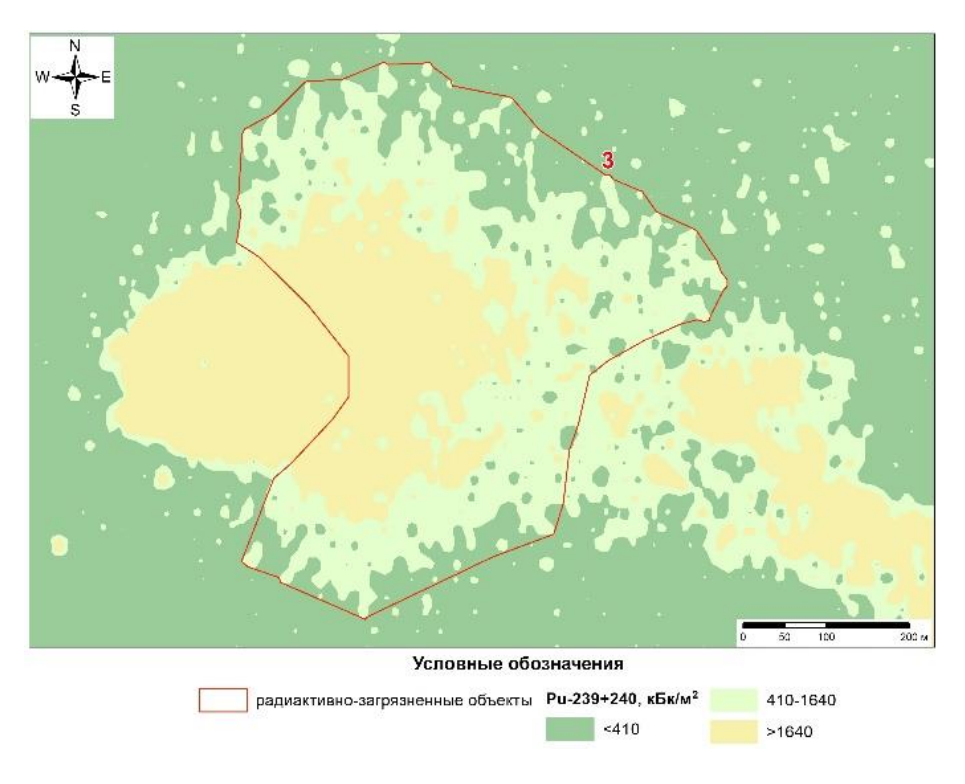


Рисунок 6. Карта площадного распределения <sup>239+240</sup>Ри на участке №3

Диапазон площадных активностей основных техногенных радионуклидов, кБк/м<sup>2</sup>:

- $\bullet$  <sup>241</sup>Am:  $<4,9\times10^2-6,6\times10^3$ ;
- $^{137}$ Cs:  $< 75 5,7 \times 10^2$ ;
- $^{90}$ Sr:  $<1,2\times10^2-4,0\times10^2$ ;
- $\bullet$  <sup>239+240</sup>Pu: <4.1×10<sup>2</sup> 8.5×10<sup>4</sup>.

Площадь радиоактивного загрязнения, превышающая значения, указанные в Критериях оценки экологической обстановки территорий, составляет порядка  $2,1\times10^5$  м<sup>2</sup>. В тоже время объем радиоактивного материала, составляет порядка  $4,1\times10^4$  м<sup>3</sup>.

#### Место расположения

Участок радиоактивного загрязнения расположен в центральная часть площадки П-3. Географические координаты представлены в таблице (Таблица 7).

Таблица 7. Географические координаты участка №4

| No vivo omico | Географические координаты |                |      |    |    |      |
|---------------|---------------------------|----------------|------|----|----|------|
| № участка     |                           | Широта Долгота |      |    |    |      |
| 4             | 50                        | 25             | 20,7 | 77 | 43 | 24,5 |

#### Характеристика источника радиационного загрязнения

Эпицентр наземного ядерного испытания с низким коэффициентом реализации ядерной реакции, не приведший к значительным нарушениям рельефа.

#### Экологические характеристики объекта

На участке наиболее показательным техногенным радионуклидом является  $^{239+240}$ Pu (Рисунок 7).

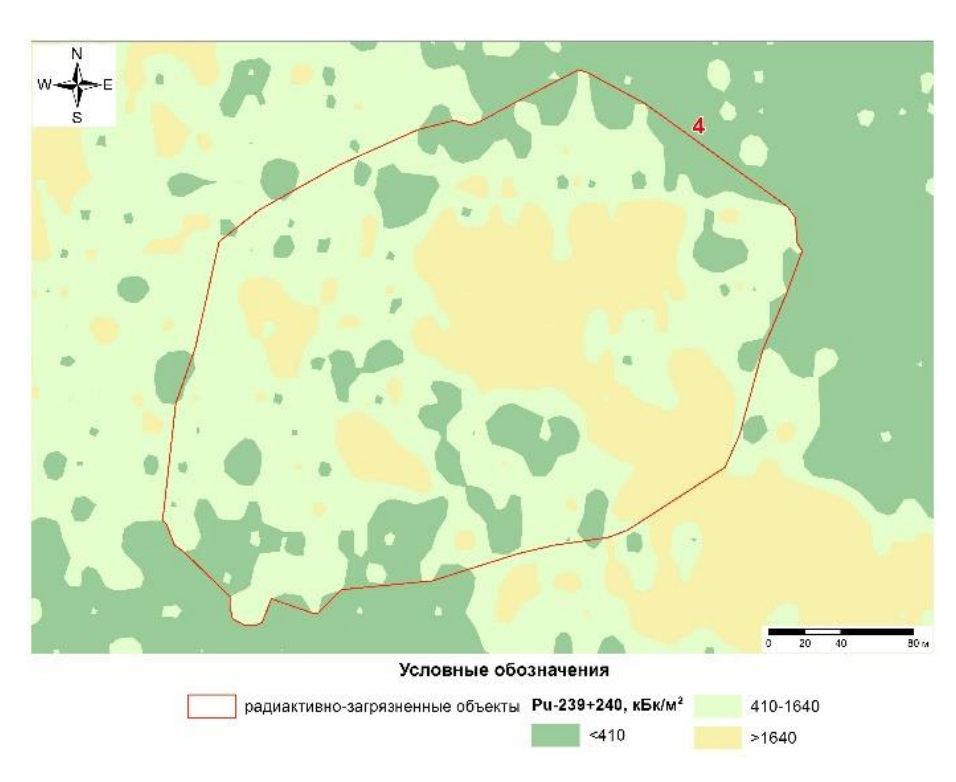


Рисунок 7. Карта площадного распределения <sup>239+240</sup>Ри на участке №4

Диапазон площадных активностей основных техногенных радионуклидов, кБк/м<sup>2</sup>:

- $\bullet$  <sup>241</sup>Am:  $<4,9\times10^2-5,1\times10^2$ ;
- $^{137}$ Cs:  $< 75 1,1 \times 10^2$ ;
- $^{90}$ Sr: <1,2×10<sup>2</sup>;
- $^{239+240}$ Pu:  $<4.1\times10^2-4.3\times10^4$ .

Площадь радиоактивного загрязнения, превышающая значения, указанные в Критериях оценки экологической обстановки территорий, составляет порядка  $5.9 \times 10^4$  м<sup>2</sup>. В тоже время объем радиоактивного материала, составляет порядка  $5.9 \times 10^3$  м<sup>3</sup>.

#### Место расположения

Участок радиоактивного загрязнения расположен в центральная часть площадки П-3. Географические координаты представлены в таблице (Таблица 8).

Таблица 8. Географические координаты участка №5

| No vivo omico | Географические координаты |                |      |    |    |    |
|---------------|---------------------------|----------------|------|----|----|----|
| № участка     |                           | Широта Долгота |      |    |    |    |
| 5             | 50                        | 25             | 23,4 | 77 | 42 | 55 |

# Характеристика источника радиационного загрязнения

Эпицентр наземного ядерного испытания с отсутствием ярко выраженной эпицентральной зоны ядерного взрыва.

#### Экологические характеристики объекта

На участке наиболее показательным техногенным радионуклидом является <sup>239+240</sup>Pu (Рисунок 8).

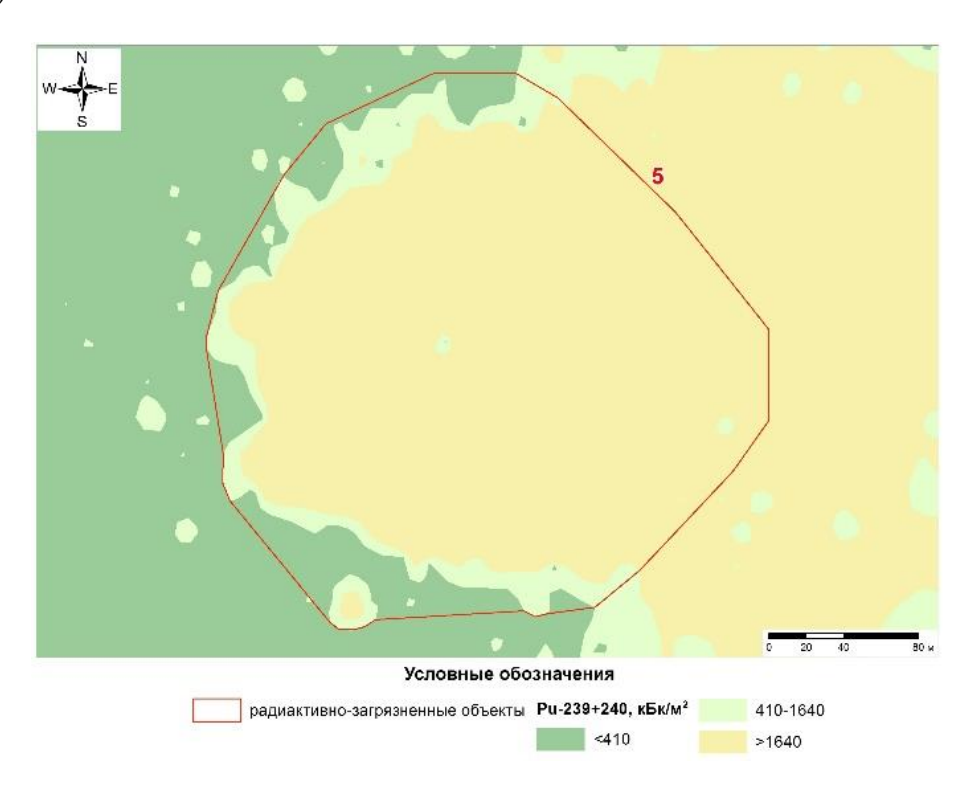


Рисунок 8. Карта площадного распределения <sup>239+240</sup>Ри на участке №5

Диапазон площадных активностей основных техногенных радионуклидов, кБк/м<sup>2</sup>:

- $\bullet$  <sup>241</sup>Am:  $<4,9\times10^2-2,2\times10^4$ ;
- $^{137}$ Cs:  $<75 2,5 \times 10^2$ ;
- $^{90}$ Sr:  $<1,2\times10^2-1,5\times10^2$ ;
- $^{239+240}$ Pu:  $<4.1\times10^2 2.3\times10^5$ .

Площадь радиоактивного загрязнения, превышающая значения, указанные в Критериях оценки экологической обстановки территорий, составляет порядка  $5.9 \times 10^4$  м<sup>2</sup>. В тоже время объем радиоактивного материала, составляет порядка  $1.3 \times 10^4$  м<sup>3</sup>.

#### Место расположения

Участок радиоактивного загрязнения расположен в юго-восточная часть площадки П-3. Географические координаты представлены в таблице (Таблица 9).

Таблица 9. Географические координаты участка №6

| No vivo ozvio |    | ие координаты  |      |    |    |    |
|---------------|----|----------------|------|----|----|----|
| № участка     |    | Широта Долгота |      |    |    |    |
| 6             | 50 | 24             | 40,8 | 77 | 44 | 50 |

#### Характеристика источника радиационного загрязнения

След радиоактивных выпадений от наземного ядерного испытания с низким коэффициентом реализации ядерной реакции.

#### Экологические характеристики объекта

На участке наиболее показательным техногенным радионуклидом является  $^{239+240}$ Pu (Рисунок 9).



Рисунок 9. Карта площадного <sup>239+240</sup>Ри распределения на участке №6

Диапазон площадных активностей основных техногенных радионуклидов, кБк/м<sup>2</sup>:

- $^{241}$ Am:  $<4,9\times10^2$ ;
- <sup>137</sup>Cs: <75;
- $^{90}$ Sr: <1,2×10<sup>2</sup>;
- $\bullet$  <sup>239+240</sup>Pu: <4.1×10<sup>2</sup> 9.1×10<sup>3</sup>.

Площадь радиоактивного загрязнения, превышающая значения, указанные в Критериях оценки экологической обстановки территорий, составляет порядка  $2.6 \times 10^5$  м<sup>2</sup>. В тоже время объем радиоактивного материала, составляет порядка  $1.3 \times 10^4$  м<sup>3</sup>.

#### Место расположения

Участок радиоактивного загрязнения расположен в юго-западная часть площадки П-5. Географические координаты представлены в таблице (Таблица 10).

Таблица 10. Географические координаты участка №7

| Мо туто одуго | Географические координаты |    |      |    |    |      |  |  |
|---------------|---------------------------|----|------|----|----|------|--|--|
| № участка     | Широта Долгота            |    |      |    |    |      |  |  |
| 7             | 50                        | 27 | 05,7 | 77 | 44 | 40.7 |  |  |

#### Характеристика источника радиационного загрязнения

Эпицентр наземного ядерного испытания с образованием воронки.

#### Экологические характеристики объекта

На участке наиболее показательным техногенным радионуклидом является  $^{239+240}$ Pu (Рисунок 10).

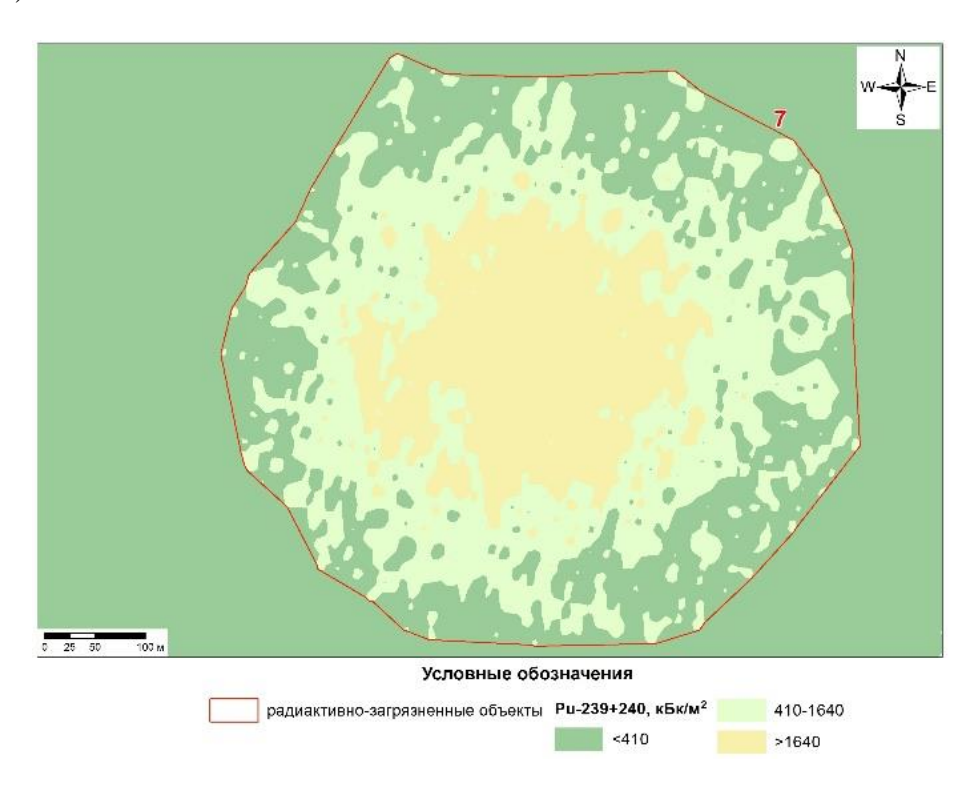


Рисунок 10. Карта площадного распределения <sup>239+240</sup>Ри на участке №7

Диапазон площадных активностей основных техногенных радионуклидов, кБк/м<sup>2</sup>:

- $\bullet$  <sup>241</sup>Am:  $<4,9\times10^2-7,5\times10^2$ :
- $^{137}$ Cs:  $< 75 4.0 \times 10^3$ ;
- $^{90}$ Sr:  $<1,2\times10^2-3,1\times10^3$ ;
- $\bullet$  <sup>239+240</sup>Pu: <4,1×10<sup>2</sup> 1,4×10<sup>4</sup>.

Площадь радиоактивного загрязнения, превышающая значения, указанные в Критериях оценки экологической обстановки территорий, составляет порядка  $1.9 \times 10^5$  м<sup>2</sup>. В тоже время объем радиоактивного материала, составляет порядка  $4.1 \times 10^4$  м<sup>3</sup>.

#### Место расположения

Участок радиоактивного загрязнения расположен в южная часть площадки П-5. Географические координаты представлены в таблице (Таблица 11).

Таблица 11. Географические координаты участка №8

| Мо туто одуго | Географические координаты |  |  |  |      |  |  |  |
|---------------|---------------------------|--|--|--|------|--|--|--|
| № участка     | Широта Долгота            |  |  |  |      |  |  |  |
| 8             |                           |  |  |  | 20,5 |  |  |  |

#### Характеристика источника радиационного загрязнения

Эпицентр назменого ядерного испытания с образованием воронки.

#### Экологические характеристики объекта

На объекте наиболее показательным техногенным радионуклидом является <sup>239+240</sup>Pu (Рисунок 11).

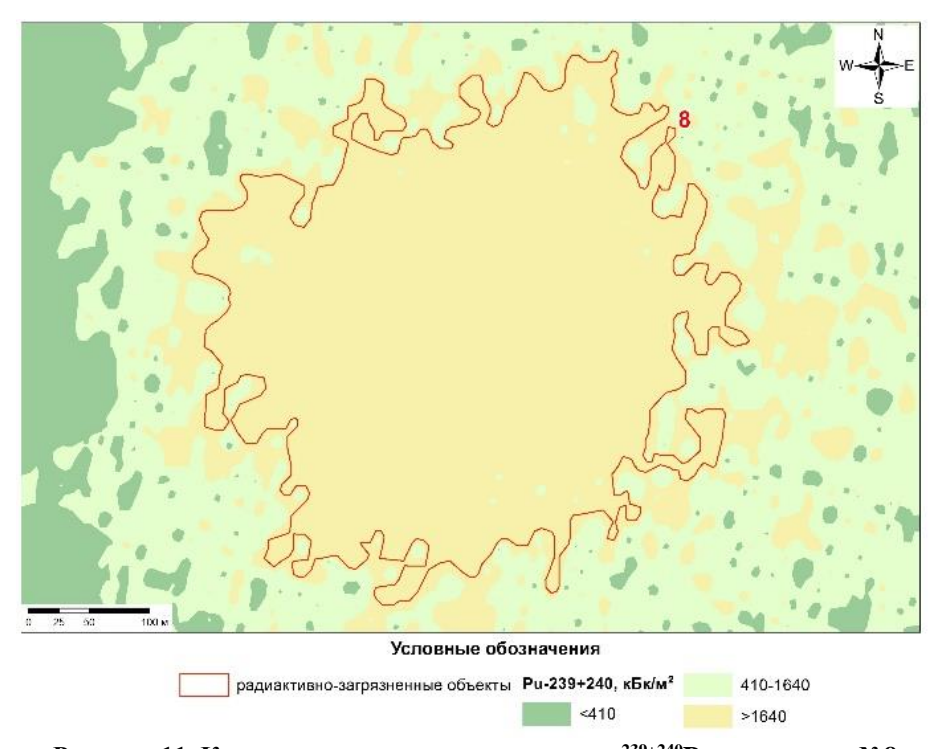


Рисунок 11. Карта площадного распределения <sup>239+240</sup>Ри на участке №8

Диапазон площадных активностей основных техногенных радионуклидов, кБк/м<sup>2</sup>:

- $\bullet$  <sup>241</sup>Am:  $<4,9\times10^2-7,2\times10^3$ ;
- $^{137}$ Cs:  $< 75 2.2 \times 10^4$ :
- $\bullet {}^{90}\mathrm{Sr:} < 1,2 \times 10^2 1,8 \times 10^4; \\ \bullet {}^{239 + 240}\mathrm{Pu:} < 4,1 \times 10^2 5,5 \times 10^4.$

Площадь радиоактивного загрязнения, превышающая значения, указанные в Критериях оценки экологической обстановки территорий, составляет порядка 5,9×10<sup>4</sup> м<sup>2</sup>. В тоже время объем радиоактивного материала, составляет порядка  $1.7 \times 10^4$  м<sup>3</sup>.

#### Место расположения

Участок радиоактивного загрязнения расположен в юго-восточная часть площадки П-5. Географические координаты представлены в таблице (Таблица 12).

Таблица 12. Географические координаты участка №9

| No vivo omvo | Географические координаты |                |  |  |  |      |  |
|--------------|---------------------------|----------------|--|--|--|------|--|
| № участка    |                           | Широта Долгота |  |  |  |      |  |
| 9            | 50 27 24,1 77 47 09,3     |                |  |  |  | 09,3 |  |

#### Характеристика источника радиационного загрязнения

Следы радиоактивных выпадений от воздушных ядерных взрывов.

#### Экологические характеристики объекта

На участке наиболее показательным техногенным радионуклидом является  $^{239+240}$ Pu (Рисунок 12).

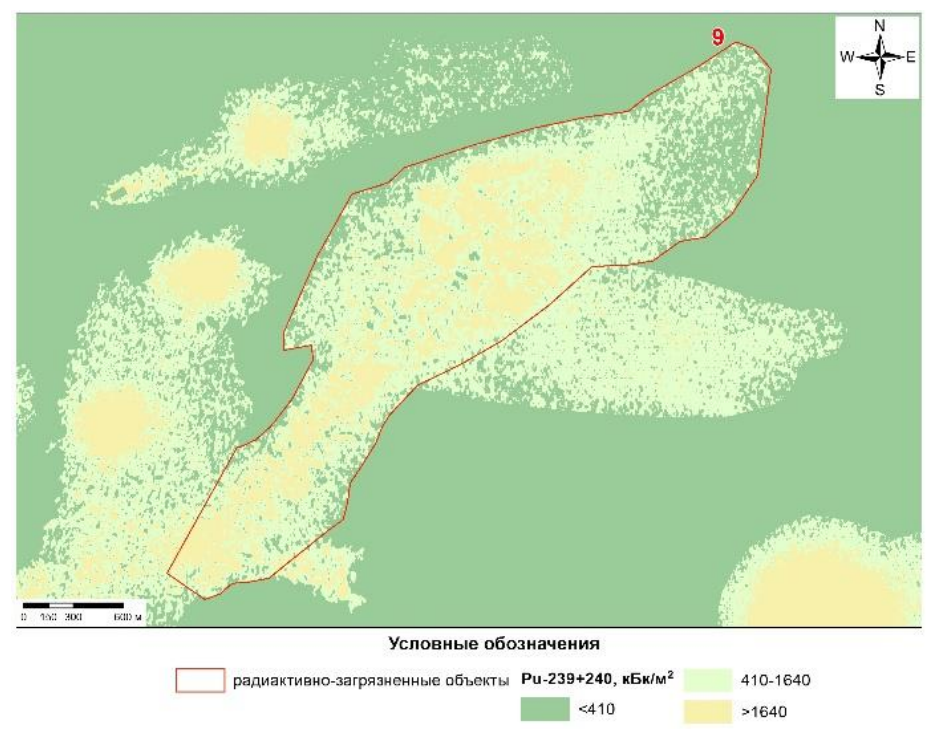


Рисунок 12. Карта площадного распределения <sup>239+240</sup>Ри на участке №9

Диапазон площадных активностей основных техногенных радионуклидов, кБк/м<sup>2</sup>:

- $\bullet$  <sup>241</sup>Am:  $<4,9\times10^2-1,2\times10^3$ ;
- $^{137}$ Cs:  $< 75 6.9 \times 10^2$ :
- $\bullet$  90Sr:  $<1,2\times10^2-6,2\times10^2$ ;
- $^{239+240}$ Pu:  $<4,1\times10^2-5,2\times10^3$ .

Площадь радиоактивного загрязнения, превышающая значения, указанные в Критериях оценки экологической обстановки территорий, составляет порядка  $3.1 \times 10^6$  м<sup>2</sup>. В тоже время объем радиоактивного материала, составляет порядка  $1.5 \times 10^5$  м<sup>3</sup>.

#### Место расположения

Участок радиоактивного загрязнения расположен в центральная часть площадки П-5. Географические координаты представлены в таблице (Таблица 13).

Таблица 13. Географические координаты участка №10

| No vivo omvo | Географические координаты |                |  |  |  |    |  |  |
|--------------|---------------------------|----------------|--|--|--|----|--|--|
| № участка    |                           | Широта Долгота |  |  |  |    |  |  |
| 10           | 50 27 29,0 77 45 51       |                |  |  |  | 51 |  |  |

#### Характеристика источника радиационного загрязнения

Эпицентр наземного ядерного испытания с образованием воронки.

#### Экологические характеристики объекта

На участке наиболее показательным техногенным радионуклидом является <sup>239+240</sup>Pu (Рисунок 13).

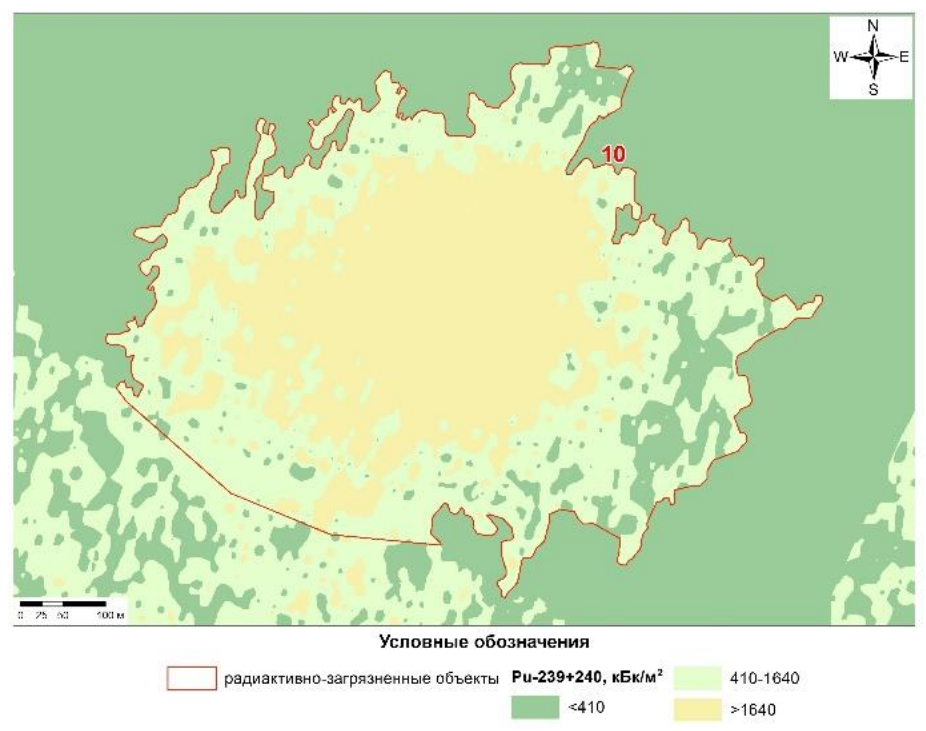


Рисунок 13. Карта площадного распределения <sup>239+240</sup>Pu на участке №10

Диапазон площадных активностей основных техногенных радионуклидов, кБк/м<sup>2</sup>:

- $\bullet$  <sup>241</sup>Am:  $<4,9\times10^2-2,6\times10^3$ ;
- $^{137}$ Cs:  $< 75 6,7 \times 10^3$ ;
- $^{90}$ Sr:  $<1,2\times10^2-6,0\times10^3$ ;
- $^{239+240}$ Pu:  $<4,1\times10^2-4,1\times10^4$ .

Площадь радиоактивного загрязнения, превышающая значения, указанные в Критериях оценки экологической обстановки территорий, составляет порядка  $2.8 \times 10^5$  м<sup>2</sup>. В тоже время объем радиоактивного материала, составляет порядка  $7.6 \times 10^4$  м<sup>3</sup>.

#### Место расположения

Участок радиоактивного загрязнения расположен в северо-восточная часть площадки П-5. Географические координаты представлены в таблице (Таблица 14).

Таблица 14. Географические координаты участка №11

| No vivo omvo | Географические координаты |                |  |  |    |  |  |
|--------------|---------------------------|----------------|--|--|----|--|--|
| № участка    |                           | Широта Долгота |  |  |    |  |  |
| 11           | 50 27 55,6 77 46 10       |                |  |  | 10 |  |  |

#### Характеристика источника радиационного загрязнения

Эпицентр ядерного испытания со значительным энерговыделением, не приведший к значительным нарушениям рельефа.

#### Экологические характеристики объекта

На участке наиболее показательным техногенным радионуклидом является  $^{239+240}$ Pu (Рисунок 14).

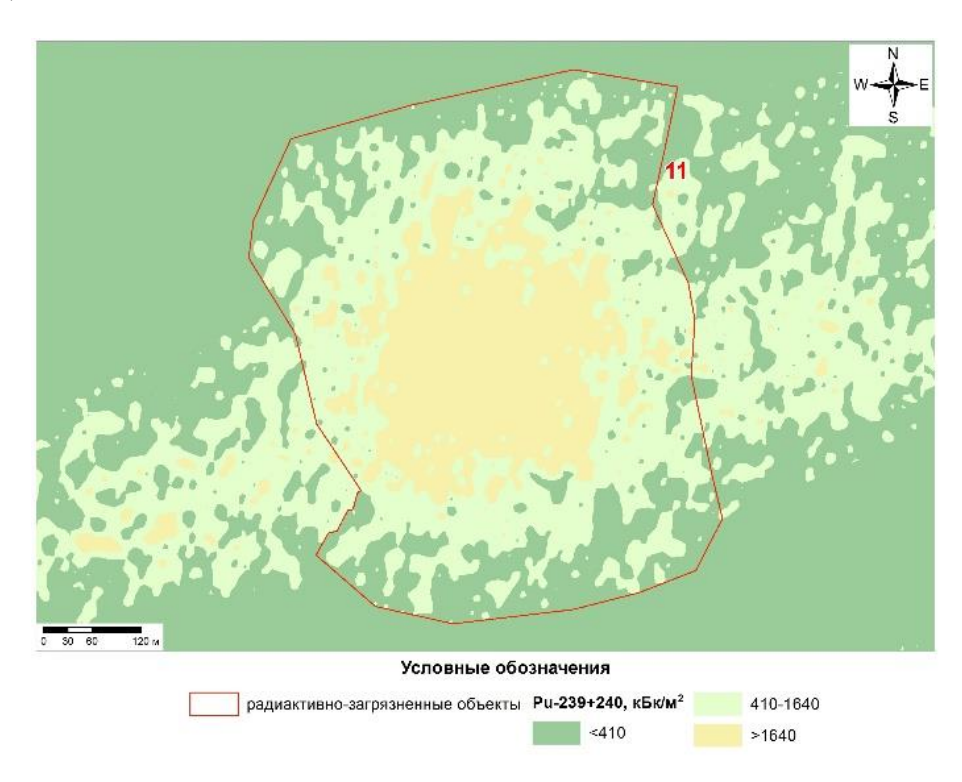


Рисунок 14. Карта площадного распределения <sup>239+240</sup>Ри на участке №11

Диапазон площадных активностей основных техногенных радионуклидов, кБк/м<sup>2</sup>:

- $^{241}$ Am:  $<4,9\times10^2$ ;
- $^{137}$ Cs:  $< 75 7.8 \times 10^2$ ;
- $^{90}$ Sr:  $<1,2\times10^2-1,9\times10^2$ ;
- $\bullet$  <sup>239+240</sup>Pu: <4.1×10<sup>2</sup> 3.8×10<sup>3</sup>.

Площадь радиоактивного загрязнения, превышающая значения, указанные в Критериях оценки экологической обстановки территорий, составляет порядка  $2.2 \times 10^5$  м<sup>2</sup>. В тоже время объем радиоактивного материала, составляет порядка  $6.6 \times 10^4$  м<sup>3</sup>.

#### Место расположения

Участок радиоактивного загрязнения расположен в северо-восточная часть площадки П-5. Географические координаты представлены в таблице (Таблица 15).

Таблица 15. Географические координаты участка №12

| No vivo omvo |                       | Географические координаты |  |  |      |  |  |  |
|--------------|-----------------------|---------------------------|--|--|------|--|--|--|
| № участка    | Широта Долгота        |                           |  |  |      |  |  |  |
| 12           | 50 27 59,4 77 46 46,0 |                           |  |  | 46,0 |  |  |  |

# Характеристика источника радиационного загрязнения

След радиоактивных выпадений от эксперимента с ядерным зарядом.

#### Экологические характеристики объекта

На участке наиболее показательным техногенным радионуклидом является  $^{239+240}$ Pu (Рисунок 15).

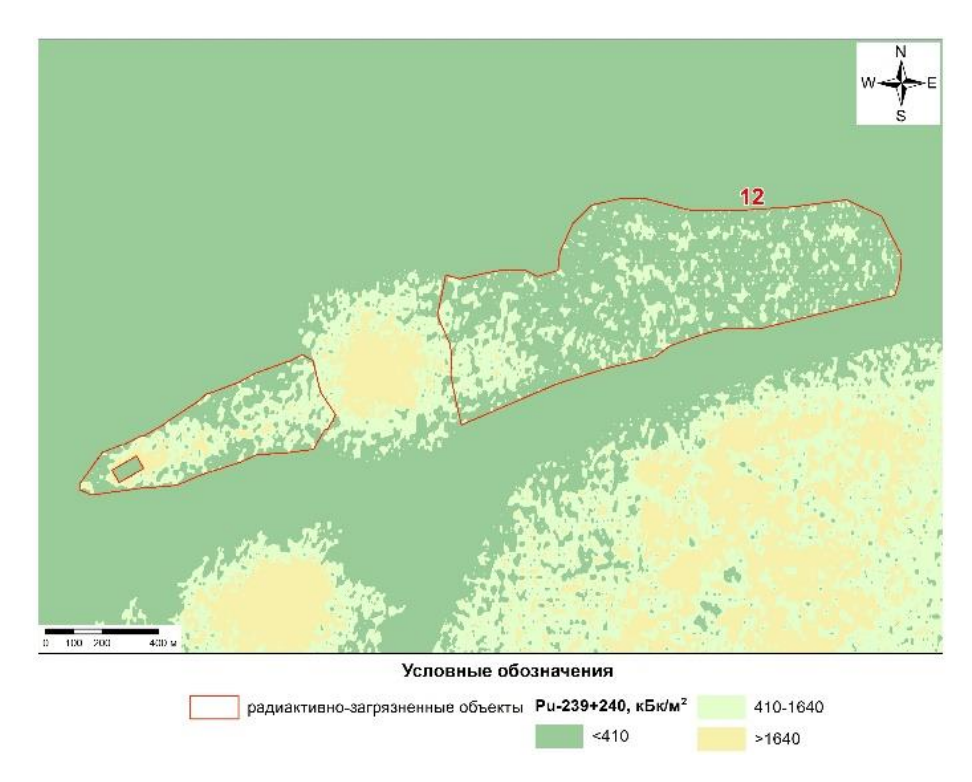


Рисунок 15. Карта площадного распределения <sup>239+240</sup>Ри на участке №12

Диапазон площадных активностей основных техногенных радионуклидов, кБк/м<sup>2</sup>:

- $\bullet$  <sup>241</sup>Am:  $<4,9\times10^2-3,8\times10^3$ ;
- <sup>137</sup>Cs: <75;
- $^{90}$ Sr: <1,2×10<sup>2</sup>;
- $\bullet$  <sup>239+240</sup>Pu: <4,1×10<sup>2</sup> 2,4×10<sup>4</sup>.

Площадь радиоактивного загрязнения, превышающая значения, указанные в Критериях оценки экологической обстановки территорий, составляет порядка  $3.1 \times 10^5$  м<sup>2</sup>. В тоже время объем радиоактивного материала, составляет порядка  $1.5 \times 10^4$  м<sup>3</sup>.

#### Место расположения

Участок радиоактивного загрязнения расположен в юго-западная часть площадки П-5. Географические координаты представлены в таблице (Таблица 16).

Таблица 16. Географические координаты участка №13

| No vivo omvo |                  |    | Географические координаты |    |    |      |  |
|--------------|------------------|----|---------------------------|----|----|------|--|
| № участка    | а Широта Долгота |    |                           |    |    |      |  |
| 13           | 50               | 26 | 31,4                      | 77 | 45 | 15,3 |  |

#### Характеристика источника радиационного загрязнения

След радиоактивных выпадений от воздушных ядерных взрывов.

#### Экологические характеристики объекта

На участке наиболее показательным техногенным радионуклидом является <sup>239+240</sup>Pu (Рисунок 16).

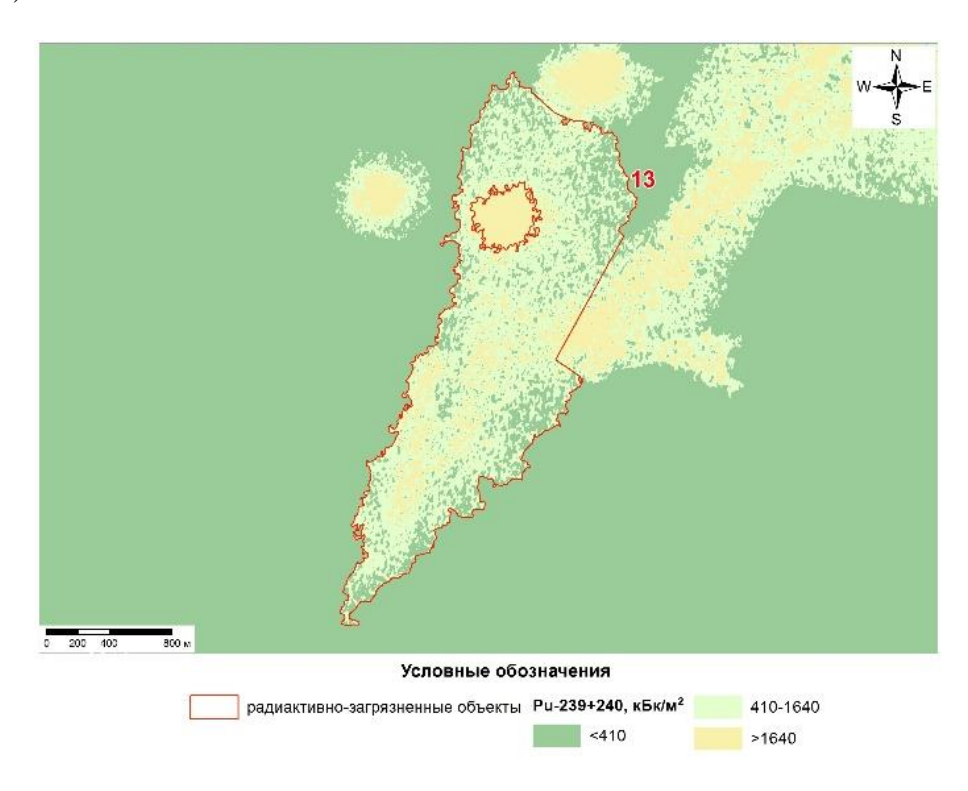


Рисунок 16. Карта площадного <sup>239+240</sup>Ри распределения на участке №13

Диапазон площадных активностей основных техногенных радионуклидов, кБк/м<sup>2</sup>:

- $^{239+240}$ Pu:  $<4,1\times10^2-5,6\times10^3$ ;
- $^{137}$ Cs:  $< 75 9.8 \times 10^2$ ;
- $\bullet$  90Sr:  $<1,2\times10^2-8,8\times10^2$ ;
- $\bullet$  <sup>241</sup>Am:  $<4,9\times10^2-5,6\times10^2$ .

Площадь радиоактивного загрязнения, превышающая значения, указанные в Критериях оценки экологической обстановки территорий, составляет порядка  $2.0 \times 10^6$  м<sup>2</sup>. В тоже время объем радиоактивного материала, составляет порядка  $3.9 \times 10^5$  м<sup>3</sup>.

#### Место расположения

Участок радиоактивного загрязнения расположен в южной части площадки П-5. Географические координаты представлены в таблице (Таблица 17).

Таблица 17. Географические координаты участка №14

| No упастио |    | Географические координаты |      |    |         |      |  |
|------------|----|---------------------------|------|----|---------|------|--|
| № участка  |    | Широта                    |      |    | Долгота |      |  |
| 14         | 50 | 26                        | 28,1 | 77 | 46      | 24,9 |  |

#### Характеристика источника радиационного загрязнения

Воздушные ядерные испытания.

#### Экологические характеристики объекта

На участке наиболее показательным техногенным радионуклидом является <sup>239+240</sup>Pu (Рисунок 17).

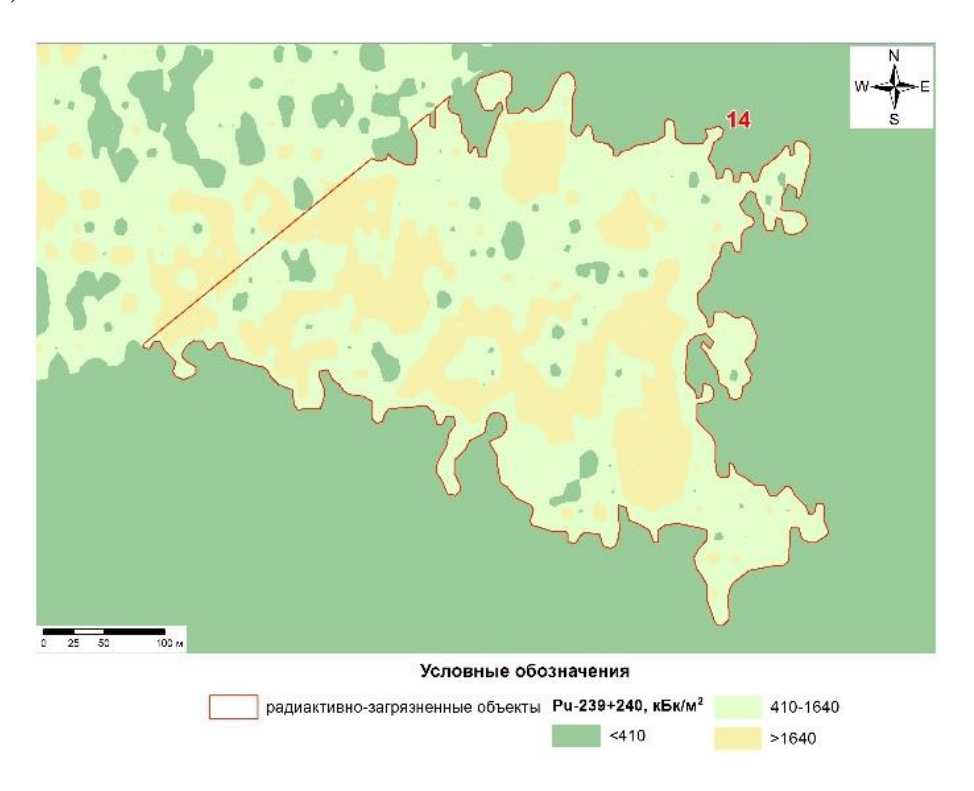


Рисунок 17. Карта площадного распределения <sup>239+240</sup>Pu на участке №14

Диапазон площадных активностей основных техногенных радионуклидов, кБк/м<sup>2</sup>:

- $\bullet^{241}$ Am:  $<4,9\times10^2$ ;
- $^{137}$ Cs:  $< 75 3.3 \times 10^2$ ;
- $^{90}$ Sr:  $<1,2\times10^2-2,9\times10^2$ ;
- $\bullet$  <sup>239+240</sup>Pu: <4,1×10<sup>2</sup> 2,4×10<sup>3</sup>.

Площадь радиоактивного загрязнения, превышающая значения, указанные в Критериях оценки экологической обстановки территорий, составляет порядка  $1,1\times10^5$  м<sup>2</sup>. В тоже время объем радиоактивного материала, составляет порядка  $5,5\times10^3$  м<sup>3</sup>.

#### Место расположения

Участок радиоактивного загрязнения расположен в восточной части площадки П-5. Географические координаты представлены в таблице (Таблица 18).

Таблица 18. Географические координаты участка №15

| No vivo america | Географические координаты |        |      |    |         |     |
|-----------------|---------------------------|--------|------|----|---------|-----|
| № участка       |                           | Широта |      |    | Долгота |     |
| 15              | 50                        | 27     | 10,4 | 77 | 48      | 3,6 |

#### Характеристика источника радиационного загрязнения

След радиоактивных выпадений от воздушных ядерных взрывов.

#### Экологические характеристики объекта

На объекте наиболее показательным техногенным радионуклидом является <sup>239+240</sup>Pu (Рисунок 18).

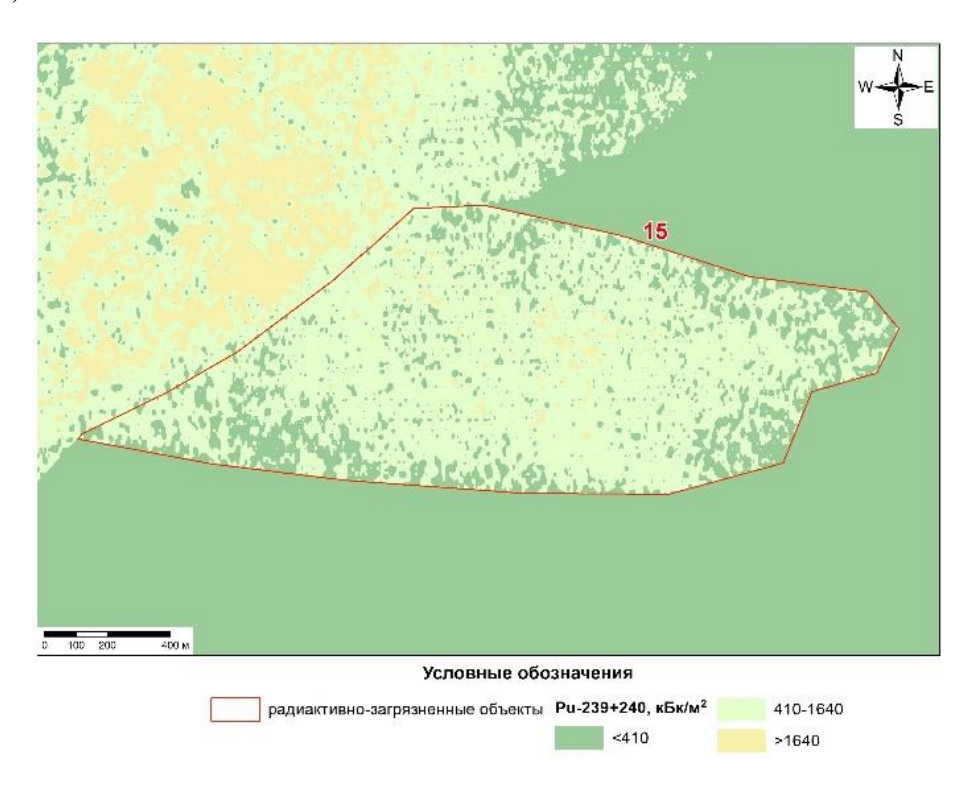


Рисунок 18. Карта площадного распределения <sup>239+240</sup>Ри на участке №15

Диапазон площадных активностей основных техногенных радионуклидов, кБк/м<sup>2</sup>:

- $\bullet^{241}$ Am:  $<4,9\times10^2$ ;
- $^{137}$ Cs:  $< 75 2.6 \times 10^2$ ;
- $^{90}$ Sr:  $<1,2\times10^2-2,3\times10^2$ ;
- $\bullet$  <sup>239+240</sup>Pu: <4,1×10<sup>2</sup> 1,5×10<sup>3</sup>.

Площадь радиоактивного загрязнения, превышающая значения, указанные в Критериях оценки экологической обстановки территорий, составляет порядка  $1.1 \times 10^6$  м<sup>2</sup>. В тоже время объем радиоактивного материала, составляет порядка  $5.7 \times 10^4$  м<sup>3</sup>.

#### Место расположения

Участок радиоактивного загрязнения расположен в северной части площадки П-2. Географические координаты представлены в таблице (Таблица 19).

Таблица 19. Географические координаты участка №16

| Ī | No vinoceico | Географические координаты |    |      |    |         |      |  |
|---|--------------|---------------------------|----|------|----|---------|------|--|
|   | № участка    | широта                    |    |      |    | Долгота |      |  |
| Ī | 16           | 50                        | 23 | 02,6 | 77 | 48      | 18,6 |  |

#### Характеристика источника радиационного загрязнения

Эпицентр ядерного испытания с образованием воронки.

#### Экологические характеристики объекта

На участке наиболее показательным техногенным радионуклидом является  $^{239+240}$ Pu (Рисунок 19).

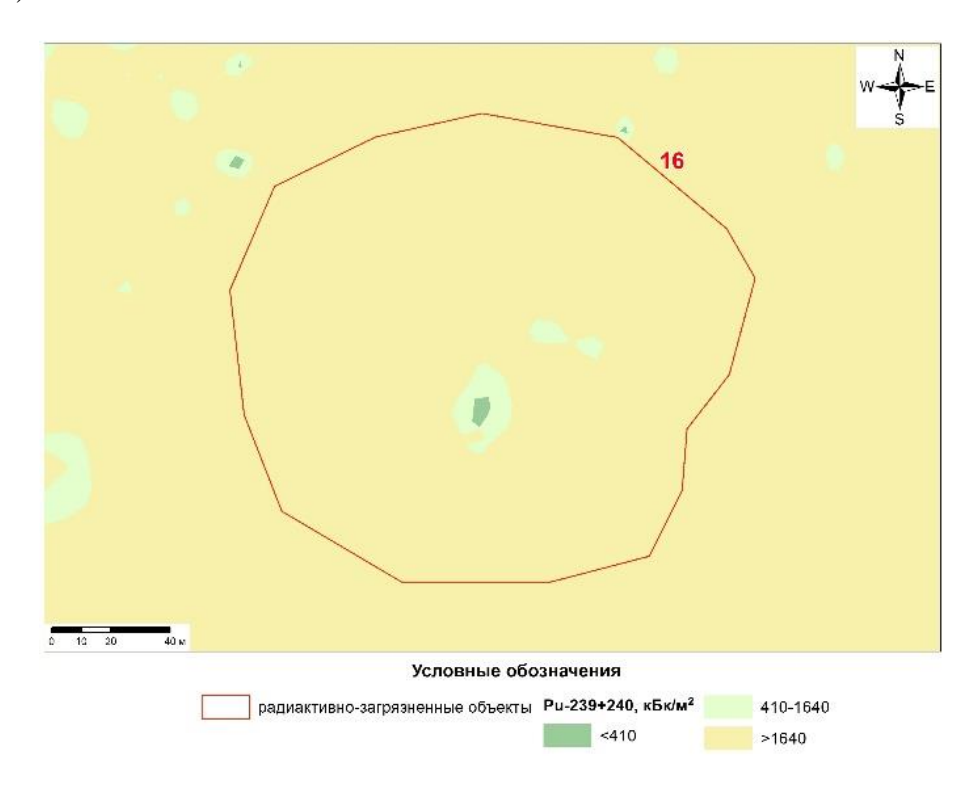


Рисунок 19. Карта площадного распределения <sup>239+240</sup>Pu на участке №16

Диапазон площадных активностей основных техногенных радионуклидов, кБк/м<sup>2</sup>:

- $\bullet^{241}$ Am:  $<4.9\times10^2-1.3\times10^3$ :
- $^{137}$ Cs:  $< 75 7.7 \times 10^2$ ;
- $^{90}$ Sr:  $<1,2\times10^2-8,5\times10^2$ ;
- $\bullet$  <sup>239+240</sup>Pu: <4,1×10<sup>2</sup> 3,5×10<sup>4</sup>.

Площадь радиоактивного загрязнения, превышающая значения, указанные в Критериях оценки экологической обстановки территорий, составляет порядка  $2.2 \times 10^4$  м<sup>2</sup>. В тоже время объем радиоактивного материала, составляет порядка  $5.4 \times 10^3$  м<sup>3</sup>.

#### Место расположения

Участок радиоактивного загрязнения расположен в северной части зоны пересечения площадок П-2 и П-7. Географические координаты представлены в таблице (Таблица 20).

Таблица 20. Географические координаты участка №17

| No vivo ozvio | Географические координаты |    |      |         |    |      |
|---------------|---------------------------|----|------|---------|----|------|
| № участка     | Широта                    |    |      | Долгота |    |      |
| 17            | 50                        | 22 | 55,0 | 77      | 49 | 11,8 |

#### Характеристика источника радиационного загрязнения

Эпицентр ядерного испытания с низким коэффициентом реализации ядерной реакции, не приведший к значительным нарушениям рельефа.

#### Экологические характеристики объекта

На участке наиболее показательным техногенным радионуклидом является  $^{239+240}$ Pu (Рисунок 20).

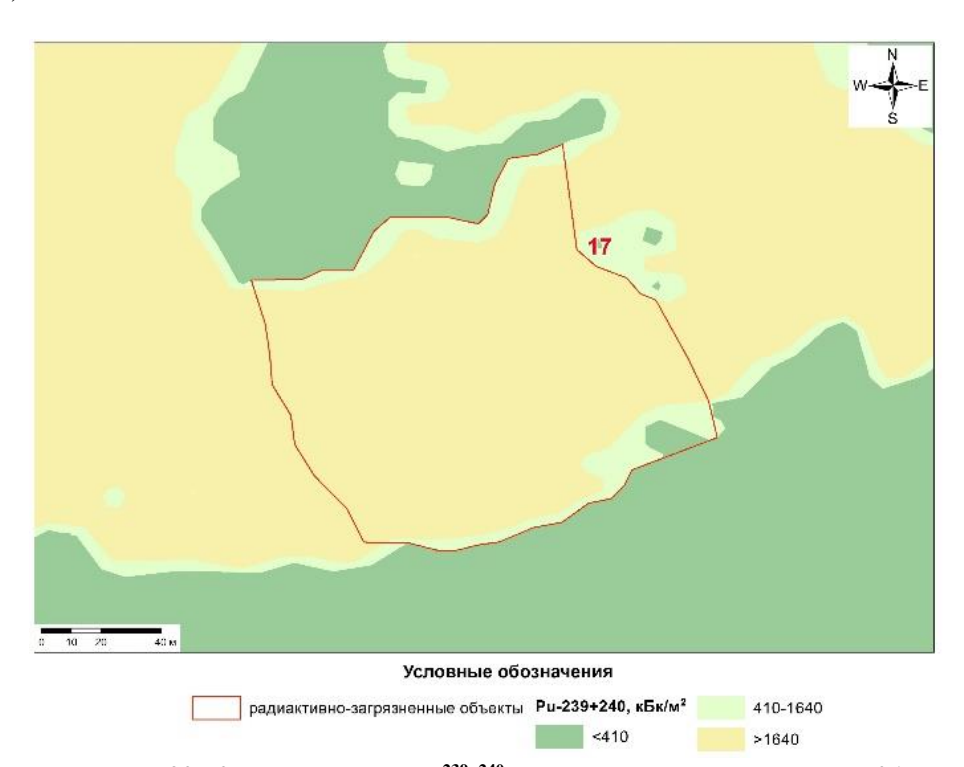


Рисунок 20. Карта площадного <sup>239+240</sup>Ри распределения на участке №17

Диапазон площадных активностей основных техногенных радионуклидов, кБк/м<sup>2</sup>:

- $\bullet$  <sup>241</sup>Am:  $<4,9\times10^2-1,1\times10^5$ ;
- <sup>137</sup>Cs: <75;
- $^{90}$ Sr: <1,2×10<sup>2</sup>;
- $^{239+240}$ Pu:  $<4,1\times10^2-6,0\times10^5$ .

Площадь радиоактивного загрязнения, превышающая значения, указанные в Критериях оценки экологической обстановки территорий, составляет порядка  $1,2\times10^4$  м<sup>2</sup>. В тоже время объем радиоактивного материала, составляет порядка  $3,6\times10^3$  м<sup>3</sup>.

#### Место расположения

Участок радиоактивного загрязнения расположен в северной части зоны пересечения площадок П-2 и П-7. Географические координаты представлены в таблице (Таблица 21).

Таблица 7. Географические координаты участка №18

| No vingerica | Географические координаты |        |      |    |         |      |
|--------------|---------------------------|--------|------|----|---------|------|
| № участка    |                           | Широта |      |    | Долгота |      |
| 18           | 50                        | 22     | 54,4 | 77 | 49      | 24,6 |

#### Характеристика источника радиационного загрязнения

Эпицентр ядерного испытания с низким коэффициентом реализации ядерной реакции, не приведший к значительным нарушениям рельефа.

#### Экологические характеристики объекта

На участке наиболее показательным техногенным радионуклидом является <sup>239+240</sup>Pu (Рисунок 21).

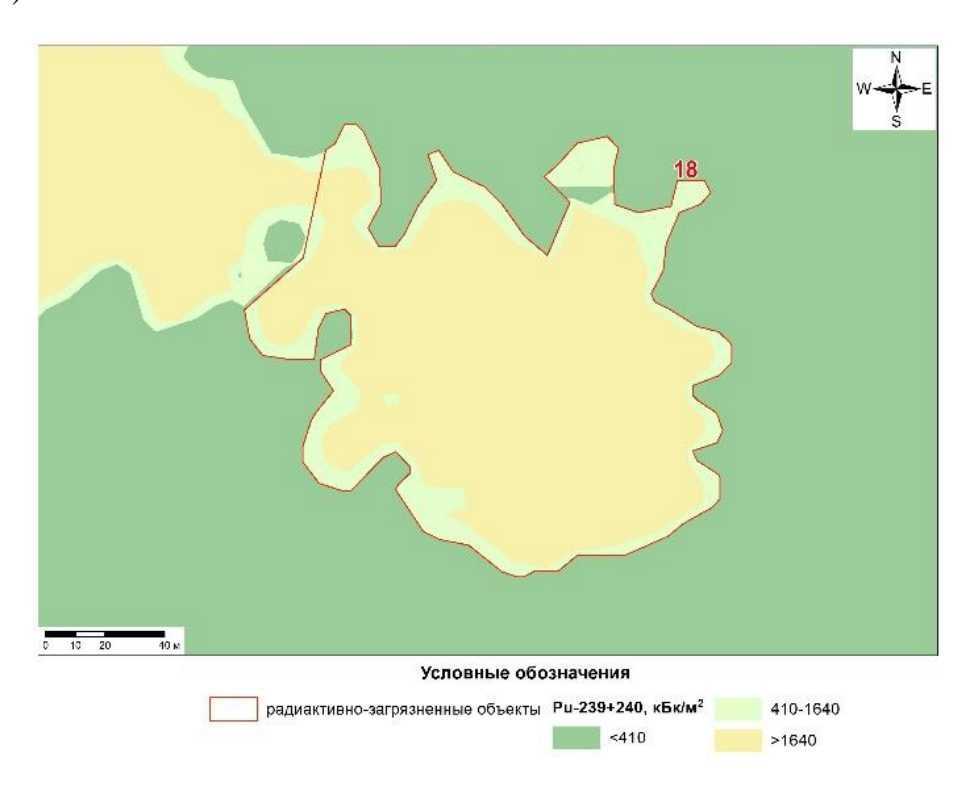


Рисунок 21. Карта площадного распределения <sup>239+240</sup>Pu на участке №18

Диапазон площадных активностей основных техногенных радионуклидов, кБк/м<sup>2</sup>:

- $\bullet$  <sup>241</sup>Am:  $<4,9\times10^2-5,2\times10^4$ ;
- $^{137}$ Cs:  $< 75 1,9 \times 10^3$ ;
- $^{90}$ Sr:  $<1,2\times10^2-1,7\times10^3$ ;
- $^{239+240}$ Pu:  $<4.1\times10^2-5.2\times10^5$ .

Площадь радиоактивного загрязнения, превышающая значения, указанные в Критериях оценки экологической обстановки территорий, составляет порядка  $1.5 \times 10^4$  м<sup>2</sup>. В тоже время объем радиоактивного материала, составляет порядка  $5.9 \times 10^3$  м<sup>3</sup>.

#### Место расположения

Участок радиоактивного загрязнения расположен в центральной части площадки П-2. Географические координаты представлены в таблице (Таблица 22).

Таблица 22. Географические координаты участка №19

| No vivo omvo |                | Географические координаты |      |    |    |      |
|--------------|----------------|---------------------------|------|----|----|------|
| № участка    | широта Долгота |                           |      |    |    |      |
| 19           | 50             | 22                        | 35,3 | 77 | 48 | 28,1 |

#### Характеристика источника радиационного загрязнения

Эпицентр ядерного испытания с образованием воронки.

#### Экологические характеристики объекта

На участке наиболее показательным техногенным радионуклидом является  $^{239+240}$ Pu (Рисунок 22).

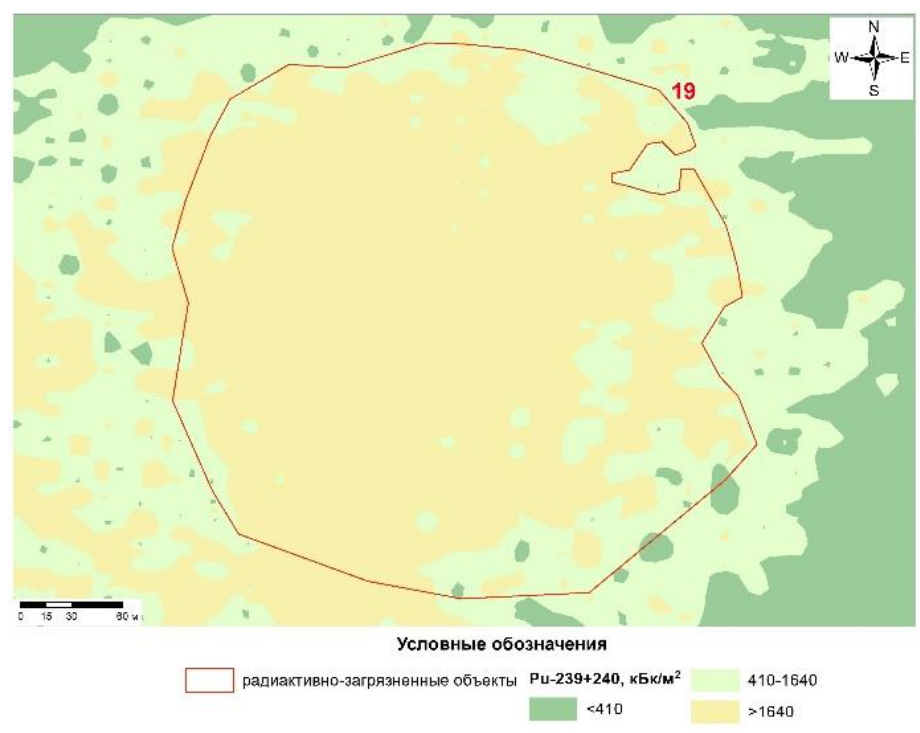


Рисунок 22. Карта площадного распределения <sup>239+240</sup>Pu на участке №19

Диапазон площадных активностей основных техногенных радионуклидов, кБк/м<sup>2</sup>:

- $\bullet^{241}$ Am:  $<4.9\times10^2-2.1\times10^3$ ;
- $^{137}$ Cs:  $< 75 1.4 \times 10^4$ :
- $^{90}$ Sr:  $<1,2\times10^2-1,2\times10^4;$
- $\bullet$  <sup>239+240</sup>Pu: <4,1×10<sup>2</sup> 7,2×10<sup>4</sup>.

Площадь радиоактивного загрязнения, превышающая значения, указанные в Критериях оценки экологической обстановки территорий, составляет порядка  $8.9 \times 10^4$  м<sup>2</sup>. В тоже время объем радиоактивного материала, составляет порядка  $5.2 \times 10^4$  м<sup>3</sup>.

#### Место расположения

Участок радиоактивного загрязнения расположен в западной части зоны пересечения площадок П-2 и П-7. Географические координаты представлены в таблице (Таблица 23).

Таблица 23. Географические координаты участка №20

| No vivo omvo |                |    | Географические координаты |    |    |      |  |
|--------------|----------------|----|---------------------------|----|----|------|--|
| № участка    | Широта Долгота |    |                           |    |    |      |  |
| 20           | 50             | 22 | 43,6                      | 77 | 49 | 01,3 |  |

#### Характеристика источника радиационного загрязнения

Эпицентр ядерного испытания с образованием воронки.

#### Экологические характеристики объекта

На участке наиболее показательным техногенным радионуклидом является  $^{239+240}$ Pu (Рисунок 23).

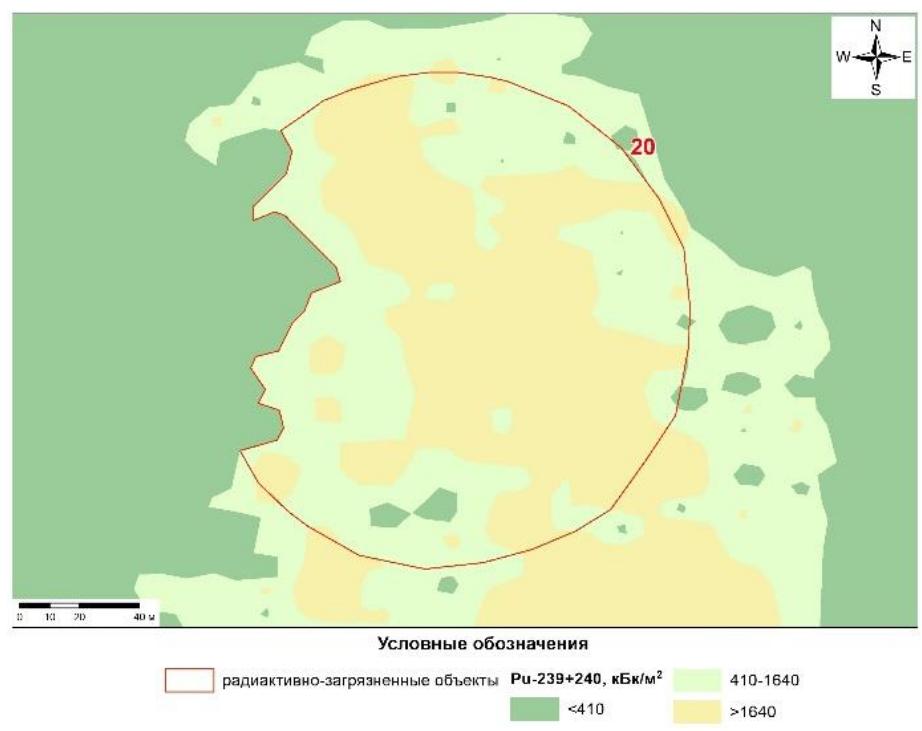


Рисунок 23. Карта площадного <sup>239+240</sup>Ри распределения на участке №20

Диапазон площадных активностей основных техногенных радионуклидов, кБк/м<sup>2</sup>:

- $\bullet$ <sup>241</sup>Am:  $<4,9\times10^2-6,2\times10^2$ ;
- $^{137}$ Cs:  $< 75 9.1 \times 10^2$ :
- $^{90}$ Sr:  $<1,2\times10^2-7,8\times10^2;$
- $\bullet$  <sup>239+240</sup>Pu: <4,1×10<sup>2</sup> 1,0×10<sup>4</sup>.

Площадь радиоактивного загрязнения, превышающая значения, указанные в Критериях оценки экологической обстановки территорий, составляет порядка  $1.9 \times 10^4$  м<sup>2</sup>. В тоже время объем радиоактивного материала, составляет порядка  $7.6 \times 10^3$  м<sup>3</sup>.

#### Место расположения

Участок радиоактивного загрязнения расположен в западной части зоны пересечения площадок П-2 и П-7. Географические координаты представлены в таблице (Таблица 24).

Таблица 24. Географические координаты участка №21

| No vivo america | Географические координаты |        |         |    |    |      |
|-----------------|---------------------------|--------|---------|----|----|------|
| № участка       |                           | Широта | Долгота |    |    |      |
| 21              | 50                        | 22     | 36,4    | 77 | 48 | 57,4 |

#### Характеристика источника радиационного загрязнения

Эпицентр ядерного испытания с образованием воронки.

#### Экологические характеристики объекта

На участке наиболее показательным техногенным радионуклидом является <sup>239+240</sup>Pu (Рисунок 24).

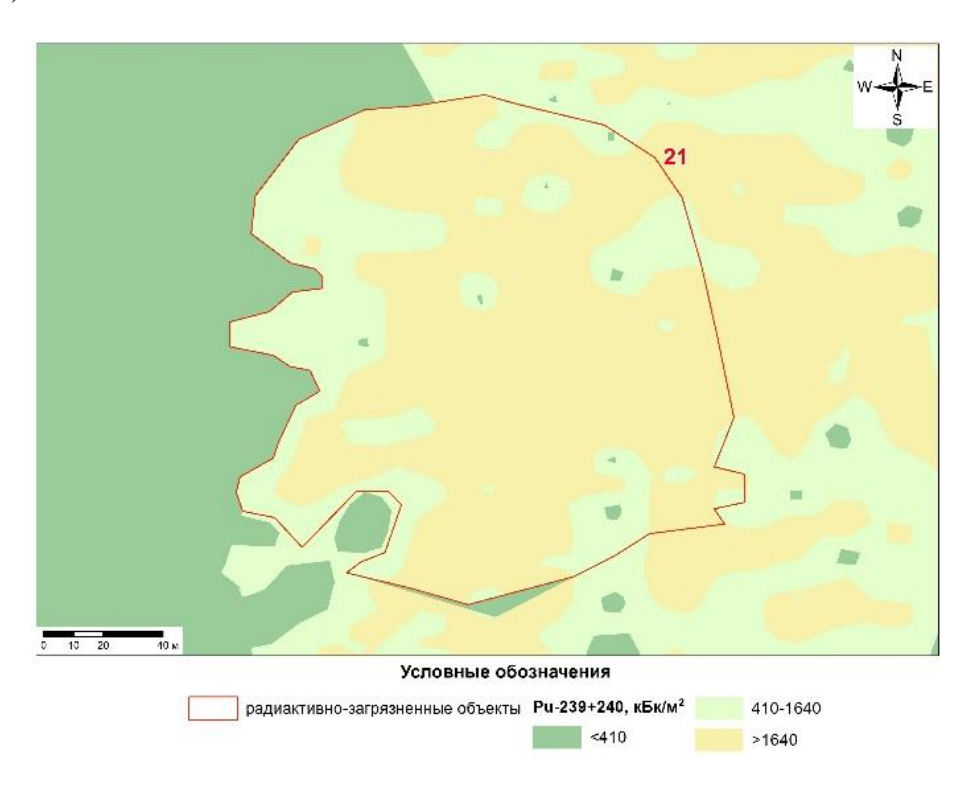


Рисунок 24. Карта площадного распределения <sup>239+240</sup>Ри на участке №21

Диапазон площадных активностей основных техногенных радионуклидов, кБк/м<sup>2</sup>:

- $\bullet^{241}$ Am:  $<4.9\times10^2-2.8\times10^3$ :
- $^{137}$ Cs:  $< 75 1.3 \times 10^3$ ;
- $^{90}$ Sr:  $<1,2\times10^2-1,0\times10^3$ ;
- $\bullet$  <sup>239+240</sup>Pu: <4,1×10<sup>2</sup> 9,8×10<sup>3</sup>.

Площадь радиоактивного загрязнения, превышающая значения, указанные в Критериях оценки экологической обстановки территорий, составляет порядка  $2.1 \times 10^4$  м<sup>2</sup>. В тоже время объем радиоактивного материала, составляет порядка  $4.5 \times 10^3$  м<sup>3</sup>.

#### Место расположения

Участок радиоактивного загрязнения расположен в центральной части зоны пересечения площадок П-2 и П-7. Географические координаты представлены в таблице (Таблица 25).

Таблица 25. Географические координаты участка №22

| № участка |           | Географические координаты |    |      |         |    |      |
|-----------|-----------|---------------------------|----|------|---------|----|------|
|           | № участка | Широта                    |    |      | Долгота |    |      |
|           | 22        | 50                        | 22 | 46,2 | 77      | 49 | 50,4 |

#### Характеристика источника радиационного загрязнения

Эпицентр ядерного испытания с низким коэффициентом реализации ядерной реакции, не приведший к значительным нарушениям рельефа.

#### Экологические характеристики объекта

На участке наиболее показательным техногенным радионуклидом является <sup>239+240</sup>Pu (Рисунок 25).

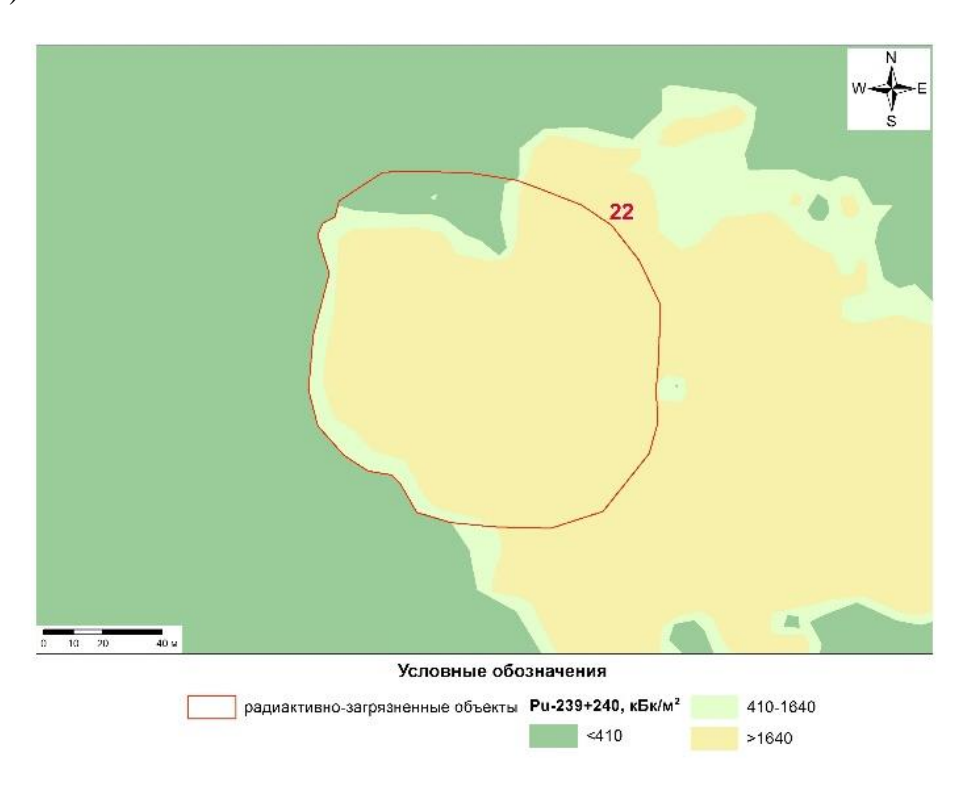


Рисунок 25. Карта площадного распределения <sup>239+240</sup>Pu на участке №22

Диапазон площадных активностей основных техногенных радионуклидов, кБк/м<sup>2</sup>:

- $\bullet$  <sup>241</sup>Am: <4,9×10<sup>2</sup> 2,8×10<sup>3</sup>;
- $^{137}$ Cs:  $< 75 1,3 \times 10^3$ ;
- $^{90}$ Sr:  $<1,2\times10^2-1,0\times10^3$ ;
- $\bullet$  <sup>239+240</sup>Pu: <4.1×10<sup>2</sup> 9.8×10<sup>3</sup>.

Площадь радиоактивного загрязнения, превышающая значения, указанные в Критериях оценки экологической обстановки территорий, составляет порядка  $2.1 \times 10^4$  м<sup>2</sup>. В тоже время объем радиоактивного материала, составляет порядка  $2.2 \times 10^3$  м<sup>3</sup>.

#### Место расположения

Участок радиоактивного загрязнения расположен в центральной части зоны пересечения площадок П-2 и П-7. Географические координаты представлены в таблице (Таблица 26).

Таблица 26. Географические координаты участка №23

| No vivo amino |    |        | Географические координаты |    |         |      |  |  |
|---------------|----|--------|---------------------------|----|---------|------|--|--|
| № участка     |    | Широта |                           |    | Долгота |      |  |  |
| 23            | 50 | 22     | 26,2                      | 77 | 49      | 17,4 |  |  |

#### Характеристика источника радиационного загрязнения

Эпицентр ядерного испытания с низким коэффициентом реализации ядерной реакции, не приведший к значительным нарушениям рельефа.

#### Экологические характеристики объекта

На участке наиболее показательным техногенным радионуклидом является <sup>239+240</sup>Pu (Рисунок 26).

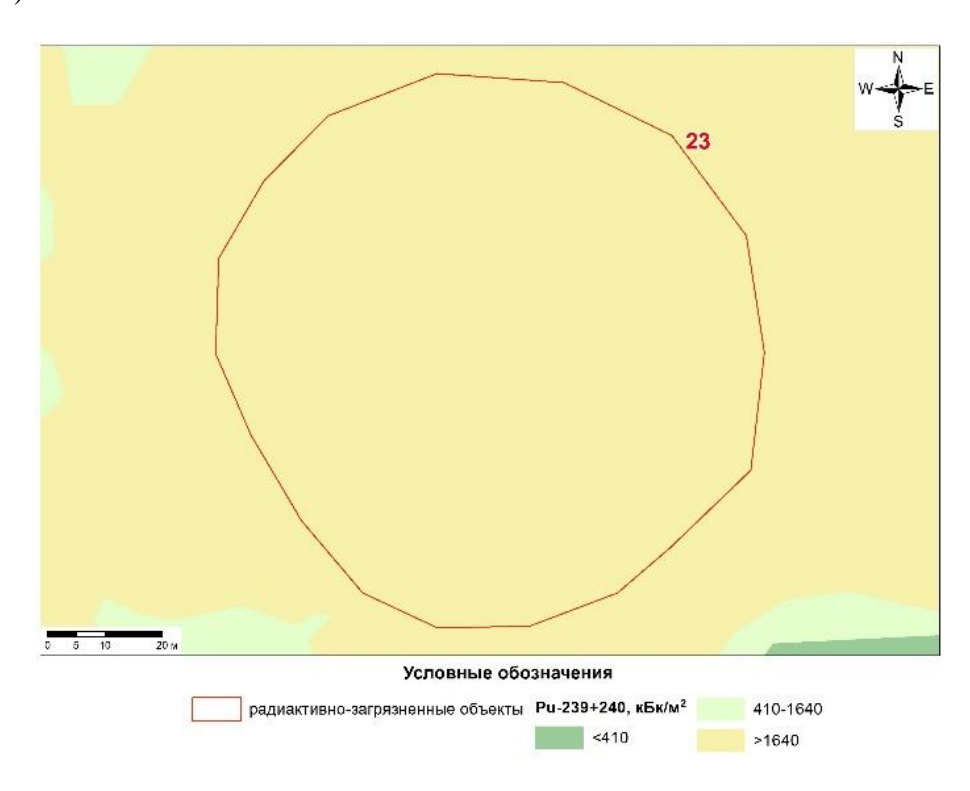


Рисунок 26. Карта площадного распределения <sup>239+240</sup>Pu на участке №23

Диапазон площадных активностей основных техногенных радионуклидов, кБк/м<sup>2</sup>:

- $\bullet$  <sup>241</sup>Am:  $<4.9\times10^2-9.3\times10^3$ :
- $^{137}$ Cs:  $< 75 2,9 \times 10^2$ ;
- $^{90}$ Sr:  $<1,2\times10^2-1,6\times10^2$ ;
- $\bullet$  <sup>239+240</sup>Pu: <4.1×10<sup>2</sup> 3.1×10<sup>4</sup>.

Площадь радиоактивного загрязнения, превышающая значения, указанные в Критериях оценки экологической обстановки территорий, составляет порядка  $7.1 \times 10^3$  м<sup>2</sup>. В тоже время объем радиоактивного материала, составляет порядка  $1.4 \times 10^3$  м<sup>3</sup>.

#### Место расположения

Участок радиоактивного загрязнения расположен в центральной часть площадки П-7. Географические координаты представлены в таблице (Таблица 27).

Таблица 27. Географические координаты участка №24

| No vivo omico |    |        | Географически | ие координаты |         |     |
|---------------|----|--------|---------------|---------------|---------|-----|
| № участка     |    | Широта |               |               | Долгота |     |
| 24            | 50 | 22     | 26,5          | 77            | 50      | 8,9 |

#### Характеристика источника радиационного загрязнения

Эпицентр ядерного испытания с образованием воронки.

#### Экологические характеристики объекта

На участке наиболее показательным техногенным радионуклидом является  $^{239+240}$ Pu (Рисунок 27).

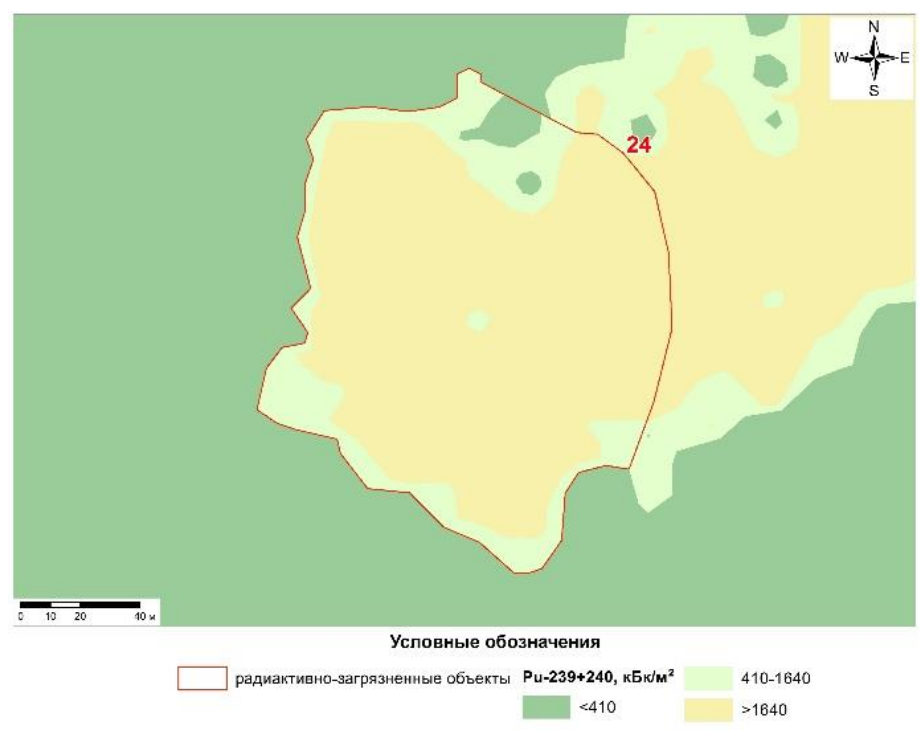


Рисунок 27. Карта площадного распределения <sup>239+240</sup>Pu на участке №24

Диапазон площадных активностей основных техногенных радионуклидов, кБк/м<sup>2</sup>:

- $\bullet$ <sup>241</sup>Am:  $<4,9\times10^2-7,5\times10^3$ ;
- $^{137}$ Cs:  $< 75 1.3 \times 10^3$ :
- $^{90}$ Sr:  $<1,2\times10^2-9,1\times10^2$ ;
- $^{239+240}$ Pu:  $<4,1\times10^2-6,0\times10^4$ .

Площадь радиоактивного загрязнения, превышающая значения, указанные в Критериях оценки экологической обстановки территорий, составляет порядка  $1,5 \times 10^4$  м<sup>2</sup>. В тоже время объем радиоактивного материала, составляет порядка  $9,1 \times 10^3$  м<sup>3</sup>.

#### Место расположения

Участок радиоактивного загрязнения расположен в юго-восточной части зоны пересечения площадок  $\Pi$ -2 и  $\Pi$ -7. Географические координаты представлены в таблице (Таблица 28).

Таблица 28. Географические координаты участка №25

| № участка | Географические координаты |        |      |         |    |      |  |  |  |
|-----------|---------------------------|--------|------|---------|----|------|--|--|--|
|           |                           | Широта |      | Долгота |    |      |  |  |  |
| 25        | 50                        | 22     | 20,5 | 77      | 49 | 45,2 |  |  |  |

#### Характеристика источника радиационного загрязнения

Эпицентр ядерного испытания с образованием воронки.

#### Экологические характеристики объекта

На участке наиболее показательным техногенным радионуклидом является  $^{239+240}$ Pu (Рисунок 28).

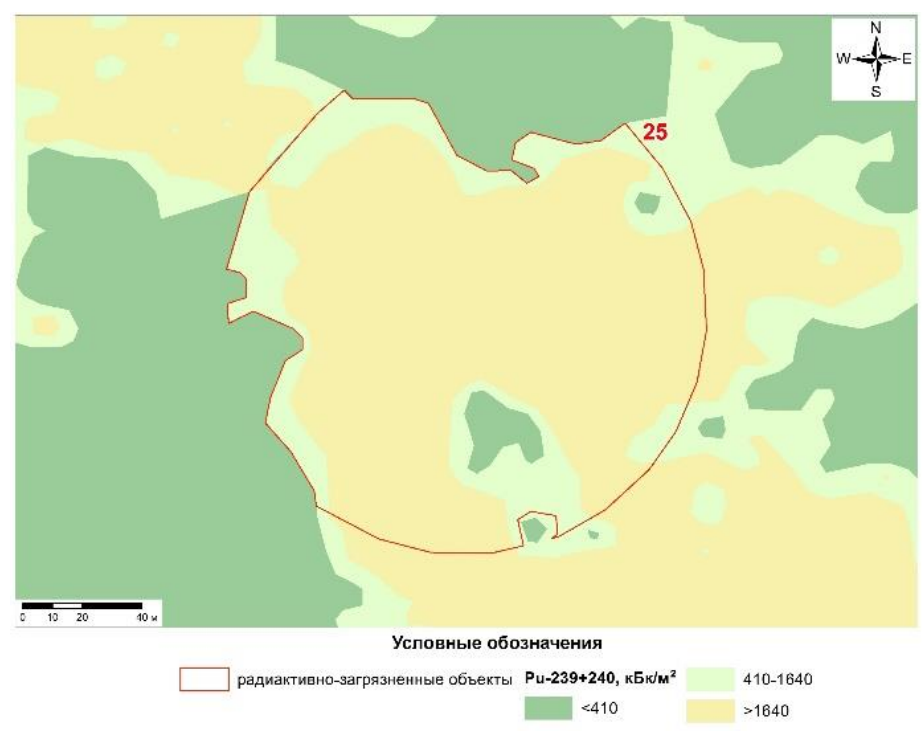


Рисунок 28. Карта площадного распределения <sup>239+240</sup>Pu на участке №25

Диапазон площадных активностей основных техногенных радионуклидов, кБк/м<sup>2</sup>:

- $\bullet$  <sup>241</sup>Am:  $<4.9\times10^2-3.4\times10^4$ ;
- $^{137}$ Cs:  $< 75 3, 1 \times 10^3$ ;
- $^{90}$ Sr:  $<1,2\times10^2-5,2\times10^2$ ;
- $\bullet$  <sup>239+240</sup>Pu: <4,1×10<sup>2</sup> 8,8×10<sup>4</sup>.

Площадь радиоактивного загрязнения, превышающая значения, указанные в Критериях оценки экологической обстановки территорий, составляет порядка  $1.8 \times 10^4$  м<sup>2</sup>. В тоже время объем радиоактивного материала, составляет порядка  $1.2 \times 10^4$  м<sup>3</sup>.

#### СПИСОК ИСПОЛЬЗОВАННЫХ ИСТОЧНИКОВ

- 1 Логачев В.А. и др. Ядерные испытания СССР. Семипалатинский полигон. Под ред. Логачева В.А.-Москва: ИздАТ, 1997 г.
- 2 Михайлов В.Н. и др. Испытание ядерного оружия и ядерные взрывы в мирных целях СССР. 1949—1990 гг. / Под ред. В.Н. Михайлова. Саров: РФЯЦ-ВНИИЭФ, 1996. 66 с.
- 3 Андрюшин И.А., Илькаев Р.И., Чернышев А.К. Общие характеристики и некоторые вопросы экологических последствий ядерных испытаний СССР. Труды РФЯЦ-ВНИИЭФ Том 1, Научно-исследовательское издание, Саров, 2001-637 с.
- 4 Сайбеков Т.С., Абылаев Ж.А. Атлас. Радиационная обстановка на территории Республики Казахстан с 1954 по 1994 годы. Алматы: Министерство экологии и биоресурсов РК, 1997- Т.16, Семипалатинская область. 400 с.
- 5 Бюллетень центра общественной информации по атомной энергии. -Москва. №12 (стр56). 1998 г.
- 6 Михайлов В.Н. и др. Ядерные испытания СССР. Гидроядерные эксперименты. Инвентаризация затрат плутония. Под ред. В.Н. Михайлова. Саров: РФЯЦ-ВНИИЭФ, ФТЦ, Саров, 1998, 21 с.
- 7 Логачев В.А. и др. Ядерные испытания СССР. Современное радиоэкологическое состояние полигонов. Под рук. В.А. Логачева. Москва: ИздАТ, 2002 г.-639 с.

# Республиканское государственное предприятие на праве хозяйственного ведения «НАЦИОНАЛЬНЫЙ ЯДЕРНЫЙ ЦЕНТР РЕСПУБЛИКИ КАЗАХСТАН» Филиал «Институт радиационной безопасности и экологии»

# РАДИОЛОГИЧЕСКИЙ ПАСПОРТ ИСПЫТАТЕЛЬНОЙ ПЛОЩАДКИ «4A»

# 1. Общая информация об испытательной площадке

**Название:** «4а» (Рисунок 1).

Предназначение: проведение испытаний боевых радиоактивных веществ.

Административное месторасположение расположение: Павлодарская область.

**Географические координаты:** 50°33′57′′ с. ш. 77°46′14′′ в. д.

Площадь: ~40 км<sup>2</sup>. Периметр: 26,6 км.

Условия проведения испытаний: испытаний боевых радиоактивных веществ.

Период проведения ядерных взрывов в мирных целях: с 1953 г. по 1957 г. [1, 2, 3, 4].

Количество испытаний боевых радиоактивных веществ: не установлено.

Характеристика источника радиоактивного загрязнения объектов окружающей среды:

• распыление жидких или порошкообразных радиоактивных рецептур.

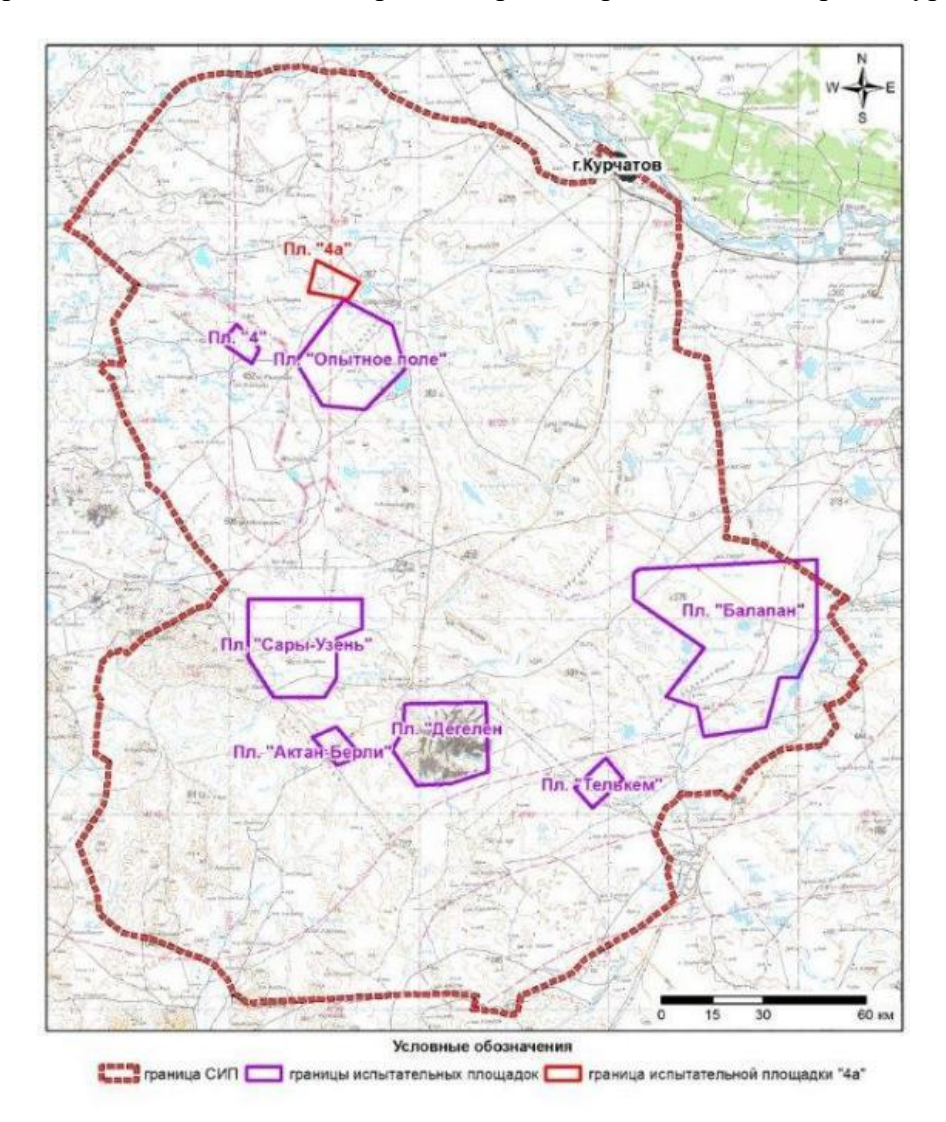


Рисунок 1. Карта-схема расположения испытательной площадки «4a» на территории СИП

Историческая информация о хронологии испытаний боевых радиоактивных веществ на территории испытательной площадки «4а» в открытых литературных источниках отсутствует.

# 2. Текущая радиоэкологическая ситуация окружающей среды

Актуальная информация о радиоэкологической обстановке окружающей среды испытательной площадки «4а» получена в результате проведения комплексного экологического обследования земель Семипалатинского испытательного полигона в рамках выполнения работ по бюджетной программе 036 «Развитие атомных и энергетических проектов».

Значения удельной активности радионуклидов в почвенном покрове сравнивались со значениями, установленными в приложении 23 Гигиенических нормативов к обеспечению радиационной безопасности, утвержденных приказом Министра здравоохранения Республики Казахстан от 2 августа 2022 года № ҚР ДСМ-71 «Об утверждении гигиенических нормативов к обеспечению радиационной безопасности».

Значения площадной активности радионуклидов в почвенном покрове сравнивались со значениями, установленными в приложении 13 Критериев оценки экологической обстановки территорий, утвержденных приказом и.о. Министра экологии, геологии и природных ресурсов Республики Казахстан от 13 августа 2021 года № 327 «Об утверждении Критериев оценки экологической обстановки территорий».

Значения удельной активности радионуклидов в воде сравнивались со значениями уровней вмешательства, установленными в приложении 19 Гигиенических нормативов к обеспечению радиационной безопасности, утвержденных приказом Министра здравоохранения Республики Казахстан от 2 августа 2022 года № ҚР ДСМ-71 «Об утверждении гигиенических нормативов к обеспечению радиационной безопасности».

Значения объемной активности радионуклидов в воздухе сравнивались со значениями допустимой среднегодовой объемной активности, установленными для категории «население» в приложении 4 Гигиенических нормативов к обеспечению радиационной безопасности, утвержденных приказом Министра здравоохранения Республики Казахстан от 2 августа 2022 года № ҚР ДСМ-71 «Об утверждении гигиенических нормативов к обеспечению радиационной безопасности».

Значения удельной активности радионуклидов в объектах животного мира сравнивались со значениями допустимых уровней, установленными в приложении 5 Гигиенических нормативов к обеспечению радиационной безопасности, утвержденных приказом Министра здравоохранения Республики Казахстан от 2 августа 2022 года № ҚР ДСМ-71 «Об утверждении гигиенических нормативов к обеспечению радиационной безопасности».

#### 2.1 Радиоактивное загрязнение почвы

Радиационные параметры на поверхности почвенного покрова на территории испытательной площадки:

- $\bullet$  диапазон значений мощности эквивалентной дозы гамма-излучения на поверхности почвы: 0,1-10 мЗв/ч (предел измерения используемой аппаратуры -10 мЗв/ч);
- диапазон значений плотности потока бета-частиц:  $<10 >1,0 \times 10^4$  част/(см<sup>2</sup>×мин) (предел измерения используемой аппаратуры 10 част/(см<sup>2</sup>×мин);
  - диапазон значений плотности потока альфа-частиц: нет измерений.

**Основные техногенные радионуклиды:** <sup>241</sup>Am, <sup>137</sup>Cs, <sup>90</sup>Sr, <sup>239+240</sup>Pu.

- диапазон удельных активностей основных техногенных радионуклидов, Бк/кг:
  - $^{241}$ Am:  $< 0.4 4.0 \times 10^4$ :
  - $^{137}$ Cs:  $<0.2-4.5\times10^5$ ;
  - $^{90}$ Sr:  $<0.2-7.9\times10^8$ ;
  - $^{239+240}$ Pu:  $<1,0-3,0\times10^5$ .

**Количество радиационно-загрязненных участко**в: 40 участков (схема расположения – Рисунок 2).

**Количество радиационно-опасных объектов:** 40 объектов (схема расположения – Рисунок 3, радиационные характеристики – Таблица 1).

Диапазон значений площадной активности основных техногенных радионуклидов,  $\kappa E \kappa / m^2$ :

- $\bullet$  <sup>241</sup>Am <4,9×10<sup>2</sup> 4,3×10<sup>3</sup>;
- $^{137}$ Cs  $< 75 1.3 \times 10^5$ :
- $\bullet$  90Sr <1,2×10<sup>2</sup>- 9,0×10<sup>6</sup>:
- $\bullet$  <sup>239+240</sup>Pu  $< 4,1 \times 10^2 4,7 \times 10^4$ .

Площадь радиоактивного загрязнения,  $M^2$ : 1,1×10<sup>6</sup>.

**Средняя глубина залегания радионуклидов, м:** 0,1 м (для участков с уровнем загрязнения низкоактивных PAO); 0,3 (для участков с уровнем загрязнения среднеактивных PAO).

Плотность почвы,  $\Gamma/\text{см}^3$ : 1,3.

**Объем радиоактивного грунта, м<sup>3</sup>:**  $1,3\times10^5$ .

Запас радионуклидов (по максимальным значениям удельных активностей радионуклидов в почве), Бк:  $^{241}$ Am  $-5.2\times10^4; ^{137}$ Cs  $-5.9\times10^5; ^{90}$ Sr  $-1.2\times10^9; ^{239+240}$ Pu  $-3.9\times10^5.$ 

По результатам пешеходной гамма-спектрометрической съемки на территории испытательной площадки «4» выявлены 15 радиационно-загрязненных участков.

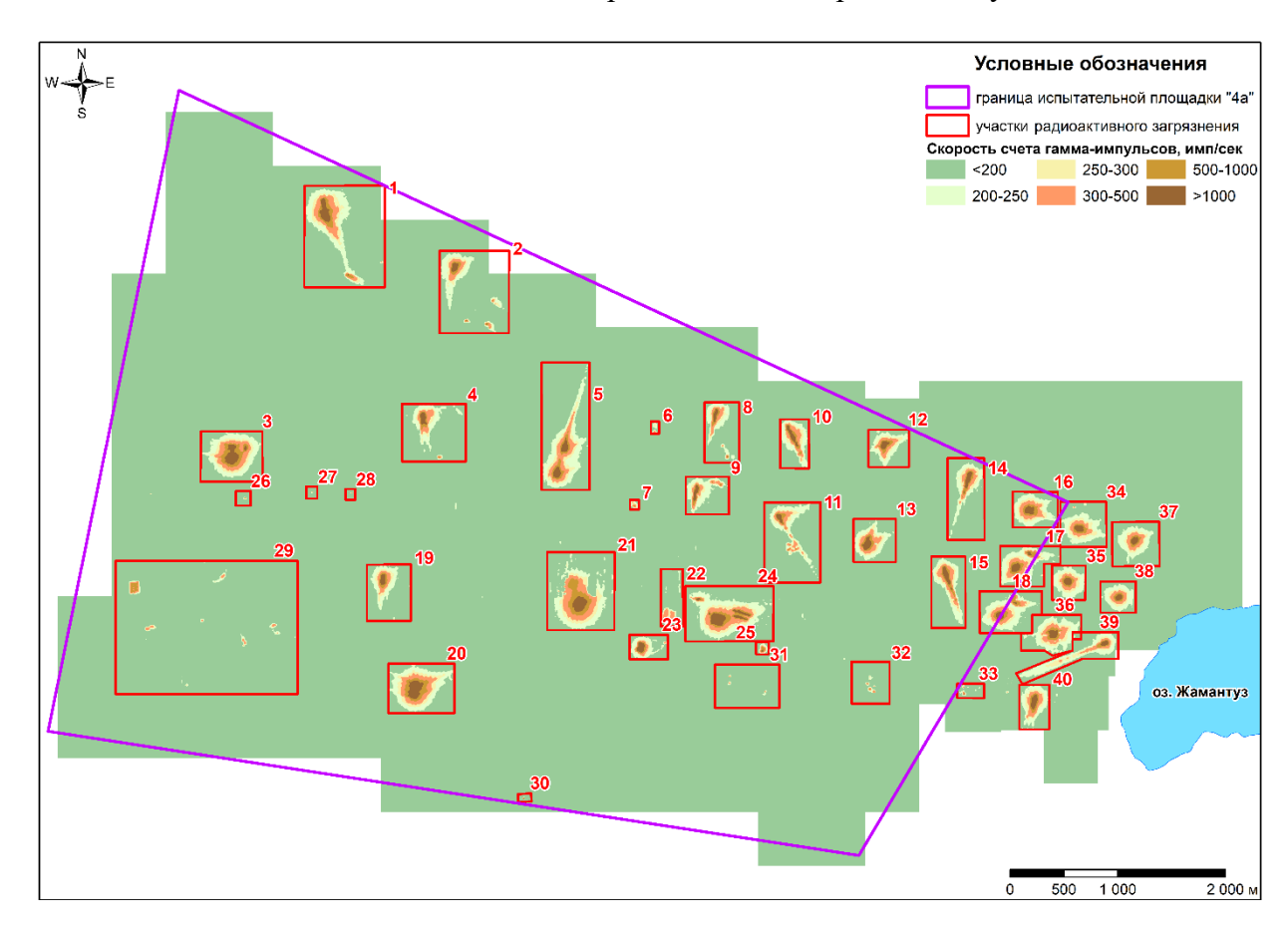


Рисунок 2. Карта-схема расположения радиационно-загрязненных участков на площадке «4a»

Анализ результатов лабораторных данных показал, что радиоактивное загрязнение на всех 40 участках соответствует уровню низкоактивных и среднеактивных радиоактивных отходов. Дополнительная информация об радиоактивном загрязнении почвы радиационно-загрязненных участков испытательной площадки «4» представлена в приложении Дополнительная информация о радиоактивном загрязнении почвы радиационно-загрязненных участков испытательной площадки «4а» представлена в приложении (ПРИЛОЖЕНИЕ 1).



Рисунок 3. Карта-схема расположения радиационно-опасных объектов на площадке «4a»

Таблица 8. Информация о радиоактивном загрязнении в поверхностном слое почвы радиационно-опасных объектов площадки «4a»

| Таблица 8. Информация о радиоактивном загрязнении в пот |            |                     |                          |                     |                     | поверхностном слое почвы радиат |                     |                                    | иционно-опасных ооъектов площадк<br>239+240 <b>Pu</b> |                     |                      |                     |                     |  |
|---|------------|---------------------|--------------------------|---------------------|---------------------|---------------------------------|---------------------|------------------------------------|---|---------------------|----------------------|---------------------|---------------------|--|
| №   | № участка  | As                  |                          | As                  |                     | As                              |                     |                                    | As 241Am  |                     |                      |                     |                     |  |
| п/п   | лу участка | кБк/м <sup>2</sup>  | V, <b>m</b> <sup>3</sup> | А, Бк               | А5,<br>кБк/м²       | V, <b>m</b> <sup>3</sup>        | А, Бк               | А <b>s</b> ,<br>кБк/м <sup>2</sup> | V, <b>m</b> <sup>3</sup>                              | А, Бк               | Аs,<br>кБк/м²        | V, m <sup>3</sup>   | А, Бк               |  |
| 1   | Участок 1  | $2,3 \times 10^{6}$ | $6,7 \times 10^3$        | $1,4 \times 10^7$   | $4,3 \times 10^{2}$ | $6,7 \times 10^3$               | $1,4 \times 10^3$   | $3,3\times10^{3}$                  | $6,7 \times 10^3$                                     | $1,1 \times 10^4$   | <4,9×10 <sup>2</sup> | -                   | -                   |  |
| 2   | Участок 2  | $1,4 \times 10^6$   | $2,2\times10^{3}$        | $4,8 \times 10^6$   | $1,6 \times 10^3$   | $2,2\times10^{3}$               | $5,2 \times 10^3$   | $5,1\times10^{2}$                  | $2,2\times10^{3}$                                     | $1,7 \times 10^3$   | <4,9×10 <sup>2</sup> | -                   | -                   |  |
| 3   | Участок 3  | $4,1\times10^{6}$   | $7,3 \times 10^3$        | $2,3\times10^{7}$   | $7,1\times10^{2}$   | $7,3 \times 10^3$               | $2,4 \times 10^3$   | 6,8×10 <sup>3</sup>                | $7,3\times10^3$                                       | $2,3 \times 10^{4}$ | 8,7×10 <sup>2</sup>  | -                   | $2,9 \times 10^3$   |  |
| 4   | Участок 4  | $9,5 \times 10^{5}$ | $2,2\times10^{3}$        | $4,2 \times 10^6$   | $1,4 \times 10^{2}$ | $2,2\times10^{3}$               | $4,7 \times 10^{2}$ | <4,1×10 <sup>2</sup>               | -   | =                   | <4,9×10 <sup>2</sup> | -                   | -                   |  |
| 5   | Участок 5  | 2,3×10 <sup>6</sup> | 8,6×10 <sup>3</sup>      | 2,1×10 <sup>7</sup> | 7,6×10 <sup>2</sup> | 8,6×10 <sup>3</sup>             | 2,5×10 <sup>3</sup> | 1,4×10 <sup>3</sup>                | 8,6×10 <sup>3</sup>                                   | 4,7×10 <sup>3</sup> | <4,9×10 <sup>2</sup> | -                   | -                   |  |
| 6   | Участок 6  | 2,5×10 <sup>4</sup> | 1,3×10 <sup>1</sup>      | 2,5×10 <sup>5</sup> | <75                 | -                               | -                   | <4,1×10 <sup>2</sup>               | -   | -                   | <4,9×10 <sup>2</sup> | -                   | -                   |  |
| 7   | Участок 7  | 4,1×10 <sup>4</sup> | 1,2×10 <sup>2</sup>      | 4,1×10 <sup>5</sup> | $2,2\times10^{2}$   | 1,2×10 <sup>2</sup>             | $2,2\times10^{3}$   | <4,1×10 <sup>2</sup>               | -   | -                   | <4,9×10 <sup>2</sup> | -                   | -                   |  |
| 8   | Участок 8  | 1,0×10 <sup>6</sup> | 8,4×10 <sup>3</sup>      | 9,9×10 <sup>6</sup> | 1,0×10 <sup>3</sup> | 8,4×10 <sup>3</sup>             | $3,5 \times 10^3$   | 4,7×10 <sup>2</sup>                | 8,4×10 <sup>3</sup>                                   | 1,6×10 <sup>3</sup> | <4,9×10 <sup>2</sup> | -                   | -                   |  |
| 9   | Участок 9  | 6,6×10 <sup>5</sup> | 1,5×10 <sup>3</sup>      | 2,4×10 <sup>6</sup> | 3,3×10 <sup>2</sup> | 1,5×10 <sup>3</sup>             | 1,1×10 <sup>3</sup> | <4,1×10 <sup>2</sup>               | -   | -                   | <4,9×10 <sup>2</sup> | -                   | -                   |  |
| 10  | Участок 10 | 1,3×10 <sup>6</sup> | $3,9 \times 10^3$        | 7,7×10 <sup>6</sup> | 1,7×10 <sup>2</sup> | 3,9×10 <sup>3</sup>             | 5,8×10 <sup>2</sup> | 1,6×10 <sup>3</sup>                | 3,9×10 <sup>3</sup>                                   | 5,3×10 <sup>3</sup> | <4,9×10 <sup>2</sup> | -                   | -                   |  |
| 11  | Участок 11 | 1,6×10 <sup>6</sup> | 1,9×10 <sup>3</sup>      | 5,4×10 <sup>6</sup> | 4,5×10 <sup>3</sup> | 1,9×10 <sup>3</sup>             | 1,5×10 <sup>4</sup> | 1,7×10 <sup>3</sup>                | 1,9×10 <sup>3</sup>                                   | 5,6×10 <sup>3</sup> | <4,9×10 <sup>2</sup> | -                   | -                   |  |
| 12  | Участок 12 | $2,8 \times 10^6$   | 8,4×10 <sup>3</sup>      | 1,1×10 <sup>7</sup> | $1,0\times10^{3}$   | $8,4\times10^{3}$               | $3,4\times10^{3}$   | 9,6×10 <sup>2</sup>                | 8,4×10 <sup>3</sup>                                   | $3,2\times10^{3}$   | <4,9×10 <sup>2</sup> | -                   | -                   |  |
| 13  | Участок 13 | 4,1×10 <sup>6</sup> | $2,8\times10^{3}$        | 1,4×10 <sup>7</sup> | $9,0\times10^{2}$   | 2,8×10 <sup>3</sup>             | $3,0\times10^{3}$   | $9,1\times10^{2}$                  | 2,8×10 <sup>3</sup>                                   | $3,0\times10^{3}$   | <4,9×10 <sup>2</sup> | -                   | -                   |  |
| 14  | Участок 14 | 1,6×10 <sup>6</sup> | $3,2\times10^3$          | 5,4×10 <sup>6</sup> | $5,9 \times 10^{2}$ | $3,2\times10^{3}$               | $2,0\times10^{3}$   | 1,1×10 <sup>3</sup>                | $3,2\times10^3$                                       | $3,6\times10^{3}$   | <4,9×10 <sup>2</sup> | -                   | -                   |  |
| 15  | Участок 15 | $2,7 \times 10^6$   | $6,7 \times 10^3$        | $9,5 \times 10^{6}$ | 1,9×10 <sup>2</sup> | $6,7 \times 10^3$               | $6,2 \times 10^2$   | <4,1×10 <sup>2</sup>               | -   | -                   | 6,2×10 <sup>2</sup>  | $6,7 \times 10^3$   | $2,1\times10^{3}$   |  |
| 16  | Участок 16 | 5,1×10 <sup>6</sup> | $6,5 \times 10^3$        | $2,1\times10^{7}$   | $2,0\times10^{2}$   | $6,5 \times 10^3$               | $6,6 \times 10^2$   | $1,7 \times 10^3$                  | 6,5×10 <sup>3</sup>                                   | $5,6 \times 10^3$   | $7,8\times10^{2}$    | $6,5 \times 10^3$   | $2,6\times10^{3}$   |  |
| 17  | Участок 17 | 7,3×10 <sup>6</sup> | $3,2\times10^3$          | 7,6×10 <sup>8</sup> | $8,0\times10^{2}$   | $3,2\times10^{3}$               | $2,7 \times 10^3$   | 6,4×10 <sup>3</sup>                | $3,2\times10^3$                                       | 2,1×10 <sup>4</sup> | 2,3×10 <sup>3</sup>  | $3,2\times10^{3}$   | $7,6 \times 10^3$   |  |
| 18  | Участок 18 | 4,1×10 <sup>6</sup> | $6,5 \times 10^3$        | 1,7×10 <sup>7</sup> | $9,0\times10^{2}$   | $6,5 \times 10^3$               | $3,0\times10^{3}$   | <4,1×10 <sup>2</sup>               | -   | -                   | 4,3×10 <sup>3</sup>  | $6,5 \times 10^3$   | 1,4×10 <sup>4</sup> |  |
| 19  | Участок 19 | 1,6×10 <sup>6</sup> | 2,9×10 <sup>3</sup>      | 1,1×10 <sup>7</sup> | 2,3×10 <sup>2</sup> | 2,9×10 <sup>3</sup>             | $7,6 \times 10^{2}$ | 1,1×10 <sup>3</sup>                | 2,9×10 <sup>3</sup>                                   | $3,5 \times 10^3$   | <4,9×10 <sup>2</sup> | -                   | -                   |  |
| 20  | Участок 20 | 4,1×10 <sup>6</sup> | 7,5×10 <sup>3</sup>      | 2,2×10 <sup>7</sup> | $7,5 \times 10^3$   | 7,5×10 <sup>3</sup>             | 2,3×10 <sup>3</sup> | 2,9×10 <sup>4</sup>                | 7,5×10 <sup>3</sup>                                   | 9,6×10 <sup>4</sup> | 1,8×10 <sup>3</sup>  | 7,5×10 <sup>3</sup> | 6,1×10 <sup>3</sup> |  |
| 21  | Участок 21 | 7,6×10 <sup>6</sup> | 9,3×10 <sup>3</sup>      | 3,0×10 <sup>7</sup> | 1,2×10 <sup>5</sup> | 9,3×10 <sup>3</sup>             | 4,2×10 <sup>5</sup> | 4,7×10 <sup>4</sup>                | 9,3×10 <sup>3</sup>                                   | 1,6×10 <sup>5</sup> | 9,3×10 <sup>3</sup>  | 9,3×10 <sup>3</sup> | 5,5×10 <sup>3</sup> |  |
| 22  | Участок 22 | 2,1×10 <sup>4</sup> | 5,6×10 <sup>2</sup>      | 1,1×10 <sup>6</sup> | 4,3×10 <sup>3</sup> | 5,6×10 <sup>2</sup>             | 4,3×10 <sup>4</sup> | 1,2×10 <sup>3</sup>                | 5,6×10 <sup>2</sup>                                   | 1,2×10 <sup>4</sup> | <4,9×10 <sup>2</sup> | -                   | -                   |  |
| 23  | Участок 23 | 1,3×10 <sup>5</sup> | 1,1×10 <sup>3</sup>      | 1,3×10 <sup>6</sup> | 1,6×10 <sup>3</sup> | 1,1×10 <sup>3</sup>             | 1,6×10 <sup>4</sup> | <4,1×10 <sup>2</sup>               | -   | -                   | <4,9×10 <sup>2</sup> | -                   | -                   |  |

| №<br>п/п № участка |            | <sup>90</sup> Sr    |                     |                     | <sup>137</sup> Cs   |                   |                     | <sup>239+240</sup> Pu     |                     |                   | <sup>241</sup> Am    |                   |       |
|--------------------|------------|---------------------|---------------------|---------------------|---------------------|-------------------|---------------------|---------------------------|---------------------|-------------------|----------------------|-------------------|-------|
|                    | № участка  | Аs,<br>кБк/м²       | V, m <sup>3</sup>   | А, Бк               | Аs,<br>кБк/м²       | V, m <sup>3</sup> | А, Бк               | Аs,<br>кБк/м <sup>2</sup> | V, m <sup>3</sup>   | А, Бк             | Аs,<br>кБк/м²        | V, m <sup>3</sup> | А, Бк |
| 24                 | Участок 24 | $9,7 \times 10^{5}$ | $8,1\times10^{3}$   | 8,1×10 <sup>7</sup> | 1,6×10 <sup>4</sup> | $8,1\times10^{3}$ | 5,3×10 <sup>4</sup> | $6,4\times10^3$           | 8,1×10 <sup>3</sup> | $2,1\times10^{4}$ | <4,9×10 <sup>2</sup> | -                 | -     |
| 25                 | Участок 25 | 5,5×10 <sup>6</sup> | 2,4×10 <sup>2</sup> | 1,8×10 <sup>7</sup> | <75                 | -                 | -                   | <4,1×10 <sup>2</sup>      | -                   | -                 | <4,9×10 <sup>2</sup> | -                 | -     |
| 26                 | Участок 26 | 5,7×10 <sup>4</sup> | 3,4×10 <sup>1</sup> | 5,7×10 <sup>5</sup> | <75                 | -                 | -                   | <4,1×10 <sup>2</sup>      | -                   | -                 | <4,9×10 <sup>2</sup> | -                 | -     |
| 27                 | Участок 27 | 1,8×10 <sup>4</sup> | $3,0\times10^{0}$   | 1,8×10 <sup>5</sup> | <75                 | -                 | -                   | <4,1×10 <sup>2</sup>      | -                   | -                 | <4,9×10 <sup>2</sup> | -                 | -     |
| 28                 | Участок 28 | 1,7×10 <sup>4</sup> | 1,0×10 <sup>0</sup> | 1,7×10 <sup>5</sup> | <75                 | -                 | -                   | <4,1×10 <sup>2</sup>      | -                   | -                 | <4,9×10 <sup>2</sup> | -                 | -     |
| 29                 | Участок 29 | 2,6×10 <sup>4</sup> | $1,1\times10^{3}$   | 2,6×10 <sup>5</sup> | <75                 | -                 | -                   | <4,1×10 <sup>2</sup>      | -                   | -                 | <4,9×10 <sup>2</sup> | -                 | -     |
| 30                 | Участок 30 | 2,3×10 <sup>6</sup> | 2,7×10 <sup>1</sup> | 3,0×10 <sup>7</sup> | <75                 | -                 | -                   | <4,1×10 <sup>2</sup>      | -                   | -                 | <4,9×10 <sup>2</sup> | -                 | -     |
| 31                 | Участок 31 | 3,7×10 <sup>4</sup> | 3,4×10 <sup>1</sup> | 3,7×10 <sup>5</sup> | <75                 | -                 | -                   | <4,1×10 <sup>2</sup>      | -                   | -                 | <4,9×10 <sup>2</sup> | -                 | -     |
| 32                 | Участок 32 | 7,0×10 <sup>4</sup> | 1,1×10 <sup>2</sup> | 7,0×10 <sup>5</sup> | <75                 | -                 | -                   | <4,1×10 <sup>2</sup>      | -                   | -                 | <4,9×10 <sup>2</sup> | -                 | -     |
| 33                 | Участок 33 | 6,8×10 <sup>4</sup> | 9,8×10 <sup>1</sup> | 6,8×10 <sup>5</sup> | <75                 | -                 | -                   | <4,1×10 <sup>2</sup>      | -                   | -                 | <4,9×10 <sup>2</sup> | -                 | -     |
| 34                 | Участок 34 | 2,4×10 <sup>6</sup> | 2,2×10 <sup>3</sup> | 7,9×10 <sup>6</sup> | <75                 | -                 | -                   | <4,1×10 <sup>2</sup>      | -                   | -                 | <4,9×10 <sup>2</sup> | -                 | -     |
| 35                 | Участок 35 | 3,9×10 <sup>6</sup> | 1,9×10 <sup>3</sup> | 1,3×10 <sup>7</sup> | <75                 | -                 | -                   | <4,1×10 <sup>2</sup>      | -                   | -                 | <4,9×10 <sup>2</sup> | -                 | -     |
| 36                 | Участок 36 | 4,3×10 <sup>6</sup> | 2,9×10 <sup>3</sup> | 1,4×10 <sup>7</sup> | <75                 | -                 | -                   | <4,1×10 <sup>2</sup>      | -                   | -                 | <4,9×10 <sup>2</sup> | -                 | -     |
| 37                 | Участок 37 | 3,6×10 <sup>6</sup> | $2,0\times10^{3}$   | 1,2×10 <sup>7</sup> | <75                 | -                 | -                   | <4,1×10 <sup>2</sup>      | -                   | -                 | <4,9×10 <sup>2</sup> | -                 | -     |
| 38                 | Участок 38 | 2,6×10 <sup>6</sup> | 1,5×10 <sup>3</sup> | 8,7×10 <sup>6</sup> | <75                 | -                 | -                   | <4,1×10 <sup>2</sup>      | -                   | -                 | <4,9×10 <sup>2</sup> | -                 | -     |
| 39                 | Участок 39 | 2,2×10 <sup>6</sup> | 1,3×10 <sup>3</sup> | 7,4×10 <sup>6</sup> | <75                 | -                 | -                   | <4,1×10 <sup>2</sup>      | -                   | -                 | <4,9×10 <sup>2</sup> | -                 | -     |
| 40                 | Участок 40 | 1,3×10 <sup>6</sup> | 2,5×10 <sup>3</sup> | 4,3×10 <sup>6</sup> | <75                 | -                 | -                   | <4,1×10 <sup>2</sup>      | -                   | -                 | <4,9×10 <sup>2</sup> |                   | -     |

#### 2.2 Радиоактивное загрязнение поверхностных вод площадки

Диапазон удельных активностей основных техногенных радионуклидов, Бк/м<sup>3</sup>:

- $^{241}$ Am: <2,0;
- $^{137}$ Cs: <1,0;
- $^{90}$ Sr: <0.4-2.9;
- $^{239+240}$ Pu:  $<1,1\times10^{-4}-3.1\times10^{-4}$ :
- ${}^{3}\text{H}$ : <6.0.

#### 2.3 Радиоактивное загрязнение подземных вод площадки

Диапазон удельных активностей основных техногенных радионуклидов, Бк/м<sup>3</sup>:

- $\bullet$  <sup>241</sup>Am: <4,0×10<sup>-2</sup>;
- $^{137}$ Cs: <2,0×10<sup>-2</sup>;
- $\bullet$  90Sr: <1,0;
- $^{239+240}$ Pu:  $<1,8\times10^{-4}-7,8\times10^{-4}$ ;
- ${}^{3}$ H: <6,0.

### 2.4 Радиоактивное загрязнение атмосферного воздуха

Диапазон удельных активностей основных техногенных радионуклидов, Бк/кг:

- $^{241}$ Am:  $<6,0\times10^{-5}-4,4\times10^{-2};$
- $^{137}$ Cs: <2,0×10<sup>-5</sup> 1,5×10<sup>-2</sup>;
- $^{90}$ Sr:  $<1,6\times10^{-5}-1,2\times10^{3}$ ;
- $^{239+240}$ Pu:  $1.4\times10^{-6} 52$ .

#### 2.5 Радиоактивное загрязнение растительного покрова

Диапазон удельных активностей основных техногенных радионуклидов, Бк/кг:

- $\bullet$  <sup>241</sup>Am: <0,2 9,2×10<sup>2</sup>;
- $^{137}$ Cs:  $<0,3-4,2\times10^4$ ;
- $^{90}$ Sr:  $14 8,3 \times 10^8$ ;
- $^{239+240}$ Pu:  $<0,1-1,5\times10^4$ .

#### 2.6 Радиоактивное загрязнение объектов животного мира

Диапазон удельных активностей основных техногенных радионуклидов, Бк/кг:

- $\bullet$  <sup>241</sup>Am: <4,0×10<sup>-2</sup> 39;
- $^{137}$ Cs:  $<3.6-1.9\times10^2$ :
- $^{90}$ Sr:  $8,3\times10^2 7,8\times10^5$ ;
- $\bullet$  <sup>239+240</sup>Pu: <0.1 21.

#### ПРИЛОЖЕНИЕ 11

# Перечень радиационно-опасных объектов испытательной площадки «4a»

На основании данных по лабораторным анализам и анализу карт площадного распределения техногенных радионуклидов установлен перечень радиационно-опасных объектов (Рисунок 4).



Рисунок 4. Карта-схема площадки «4а» с обозначением радиационно-опасных объектов

#### Место расположения

Участок радиоактивного загрязнения расположен в северной части площадки «4а». Географические координаты представлены в таблице (Таблица 2).

Таблица 2. Географические координаты участка №1

| NG        | Географические координаты |        |       |         |    |       |  |  |  |  |
|-----------|---------------------------|--------|-------|---------|----|-------|--|--|--|--|
| № участка |                           | Широта |       | Долгота |    |       |  |  |  |  |
| 1         | 77                        | 44     | 56,47 | 50      | 35 | 29,49 |  |  |  |  |

#### Характеристика источника радиационного загрязнения

Место испытания боевых радиоактивных веществ (БРВ) в период 1953-1957 гг. БРВ представляли собой жидкие или порошкообразные радиоактивные рецептуры.

#### Экологические характеристики объекта

На участке радиоактивного загрязнения наиболее показательным техногенным радионуклидом является <sup>90</sup>Sr (Рисунок 5). Радиоактивное загрязнение имеет масштабный характер и сконцентрировано в основном в северном направлении участка.

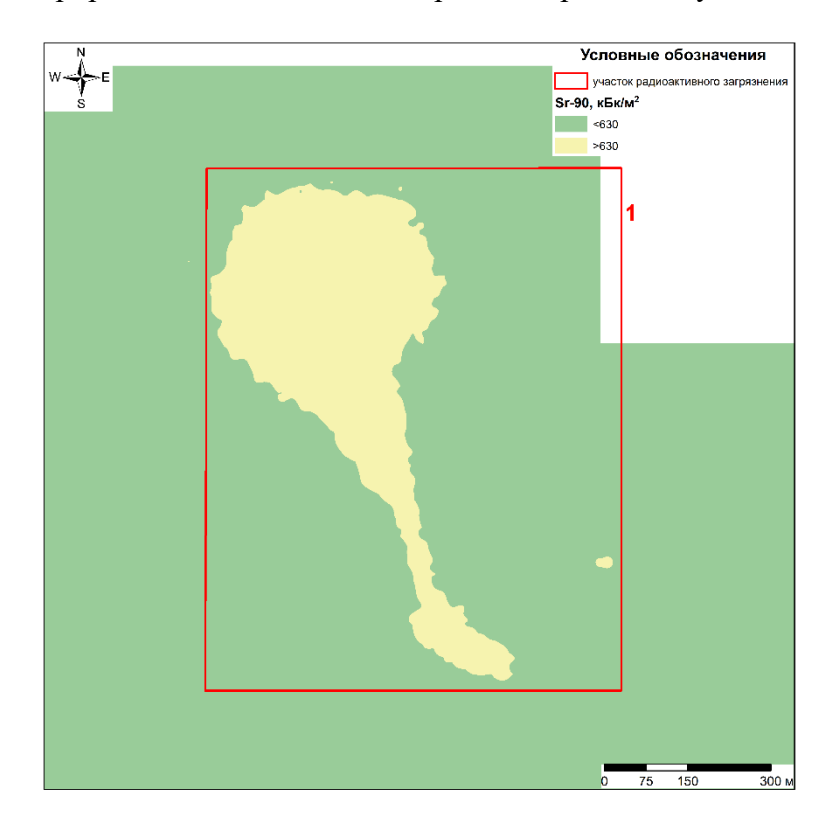


Рисунок 5. Карта площадного распределения <sup>90</sup>Sr на территории участка №1

Диапазон площадных активностей основных техногенных радионуклидов, кБк/м<sup>2</sup>:

- $^{241}$ Am:  $<4,9\times10^2$ ;
- $^{137}$ Cs:  $< 75 3.9 \times 10^2$ ;
- $^{90}$ Sr:  $<1,2\times10^2-2,3\times10^6$ ;
- $^{239+240}$ Pu:  $<4.1\times10^2-3.3\times10^3$ .

Площадь радиоактивного загрязнения, превышающая значения, указанные в Критериях оценки экологической обстановки территорий, составляет порядка  $5.8 \times 10^{-2}$  км². В тоже время объем радиоактивного материала составляет порядка  $6.7 \times 10^3$  м³.

# Место расположения

Участок радиоактивного загрязнения расположен в северной части площадки «4а». Географические координаты представлены в таблице (Таблица 3).

Таблица 3. Географические координаты участка №2

| No vivo omizo |    |        | Географически | ие координаты |         |       |
|---------------|----|--------|---------------|---------------|---------|-------|
| № участка     |    | Широта |               |               | Долгота |       |
| 2             | 77 | 45     | 56,60         | 50            | 35      | 11,39 |

# Характеристика источника радиационного загрязнения

Место испытания боевых радиоактивных веществ (БРВ) в период 1953-1957 гг. БРВ представляли собой жидкие или порошкообразные радиоактивные рецептуры.

#### Экологические характеристики объекта

На участке радиоактивного загрязнения наиболее показательным техногенным радионуклидом является  $^{90}$ Sr (Рисунок 6). Радиоактивное загрязнение имеет масштабный характер и сконцентрировано в основном в северной части радиационно-загрязненного участка.

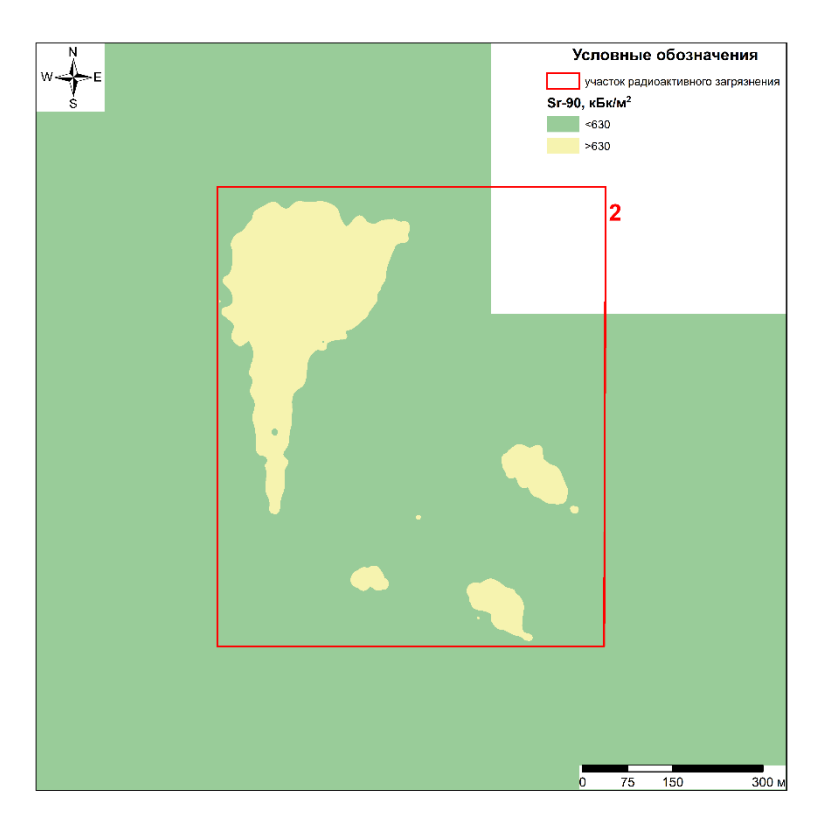


Рисунок 6. Карта площадного распределения <sup>90</sup>Sr на территории участка №2

Диапазон площадных активностей основных техногенных радионуклидов, кБк/м<sup>2</sup>:

- $^{241}$ Am:  $<4.9\times10^2$ :
- $^{137}$ Cs:  $< 75 1,6 \times 10^3$ ;
- $^{90}$ Sr:  $<1.2\times10^2-1.4\times10^6$ :
- $^{239+240}$ Pu:  $<4.1\times10^2-5.1\times10^2$ .

Площадь радиоактивного загрязнения, превышающая значения, указанные в Критериях оценки экологической обстановки территорий, составляет порядка  $1.9 \times 10^{-2}$  км<sup>2</sup>. В тоже время объем радиоактивного материала составляет порядка  $2.2 \times 10^3$  м<sup>3</sup>.

# Место расположения

Участок радиоактивного загрязнения расположен в северной части площадки «4а». Географические координаты представлены в таблице (Таблица 4).

Таблица 4. Географические координаты участка №3

| No vivo amino |             |        | Географически | е координаты |         |       |
|---------------|-------------|--------|---------------|--------------|---------|-------|
| № участка     |             | Широта |               |              | Долгота |       |
| 3             | 77 43 59,32 |        |               | 50           | 34      | 24,67 |

# Характеристика источника радиационного загрязнения

Место испытания боевых радиоактивных веществ (БРВ) в период 1953-1957 гг. БРВ представляли собой жидкие или порошкообразные радиоактивные рецептуры.

# Экологические характеристики объекта

На участке радиоактивного загрязнения наиболее показательным техногенным радионуклидом является  $^{90}$ Sr (Рисунок 7). Радиоактивное загрязнение имеет масштабный характер и сконцентрировано в основном в центральной части радиационно-загрязненного участка.

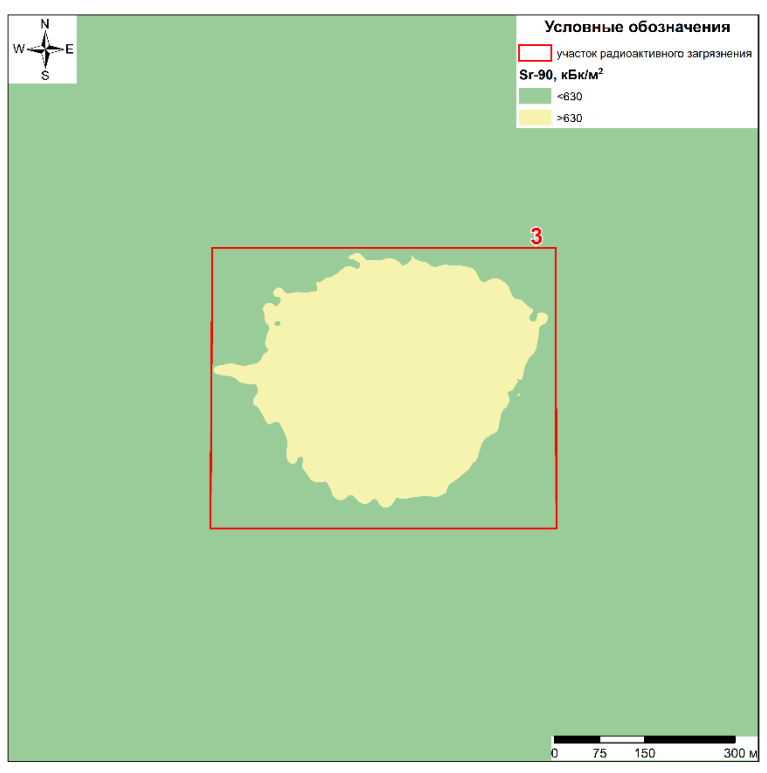


Рисунок 7. Карта площадного распределения <sup>90</sup>Sr на территории участка №3

Диапазон площадных активностей основных техногенных радионуклидов, кБк/м<sup>2</sup>:

- $\bullet$  <sup>241</sup>Am:  $<4.9\times10^2-8.7\times10^2$ ;
- $^{137}$ Cs:  $< 75 7.1 \times 10^2$ ;
- $\bullet$  90Sr:  $<1,2\times10^2-4,1\times10^6$ ;
- $\bullet$  <sup>239+240</sup>Pu: <4.1×10<sup>2</sup> 6.8×10<sup>3</sup>.

Площадь радиоактивного загрязнения, превышающая значения, указанные в Критериях оценки экологической обстановки территорий, составляет порядка  $6.2 \times 10^{-2}$  км<sup>2</sup>. В тоже время объем радиоактивного материала составляет порядка  $7.3 \times 10^3$  м<sup>3</sup>.

# Место расположения

Участок радиоактивного загрязнения расположен в северо-западной части площадки «4а». Географические координаты представлены в таблице (Таблица 5).

Таблица 5. Географические координаты участка №4

| № участка | Географические координаты |        |       |    |         |       |
|-----------|---------------------------|--------|-------|----|---------|-------|
| № участка |                           | Широта |       |    | Долгота |       |
| 4         | 77                        | 45     | 35,12 | 50 | 34      | 29,58 |

# Характеристика источника радиационного загрязнения

Место испытания боевых радиоактивных веществ (БРВ) в период 1953-1957 гг. БРВ представляли собой жидкие или порошкообразные радиоактивные рецептуры.

# Экологические характеристики объекта

На участке радиоактивного загрязнения наиболее показательным техногенным радионуклидом является  $^{90}$ Sr (Рисунок 8). Радиоактивное загрязнение имеет масштабный характер и сконцентрировано в основном в северной части радиационно-загрязненного участка.

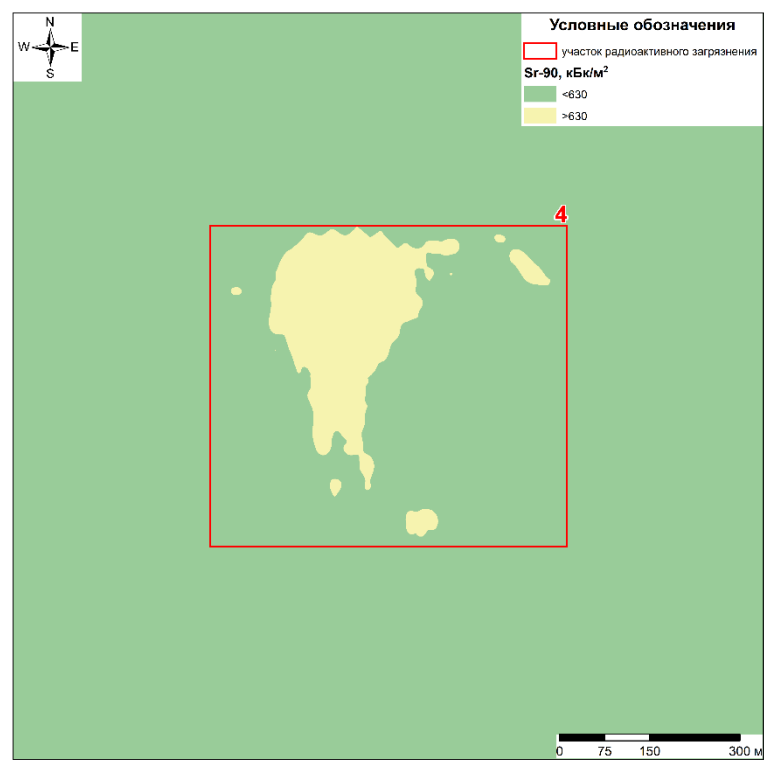


Рисунок 8. Карта площадного распределения <sup>90</sup>Sr на территории участка №4

Диапазон площадных активностей основных техногенных радионуклидов, кБк/м<sup>2</sup>:

- $^{241}$ Am:  $<4,9\times10^2$ ;
- $^{137}$ Cs:  $< 75 1,4 \times 10^2$ ;
- $^{90}$ Sr:  $<1,2\times10^2-9,5\times10^5$ ;
- $\bullet$  <sup>239+240</sup>Pu: <4.1×10<sup>2</sup>.

Площадь радиоактивного загрязнения, превышающая значения, указанные в Критериях оценки экологической обстановки территорий, составляет порядка  $1.9 \times 10^{-2}$  км<sup>2</sup>. В тоже время объем радиоактивного материала составляет порядка  $2.2 \times 10^3$  м<sup>3</sup>.

#### Место расположения

Участок радиоактивного загрязнения расположен в северной части площадки «4а». Географические координаты представлены в таблице (Таблица 6).

Таблица 6. Географические координаты участка №5

| No vivo amino |    |        |       |    |         |       |
|---------------|----|--------|-------|----|---------|-------|
| № участка     |    | Широта |       |    | Долгота |       |
| 5             | 77 | 46     | 37,26 | 50 | 34      | 30,08 |

# Характеристика источника радиационного загрязнения

Место испытания боевых радиоактивных веществ (БРВ) в период 1953-1957 гг. БРВ представляли собой жидкие или порошкообразные радиоактивные рецептуры.

# Экологические характеристики объекта

На участке радиоактивного загрязнения наиболее показательным техногенным радионуклидом является <sup>90</sup>Sr (Рисунок 9). Радиоактивное загрязнение имеет масштабный характер и сконцентрировано в основном в южной части радиационно-загрязненного участка.

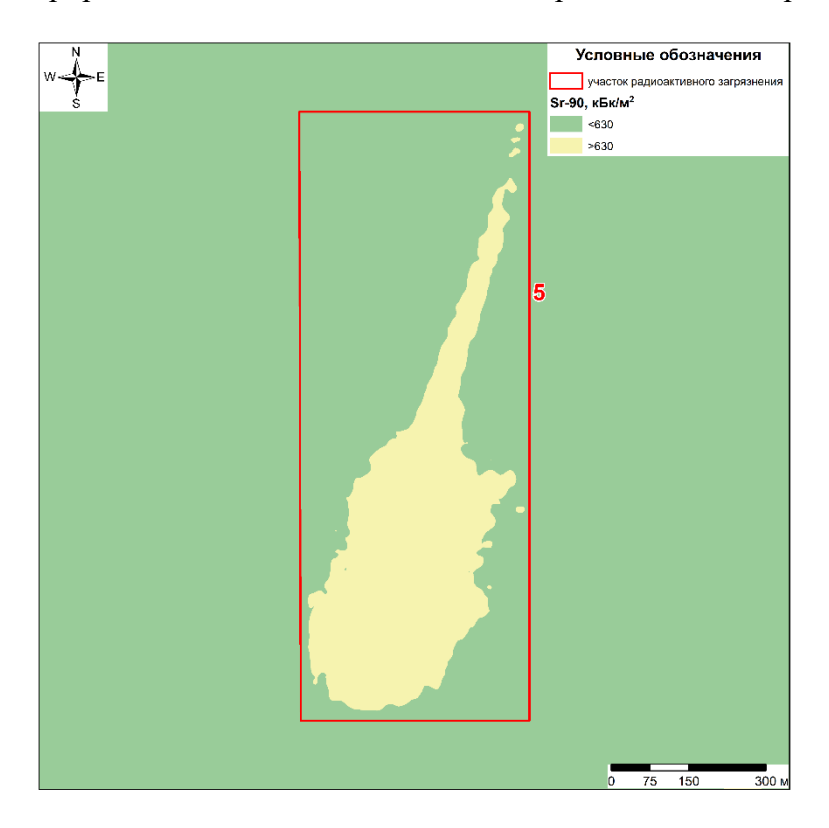


Рисунок 9. Карта площадного распределения <sup>90</sup>Sr на территории участка №5

Диапазон площадных активностей основных техногенных радионуклидов, кБк/м<sup>2</sup>:

- $^{241}$ Am:  $<4,9\times10^2$ ;
- $^{137}$ Cs:  $< 75 7,6 \times 10^2$ ;
- $^{90}$ Sr:  $<1,2\times10^2-2,3\times10^6$ ;
- $\bullet$  <sup>239+240</sup>Pu: <4,1×10<sup>2</sup> 1,4×10<sup>3</sup>.

Площадь радиоактивного загрязнения, превышающая значения, указанные в Критериях оценки экологической обстановки территорий, составляет порядка  $7.7 \times 10^{-2}$  км<sup>2</sup>. В тоже время объем радиоактивного материала составляет порядка  $8.6 \times 10^3$  м<sup>3</sup>.

#### Место расположения

Участок радиоактивного загрязнения расположен в северной части площадки «4а». Географические координаты представлены в таблице (Таблица 7).

Таблица 7. Географические координаты участка №6

| No vivo amino | Географические координаты |        |       |    |         |       |  |
|---------------|---------------------------|--------|-------|----|---------|-------|--|
| № участка     |                           | Широта |       |    | Долгота |       |  |
| 6             | 77                        | 47     | 19,43 | 50 | 34      | 28,64 |  |

# Характеристика источника радиационного загрязнения

Место испытания боевых радиоактивных веществ (БРВ) в период 1953-1957 гг. БРВ представляли собой жидкие или порошкообразные радиоактивные рецептуры.

# Экологические характеристики объекта

На участке радиоактивного загрязнения наиболее показательным техногенным радионуклидом является  $^{90}$ Sr (Рисунок 10). Радиоактивное загрязнение имеет масштабный характер и сконцентрировано в основном в центральной части радиационно-загрязненного участка.

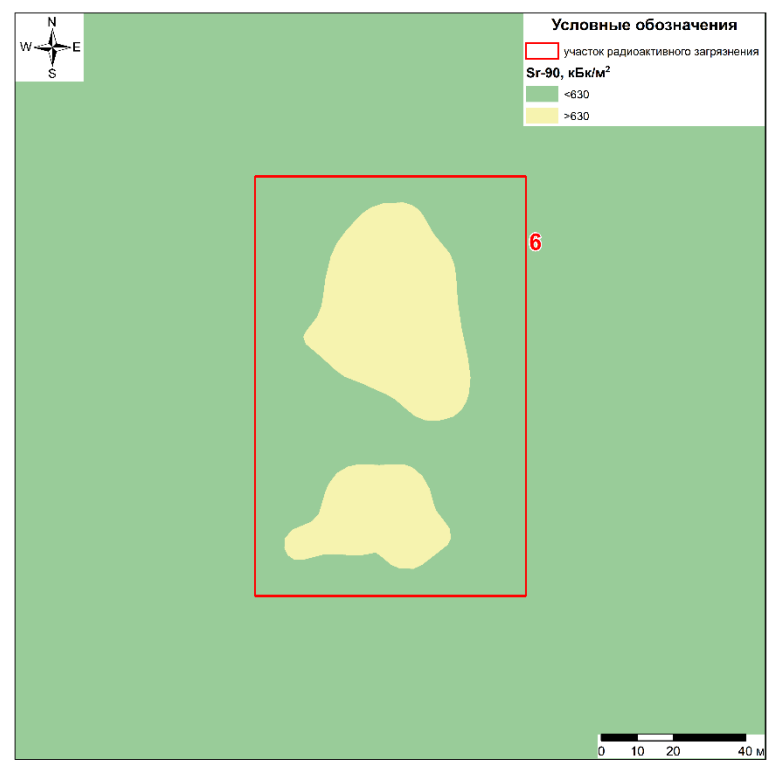


Рисунок 10. Карта площадного распределения <sup>90</sup>Sr на территории участка №6

Диапазон площадных активностей основных техногенных радионуклидов, кБк/м<sup>2</sup>:

- $^{241}$ Am:  $<4,9\times10^2$ ;
- <sup>137</sup>Cs: <75;
- $^{90}$ Sr:  $<1,2\times10^2-2,5\times10^4$ ;
- $^{239+240}$ Pu:  $<4,1\times10^2$ .

Площадь радиоактивного загрязнения, превышающая значения, указанные в Критериях оценки экологической обстановки территорий, составляет порядка  $1,3\times10^{-4}$  км<sup>2</sup>. В тоже время объем радиоактивного материала составляет порядка  $1,3\times10^1$  м<sup>3</sup>.

# Место расположения

Участок радиоактивного загрязнения расположен в северной части площадки «4а» на расстоянии 2 км в северном направлении от ее границы. Географические координаты представлены в таблице (Таблица 8).

Таблица 8. Географические координаты участка №7

|  | No surro amuso |    |        | ие координаты | координаты |         |      |
|--|----------------|----|--------|---------------|------------|---------|------|
|  | № участка      |    | Широта |               |            | Долгота |      |
|  | 7              | 77 | 47     | 8,40          | 50         | 34      | 5,74 |

#### Характеристика источника радиационного загрязнения

Место испытания боевых радиоактивных веществ (БРВ) в период 1953-1957 гг. БРВ представляли собой жидкие или порошкообразные радиоактивные рецептуры.

# Экологические характеристики объекта

На участке радиоактивного загрязнения наиболее показательным техногенным радионуклидом является  $^{90}$ Sr (Рисунок 11). Радиоактивное загрязнение имеет масштабный характер и сконцентрировано в основном в центральной части радиационно-загрязненного участка.

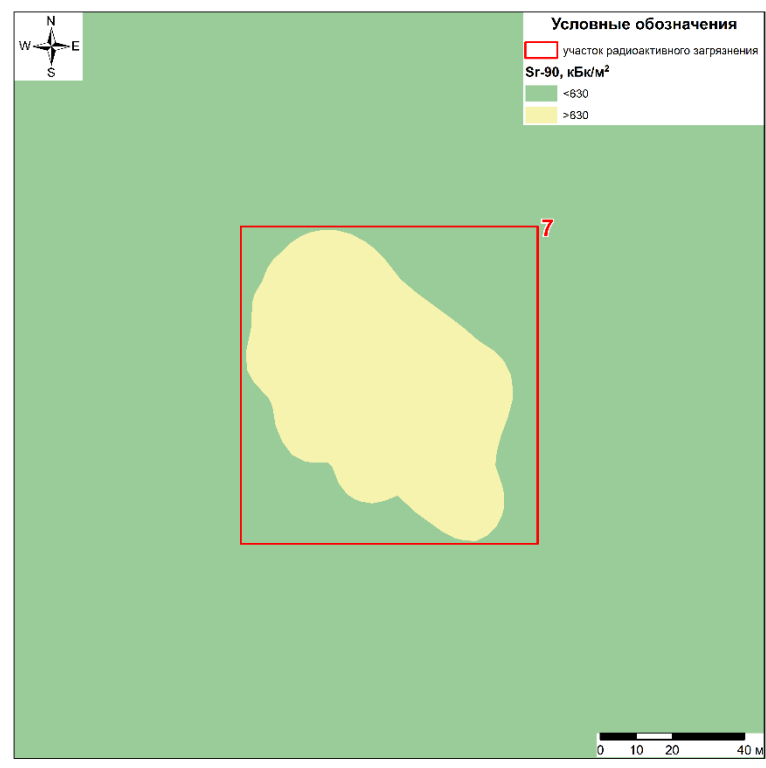


Рисунок 11. Карта площадного распределения <sup>90</sup>Sr на территории участка №7

Диапазон площадных активностей основных техногенных радионуклидов, кБк/м<sup>2</sup>:

- $\bullet^{241}$ Am:  $<4.9\times10^2$ ;
- $^{137}$ Cs:  $< 75 2,2 \times 10^2$ ;
- $^{90}$ Sr: <1,2×10<sup>2</sup> 4,1×10<sup>4</sup>;
- $\bullet$  <sup>239+240</sup>Pu: <4.1×10<sup>2</sup>.

Площадь радиоактивного загрязнения, превышающая значения, указанные в Критериях оценки экологической обстановки территорий, составляет порядка  $1,2\times10^{-3}$  км². В тоже время объем радиоактивного материала составляет порядка  $1,2\times10^2$  м³.

#### Место расположения

Участок радиоактивного загрязнения расположен в восточной части площадки «4а». Географические координаты представлены в таблице (Таблица 9).

Таблица 9. Географические координаты участка №8

| No vivo amino |    |        | Географически | ие координаты |         |       |
|---------------|----|--------|---------------|---------------|---------|-------|
| № участка     |    | Широта |               |               | Долгота |       |
| 8             | 77 | 47     | 50,90         | 50            | 34      | 26,40 |

# Характеристика источника радиационного загрязнения

Место испытания боевых радиоактивных веществ (БРВ) в период 1953-1957 гг. БРВ представляли собой жидкие или порошкообразные радиоактивные рецептуры.

#### Экологические характеристики объекта

На участке радиоактивного загрязнения наиболее показательным техногенным радионуклидом является  $^{90}$ Sr (Рисунок 12). Радиоактивное загрязнение имеет масштабный характер и сконцентрировано в основном в северной части радиационно-загрязненного участка.

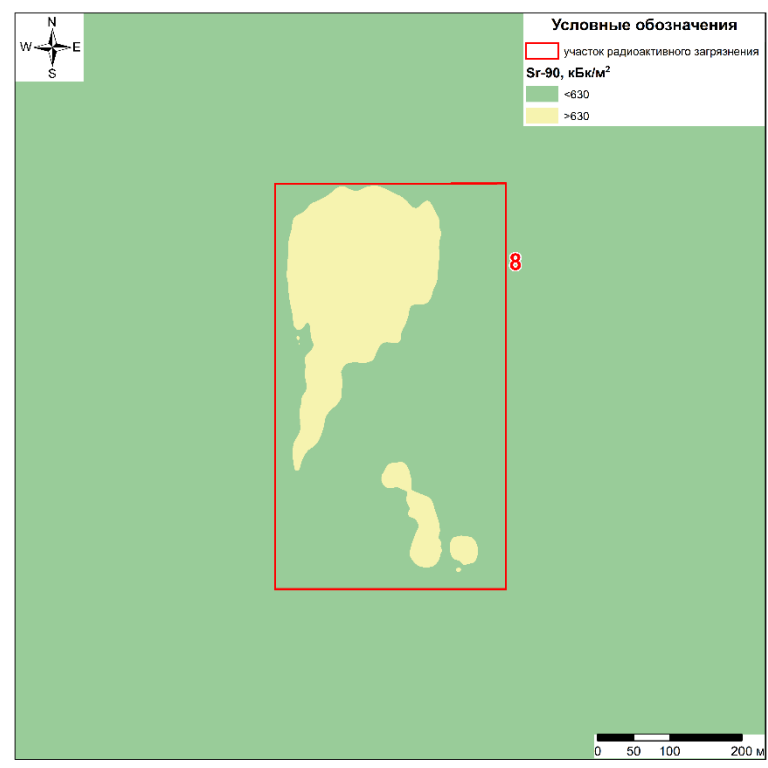


Рисунок 12. Карта площадного распределения <sup>90</sup>Sr на территории участка №8

Диапазон площадных активностей основных техногенных радионуклидов, кБк/м<sup>2</sup>:

- $^{241}$ Am:  $<4.9\times10^{2}$ ;
- $^{137}$ Cs:  $< 75 1,0 \times 10^3$ ;
- $^{90}$ Sr:  $<1,2\times10^2-1,0\times10^6$ ;
- $\bullet$  <sup>239+240</sup>Pu: <4,1×10<sup>2</sup> 4,7×10<sup>2</sup>.

Площадь радиоактивного загрязнения, превышающая значения, указанные в Критериях оценки экологической обстановки территорий, составляет порядка  $8,1\times10^{-2}$  км². В тоже время объем радиоактивного материала составляет порядка  $8,4\times10^3$  м³.

# Место расположения

Участок радиоактивного загрязнения расположен в восточной части площадки «4а». Географические координаты представлены в таблице (Таблица 10).

Таблица 10. Географические координаты участка №9

| Мо тута отгаз | Географич |        |       | сие координаты |         |      |
|---------------|-----------|--------|-------|----------------|---------|------|
| № участка     |           | Широта |       |                | Долгота |      |
| 9             | 77        | 47     | 42,94 | 50             | 34      | 7,65 |

# Характеристика источника радиационного загрязнения

Место испытания боевых радиоактивных веществ (БРВ) в период 1953-1957 гг. БРВ представляли собой жидкие или порошкообразные радиоактивные рецептуры.

#### Экологические характеристики объекта

На участке радиоактивного загрязнения наиболее показательным техногенным радионуклидом является <sup>137</sup>Cs (Рисунок 13). Радиоактивное загрязнение имеет масштабный характер и сконцентрировано в основном в северо-западной части радиационно-загрязненного участка.

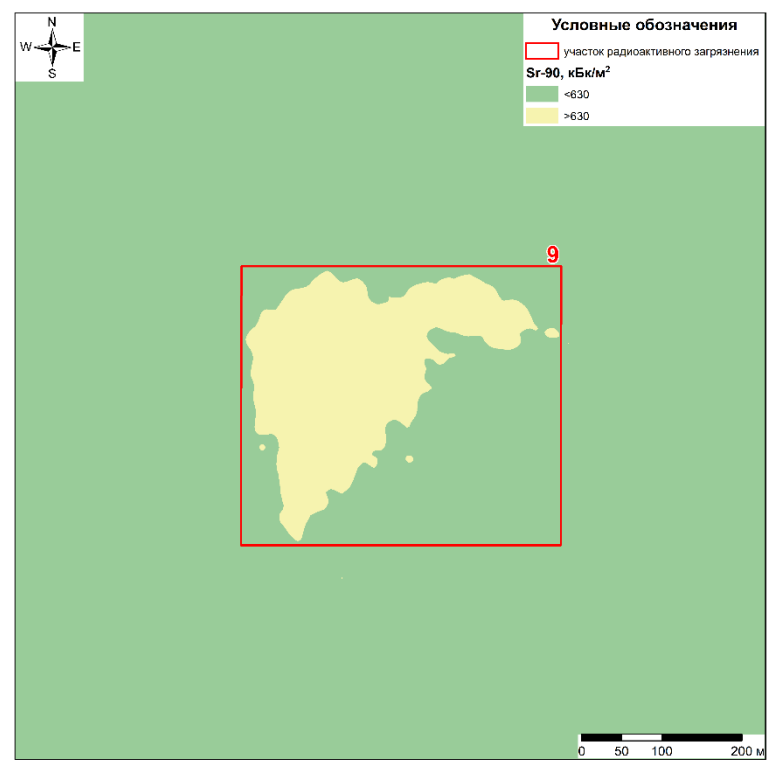


Рисунок 13. Карта площадного распределения <sup>90</sup>Sr на территории участка №9

Диапазон площадных активностей основных техногенных радионуклидов, кБк/м<sup>2</sup>:

- $^{241}$ Am:  $<4,9\times10^2$ ;
- $^{137}$ Cs:  $<75 3,3 \times 10^2$ ;
- $^{90}$ Sr:  $<1,2\times10^2-6,6\times10^5$ ;
- $\bullet$  <sup>239+240</sup>Pu: <4.1×10<sup>2</sup>.

Площадь радиоактивного загрязнения, превышающая значения, указанные в Критериях оценки экологической обстановки территорий, составляет порядка  $1.5 \times 10^{-2}$  км<sup>2</sup>. В тоже время объем радиоактивного материала составляет порядка  $1.5 \times 10^3$  м<sup>3</sup>.

# Место расположения

Участок радиоактивного загрязнения расположен в восточной части площадки «4а». Географические координаты представлены в таблице (Таблица 11).

Таблица 11. Географические координаты участка №10

| No vivo omizo |    |        | Географическі | ие координаты |         |       |
|---------------|----|--------|---------------|---------------|---------|-------|
| № участка     |    | Широта |               |               | Долгота |       |
| 10            | 77 | 48     | 24,96         | 50            | 34      | 22,18 |

# Характеристика источника радиационного загрязнения

Место испытания боевых радиоактивных веществ (БРВ) в период 1953-1957 гг. БРВ представляли собой жидкие или порошкообразные радиоактивные рецептуры.

#### Экологические характеристики объекта

На участке радиоактивного загрязнения наиболее показательным техногенным радионуклидом является  $^{90}$ Sr (Рисунок 14). Радиоактивное загрязнение имеет масштабный характер и сконцентрировано в основном в северной части радиационно-загрязненного участка.

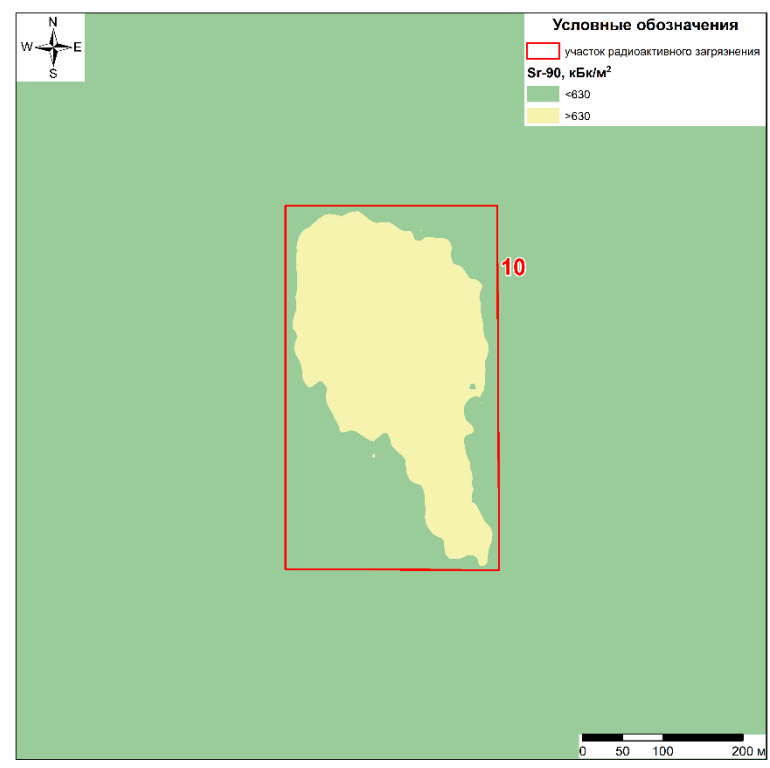


Рисунок 14. Карта площадного распределения <sup>90</sup>Sr на территории участка № 10

Диапазон площадных активностей основных техногенных радионуклидов, кБк/м<sup>2</sup>:

- $\bullet$  <sup>241</sup>Am: <4.9×10<sup>2</sup>;
- $^{137}$ Cs:  $< 75 1,7 \times 10^2$ ;
- $^{90}$ Sr:  $<1,2\times10^2-1,3\times10^6$ ;
- $\bullet$  <sup>239+240</sup>Pu: <4,1×10<sup>2</sup> 1,6×10<sup>3</sup>.

Площадь радиоактивного загрязнения, превышающая значения, указанные в Критериях оценки экологической обстановки территорий, составляет порядка  $3.2 \times 10^{-2}$  км<sup>2</sup>. В тоже время объем радиоактивного материала составляет порядка  $3.6 \times 10^3$  м<sup>3</sup>.

# Место расположения

Участок радиоактивного загрязнения расположен в восточной части площадки «4а». Географические координаты представлены в таблице (Таблица 12).

Таблица 12. Географические координаты участка №11

| No vivo omico | Географические координаты |        |       |    |         |       |
|---------------|---------------------------|--------|-------|----|---------|-------|
| № участка     |                           | Широта |       |    | Долгота |       |
| 11            | 77                        | 48     | 22,17 | 50 | 33      | 52,62 |

# Характеристика источника радиационного загрязнения

Место испытания боевых радиоактивных веществ (БРВ) в период 1953-1957 гг. БРВ представляли собой жидкие или порошкообразные радиоактивные рецептуры.

# Экологические характеристики объекта

На участке радиоактивного загрязнения наиболее показательным техногенным радионуклидом является  $^{90}$ Sr (Рисунок 15). Радиоактивное загрязнение имеет масштабный характер и сконцентрировано в основном в северной части радиационно-загрязненного участка.

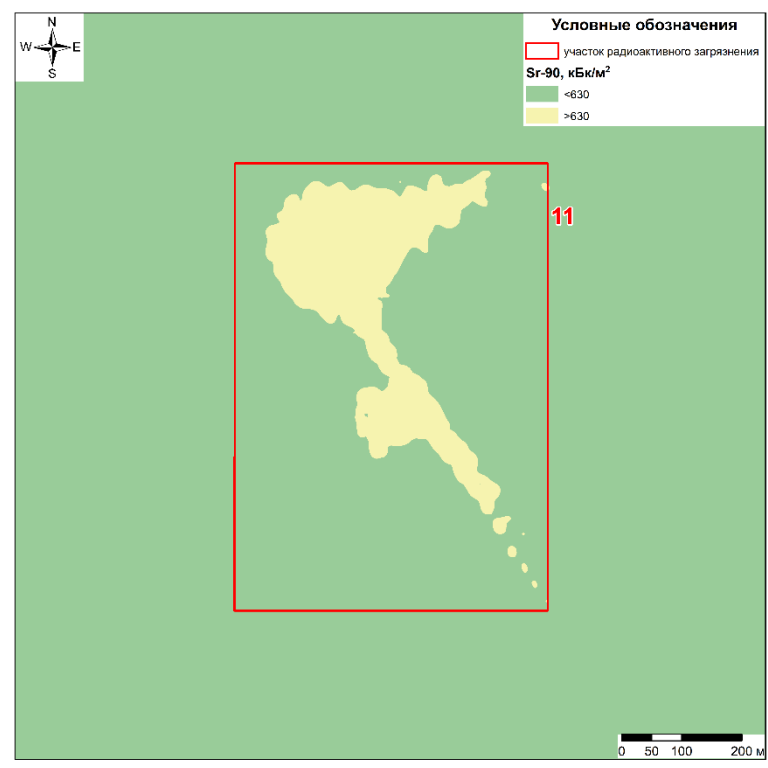


Рисунок 15. Карта площадного распределения <sup>90</sup>Sr на территории участка № 11

Диапазон площадных активностей основных техногенных радионуклидов, кБк/м<sup>2</sup>:

- $^{241}$ Am:  $<4,9\times10^2$ ;
- $^{137}$ Cs:  $< 75 4,5 \times 10^3$ ;
- $^{90}$ Sr:  $<1,2\times10^2-1,6\times10^6$ ;
- $\bullet$  <sup>239+240</sup>Pu: <4,1×10<sup>2</sup> 1,7×10<sup>3</sup>.

Площадь радиоактивного загрязнения, превышающая значения, указанные в Критериях оценки экологической обстановки территорий, составляет порядка  $1.8 \times 10^{-2}$  км<sup>2</sup>. В тоже время объем радиоактивного материала составляет порядка  $1.9 \times 10^3$  м<sup>3</sup>.

#### Место расположения

Участок радиоактивного загрязнения расположен в восточной части площадки «4а». Географические координаты представлены в таблице (Таблица 13).

Таблица 13. Географические координаты участка №12

| No vivo amuso |        |    | Географически | кие координаты |    |       |  |
|---------------|--------|----|---------------|----------------|----|-------|--|
| № участка     | Широта |    |               | Долгота        |    |       |  |
| 12            | 77     | 49 | 9,24          | 50             | 34 | 19,72 |  |

# Характеристика источника радиационного загрязнения

Место испытания боевых радиоактивных веществ (БРВ) в период 1953-1957 гг. БРВ представляли собой жидкие или порошкообразные радиоактивные рецептуры.

# Экологические характеристики объекта

На участке радиоактивного загрязнения наиболее показательным техногенным радионуклидом является  $^{90}$ Sr (Рисунок 16). Радиоактивное загрязнение имеет масштабный характер и сконцентрировано в основном в центральной части радиационно-загрязненного участка.

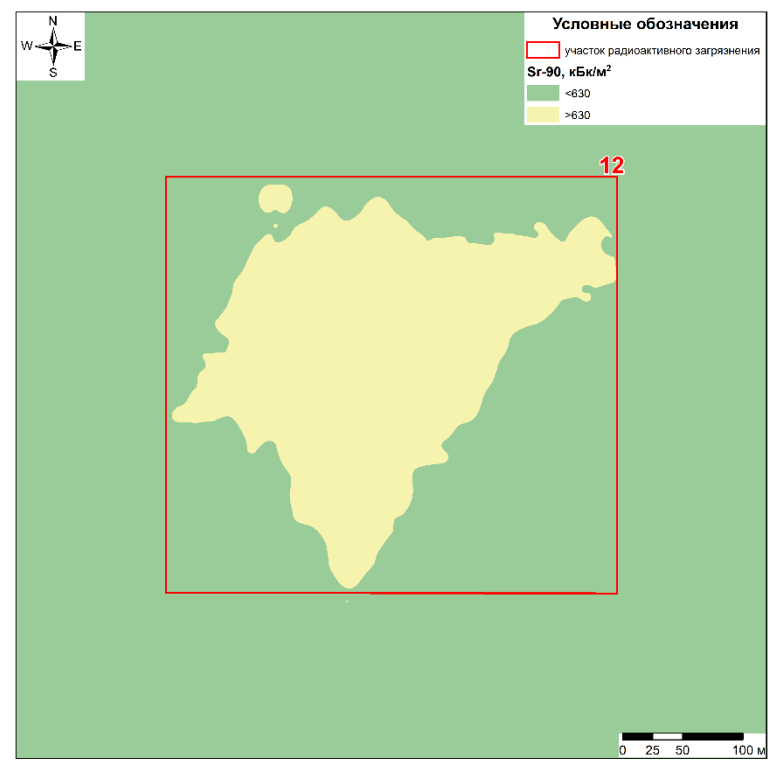


Рисунок 16. Карта площадного распределения <sup>90</sup>Sr на территории участка №12

Диапазон площадных активностей основных техногенных радионуклидов, кБк/м<sup>2</sup>:

- $^{241}$ Am:  $<4.9\times10^2$ :
- $^{137}$ Cs:  $< 75 1.0 \times 10^3$ :
- $^{90}$ Sr:  $<1,2\times10^2-2,8\times10^6$ ;
- $\bullet$  <sup>239+240</sup>Pu: <4.1×10<sup>2</sup> 9.6×10<sup>3</sup>.

Площадь радиоактивного загрязнения, превышающая значения, указанные в Критериях оценки экологической обстановки территорий, составляет порядка  $7.9 \times 10^{-2}$  км<sup>2</sup>. В тоже время объем радиоактивного материала составляет порядка  $8.4 \times 10^3$  м<sup>3</sup>.

# Место расположения

Участок радиоактивного загрязнения расположен в восточной части площадки «4а». Географические координаты представлены в таблице (Таблица 14).

Таблица 9. Географические координаты участка №13

| No vivo omvo | Географич |        |      | ие координаты |         |       |
|--------------|-----------|--------|------|---------------|---------|-------|
| № участка    |           | Широта |      |               | Долгота |       |
| 13           | 77        | 49     | 1,05 | 50            | 33      | 52,27 |

# Характеристика источника радиационного загрязнения

Место испытания боевых радиоактивных веществ (БРВ) в период 1953-1957 гг. БРВ представляли собой жидкие или порошкообразные радиоактивные рецептуры.

# Экологические характеристики объекта

На участке радиоактивного загрязнения наиболее показательным техногенным радионуклидом является  $^{90}$ Sr (Рисунок 17). Радиоактивное загрязнение имеет масштабный характер и сконцентрировано в основном в центральной части радиационно-загрязненного участка.

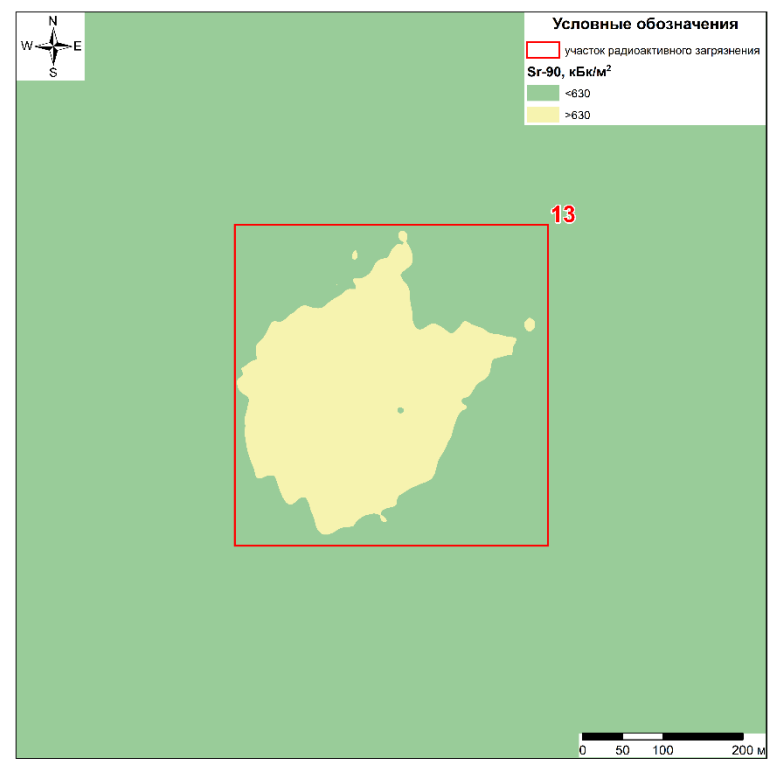


Рисунок 17. Карта площадного распределения <sup>90</sup>Sr на территории участка №13

Диапазон площадных активностей основных техногенных радионуклидов, кБк/м<sup>2</sup>:

- $^{241}$ Am:  $<4.9\times10^2$ :
- $^{137}$ Cs:  $< 75 9.0 \times 10^2$ :
- $^{90}$ Sr:  $<1,2\times10^2-4,1\times10^6$ ;
- $\bullet$  <sup>239+240</sup>Pu: <4.1×10<sup>2</sup> 9.1×10<sup>2</sup>.

Площадь радиоактивного загрязнения, превышающая значения, указанные в Критериях оценки экологической обстановки территорий, составляет порядка  $2.3 \times 10^{-2}$  км<sup>2</sup>. В тоже время объем радиоактивного материала составляет порядка  $2.8 \times 10^3$  м<sup>3</sup>.

# Место расположения

Участок радиоактивного загрязнения расположен в восточной части площадки «4а». Географические координаты представлены в таблице (Таблица 15).

Таблица 15. Географические координаты участка №14

| No vivo amino | Географические координаты |        |       |    |         |      |
|---------------|---------------------------|--------|-------|----|---------|------|
| № участка     |                           | Широта |       |    | Долгота |      |
| 14            | 77                        | 49     | 44,78 | 50 | 34      | 3,61 |

# Характеристика источника радиационного загрязнения

Место испытания боевых радиоактивных веществ (БРВ) в период 1953-1957 гг. БРВ представляли собой жидкие или порошкообразные радиоактивные рецептуры.

# Экологические характеристики объекта

На участке радиоактивного загрязнения наиболее показательным техногенным радионуклидом является  $^{90}$ Sr (Рисунок 18). Радиоактивное загрязнение имеет масштабный характер и сконцентрировано в основном в северной части радиационно-загрязненного участка.

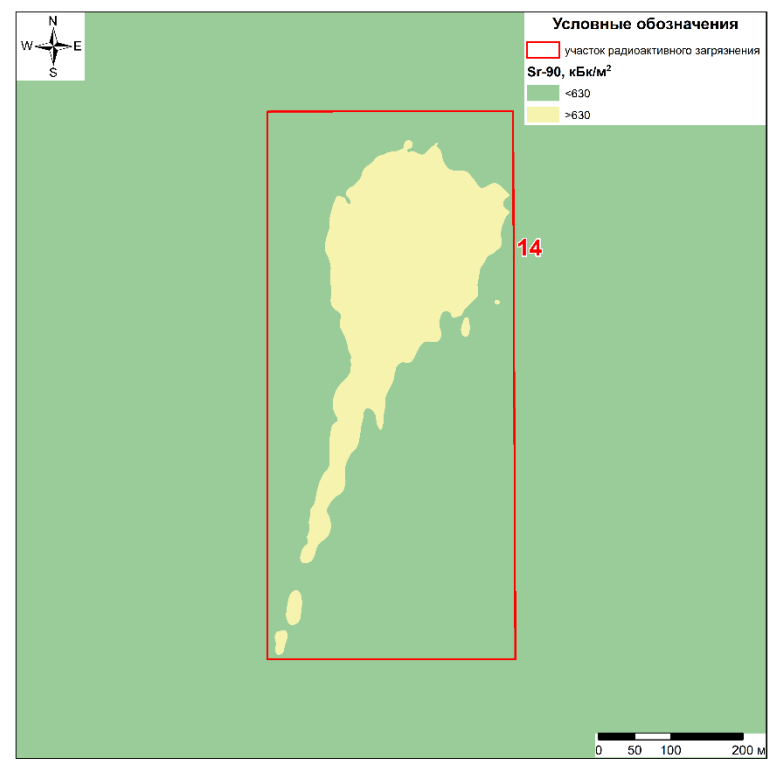


Рисунок 18. Карта площадного распределения <sup>90</sup>Sr на территории участка №14

Диапазон площадных активностей основных техногенных радионуклидов, кБк/м<sup>2</sup>:

- $^{241}$ Am:  $<4.9\times10^{2}$ ;
- $^{137}$ Cs:  $< 75 5,2 \times 10^2$ ;
- $^{90}$ Sr:  $<1,2\times10^2-1,6\times10^6$ ;
- $\bullet$  <sup>239+240</sup>Pu: <4,1×10<sup>2</sup> 1,1×10<sup>3</sup>.

Площадь радиоактивного загрязнения, превышающая значения, указанные в Критериях оценки экологической обстановки территорий, составляет порядка  $2.7 \times 10^{-2}$  км<sup>2</sup>. В тоже время объем радиоактивного материала составляет порядка  $3.2 \times 10^3$  м<sup>3</sup>.

# Место расположения

Участок радиоактивного загрязнения расположен в восточной части площадки «4а». Географические координаты представлены в таблице (Таблица 16).

Таблица 10. Географические координаты участка №15

| No vivo amino | Географические координаты |        |  |    |         |       |
|---------------|---------------------------|--------|--|----|---------|-------|
| № участка     |                           | Широта |  |    | Долгота |       |
| 15            | 77 49 34,83               |        |  | 50 | 33      | 35,86 |

# Характеристика источника радиационного загрязнения

Место испытания боевых радиоактивных веществ (БРВ) в период 1953-1957 гг. БРВ представляли собой жидкие или порошкообразные радиоактивные рецептуры.

# Экологические характеристики объекта

На участке радиоактивного загрязнения наиболее показательным техногенным радионуклидом является  $^{90}$ Sr (Рисунок 19). Радиоактивное загрязнение имеет масштабный характер и сконцентрировано в основном в северной части радиационно-загрязненного участка.

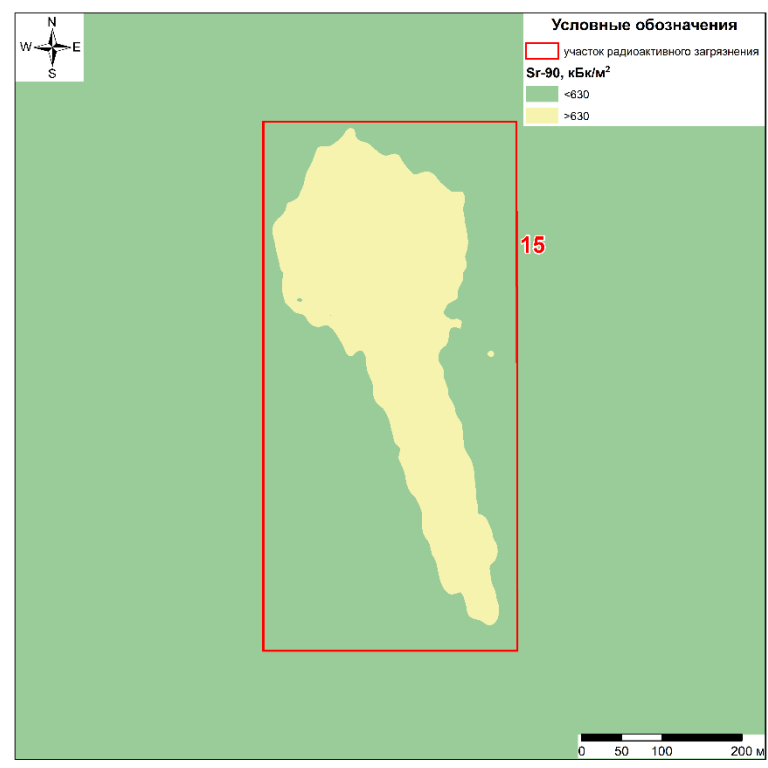


Рисунок 19. Карта площадного распределения <sup>90</sup>Sr на территории участка №15

Диапазон площадных активностей основных техногенных радионуклидов, кБк/м<sup>2</sup>:

- $\bullet$  <sup>241</sup>Am:  $<4.9\times10^2-6.2\times10^2$ ;
- $^{137}$ Cs:  $< 75 1,9 \times 10^2$ ;
- $^{90}$ Sr:  $<1,2\times10^2-2,7\times10^6$ ;
- $^{239+240}$ Pu:  $<4,1\times10^2$ .

Площадь радиоактивного загрязнения, превышающая значения, указанные в Критериях оценки экологической обстановки территорий, составляет порядка  $6.1 \times 10^{-2}$  км<sup>2</sup>. В тоже время объем радиоактивного материала составляет порядка  $6.7 \times 10^3$  м<sup>3</sup>.

# Место расположения

Участок радиоактивного загрязнения расположен в восточной части площадки «4а». Географические координаты представлены в таблице (Таблица 17).

Таблица 17. Географические координаты участка №16

| No vivo amino | Географические координаты |        |       |    |         |       |
|---------------|---------------------------|--------|-------|----|---------|-------|
| № участка     |                           | Широта |       |    | Долгота |       |
| 16            | 77                        | 50     | 17,21 | 50 | 33      | 59,70 |

# Характеристика источника радиационного загрязнения

Место испытания боевых радиоактивных веществ (БРВ) в период 1953-1957 гг. БРВ представляли собой жидкие или порошкообразные радиоактивные рецептуры.

# Экологические характеристики объекта

На участке радиоактивного загрязнения наиболее показательным техногенным радионуклидом является  $^{90}$ Sr (Рисунок 20). Радиоактивное загрязнение имеет масштабный характер и сконцентрировано в основном в центральной части радиационно-загрязненного участка.

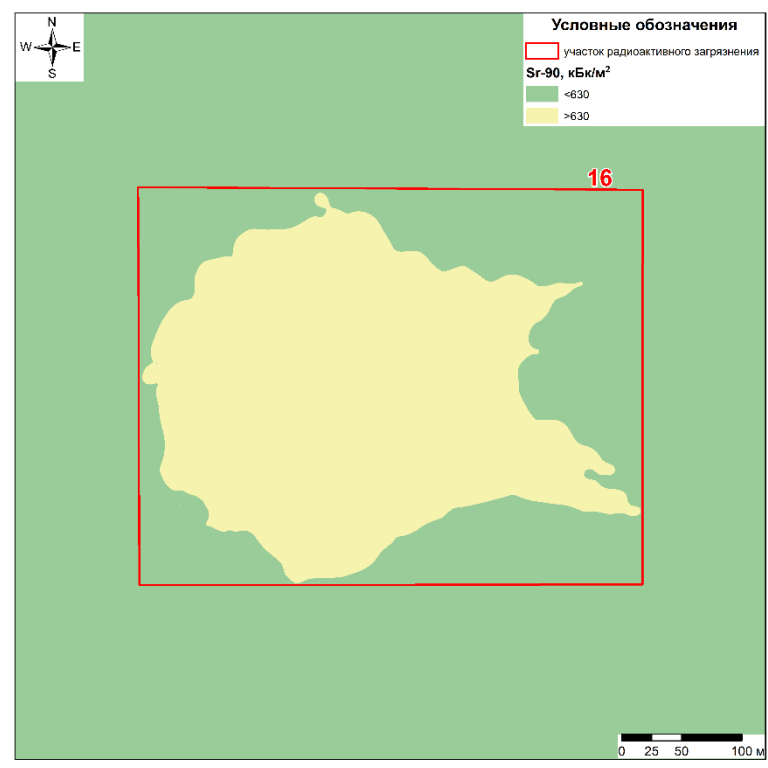


Рисунок 20. Карта площадного распределения <sup>90</sup>Sr на территории участка №16

Диапазон площадных активностей основных техногенных радионуклидов, кБк/м<sup>2</sup>:

- $\bullet$  <sup>241</sup>Am:  $<4,9\times10^2-7,8\times10^2$ ;
- $^{137}$ Cs:  $< 75 2,0 \times 10^2$ ;
- $^{90}$ Sr:  $<1,2\times10^2-5,1\times10^6$ ;
- $\bullet$  <sup>239+240</sup>Pu: <4,1×10<sup>2</sup> 1,7×10<sup>3</sup>.

Площадь радиоактивного загрязнения, превышающая значения, указанные в Критериях оценки экологической обстановки территорий, составляет порядка  $5.9 \times 10^{-2}$  км<sup>2</sup>. В тоже время объем радиоактивного материала составляет порядка  $6.5 \times 10^3$  м<sup>3</sup>.

# Место расположения

Участок радиоактивного загрязнения расположен в восточной части площадки «4а». Географические координаты представлены в таблице (Таблица 18).

Таблица 18. Географические координаты участка №17

| No vivo amuso |        |    | Географические координаты |         |    |       |  |
|---------------|--------|----|---------------------------|---------|----|-------|--|
| № участка     | Широта |    |                           | Долгота |    |       |  |
| 17            | 77     | 50 | 12,04                     | 50      | 33 | 43,23 |  |

# Характеристика источника радиационного загрязнения

Место испытания боевых радиоактивных веществ (БРВ) в период 1953-1957 гг. БРВ представляли собой жидкие или порошкообразные радиоактивные рецептуры.

#### Экологические характеристики объекта

На участке радиоактивного загрязнения наиболее показательным техногенным радионуклидом является  $^{90}$ Sr (Рисунок 20). Радиоактивное загрязнение имеет масштабный характер и сконцентрировано в основном в западной части радиационно-загрязненного участка.

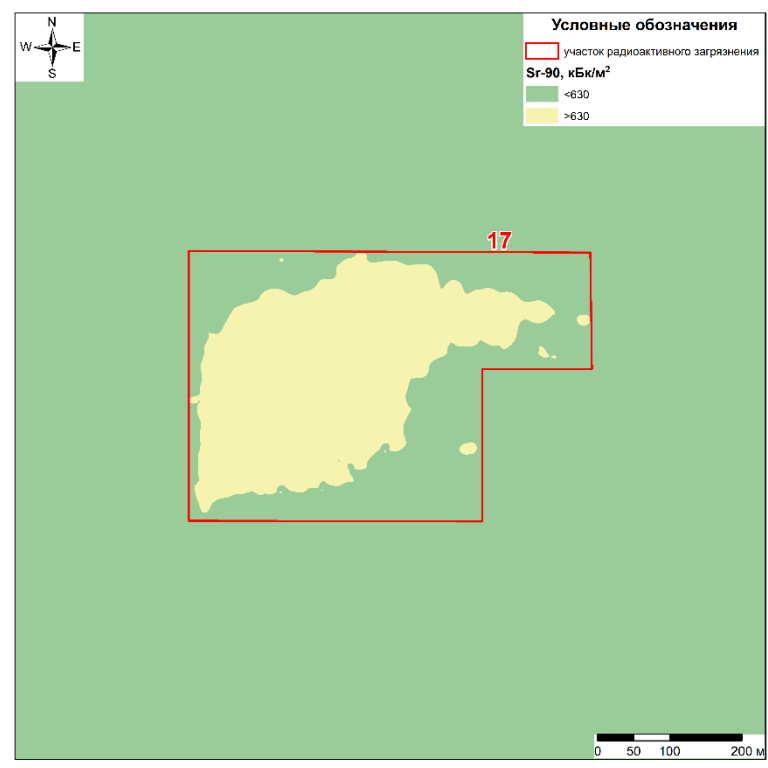


Рисунок 21. Карта площадного распределения <sup>90</sup>Sr на территории участка №17

Диапазон площадных активностей основных техногенных радионуклидов, кБк/м<sup>2</sup>:

- $\bullet$  <sup>241</sup>Am:  $<4.9\times10^2-2.3\times10^3$ ;
- $^{137}$ Cs:  $< 75 8,0 \times 10^2$ ;
- $^{90}$ Sr:  $<1,2\times10^2-7,3\times10^6$ ;
- $\bullet$  <sup>239+240</sup>Pu: <4,1×10<sup>2</sup> 6,4×10<sup>3</sup>.

Площадь радиоактивного загрязнения, превышающая значения, указанные в Критериях оценки экологической обстановки территорий, составляет порядка  $2.8 \times 10^{-2}$  км<sup>2</sup>. В тоже время объем радиоактивного материала составляет порядка  $3.2 \times 10^3$  м<sup>3</sup>.

# Место расположения

Участок радиоактивного загрязнения расположен в восточной части площадки «4a» (Таблица 19).

Таблица 19. Географические координаты участка №18

| No vivo amino | Географические координаты |        |      |    |         |       |
|---------------|---------------------------|--------|------|----|---------|-------|
| № участка     |                           | Широта |      |    | Долгота |       |
| 18            | 77                        | 50     | 2,97 | 50 | 33      | 29,46 |

# Характеристика источника радиационного загрязнения

Место испытания боевых радиоактивных веществ (БРВ) в период 1953-1957 гг. БРВ представляли собой жидкие или порошкообразные радиоактивные рецептуры.

#### Экологические характеристики объекта

На участке радиоактивного загрязнения наиболее показательным техногенным радионуклидом является  $^{90}$ Sr (Рисунок 21). Радиоактивное загрязнение имеет масштабный характер и сконцентрировано в основном в центральной части радиационно-загрязненного участка.

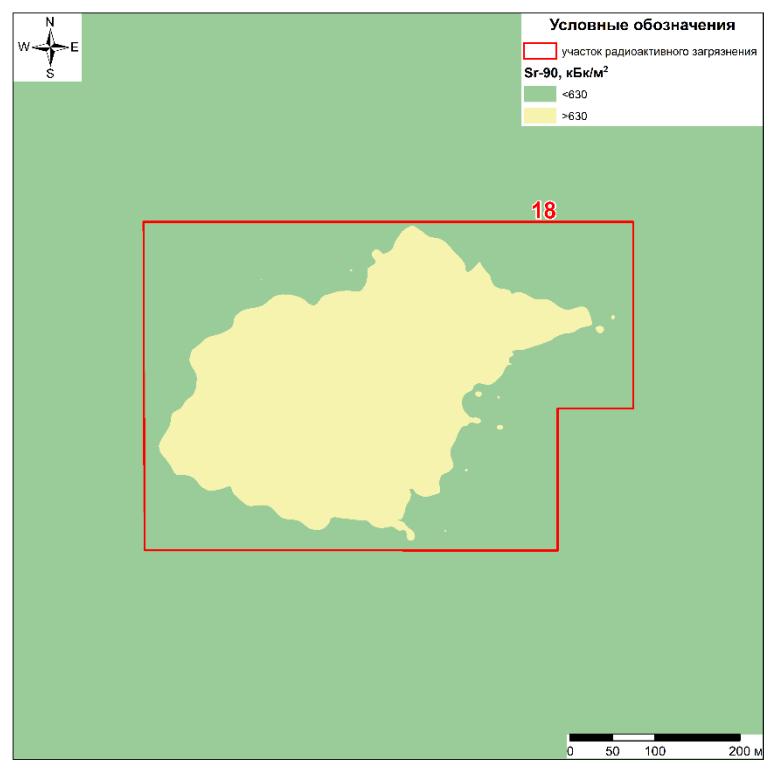


Рисунок 22. Карта площадного распределения <sup>90</sup>Sr на территории участка №18

Диапазон площадных активностей основных техногенных радионуклидов, кБк/м<sup>2</sup>:

- $\bullet^{241}$ Am:  $<4,9\times10^2-4,3\times10^3$ ;
- $^{137}$ Cs:  $< 75 9.0 \times 10^2$ ;
- $^{90}$ Sr:  $<1,2\times10^2-4,1\times10^6$ ;
- $\bullet$  <sup>239+240</sup>Pu: <4.1×10<sup>2</sup>.

Площадь радиоактивного загрязнения, превышающая значения, указанные в Критериях оценки экологической обстановки территорий, составляет порядка  $6.1 \times 10^{-2}$  км<sup>2</sup>. В тоже время объем радиоактивного материала составляет порядка  $6.5 \times 10^3$  м<sup>3</sup>.

# Место расположения

Участок радиоактивного загрязнения расположен в юго-западной части площадки «4a». Географические координаты представлены в таблице (Таблица 20).

Таблица 20. Географические координаты участка №19

| No vivo amino | Географические координаты |        |       |    |         |       |
|---------------|---------------------------|--------|-------|----|---------|-------|
| № участка     |                           | Широта |       |    | Долгота |       |
| 19            | 77                        | 45     | 11,12 | 50 | 33      | 42,05 |

# Характеристика источника радиационного загрязнения

Место испытания боевых радиоактивных веществ (БРВ) в период 1953-1957 гг. БРВ представляли собой жидкие или порошкообразные радиоактивные рецептуры.

#### Экологические характеристики объекта

На участке радиоактивного загрязнения наиболее показательным техногенным радионуклидом является  $^{90}$ Sr (Рисунок 23). Радиоактивное загрязнение имеет масштабный характер и сконцентрировано в основном в северной части радиационно-загрязненного участка.

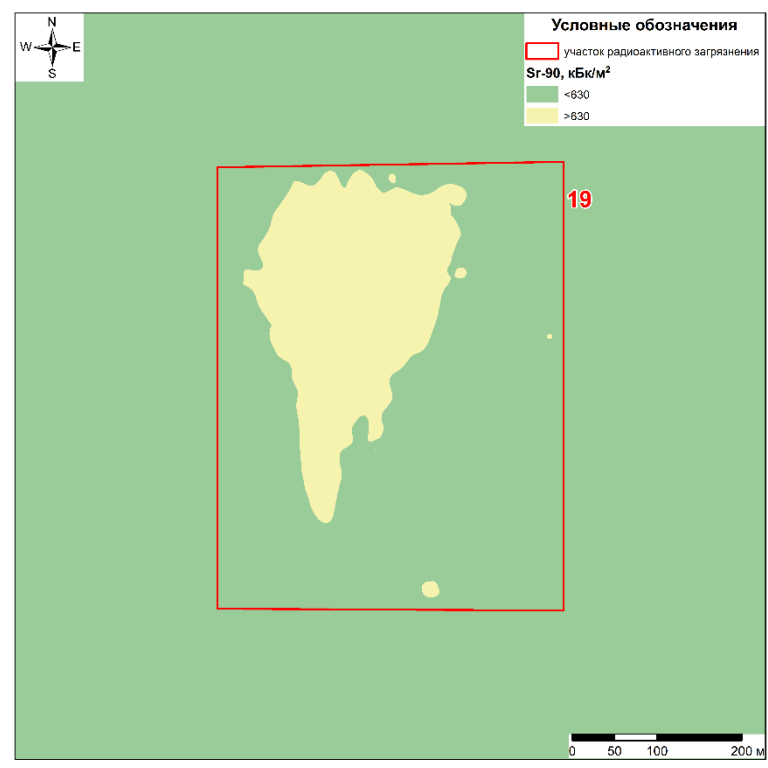


Рисунок 23. Карта площадного распределения <sup>90</sup>Sr на территории участка №19

Диапазон площадных активностей основных техногенных радионуклидов, кБк/м<sup>2</sup>:

- $\bullet$  <sup>241</sup>Am: <4,9×10<sup>2</sup>;
- $^{137}$ Cs:  $< 75 2,3 \times 10^2$ ;
- $^{90}$ Sr:  $<1,2\times10^2-1,6\times10^6$ ;
- $^{239+240}$ Pu:  $<4,1\times10^2-1,1\times10^3$ .

Площадь радиоактивного загрязнения, превышающая значения, указанные в Критериях оценки экологической обстановки территорий, составляет порядка  $2,6 \times 10^{-2}$  км<sup>2</sup>. В тоже время объем радиоактивного материала составляет порядка  $2,9 \times 10^3$  м<sup>3</sup>.

# Место расположения

Участок радиоактивного загрязнения расположен в юго-западной части площадки «4a». Географические координаты представлены в таблице (Таблица 21).

Таблица 21. Географические координаты участка №20

| No vivo amino | Географические координаты |        |       |    |         |       |
|---------------|---------------------------|--------|-------|----|---------|-------|
| № участка     |                           | Широта |       |    | Долгота |       |
| 20            | 77                        | 45     | 24,77 | 50 | 33      | 13,00 |

# Характеристика источника радиационного загрязнения

Место испытания боевых радиоактивных веществ (БРВ) в период 1953-1957 гг. БРВ представляли собой жидкие или порошкообразные радиоактивные рецептуры.

#### Экологические характеристики объекта

На участке радиоактивного загрязнения наиболее показательным техногенным радионуклидом является  $^{90}$ Sr (Рисунок 24). Радиоактивное загрязнение имеет масштабный характер и сконцентрировано в основном в центральной части радиационно-загрязненного участка.

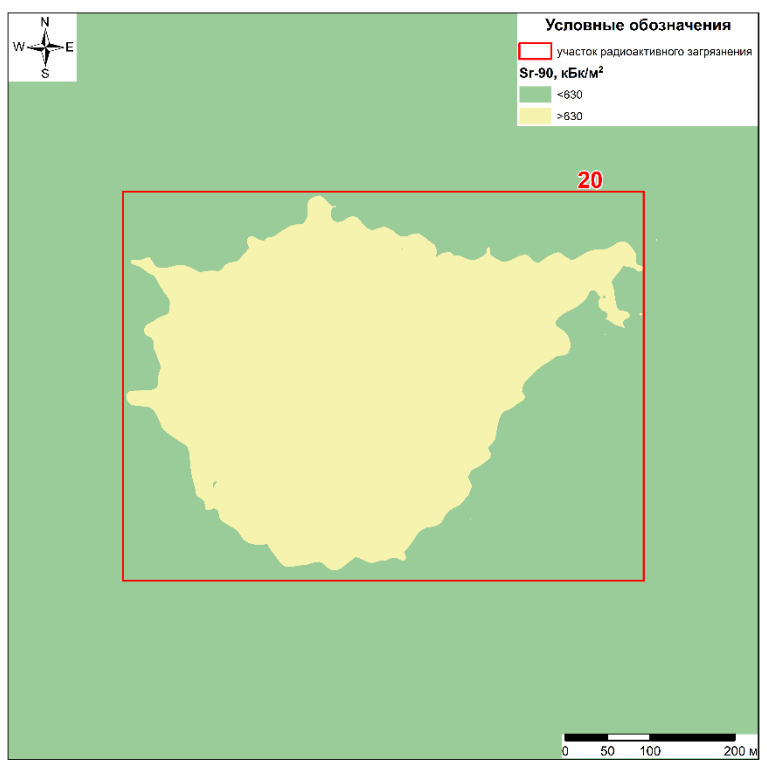


Рисунок 24. Карта площадного распределения <sup>90</sup>Sr на территории участка №20

Диапазон площадных активностей основных техногенных радионуклидов, кБк/м<sup>2</sup>:

- $\bullet$  <sup>241</sup>Am: <4,9×10<sup>2</sup> 1,8×10<sup>3</sup>;
- $^{137}$ Cs:  $< 75 7,0 \times 10^2$ ;
- $^{90}$ Sr:  $<1,2\times10^2-4,1\times10^6$ ;
- $\bullet$  <sup>239+240</sup>Pu: <4,1×10<sup>2</sup> 2,9×10<sup>4</sup>.

Площадь радиоактивного загрязнения, превышающая значения, указанные в Критериях оценки экологической обстановки территорий, составляет порядка  $6.3 \times 10^{-2}$  км<sup>2</sup>. В тоже время объем радиоактивного материала составляет порядка  $7.5 \times 10^3$  м<sup>3</sup>.

# Место расположения

Участок радиоактивного загрязнения расположен в центральной части площадки «4а». Географические координаты представлены в таблице (Таблица 22).

Таблица 22. Географические координаты участка №21

| No vivo omizo | Географические координаты |    |       |         |    |       |  |
|---------------|---------------------------|----|-------|---------|----|-------|--|
| № участка     | Широта                    |    |       | Долгота |    |       |  |
| 21            | 77                        | 46 | 41,57 | 50      | 33 | 40,40 |  |

# Характеристика источника радиационного загрязнения

Место испытания боевых радиоактивных веществ (БРВ) в период 1953-1957 гг. БРВ представляли собой жидкие или порошкообразные радиоактивные рецептуры.

# Экологические характеристики объекта

На участке радиоактивного загрязнения наиболее показательным техногенным радионуклидом является  $^{90}$ Sr (Рисунок 25). Радиоактивное загрязнение имеет масштабный характер и сконцентрировано в основном в центральной части радиационно-загрязненного участка.

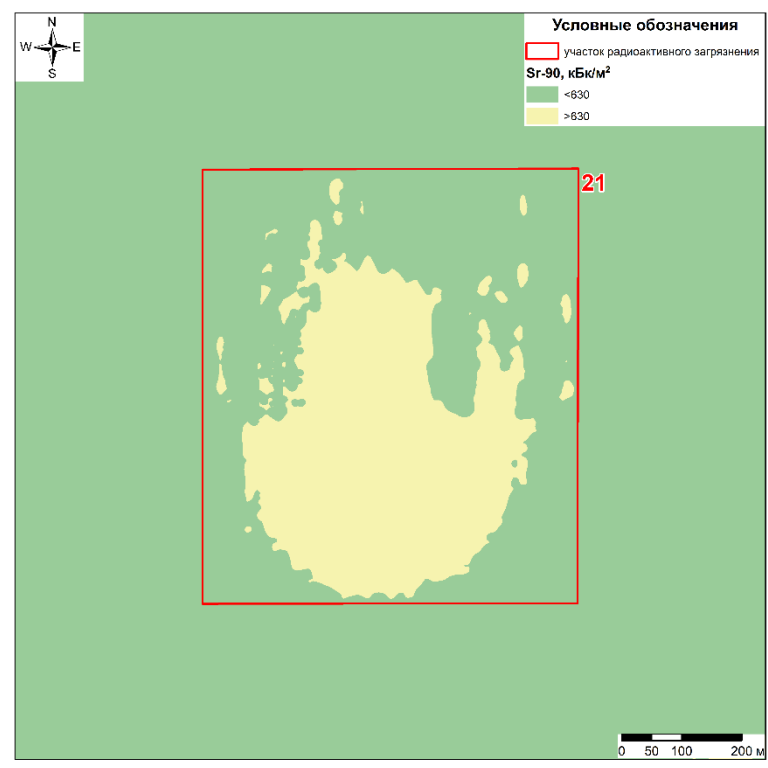


Рисунок 25. Карта площадного распределения <sup>90</sup>Sr на территории участка №21

Диапазон площадных активностей основных техногенных радионуклидов, кБк/м<sup>2</sup>:

- $\bullet^{241}$ Am:  $<4,9\times10^2-1,6\times10^3$ ;
- $^{137}$ Cs:  $< 75 1.2 \times 10^5$ ;
- $^{90}$ Sr:  $<1,2\times10^2-7,6\times10^6$ ;
- $^{239+240}$ Pu:  $<4.1\times10^2-4.7\times10^4$ .

Площадь радиоактивного загрязнения, превышающая значения, указанные в Критериях оценки экологической обстановки территорий, составляет порядка  $8.3 \times 10^{-2} \, \mathrm{km}^2$ . В тоже время объем радиоактивного материала составляет порядка  $9.3 \times 10^3 \, \mathrm{m}^3$ .

# Место расположения

Участок радиоактивного загрязнения расположен в центральной части площадки «4а». Географические координаты представлены в таблице (Таблица 23).

Таблица 23. Географические координаты участка №22

| No vivo amino | Географические координаты |        |  |    |         |       |
|---------------|---------------------------|--------|--|----|---------|-------|
| № участка     |                           | Широта |  |    | Долгота |       |
| 22            | 77 47 24,40               |        |  | 50 | 33      | 37,37 |

# Характеристика источника радиационного загрязнения

Место испытания боевых радиоактивных веществ (БРВ) в период 1953-1957 гг. БРВ представляли собой жидкие или порошкообразные радиоактивные рецептуры.

# Экологические характеристики объекта

На участке радиоактивного загрязнения наиболее показательным техногенным радионуклидом является <sup>90</sup>Sr (Рисунок 26). Радиоактивное загрязнение имеет локальный характер и сконцентрировано в основном южной части радиационно-загрязненного участка.

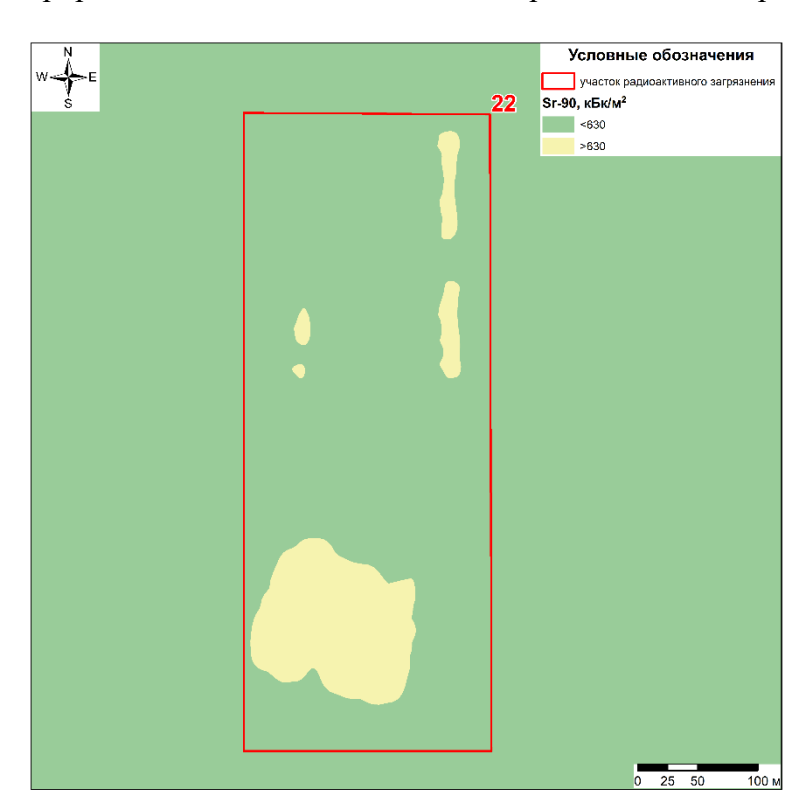


Рисунок 26. Карта площадного распределения <sup>90</sup>Sr на территории участка №22

Диапазон площадных активностей основных техногенных радионуклидов, кБк/м<sup>2</sup>:

- $\bullet$  <sup>241</sup>Am: <4.9×10<sup>2</sup>:
- $^{137}$ Cs:  $<75-4,3\times10^3$ ;
- $\bullet$  90Sr:  $<1,2\times10^2-2,1\times10^4$ ;
- $^{239+240}$ Pu:  $<4.1\times10^2-1.2\times10^3$ .

Площадь радиоактивного загрязнения, превышающая значения, указанные в Критериях оценки экологической обстановки территорий, составляет порядка  $5.6 \times 10^{-3}$  км<sup>2</sup>. В тоже время объем радиоактивного материала составляет порядка  $5.6 \times 10^2$  м<sup>3</sup>.

# Место расположения

Участок радиоактивного загрязнения расположен в центральной части площадки «4а». Географические координаты представлены в таблице (Таблица 24).

Таблица 24. Географические координаты участка №23

| No vivo amino | Географические координаты |        |       |    |         |       |
|---------------|---------------------------|--------|-------|----|---------|-------|
| № участка     |                           | Широта |       |    | Долгота |       |
| 23            | 77                        | 47     | 12,63 | 50 | 33      | 22,79 |

# Характеристика источника радиационного загрязнения

Место испытания боевых радиоактивных веществ (БРВ) в период 1953-1957 гг. БРВ представляли собой жидкие или порошкообразные радиоактивные рецептуры.

# Экологические характеристики объекта

На участке радиоактивного загрязнения наиболее показательным техногенным радионуклидом является  $^{90}$ Sr (Рисунок 27). Радиоактивное загрязнение имеет масштабный характер и сконцентрировано в основном в центральной части радиационно-загрязненного участка.

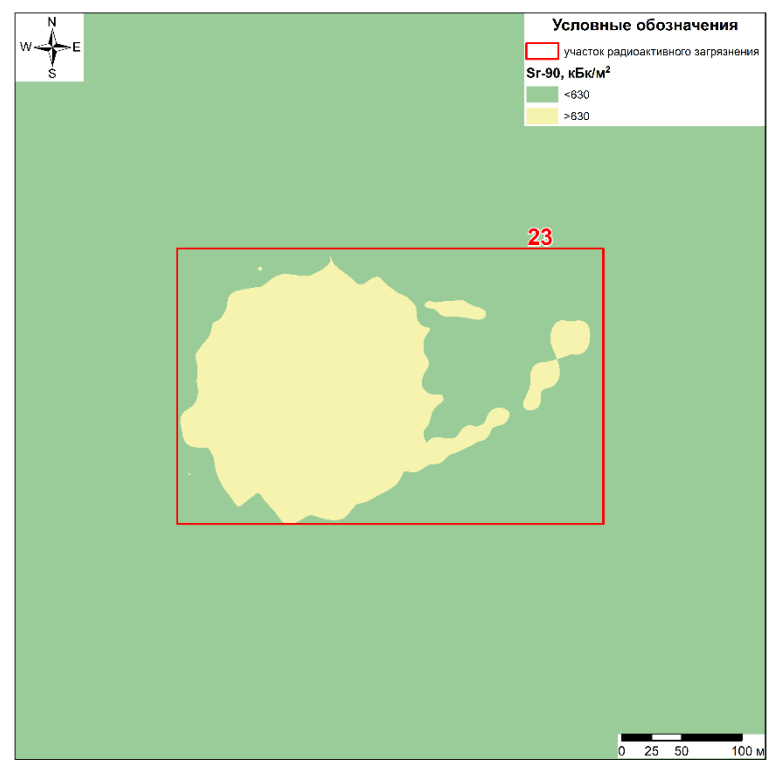


Рисунок 27. Карта площадного распределения <sup>90</sup>Sr на территории участка №23

Диапазон площадных активностей основных техногенных радионуклидов, кБк/м<sup>2</sup>:

- $\bullet$  <sup>241</sup>Am: <4,9×10<sup>2</sup>;
- $^{137}$ Cs:  $<75-1,6\times10^3$ ;
- $^{90}$ Sr:  $<1,2\times10^2-1,3\times10^5$ ;
- $\bullet$  <sup>239+240</sup>Pu: <4.1×10<sup>2</sup>.

Площадь радиоактивного загрязнения, превышающая значения, указанные в Критериях оценки экологической обстановки территорий, составляет порядка  $1,2\times10^{-3}$  км<sup>2</sup>. В тоже время объем радиоактивного материала составляет порядка  $1,1\times10^3$  м<sup>3</sup>.

# Место расположения

Участок радиоактивного загрязнения расположен в центральной части площадки «4а». Географические координаты представлены в таблице (Таблица 25).

Таблица 25. Географические координаты участка №24

| Мо тито от то | Географич |    |       | ие координаты |    |       |  |
|---------------|-----------|----|-------|---------------|----|-------|--|
| № участка     | Широта    |    |       | Долгота       |    |       |  |
| 24            | 77        | 47 | 51,25 | 50            | 33 | 31,92 |  |

# Характеристика источника радиационного загрязнения

Место испытания боевых радиоактивных веществ (БРВ) в период 1953-1957 гг. БРВ представляли собой жидкие или порошкообразные радиоактивные рецептуры.

#### Экологические характеристики объекта

На участке радиоактивного загрязнения наиболее показательным техногенным радионуклидом является  $^{90}$ Sr (Рисунок 28). Радиоактивное загрязнение имеет масштабный характер и сконцентрировано в основном в центральной части радиационно-загрязненного участка.

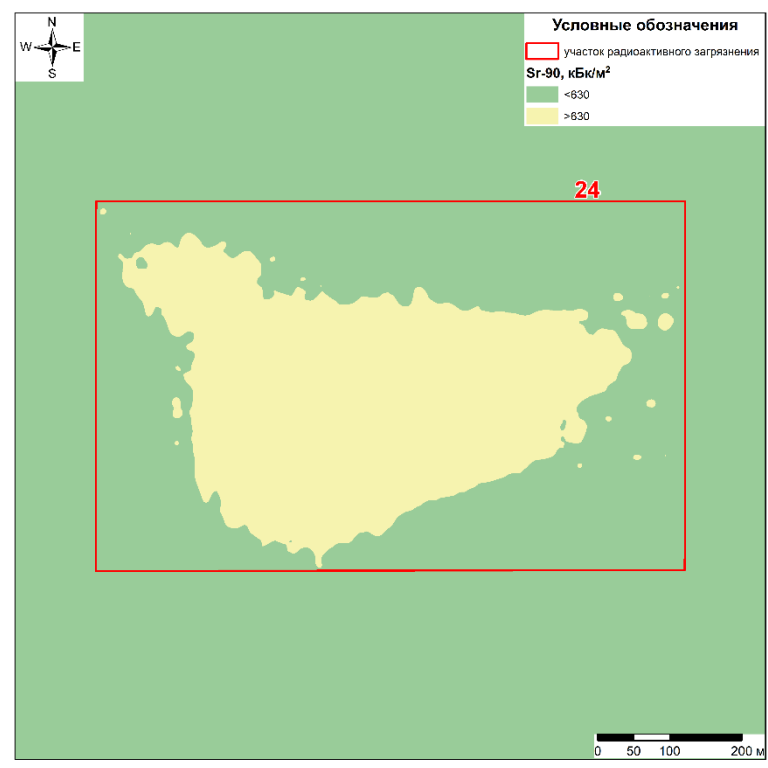


Рисунок 28. Карта площадного распределения <sup>90</sup>Sr на территории участка №24

Диапазон площадных активностей основных техногенных радионуклидов, кБк/м<sup>2</sup>:

- $^{241}$ Am:  $<4,9\times10^2$ ;
- $^{137}$ Cs:  $< 75 1,6 \times 10^4$ ;
- $^{90}$ Sr:  $<1,2\times10^2-9,7\times10^5$ ;
- $\bullet$  <sup>239+240</sup>Pu: <4,1×10<sup>2</sup> 6,4×10<sup>3</sup>.

Площадь радиоактивного загрязнения, превышающая значения, указанные в Критериях оценки экологической обстановки территорий, составляет порядка  $6.4 \times 10^{-2}$  км<sup>2</sup>. В тоже время объем радиоактивного материала составляет порядка  $8.1 \times 10^3$  м<sup>3</sup>.

# Место расположения

Участок радиоактивного загрязнения расположен в южной части площадки «4а». Географические координаты представлены в таблице (Таблица 26).

Таблица 26. Географические координаты участка №25

| No vivo omvo | No vivo etivo |    |      | Географические координаты |    |       |  |
|--------------|---------------|----|------|---------------------------|----|-------|--|
| № участка    | Широта        |    |      | Долгота                   |    |       |  |
| 25           | 77            | 48 | 6,13 | 50                        | 33 | 21,16 |  |

# Характеристика источника радиационного загрязнения

Место испытания боевых радиоактивных веществ (БРВ) в период 1953-1957 гг. БРВ представляли собой жидкие или порошкообразные радиоактивные рецептуры.

# Экологические характеристики объекта

На участке радиоактивного загрязнения наиболее показательным техногенным радионуклидом является  $^{90}$ Sr (Рисунок 29). Радиоактивное загрязнение имеет масштабный характер и сконцентрировано в основном в центральной части радиационно-загрязненного участка.

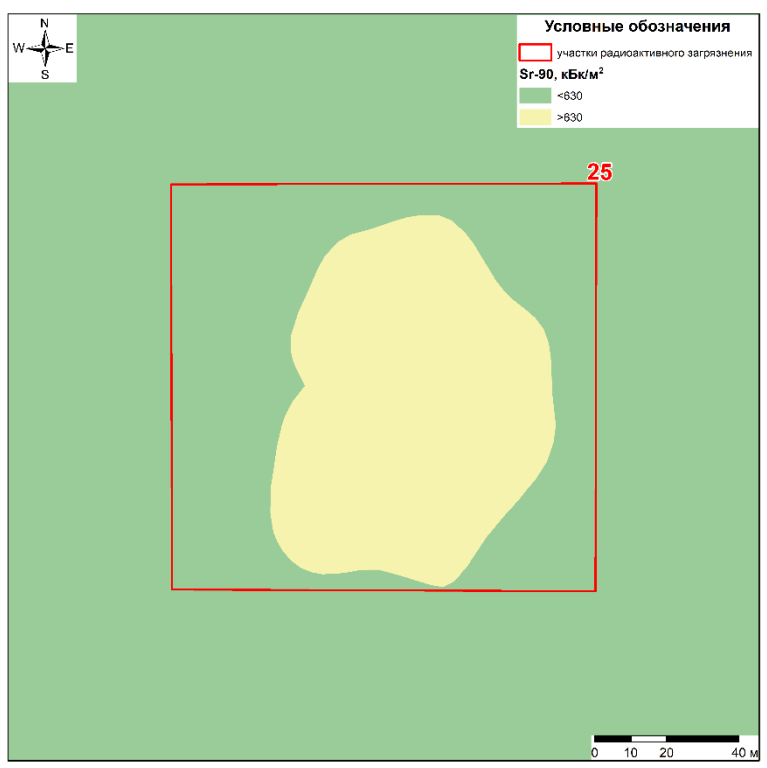


Рисунок 29. Карта площадного распределения <sup>90</sup>Sr на территории участка №25

Диапазон площадных активностей основных техногенных радионуклидов, кБк/м<sup>2</sup>:

- $\bullet$  <sup>241</sup>Am: <4,9×10<sup>2</sup>;
- $^{137}$ Cs: <75;
- $^{90}$ Sr:  $<1,2\times10^2-5,5\times10^6$ ;
- $^{239+240}$ Pu:  $<4.1\times10^2$ .

Площадь радиоактивного загрязнения, превышающая значения, указанные в Критериях оценки экологической обстановки территорий, составляет порядка  $2.3 \times 10^{-3}$  км<sup>2</sup>. В тоже время объем радиоактивного материала составляет порядка  $2.4 \times 10^2$  м<sup>3</sup>.

# Место расположения

Участок радиоактивного загрязнения расположен в южной части площадки «4а». Географические координаты представлены в таблице (Таблица 27).

Таблица 27. Географические координаты участка №26

| No vivo amino | Географические координаты |        |      |         |    |       |
|---------------|---------------------------|--------|------|---------|----|-------|
| № участка     |                           | Широта |      | Долгота |    |       |
| 26            | 77                        | 44     | 4,08 | 50      | 34 | 12,00 |

# Характеристика источника радиационного загрязнения

Место испытания боевых радиоактивных веществ (БРВ) в период 1953-1957 гг. БРВ представляли собой жидкие или порошкообразные радиоактивные рецептуры.

# Экологические характеристики объекта

На участке радиоактивного загрязнения наиболее показательным техногенным радионуклидом является  $^{90}$ Sr (Рисунок 30). Радиоактивное загрязнение имеет локальный характер и сконцентрировано в основном в северной части радиационно-загрязненного участка.

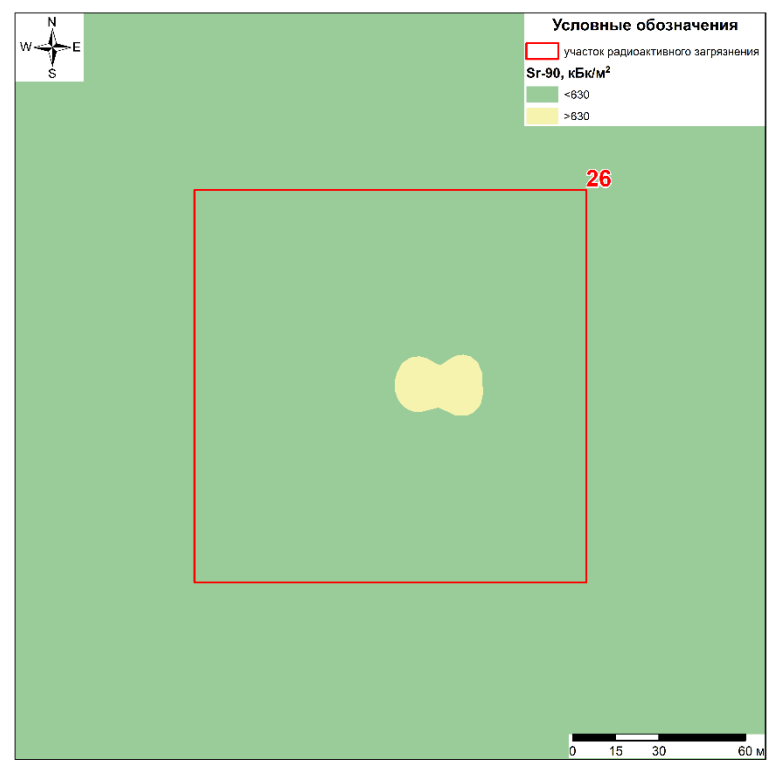


Рисунок 30. Карта площадного распределения <sup>90</sup>Sr на территории участка №26

Диапазон площадных активностей основных техногенных радионуклидов, кБк/м<sup>2</sup>:

- $\bullet$  <sup>241</sup>Am: <4,9×10<sup>2</sup>;
- $^{137}$ Cs: <75;
- $^{90}$ Sr:  $<1,2\times10^2-5,7\times10^4$ ;
- $^{239+240}$ Pu:  $<4.1\times10^2$ .

Площадь радиоактивного загрязнения, превышающая значения, указанные в Критериях оценки экологической обстановки территорий, составляет порядка  $3.4 \times 10^{-4}$  км<sup>2</sup>. В тоже время объем радиоактивного материала составляет порядка  $3.4 \times 10^{1}$  м<sup>3</sup>.

# Место расположения

Участок радиоактивного загрязнения расположен в южной части площадки «4а». Географические координаты представлены в таблице (Таблица 28).

Таблица 28. Географические координаты участка №27

| No vivo amino | Географические координаты |        |       |         |    |       |
|---------------|---------------------------|--------|-------|---------|----|-------|
| № участка     |                           | Широта |       | Долгота |    |       |
| 27            | 77                        | 44     | 36,44 | 50      | 34 | 12,99 |

# Характеристика источника радиационного загрязнения

Место испытания боевых радиоактивных веществ (БРВ) в период 1953-1957 гг. БРВ представляли собой жидкие или порошкообразные радиоактивные рецептуры.

# Экологические характеристики объекта

На участке радиоактивного загрязнения наиболее показательным техногенным радионуклидом является  $^{90}$ Sr (Рисунок 31). Радиоактивное загрязнение имеет локальный характер и сконцентрировано в основном в центральной части радиационно-загрязненного участка.

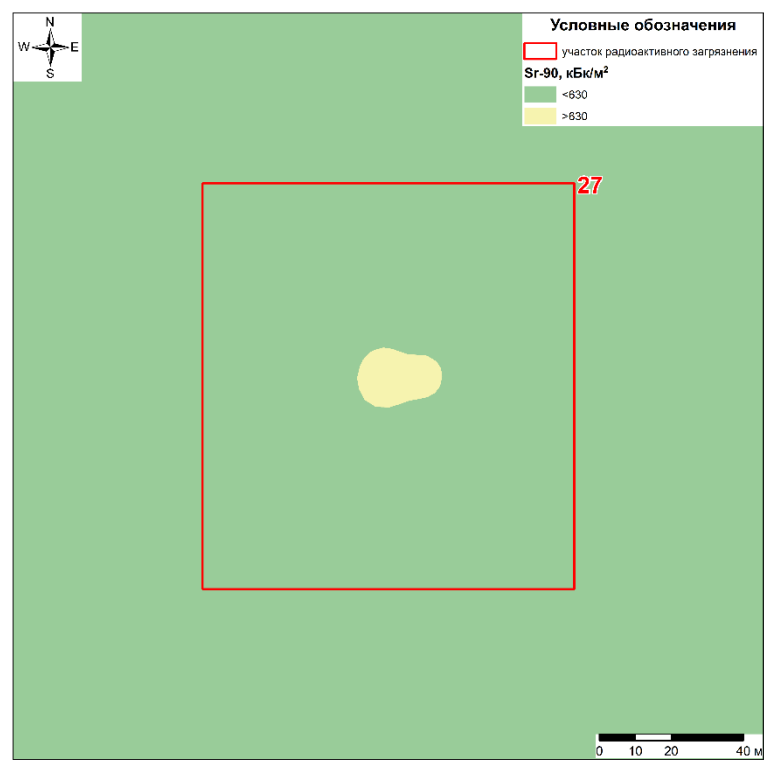


Рисунок 31. Карта площадного распределения <sup>90</sup>Sr на территории участка №27

Диапазон площадных активностей основных техногенных радионуклидов, кБк/м<sup>2</sup>:

- $\bullet$  <sup>241</sup>Am: <4,9×10<sup>2</sup>;
- $^{137}$ Cs: <75;
- $\bullet$  90Sr:  $<1,2\times10^2-1,8\times10^4$ ;
- $^{239+240}$ Pu:  $<4.1\times10^2$ .

Площадь радиоактивного загрязнения, превышающая значения, указанные в Критериях оценки экологической обстановки территорий, составляет порядка  $2.5 \times 10^{-5}$  км<sup>2</sup>. В тоже время объем радиоактивного материала составляет порядка 3.0 м<sup>3</sup>.

#### Место расположения

Участок радиоактивного загрязнения расположен в западной части площадки «4а». Географические координаты представлены в таблице (Таблица 29).

Таблица 29. Географические координаты участка №28

| Мо тута отта | Географические координаты |      |       |         |    |       |  |
|--------------|---------------------------|------|-------|---------|----|-------|--|
| № участка    |                           | Широ | га    | Долгота |    |       |  |
| 28           | 77                        | 44   | 54,62 | 50      | 34 | 11,95 |  |

# Характеристика источника радиационного загрязнения

Место испытания боевых радиоактивных веществ (БРВ) в период 1953-1957 гг. БРВ представляли собой жидкие или порошкообразные радиоактивные рецептуры.

# Экологические характеристики объекта

На участке радиоактивного загрязнения наиболее показательным техногенным радионуклидом является <sup>90</sup>Sr (Рисунок 32). Радиоактивное загрязнение имеет локальный характер и сконцентрировано в основном в северо-восточной части радиационно-загрязненного участка.

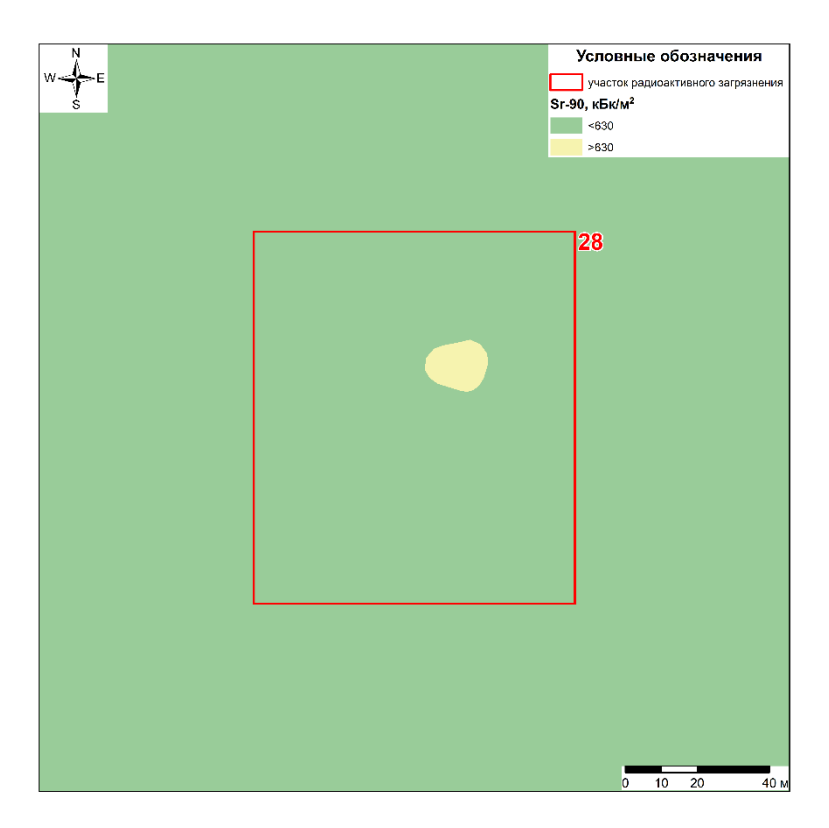


Рисунок 32. Карта площадного распределения <sup>90</sup>Sr на территории участка №28

Диапазон площадных активностей основных техногенных радионуклидов, кБк/м<sup>2</sup>:

- $\bullet$  <sup>241</sup>Am: <4,9×10<sup>2</sup>;
- <sup>137</sup>Cs: <75:
- $^{90}$ Sr:  $<1,2\times10^2-1,7\times10^4$ ;
- $^{239+240}$ Pu:  $<4,1\times10^2$ .

Площадь радиоактивного загрязнения, превышающая значения, указанные в Критериях оценки экологической обстановки территорий, составляет порядка  $1,1\times10^{-5}$  км<sup>2</sup>. В тоже время объем радиоактивного материала составляет порядка 1,0 м<sup>3</sup>

# Место расположения

Участок радиоактивного загрязнения расположен в юго-западной части площадки «4а». Географические координаты представлены в таблице (Таблица 30).

Таблица 30. Географические координаты участка №29

| Ma vyva amysa | Географические координаты |      |       |         |    |       |
|---------------|---------------------------|------|-------|---------|----|-------|
| № участка     |                           | Широ | га    | Долгота |    |       |
| 29            | 77                        | 43   | 44,54 | 50      | 33 | 33,65 |

# Характеристика источника радиационного загрязнения

Место испытания боевых радиоактивных веществ (БРВ) в период 1953-1957 гг. БРВ представляли собой жидкие или порошкообразные радиоактивные рецептуры.

# Экологические характеристики объекта

На участке радиоактивного загрязнения наиболее показательным техногенным радионуклидом является <sup>90</sup>Sr (Рисунок 33). Радиоактивное загрязнение имеет локальный характер и сконцентрировано в основном в северо-восточной части радиационно-загрязненного участка.

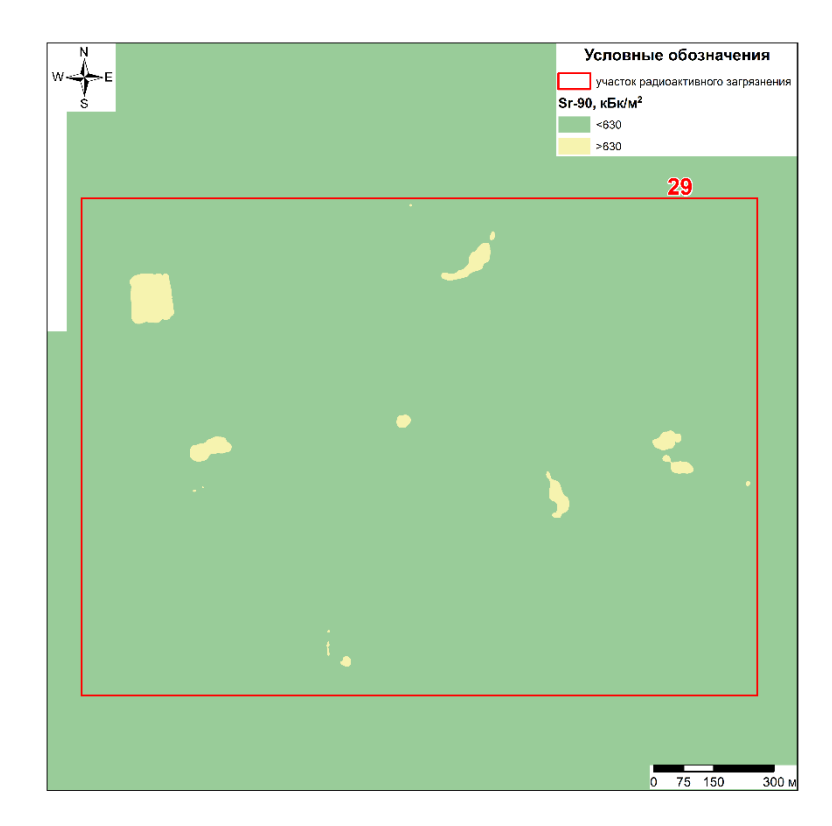


Рисунок 33. Карта площадного распределения <sup>90</sup>Sr на территории участка №29

Диапазон площадных активностей основных техногенных радионуклидов, кБк/м<sup>2</sup>:

- $\bullet$  <sup>241</sup>Am: <4.9×10<sup>2</sup>;
- $\bullet$  <sup>137</sup>Cs: <75 4.8×10<sup>2</sup>:
- $^{90}$ Sr:  $<1,2\times10^2-2,6\times10^4$ ;
- $^{239+240}$ Pu:  $<4,1\times10^2$ .

Площадь радиоактивного загрязнения, превышающая значения, указанные в Критериях оценки экологической обстановки территорий, составляет порядка  $1,1\times10^{-2}$  км<sup>2</sup>. В тоже время объем радиоактивного материала составляет порядка  $1,1\times10^3$  м<sup>3</sup>

# Место расположения

Участок радиоактивного загрязнения расположен в южной части площадки «4а». Географические координаты представлены в таблице (Таблица 31).

Таблица 31. Географические координаты участка №30

| Ma viva amvaa | Географические координаты |    |      |       |         |    |       |
|---------------|---------------------------|----|------|-------|---------|----|-------|
|               | № участка                 |    | Широ | га    | Долгота |    |       |
|               | 30                        | 77 | 46   | 11,50 | 50      | 32 | 38,95 |

# Характеристика источника радиационного загрязнения

Место испытания боевых радиоактивных веществ (БРВ) в период 1953-1957 гг. БРВ представляли собой жидкие или порошкообразные радиоактивные рецептуры.

# Экологические характеристики объекта

На участке радиоактивного загрязнения наиболее показательным техногенным радионуклидом является  $^{90}$ Sr (Рисунок 34). Радиоактивное загрязнение имеет локальный характер и сконцентрировано в основном в северо-восточной части радиационно-загрязненного участка.

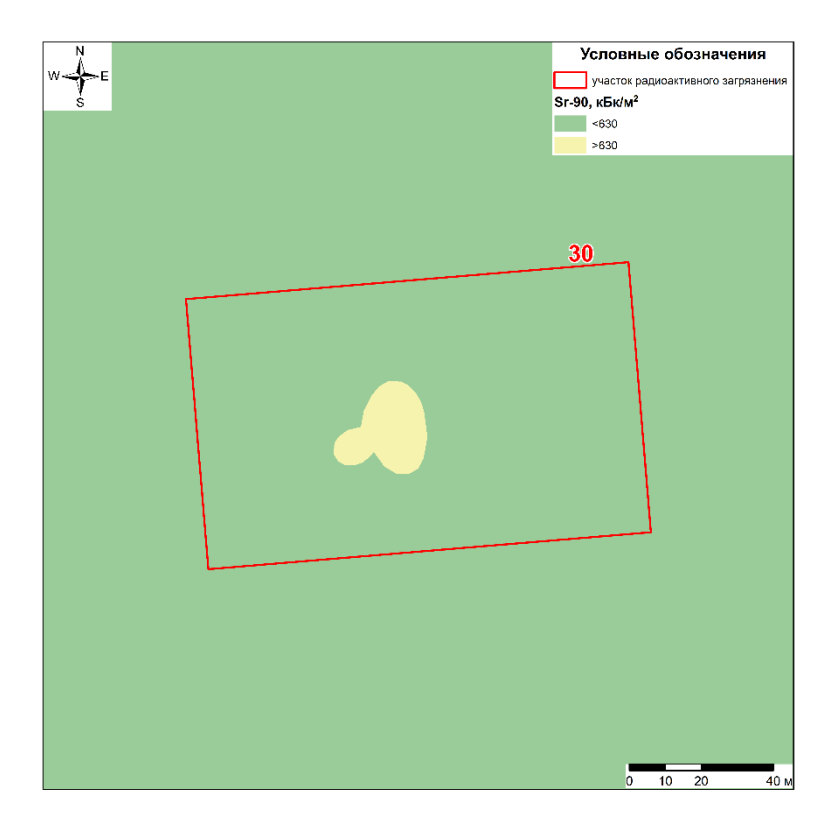


Рисунок 34. Карта площадного распределения <sup>90</sup>Sr на территории участка №30

Диапазон площадных активностей основных техногенных радионуклидов, кБк/м<sup>2</sup>:

- $\bullet$  <sup>241</sup>Am: <4,9×10<sup>2</sup>;
- <sup>137</sup>Cs: <75:
- $\bullet$  90Sr:  $<1,2\times10^2-9,0\times10^6$ ;
- $^{239+240}$ Pu:  $<4,1\times10^2$ .

Площадь радиоактивного загрязнения, превышающая значения, указанные в Критериях оценки экологической обстановки территорий, составляет порядка  $2.2 \times 10^{-4}$  км<sup>2</sup>. В тоже время объем радиоактивного материала составляет порядка  $2.7 \times 10^{1}$  м<sup>3</sup>

# Место расположения

Участок радиоактивного загрязнения расположен в восточной части площадки «4а». Географические координаты представлены в таблице (Таблица 32).

Таблица 32. Географические координаты участка №31

| No verso orreso | Географические координаты |      |       |         |    |      |
|-----------------|---------------------------|------|-------|---------|----|------|
| № участка       |                           | Широ | га    | Долгота |    |      |
| 31              | 77                        | 47   | 58,33 | 50      | 33 | 9,94 |

# Характеристика источника радиационного загрязнения

Место испытания боевых радиоактивных веществ (БРВ) в период 1953-1957 гг. БРВ представляли собой жидкие или порошкообразные радиоактивные рецептуры.

#### Экологические характеристики объекта

На участке радиоактивного загрязнения наиболее показательным техногенным радионуклидом является  $^{90}$ Sr (Рисунок 35). Радиоактивное загрязнение имеет локальный характер и сконцентрировано в основном в северо-восточной части радиационно-загрязненного участка.

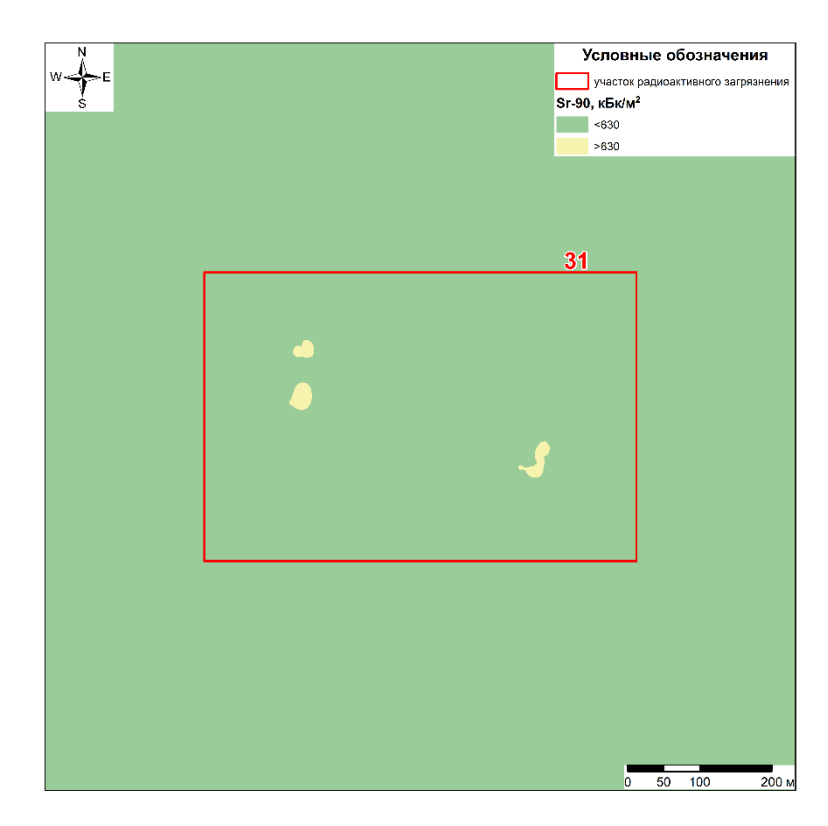


Рисунок 35. Карта площадного распределения <sup>90</sup>Sr на территории участка №31

Диапазон площадных активностей основных техногенных радионуклидов, кБк/м<sup>2</sup>:

- $\bullet$  <sup>241</sup>Am: <4.9×10<sup>2</sup>;
- <sup>137</sup>Cs: <75:
- $^{90}$ Sr:  $<1,2\times10^2-3,7\times10^4$ ;
- $^{239+240}$ Pu:  $<4,1\times10^2$ .

Площадь радиоактивного загрязнения, превышающая значения, указанные в Критериях оценки экологической обстановки территорий, составляет порядка  $3,4\times10^{-4}$  км². В тоже время объем радиоактивного материала составляет порядка  $3,4\times10^{1}$  м³

# Место расположения

Участок радиоактивного загрязнения расположен в восточной части площадки «4а». Географические координаты представлены в таблице (Таблица 33).

Таблица 33. Географические координаты участка №32

| No vivo orvino | Географические координаты |    |      |       |         |    |      |
|----------------|---------------------------|----|------|-------|---------|----|------|
|                | № участка                 |    | Широ | га    | Долгота |    |      |
| Γ              | 32                        | 77 | 48   | 56,54 | 50      | 33 | 9,59 |

# Характеристика источника радиационного загрязнения

Место испытания боевых радиоактивных веществ (БРВ) в период 1953-1957 гг. БРВ представляли собой жидкие или порошкообразные радиоактивные рецептуры.

# Экологические характеристики объекта

На участке радиоактивного загрязнения наиболее показательным техногенным радионуклидом является <sup>90</sup>Sr (Рисунок 36). Радиоактивное загрязнение имеет локальный характер и сконцентрировано в основном в северо-восточной части радиационно-загрязненного участка.

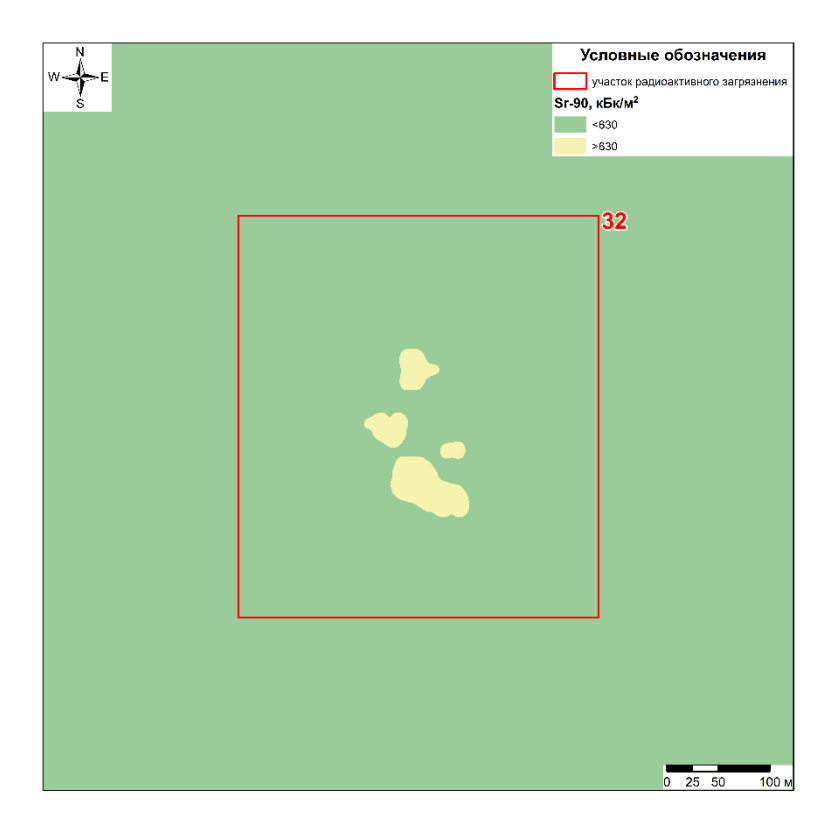


Рисунок 36. Карта площадного распределения <sup>90</sup>Sr на территории участка №32

Диапазон площадных активностей основных техногенных радионуклидов, кБк/м<sup>2</sup>:

- $^{241}$ Am:  $<4,9\times10^2$ ;
- <sup>137</sup>Cs: <75:
- $^{90}$ Sr:  $<1,2\times10^2-7,0\times10^4$ ;
- $^{239+240}$ Pu:  $<4,1\times10^2$ .

Площадь радиоактивного загрязнения, превышающая значения, указанные в Критериях оценки экологической обстановки территорий, составляет порядка  $1,1\times10^{-3}$  км<sup>2</sup>. В тоже время объем радиоактивного материала составляет порядка  $1,1\times10^2$  м<sup>3</sup>

# Место расположения

Участок радиоактивного загрязнения расположен за пределами восточной границы площадки «4а». Географические координаты представлены в таблице (Таблица 34).

Таблица 34. Географические координаты участка №33

| Vo        | Географические координаты |      |       |         |    |      |
|-----------|---------------------------|------|-------|---------|----|------|
| № участка |                           | Широ | га    | Долгота |    |      |
| 33        | 77                        | 49   | 43,56 | 50      | 33 | 6,01 |

# Характеристика источника радиационного загрязнения

Место испытания боевых радиоактивных веществ (БРВ) в период 1953-1957 гг. БРВ представляли собой жидкие или порошкообразные радиоактивные рецептуры.

#### Экологические характеристики объекта

На участке радиоактивного загрязнения наиболее показательным техногенным радионуклидом является  $^{90}$ Sr (Рисунок 37). Радиоактивное загрязнение имеет локальный характер и сконцентрировано в основном в западной части радиационно-загрязненного участка.

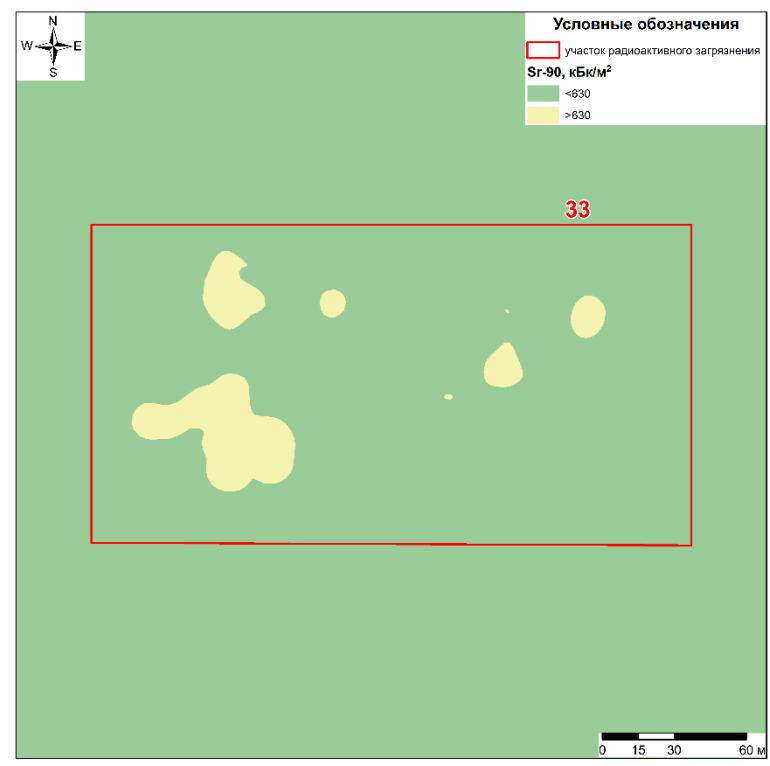


Рисунок 37. Карта площадного распределения <sup>90</sup>Sr на территории участка №33

Диапазон площадных активностей основных техногенных радионуклидов, кБк/м<sup>2</sup>:

- $^{241}$ Am:  $<4,9\times10^2$ ;
- <sup>137</sup>Cs: <75;
- $\bullet$  90Sr:  $<1,2\times10^2-6,8\times10^4$ ;
- $^{239+240}$ Pu:  $<4,1\times10^2$ .

Площадь радиоактивного загрязнения, превышающая значения, указанные в Критериях оценки экологической обстановки территорий, составляет порядка  $9.8 \times 10^{-4}$  км<sup>2</sup>. В тоже время объем радиоактивного материала составляет порядка  $9.8 \times 10^{1}$  м<sup>3</sup>.

#### Место расположения

Участок радиоактивного загрязнения расположен за пределами восточной границы площадки «4а». Географические координаты представлены в таблице (Таблица 35).

Таблица 35. Географические координаты участка №34

| No vivo amino | Географические координаты |        |       |         |    |       |
|---------------|---------------------------|--------|-------|---------|----|-------|
| № участка     |                           | Широта |       | Долгота |    |       |
| 34            | 77                        | 50     | 39,65 | 50      | 33 | 54,67 |

# Характеристика источника радиационного загрязнения

Место испытания боевых радиоактивных веществ (БРВ) в период 1953-1957 гг. БРВ представляли собой жидкие или порошкообразные радиоактивные рецептуры.

#### Экологические характеристики объекта

На участке радиоактивного загрязнения наиболее показательным техногенным радионуклидом является  $^{90}$ Sr (Рисунок 38). Радиоактивное загрязнение имеет локальный характер и сконцентрировано в основном в центральной части радиационно-загрязненного участка.

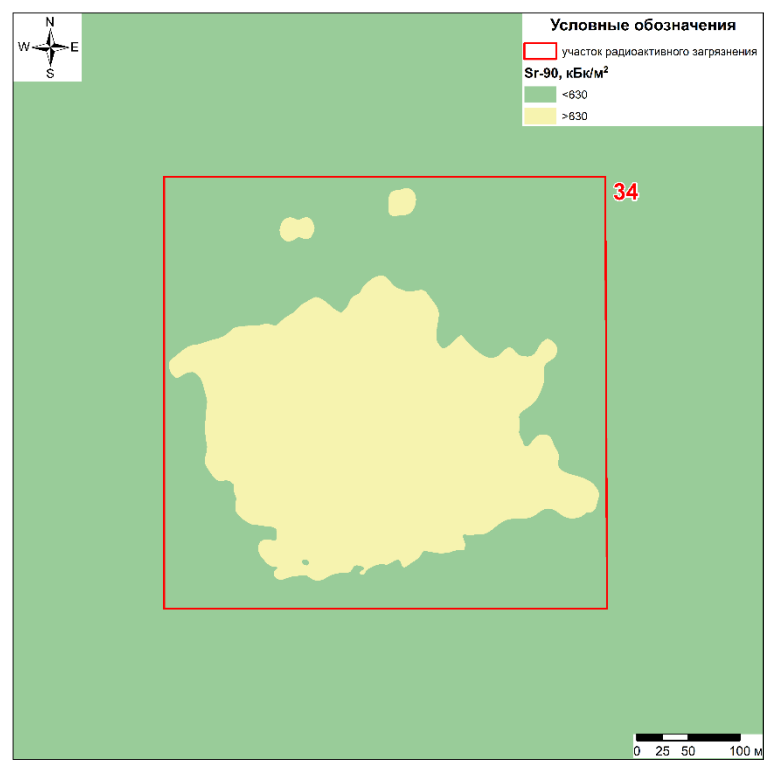


Рисунок 38. Карта площадного распределения <sup>90</sup>Sr на территории участка №34

Диапазон площадных активностей основных техногенных радионуклидов, кБк/м<sup>2</sup>:

- $\bullet$  <sup>241</sup>Am: <4,9×10<sup>2</sup>;
- <sup>137</sup>Cs: <75;
- $^{90}$ Sr:  $<1,2\times10^2-2,4\times10^6$ ;
- $^{239+240}$ Pu:  $<4,1\times10^2$ .

Площадь радиоактивного загрязнения, превышающая значения, указанные в Критериях оценки экологической обстановки территорий, составляет порядка  $1.8 \times 10^{-2}$  км<sup>2</sup>. В тоже время объем радиоактивного материала составляет порядка  $2.2 \times 10^3$  м<sup>3</sup>.

# Место расположения

Участок радиоактивного загрязнения расположен за пределами восточной границы площадки «4а». Географические координаты представлены в таблице (Таблица 36).

Таблица 36. Географические координаты участка №35

| No vivo amino | Географические координаты |        |       |         |    |       |
|---------------|---------------------------|--------|-------|---------|----|-------|
| № участка     |                           | Широта |       | Долгота |    |       |
| 35            | 77                        | 50     | 31,72 | 50      | 33 | 37,32 |

# Характеристика источника радиационного загрязнения

Место испытания боевых радиоактивных веществ (БРВ) в период 1953-1957 гг. БРВ представляли собой жидкие или порошкообразные радиоактивные рецептуры.

#### Экологические характеристики объекта

На участке радиоактивного загрязнения наиболее показательным техногенным радионуклидом является  $^{90}$ Sr (Рисунок 39). Радиоактивное загрязнение имеет локальный характер и сконцентрировано в основном в центральной части радиационно-загрязненного участка.

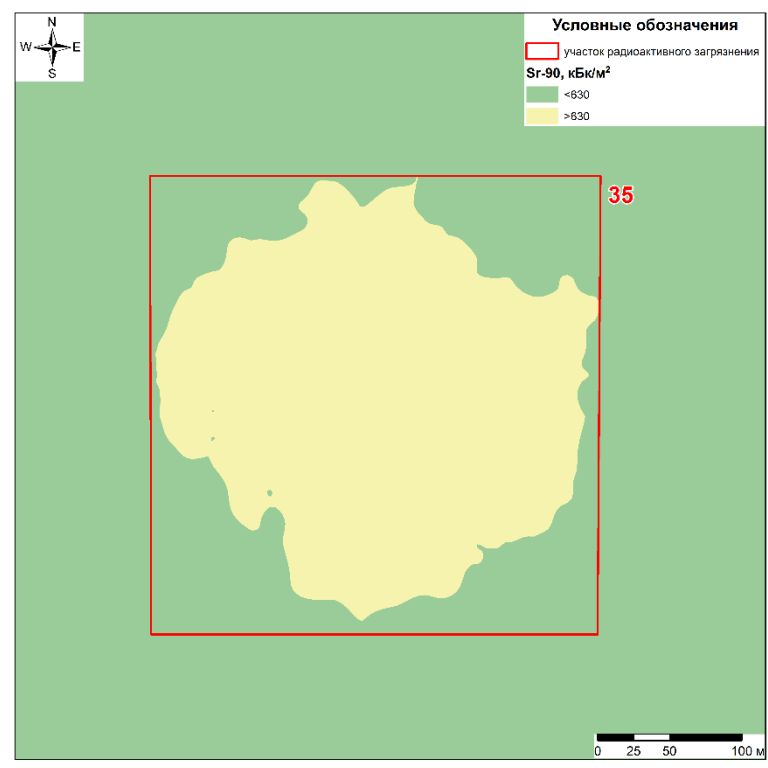


Рисунок 39. Карта площадного распределения <sup>90</sup>Sr на территории участка №35

Диапазон площадных активностей основных техногенных радионуклидов, кБк/м<sup>2</sup>:

- $\bullet$  <sup>241</sup>Am: <4,9×10<sup>2</sup>;
- $^{137}$ Cs: <75;
- $^{90}$ Sr:  $<1,2\times10^2-3,9\times10^6$ ;
- $^{239+240}$ Pu:  $<4.1\times10^2$ .

Площадь радиоактивного загрязнения, превышающая значения, указанные в Критериях оценки экологической обстановки территорий, составляет порядка  $1,6\times10^{-2}$  км<sup>2</sup>. В тоже время объем радиоактивного материала составляет порядка  $1,9\times10^3$  м<sup>3</sup>.

# Место расположения

Участок радиоактивного загрязнения расположен за пределами восточной границы площадки «4а». Географические координаты представлены в таблице (Таблица 37).

Таблица 37. Географические координаты участка №36

| No vivo amino | Географические координаты |        |       |         |    |       |
|---------------|---------------------------|--------|-------|---------|----|-------|
| № участка     |                           | Широта |       | Долгота |    |       |
| 36            | 77                        | 50     | 23,18 | 50      | 33 | 22,21 |

# Характеристика источника радиационного загрязнения

Место испытания боевых радиоактивных веществ (БРВ) в период 1953-1957 гг. БРВ представляли собой жидкие или порошкообразные радиоактивные рецептуры.

# Экологические характеристики объекта

На участке радиоактивного загрязнения наиболее показательным техногенным радионуклидом является  $^{90}$ Sr (Рисунок 40). Радиоактивное загрязнение имеет масштабный характер и сконцентрировано в основном в центральной части радиационно-загрязненного участка.

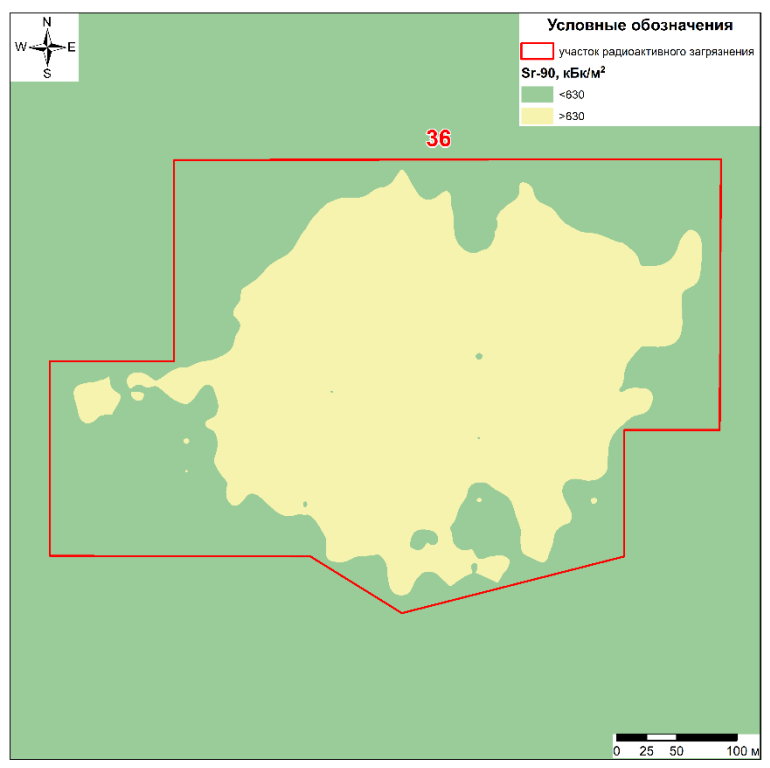


Рисунок 40. Карта площадного распределения <sup>90</sup>Sr на территории участка №36

Диапазон площадных активностей основных техногенных радионуклидов, кБк/м<sup>2</sup>:

- $\bullet$  <sup>241</sup>Am: <4,9×10<sup>2</sup>;
- <sup>137</sup>Cs: <75;
- $\bullet$  90Sr:  $<1,2\times10^2-4,3\times10^6$ ;
- $^{239+240}$ Pu:  $<4.1\times10^2$ .

Площадь радиоактивного загрязнения, превышающая значения, указанные в Критериях оценки экологической обстановки территорий, составляет порядка  $2,4\times10^{-2}$  км<sup>2</sup>. В тоже время объем радиоактивного материала составляет порядка  $2,9\times10^3$  м<sup>3</sup>.

# Место расположения

Участок радиоактивного загрязнения расположен за пределами восточной границы площадки «4а». Географические координаты представлены в таблице (Таблица 40).

Таблица 38. Географические координаты участка №37

| No vers among | Географические координаты |        |      |         |    |       |
|---------------|---------------------------|--------|------|---------|----|-------|
| № участка     |                           | Широта |      | Долгота |    |       |
| 37            | 77                        | 51     | 4,07 | 50      | 33 | 48,18 |

# Характеристика источника радиационного загрязнения

Место испытания боевых радиоактивных веществ (БРВ) в период 1953-1957 гг. БРВ представляли собой жидкие или порошкообразные радиоактивные рецептуры.

# Экологические характеристики объекта

На участке радиоактивного загрязнения наиболее показательным техногенным радионуклидом является  $^{90}$ Sr (Рисунок 41). Радиоактивное загрязнение имеет масштабный характер и сконцентрировано в основном в центральной части радиационно-загрязненного участка.

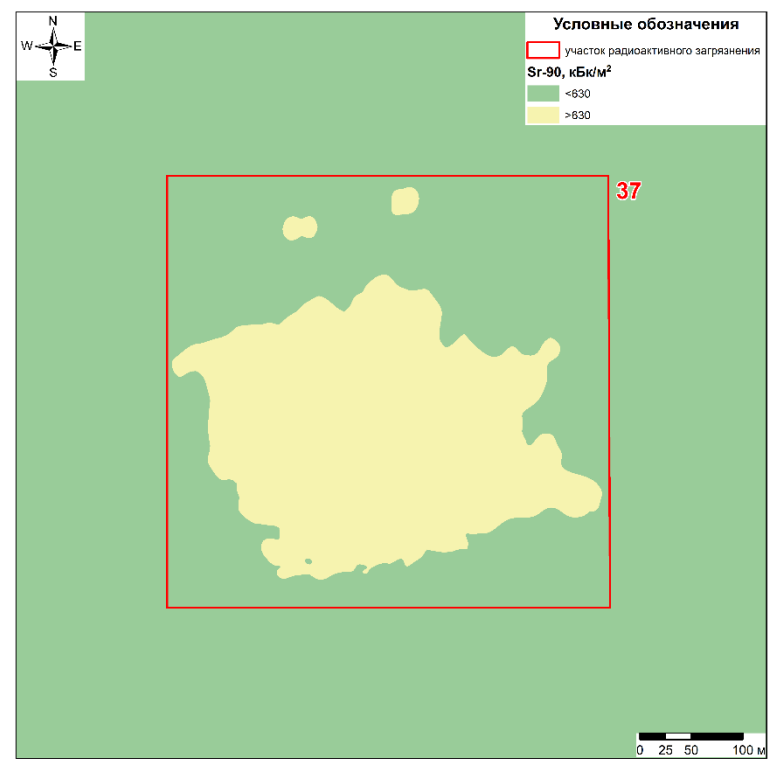


Рисунок 41. Карта площадного распределения <sup>90</sup>Sr на территории участка №37

Диапазон площадных активностей основных техногенных радионуклидов, кБк/м<sup>2</sup>:

- $\bullet$  <sup>241</sup>Am: <4,9×10<sup>2</sup>;
- $^{137}$ Cs: <75;
- $^{90}$ Sr:  $<1,2\times10^2-3,6\times10^6$ ;
- $^{239+240}$ Pu:  $<4.1\times10^2$ .

Площадь радиоактивного загрязнения, превышающая значения, указанные в Критериях оценки экологической обстановки территорий, составляет порядка  $1.7 \times 10^{-2}$  км<sup>2</sup>. В тоже время объем радиоактивного материала составляет порядка  $2.0 \times 10^3$  м<sup>3</sup>.

#### Место расположения

Участок радиоактивного загрязнения расположен за пределами восточной границы площадки «4а». Географические координаты представлены в таблице (Таблица 39).

Таблица 39. Географические координаты участка №38

| No vivo amino |                |    | Географически | ие координаты |    |       |
|---------------|----------------|----|---------------|---------------|----|-------|
| № участка     | Широта Долгота |    |               |               |    |       |
| 38            | 77             | 50 | 54,70         | 50            | 33 | 32,46 |

#### Характеристика источника радиационного загрязнения

Место испытания боевых радиоактивных веществ (БРВ) в период 1953-1957 гг. БРВ представляли собой жидкие или порошкообразные радиоактивные рецептуры.

#### Экологические характеристики объекта

На участке радиоактивного загрязнения наиболее показательным техногенным радионуклидом является  $^{90}$ Sr (Рисунок 42). Радиоактивное загрязнение имеет масштабный характер и сконцентрировано в основном в центральной части радиационно-загрязненного участка.

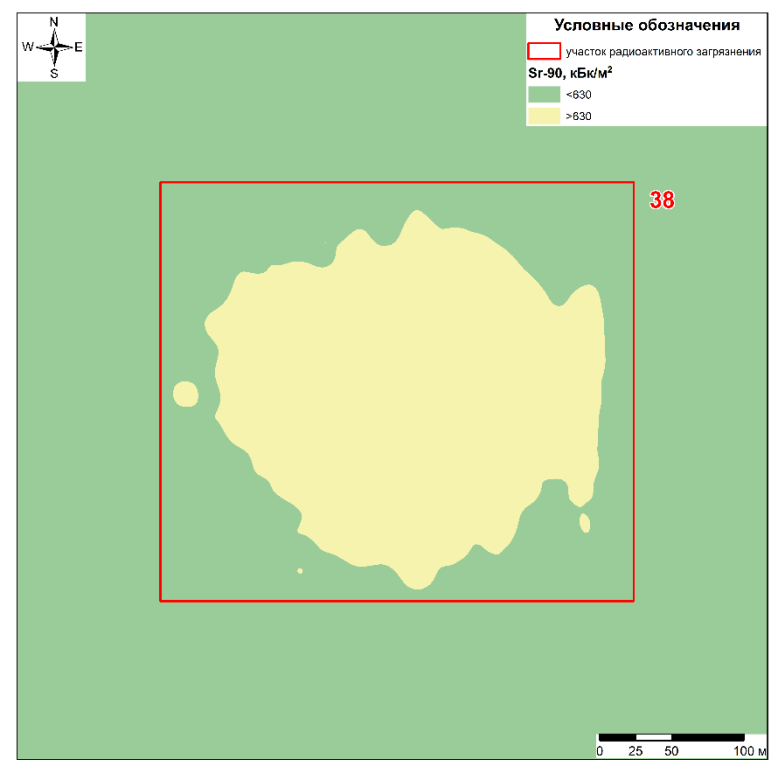


Рисунок 42. Карта площадного распределения <sup>90</sup>Sr на территории участка №38

Диапазон площадных активностей основных техногенных радионуклидов, кБк/м<sup>2</sup>:

- $\bullet$  <sup>241</sup>Am: <4,9×10<sup>2</sup>;
- $^{137}$ Cs: <75;
- $^{90}$ Sr:  $<1,2\times10^2-2,6\times10^6$ ;
- $^{239+240}$ Pu:  $<4.1\times10^2$ .

Площадь радиоактивного загрязнения, превышающая значения, указанные в Критериях оценки экологической обстановки территорий, составляет порядка  $1.3 \times 10^{-2}$  км<sup>2</sup>. В тоже время объем радиоактивного материала составляет порядка  $1.5 \times 10^3$  м<sup>3</sup>.

#### Место расположения

Участок радиоактивного загрязнения расположен за пределами восточной границы площадки «4а». Географические координаты представлены в таблице (Таблица 40).

Таблица 40. Географические координаты участка №39

|                  | No vivo omvo |    |    | Географически | ие координаты |    |       |  |
|------------------|--------------|----|----|---------------|---------------|----|-------|--|
| № участка Широта |              |    |    |               | Долгота       |    |       |  |
|                  | 39           | 77 | 50 | 34,47         | 50            | 33 | 15,97 |  |

#### Характеристика источника радиационного загрязнения

Место испытания боевых радиоактивных веществ (БРВ) в период 1953-1957 гг. БРВ представляли собой жидкие или порошкообразные радиоактивные рецептуры.

#### Экологические характеристики объекта

На участке радиоактивного загрязнения наиболее показательным техногенным радионуклидом является  $^{90}$ Sr (Рисунок 43). Радиоактивное загрязнение имеет масштабный характер и сконцентрировано в основном в западной части радиационно-загрязненного участка.

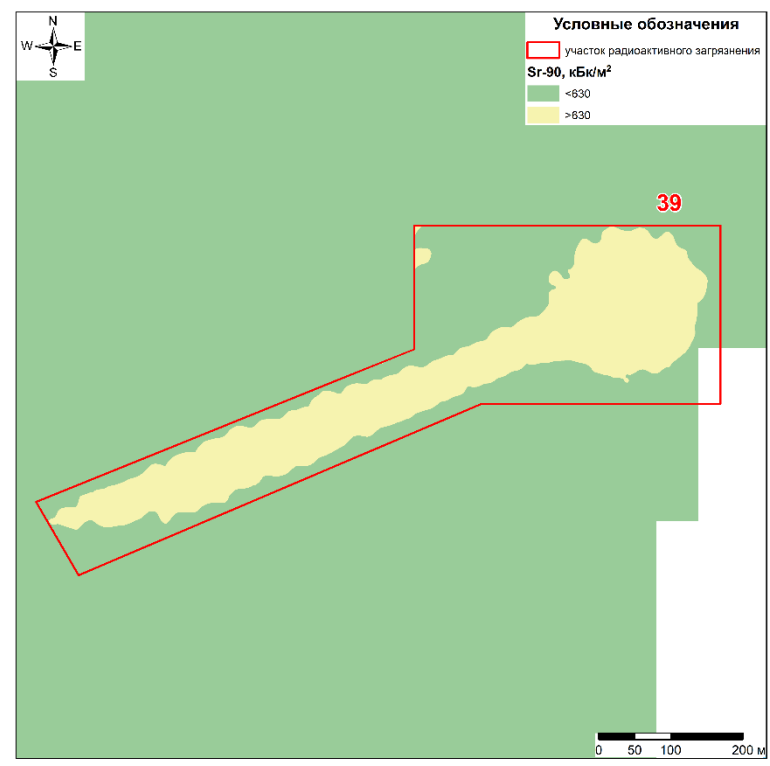


Рисунок 43. Карта площадного распределения <sup>90</sup>Sr на территории участка №39

Диапазон площадных активностей основных техногенных радионуклидов, кБк/м<sup>2</sup>:

- $\bullet$  <sup>241</sup>Am: <4,9×10<sup>2</sup>;
- <sup>137</sup>Cs: <75;
- $^{90}$ Sr:  $<1,2\times10^2-2,2\times10^6$ ;
- $^{239+240}$ Pu:  $<4.1\times10^2$ .

Площадь радиоактивного загрязнения, превышающая значения, указанные в Критериях оценки экологической обстановки территорий, составляет порядка  $1,1\times10^{-2}$  км<sup>2</sup>. В тоже время объем радиоактивного материала составляет порядка  $1,3\times10^3$  м<sup>3</sup>.

#### Место расположения

Участок радиоактивного загрязнения расположен за пределами восточной границы площадки «4а». Географические координаты представлены в таблице (Таблица 41).

Таблица 41. Географические координаты участка №40

| No vivo amino |                |    | Географически | ие координаты |    |      |
|---------------|----------------|----|---------------|---------------|----|------|
| № участка     | Широта Долгота |    |               |               |    |      |
| 40            | 77             | 50 | 13,21         | 50            | 33 | 0,42 |

#### Характеристика источника радиационного загрязнения

Место испытания боевых радиоактивных веществ (БРВ) в период 1953-1957 гг. БРВ представляли собой жидкие или порошкообразные радиоактивные рецептуры.

#### Экологические характеристики объекта

На участке радиоактивного загрязнения наиболее показательным техногенным радионуклидом является  $^{90}$ Sr (Рисунок 44). Радиоактивное загрязнение имеет масштабный характер и сконцентрировано в основном в центральной части радиационно-загрязненного участка.

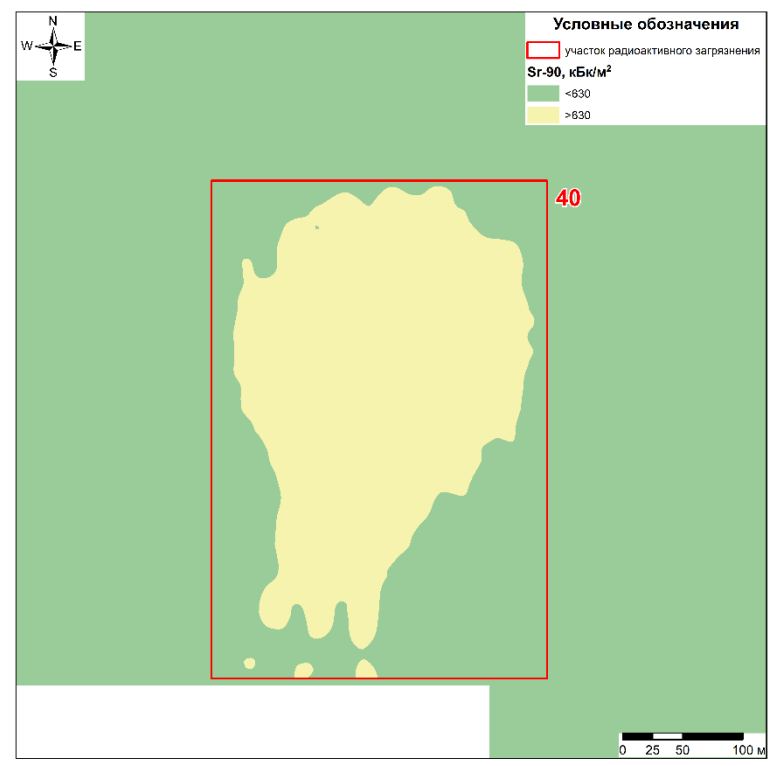


Рисунок 44. Карта площадного распределения <sup>90</sup>Sr на территории участка №40

Диапазон площадных активностей основных техногенных радионуклидов, кБк/м<sup>2</sup>:

- $^{241}$ Am:  $<4,9\times10^2$ ;
- <sup>137</sup>Cs: <75;
- $^{90}$ Sr:  $<1,2\times10^2-1,3\times10^6$ ;
- $^{239+240}$ Pu:  $<4,1\times10^2$ .

Площадь радиоактивного загрязнения, превышающая значения, указанные в Критериях оценки экологической обстановки территорий, составляет порядка  $2,1\times10^{-2}$  км<sup>2</sup>. В тоже время объем радиоактивного материала составляет порядка  $2,5\times10^3$  м<sup>3</sup>.

#### СПИСОК ИСПОЛЬЗОВАННЫХ ИСТОЧНИКОВ

- 1 Сайбеков Т.С., Абылаев Ж.А. Атлас. Радиационная обстановка на территории Республики Казахстан с 1954 по 1994 годы. Алматы: Министерство экологии и биоресурсов РК, 1997- Т.16, Семипалатинская область. 400 с.
- 2 Логачев В. Радиоэкологические последствия испытаний БРВ на Семипалатинском полигоне / В. Логачев; под рук. Н.Я. Левченко // Бюллетень по атомной энергии. Центральный научно-исследовательский институт управления, экономики и информации. 2002. -№ 12. 94 с.
- 3 Радиоэкологические последствия испытаний БРВ на Семипалатинском полигоне // Бюллетень по атомной энергии, №12, 2002 г.
- 4 Логачев В. Радиоэкологические последствия испытаний БРВ на Семипалатинском полигоне // Бюллетень по атомной энергии, №12, 2002 г.

# Республиканское государственное предприятие на праве хозяйственного ведения «НАЦИОНАЛЬНЫЙ ЯДЕРНЫЙ ЦЕНТР РЕСПУБЛИКИ КАЗАХСТАН» Филиал «Институт радиационной безопасности и экологии»

## РАДИОЛОГИЧЕСКИЙ ПАСПОРТ ИСПЫТАТЕЛЬНОЙ ПЛОЩАДКИ «4»

## 1. Общая информация об испытательной площадке

Название: «4» (Рисунок 1).

Предназначение: проведение испытаний боевых радиоактивных веществ.

Административное месторасположение расположение: Карагандинская область.

**Географические координаты:** 50°27′46′′ с. ш. 77°31′57′′ в. д.

Площадь, км<sup>2</sup>: 24. **Периметр, км**: 20,67.

Условия проведения испытаний: испытаний боевых радиоактивных веществ.

Период проведения ядерных взрывов в мирных целях: с 1953 г. по 1957 г. [1, 2, 3, 4].

Количество испытаний боевых радиоактивных веществ: не установлено.

Характеристика источника радиоактивного загрязнения объектов окружающей среды:

• распыление жидких или порошкообразных радиоактивных рецептур.

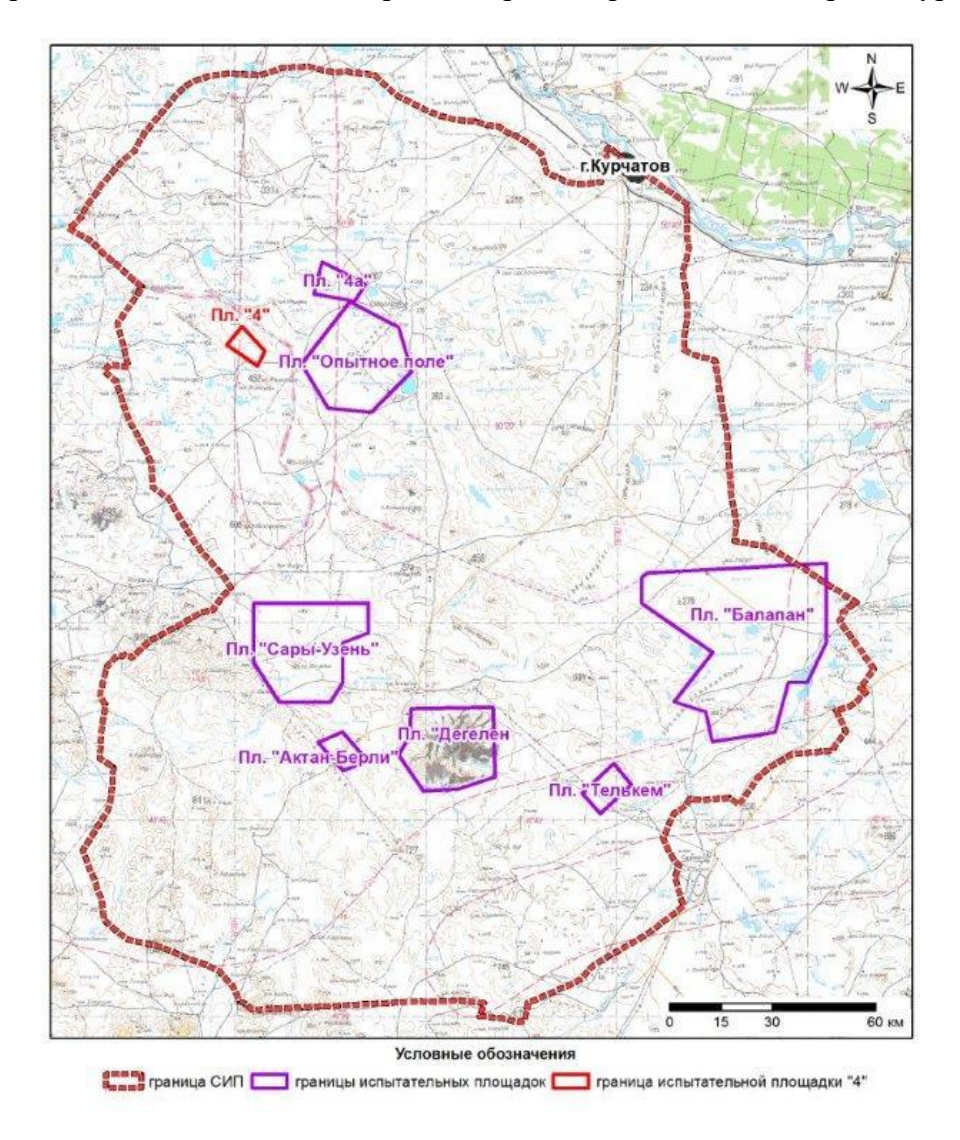


Рисунок 1. Карта-схема расположения испытательной площадки «4» на территории СИП

Историческая информация о хронологии испытаний боевых радиоактивных веществ на территории испытательной площадки «4» в открытых литературных источниках отсутствует.

## 2. Текущая радиоэкологическая ситуация окружающей среды

Актуальная информация о радиоэкологической обстановке окружающей среды испытательной площадки «4» получена в результате проведения комплексного экологического обследования земель Семипалатинского испытательного полигона в рамках выполнения работ по бюджетной программе 036 «Развитие атомных и энергетических проектов».

Значения удельной активности радионуклидов в почвенном покрове сравнивались со значениями, установленными в приложении 23 Гигиенических нормативов к обеспечению радиационной безопасности, утвержденных приказом Министра здравоохранения Республики Казахстан от 2 августа 2022 года № ҚР ДСМ-71 «Об утверждении гигиенических нормативов к обеспечению радиационной безопасности».

Значения площадной активности радионуклидов в почвенном покрове сравнивались со значениями, установленными в приложении 13 Критериев оценки экологической обстановки территорий, утвержденных приказом и.о. Министра экологии, геологии и природных ресурсов Республики Казахстан от 13 августа 2021 года № 327 «Об утверждении Критериев оценки экологической обстановки территорий».

Значения удельной активности радионуклидов в воде сравнивались со значениями уровней вмешательства, установленными в приложении 19 Гигиенических нормативов к обеспечению радиационной безопасности, утвержденных приказом Министра здравоохранения Республики Казахстан от 2 августа 2022 года № ҚР ДСМ-71 «Об утверждении гигиенических нормативов к обеспечению радиационной безопасности».

Значения объемной активности радионуклидов в воздухе сравнивались со значениями допустимой среднегодовой объемной активности, установленными для категории «население» в приложении 4 Гигиенических нормативов к обеспечению радиационной безопасности, утвержденных приказом Министра здравоохранения Республики Казахстан от 2 августа 2022 года № КР ДСМ-71 «Об утверждении гигиенических нормативов к обеспечению радиационной безопасности».

Значения удельной активности радионуклидов в объектах животного мира сравнивались со значениями допустимых уровней, установленными в приложении 5 Гигиенических нормативов к обеспечению радиационной безопасности, утвержденных приказом Министра здравоохранения Республики Казахстан от 2 августа 2022 года № ҚР ДСМ-71 «Об утверждении гигиенических нормативов к обеспечению радиационной безопасности».

#### 2.1 Радиоактивное загрязнение почвы

Радиационные параметры на поверхности почвенного покрова на территории испытательной площадки:

- $\bullet$  диапазон значений мощности эквивалентной дозы гамма-излучения на поверхности почвы: 0.10-10 мЗв/ч (предел измерения используемой аппаратуры -10 мЗв/ч);
- диапазон значений плотности потока бета-частиц:  $<10 >1,0 \times 10^4$  част/(см<sup>2</sup>×мин) (предел измерения используемой аппаратуры 10 част/(см<sup>2</sup>×мин);
  - диапазон значений плотности потока альфа-частиц: нет измерений.

Основные техногенные радионуклиды:  $^{241}$ Am,  $^{137}$ Cs,  $^{90}$ Sr,  $^{239+240}$ Pu.

- диапазон удельных активностей основных техногенных радионуклидов, Бк/кг:
  - $^{241}$ Am:  $<0,4-4,3\times10^3$ ;
  - $^{137}$ Cs:  $<0,1-1,5\times10^3$ :
  - $^{90}$ Sr:  $< 2.0 1.9 \times 10^7$ ;
  - -239+240Pu:  $<0.7-4.7\times10^4$ .

**Количество радиационно-загрязненных участко**в: 15 участков (схема расположения – Рисунок 2).

**Количество радиационно-опасных объектов:** 11 объектов (схема расположения – Рисунок 3, радиационные характеристики – (Таблица 1)).

**Основные техногенные радионуклиды:** 90Sr, <sup>239+240</sup>Pu, <sup>241</sup>Am.

Площадная активность  ${}^{90}$ Sr, кБк/м<sup>2</sup>:  $120 - 2,4 \times 10^6$ .

Площадь радиоактивного загрязнения,  $M^2$ :  $4.1 \times 10^4$ .

**Средняя глубина залегания радионуклидов:** 0,1 м (для участков с уровнем загрязнения низкоактивных PAO); 0,3 (для участков с уровнем загрязнения среднеактивных PAO).

Плотность почвы, кг/м<sup>3</sup>: 1300.

Объем радиоактивного грунта,  $M^3$ :  $4.8 \times 10^3$ .

Запас радионуклидов (по максимальным значениям удельных активностей радионуклидов в почве), Бк:  $^{90}$ Sr  $-5,80\times10^7;$   $^{239+240}$ Pu  $-6,99\times10^4;$   $^{241}$ Am  $-9,34\times10^3$ .

По результатам пешеходной гамма-спектрометрической съемки на территории испытательной площадки «4» выявлены 15 радиационно-загрязненных участков.

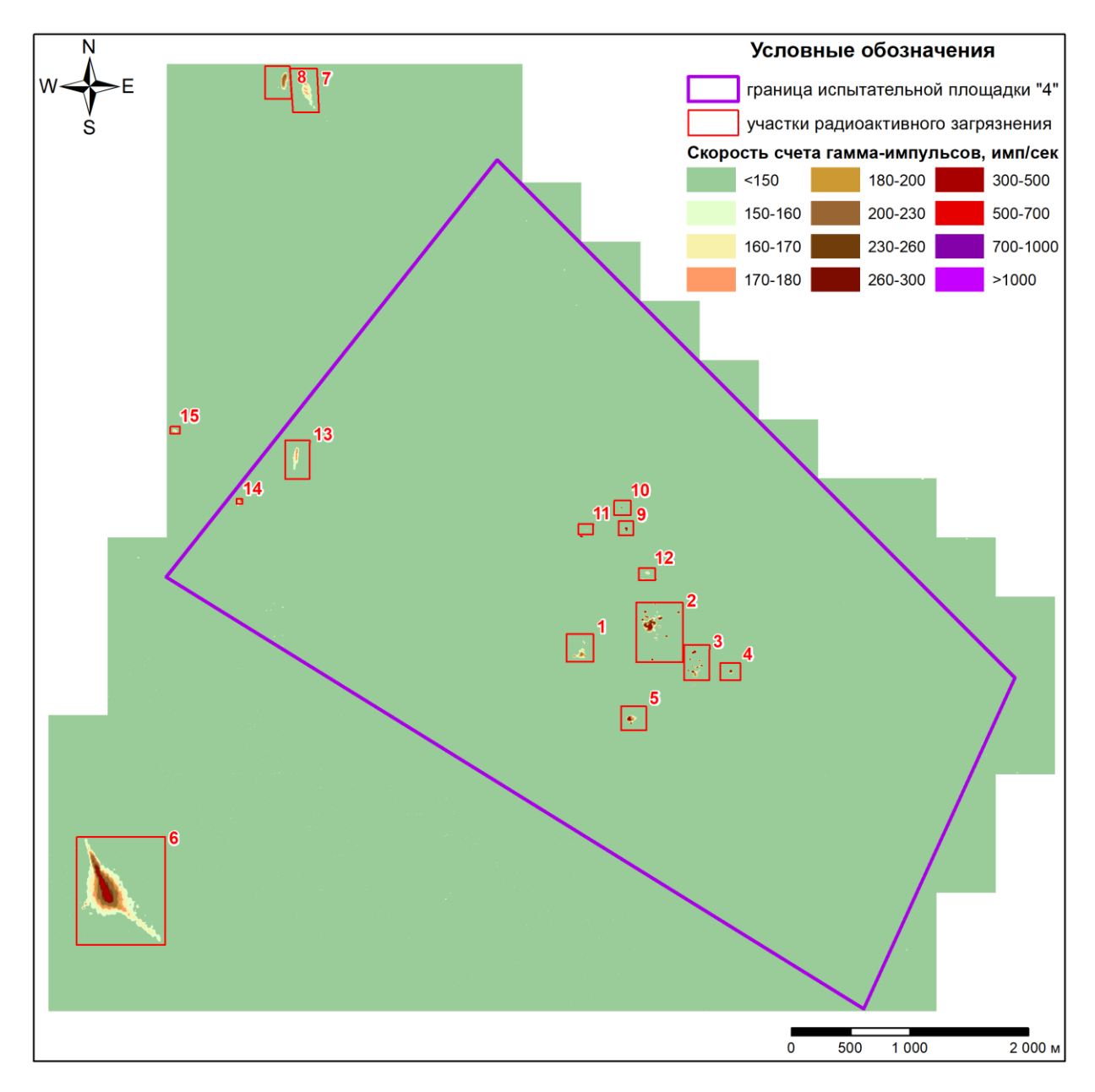


Рисунок 2. Карта-схема расположения радиационно-загрязненных участков на площадке «4»

Анализ результатов лабораторных данных показал, что радиоактивное загрязнение на 11 из 15 участков соответствует уровню низкоактивных и среднеактивных радиоактивных

отходов. Дополнительная информация об радиоактивном загрязнении почвы радиационнозагрязненных участков испытательной площадки «4» представлена в приложении (Приложение 1).

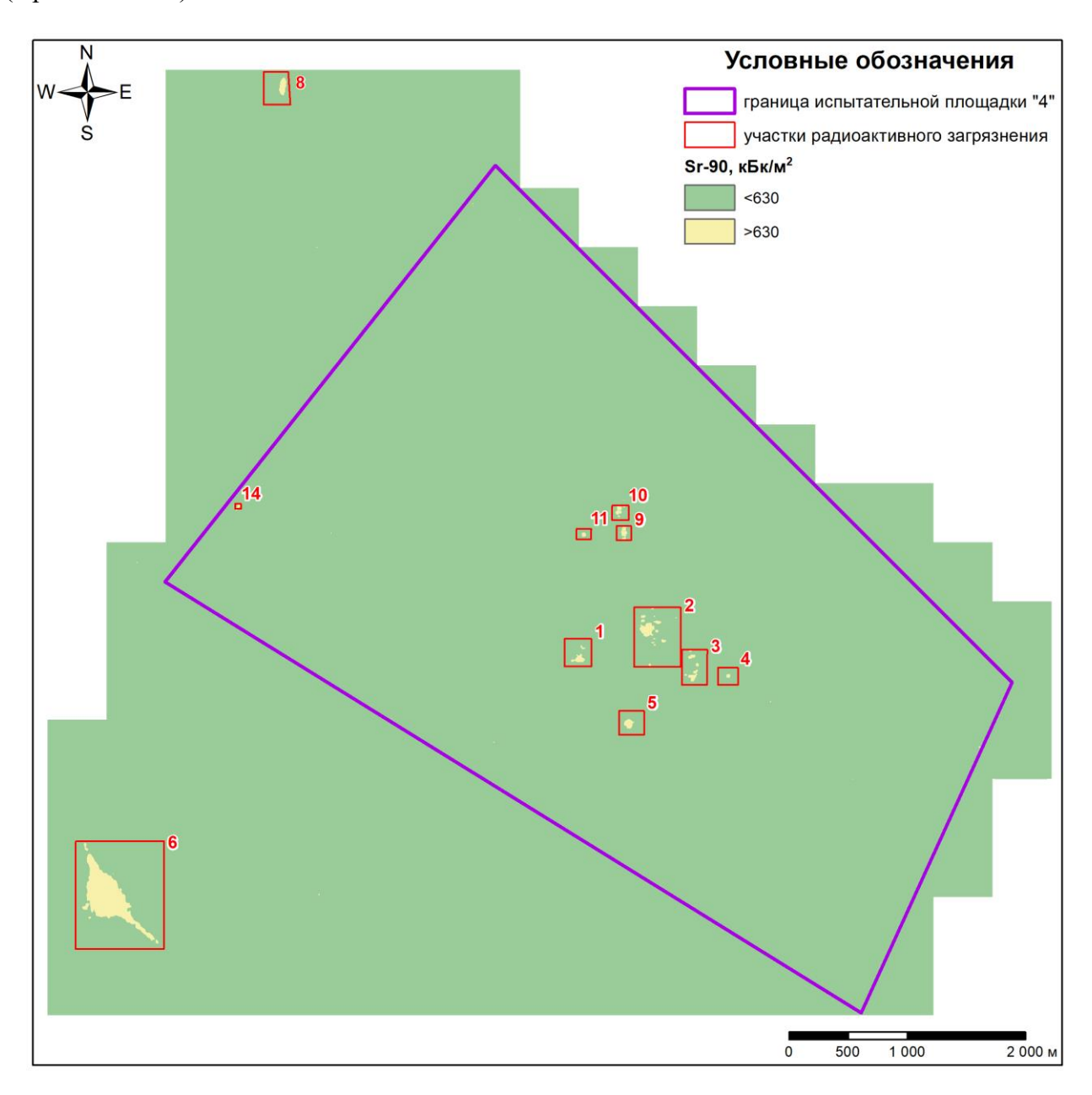


Рисунок 2. Карта-схема расположения радиационно-опасных объектов на площадке «4»

Таблица 1. Удельная активность радионуклидов в поверхностном слое почвы радиационно-опасных объектов площадки «4»

| № п/п | № участка | <sup>90</sup> Sr       |                   |                     |                        | <sup>137</sup> Cs <sup>239+240</sup> Pu |                     |                        |                   | <sup>241</sup> <b>Am</b> |                        |                   |                     |
|-------|-----------|------------------------|-------------------|---------------------|------------------------|---|---------------------|------------------------|-------------------|--------------------------|------------------------|-------------------|---------------------|
| S.    | № уч      | As, кБк/м <sup>2</sup> | V, м <sup>3</sup> | А, Бк               | As, кБк/м <sup>2</sup> | V, m <sup>3</sup>                       | А, Бк               | As, кБк/м <sup>2</sup> | V, м <sup>3</sup> | А, Бк                    | As, кБк/м <sup>2</sup> | V, m <sup>3</sup> | А, Бк               |
| 1     | 1         | 5,6×10 <sup>4</sup>    | 0,008             | 2,8×10 <sup>5</sup> | <75                    | _                                       | -                   | <4,1×10 <sup>2</sup>   | -                 | -                        | <4,9×10 <sup>2</sup>   | -                 | -                   |
| 2     | 2         | 5,3×10 <sup>4</sup>    | 610               | 2,5×10 <sup>7</sup> | 2,0×10 <sup>2</sup>    | 610                                     | $2,0\times10^{3}$   | <4,1×10 <sup>2</sup>   | -                 | -                        | <4,9×10 <sup>2</sup>   | -                 | -                   |
| 3     | 3         | 6,6×10 <sup>4</sup>    | 195               | 7,9×10 <sup>6</sup> | <75                    | -                                       | -                   | 5,1×10 <sup>2</sup>    | 195               | 5,1×10 <sup>3</sup>      | <4,9×10 <sup>2</sup>   | -                 | -                   |
| 4     | 4         | 2,8×10 <sup>4</sup>    | 39                | 4,8×10 <sup>5</sup> | <75                    | -                                       | -                   | <4,1×10 <sup>2</sup>   | -                 | -                        | <4,9×10 <sup>2</sup>   | -                 | -                   |
| 5     | 5         | 2,4×10 <sup>4</sup>    | 39                | 1,1×10 <sup>7</sup> | $1,1\times10^{2}$      | 39                                      | $1,1\times10^{3}$   | $<4,1\times10^{2}$     | -                 | -                        | <4,9×10 <sup>2</sup>   | -                 | -                   |
| 6     | 6         | 2,4×10 <sup>6</sup>    | 3510              | 8,1×10 <sup>6</sup> | 5,6×10 <sup>2</sup>    | 3510                                    | 1,9×10 <sup>3</sup> | 1,8×10 <sup>4</sup>    | 3510              | 6,1×10 <sup>4</sup>      | 1,7×10 <sup>3</sup>    | 3510              | 5,6×10 <sup>3</sup> |
| 7     | 8         | 1,5×10 <sup>4</sup>    | 155               | 8,9×10 <sup>4</sup> | <75                    | -                                       | -                   | <4,1×10 <sup>2</sup>   | -                 | -                        | <4,9×10 <sup>2</sup>   | -                 | -                   |
| 8     | 9         | 5,9×10 <sup>5</sup>    | 95                | 2,0×10 <sup>6</sup> | <75                    | -                                       | -                   | <4,1×10 <sup>2</sup>   | -                 | -                        | <4,9×10 <sup>2</sup>   | -                 | -                   |
| 9     | 10        | 8,5×10 <sup>5</sup>    | 113               | 2,8×10 <sup>6</sup> | <75                    | -                                       | -                   | <4,1×10 <sup>2</sup>   | -                 | -                        | <4,9×10 <sup>2</sup>   | -                 | -                   |
| 10    | 11        | 5,4×10 <sup>4</sup>    | 22                | 5,4×10 <sup>5</sup> | <75                    | -                                       | -                   | <4,1×10 <sup>2</sup>   | -                 | -                        | <4,9×10 <sup>2</sup>   | -                 | -                   |
| 11    | 14        | 1,5×10 <sup>4</sup>    | 7                 | 7,4×10 <sup>4</sup> | <75                    | -                                       | -                   | <4,1×10 <sup>2</sup>   | -                 | -                        | <4,9×10 <sup>2</sup>   | -                 | -                   |

### 2.2 Радиоактивное загрязнение поверхностных вод площадки

Диапазон удельных активностей основных техногенных радионуклидов, Бк/м<sup>3</sup>:

- $^{241}$ Am: <2,0;
- $^{137}$ Cs: <1,0;
- $^{90}$ Sr: <2,0;
- $^{239+240}$ Pu: <0,1;
- ${}^{3}H: <6.0.$

#### 2.3 Радиоактивное загрязнение подземных вод площадки

Диапазон удельных активностей основных техногенных радионуклидов, Бк/м<sup>3</sup>:

- $^{241}$ Am: <0,5;
- $^{137}$ Cs:  $<3,0\times10^{-2}-12$ ;
- $^{90}$ Sr: <1,8×10<sup>-2</sup> 4;
- <sup>239+240</sup>Pu: <1.0:
- ${}^{3}$ H: <6,0.

## 2.4 Радиоактивное загрязнение атмосферного воздуха

Диапазон удельных активностей основных техногенных радионуклидов, Бк/кг:

- $^{241}$ Am:  $<3,0\times10^{-6}-1,0\times10^{-4}$ ;
- $^{137}$ Cs:  $<2.4\times10^{-6}-1.4\times10^{-4}$ :
- $^{90}$ Sr:  $<4.2\times10^{-6} 2.0\times10^{-4}$ ;
- $^{239+240}$ Pu:  $<4.7\times10^{-7}-3.4$ .

#### 2.5 Радиоактивное загрязнение растительного покрова

Диапазон удельных активностей основных техногенных радионуклидов, Бк/кг:

- $\bullet^{241}$ Am:  $<0,2-1,4\times10^2$ ;
- $\bullet$  <sup>137</sup>Cs: <0.7 16;
- $\bullet$  90Sr: <1.0 2.8×10<sup>4</sup>:
- $^{239+240}$ Pu:  $< 0.1 1.2 \times 10^3$ .

#### 2.6 Радиоактивное загрязнение объектов животного мира

Диапазон удельных активностей основных техногенных радионуклидов, Бк/кг:

- $^{241}$ Am: <0,6;
- $^{137}$ Cs: <0.2 2.7:
- $\bullet$  90Sr: <0.7 74;
- $\bullet$  <sup>239+240</sup>Pu: <0.8.

## Перечень радиационно-опасных объектов испытательной площадки «4»

На основании данных по лабораторным анализам и анализу карт площадного распределения техногенных радионуклидов установлен перечень радиационно-опасных объектов (Рисунок 3).

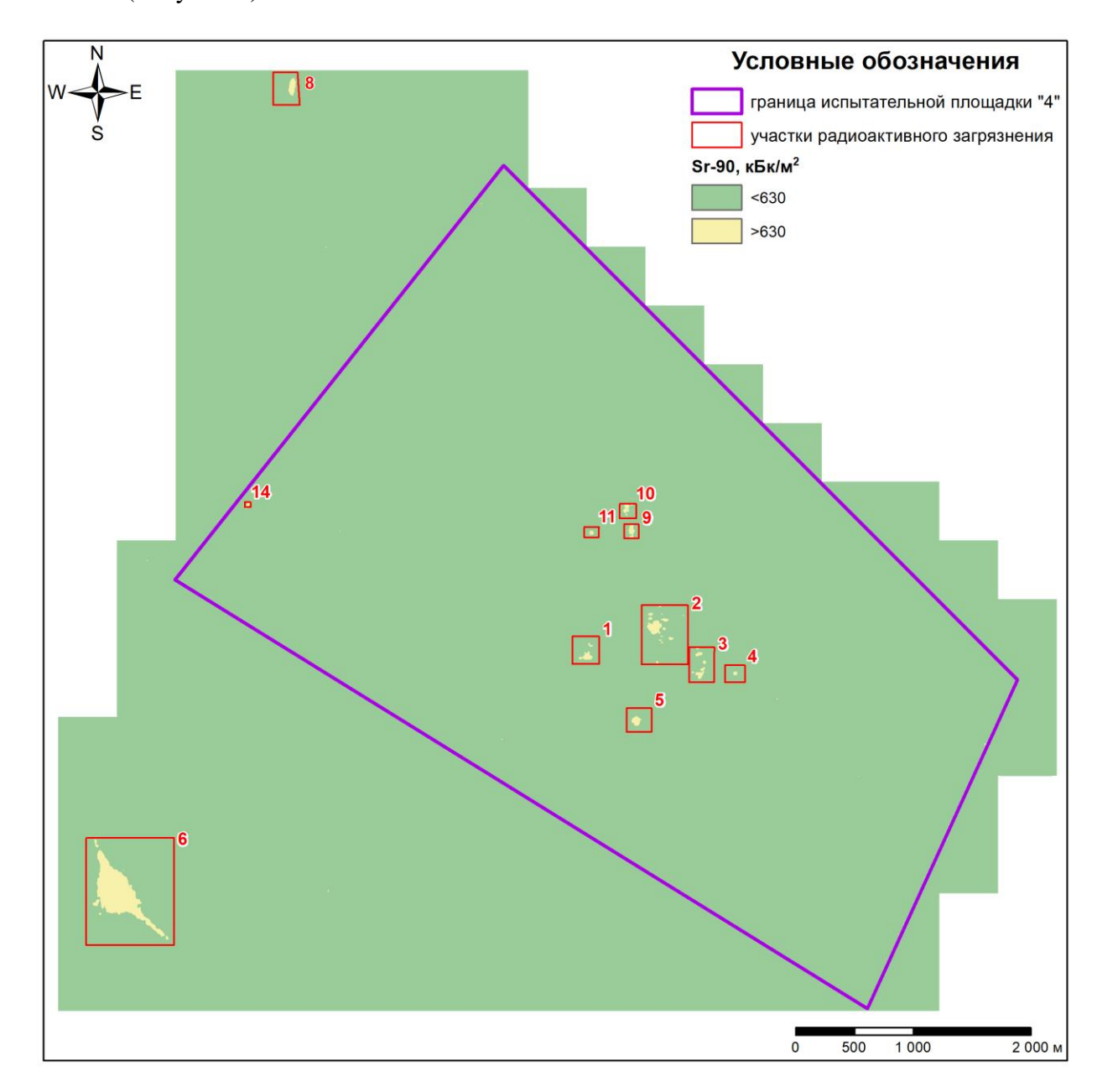


Рисунок 3. Карта площадки «4» с обозначением радиационно-опасных объектов

#### Место расположения

Участок радиоактивного загрязнения расположен в центральной части площадки «4». Географические координаты представлены в таблице (Таблица 2).

Таблица 2. Географические координаты участка №1

| No vivo amino |                |    | Географически | ие координаты |    |      |
|---------------|----------------|----|---------------|---------------|----|------|
| № участка     | Широта Долгота |    |               |               |    |      |
| 1             | 50             | 27 | 33,1          | 77            | 31 | 39,3 |

#### Характеристика источника радиационного загрязнения

Место испытания боевых радиоактивных веществ (БРВ) в период 1953-1957 гг. БРВ представляли собой жидкие или порошкообразные радиоактивные рецептуры.

#### Экологические характеристики объекта

На участке наиболее показательным техногенным радионуклидом является <sup>90</sup>Sr (Рисунок 4). Он имеет локальный характер и сконцентрирован, в основном, в южной части радиационно-загрязненного участка.

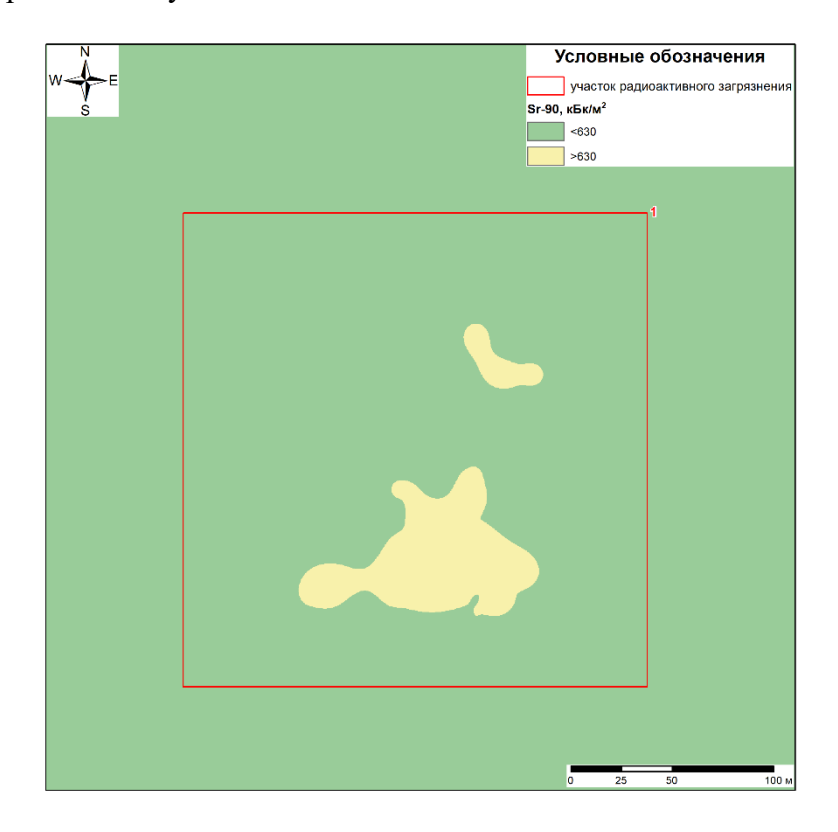


Рисунок 4. Карта площадного распределения <sup>90</sup>Sr на территории участка №1

Диапазон площадных активностей основных техногенных радионуклидов, кБк/м<sup>2</sup>:

- $^{241}$ Am:  $<4,9\times10^2$ ;
- $^{137}$ Cs <75;
- $^{90}$ Sr:  $<1,2\times10^2-5,6\times10^4$ ;
- $\bullet$  <sup>239+240</sup>Pu: <4.1×10<sup>2</sup>.

Площадь радиоактивного загрязнения, превышающая значения, указанные в Критериях оценки экологической обстановки территорий, составляет порядка  $8 \times 10^{-8}$  км<sup>2</sup>. В тоже время объем радиоактивного материала составляет порядка 0,008 м<sup>3</sup>.

#### Место расположения

Участок радиоактивного загрязнения расположен в центральной части площадки «4». Географические координаты представлены в таблице (Таблица 3).

Таблица 3. Географические координаты участка №2

| No vivo amino |                |    | Географически | ие координаты |    |       |
|---------------|----------------|----|---------------|---------------|----|-------|
| № участка     | Широта Долгота |    |               |               |    |       |
| 2             | 50             | 27 | 36,64         | 77            | 32 | 13,63 |

#### Характеристика источника радиационного загрязнения

Место испытания боевых радиоактивных веществ (БРВ) в период 1953-1957 гг. БРВ представляли собой жидкие или порошкообразные радиоактивные рецептуры.

#### Экологические характеристики объекта

На скважине наиболее показательным техногенным радионуклидом является <sup>90</sup>Sr (Рисунок 5). Он имеет локальный характер и сконцентрирован, в основном, в северовосточной части радиационно-загрязненного участка.

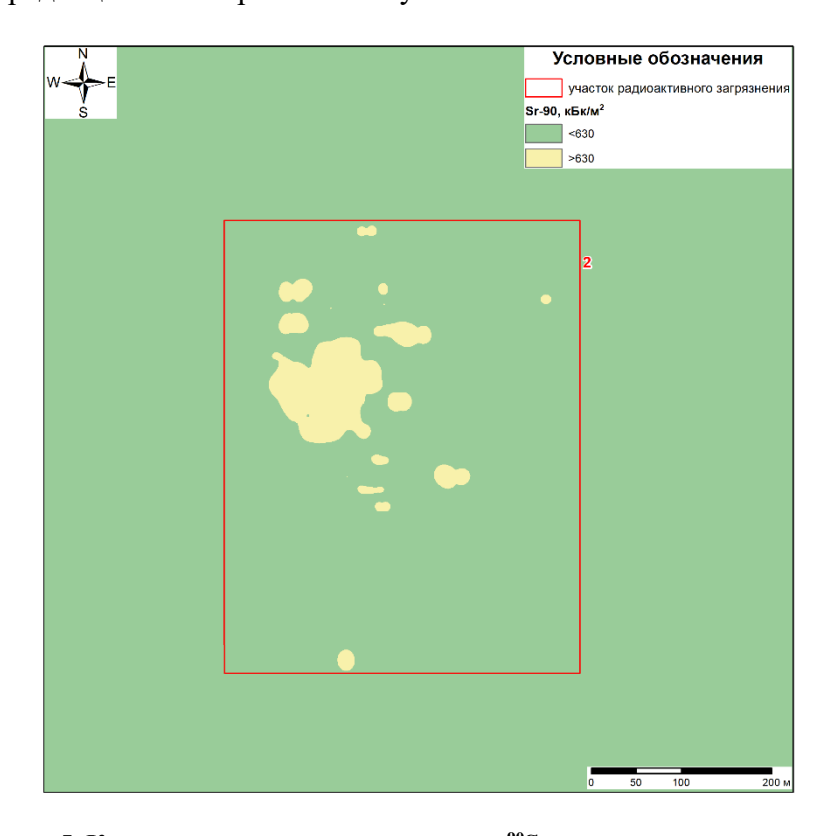


Рисунок 5. Карта площадного распределения <sup>90</sup>Sr на территории участка №2

Диапазон площадных активностей основных техногенных радионуклидов, кБк/м<sup>2</sup>:

- $^{241}$ Am:  $<4,9\times10^2$ ;
- $^{137}$ Cs  $< 75 2.0 \times 10^2$ :
- $^{90}$ Sr:  $<1,2\times10^2-5,3\times10^4$ ;
- $\bullet$  <sup>239+240</sup>Pu: <4.1×10<sup>2</sup>.

Площадь радиоактивного загрязнения, превышающая значения, указанные в Критериях оценки экологической обстановки территорий, составляет порядка  $6.1 \times 10^{-3}$  км<sup>2</sup>. В тоже время объем радиоактивного материала составляет порядка  $6.10 \times 10^{2}$  м<sup>3</sup>.

#### Место расположения

Участок радиоактивного загрязнения расположен в центральной части площадки «4». Географические координаты представлены в таблице (Таблица 4).

Таблица 4. Географические координаты участка №3

| № участка  |                |    | Географически | ие координаты |    |       |
|------------|----------------|----|---------------|---------------|----|-------|
| л₂ участка | Широта Долгота |    |               |               |    |       |
| 3          | 50             | 27 | 28,01         | 77            | 32 | 29,10 |

#### Характеристика источника радиационного загрязнения

Место испытания боевых радиоактивных веществ (БРВ) в период 1953-1957 гг. БРВ представляли собой жидкие или порошкообразные радиоактивные рецептуры.

#### Экологические характеристики объекта

На скважине наиболее показательным техногенным радионуклидом является <sup>90</sup>Sr (Рисунок 6). Он имеет локальный характер и сконцентрирован, в основном в северной и южной частях радиационно-загрязненного участка.

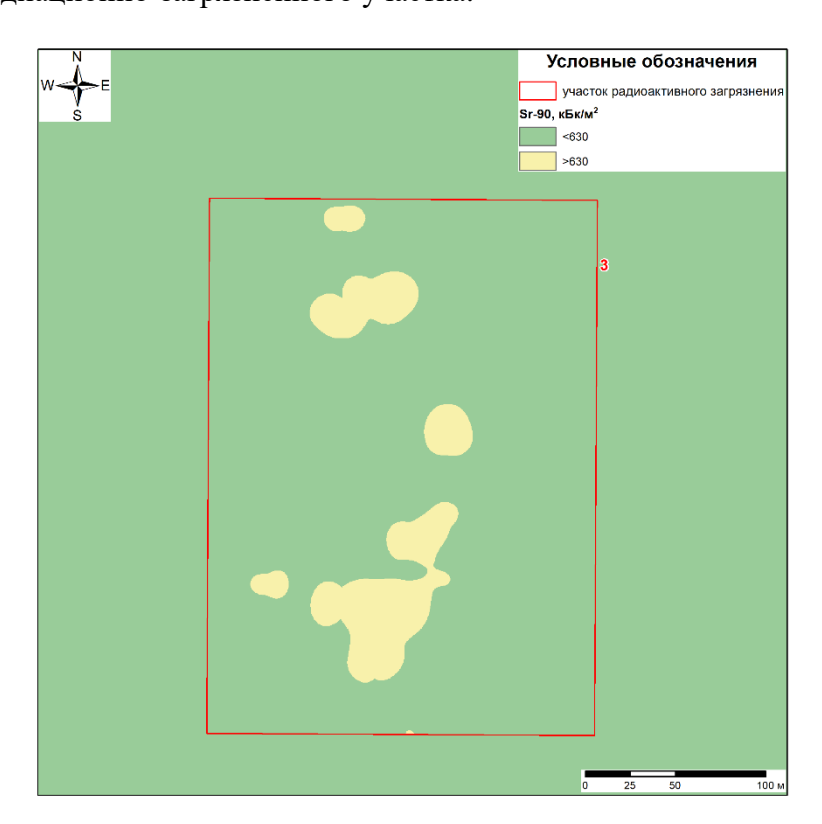


Рисунок 6. Карта площадного распределения <sup>90</sup>Sr на территории участка №3

Диапазон площадных активностей основных техногенных радионуклидов, кБк/м<sup>2</sup>:

- $\bullet$  <sup>241</sup>Am: <4,9×10<sup>2</sup>;
- $^{137}$ Cs <75;
- $\bullet$  90Sr:  $<1,2\times10^2-6,6\times10^4$ ;
- $\bullet$  <sup>239+240</sup>Pu: <4.1×10<sup>2</sup> 5.1×10<sup>2</sup>.

Площадь радиоактивного загрязнения, превышающая значения, указанные в Критериях оценки экологической обстановки территорий, составляет порядка  $1,95 \times 10^{-3}$  км<sup>2</sup>. В тоже время объем радиоактивного материала составляет порядка  $1,95 \times 10^2$  м<sup>3</sup>.

#### Место расположения

Участок радиоактивного загрязнения расположен в центральной части площадки «4». Географические координаты представлены в таблице (Таблица 5).

Таблица 5. Географические координаты участка №4

| No vivo amino |                |    | Географически | ие координаты |    |       |
|---------------|----------------|----|---------------|---------------|----|-------|
| № участка     | Широта Долгота |    |               |               |    |       |
| 4             | 50             | 27 | 25,27         | 77            | 32 | 43,24 |

#### Характеристика источника радиационного загрязнения

Место испытания боевых радиоактивных веществ (БРВ) в период 1953-1957 гг. БРВ представляли собой жидкие или порошкообразные радиоактивные рецептуры.

#### Экологические характеристики объекта

На скважине наиболее показательным техногенным радионуклидом является <sup>90</sup>Sr (Рисунок 7). Он имеет локальный характер и сконцентрирован, в основном, в центральной части радиационно-загрязненного участка.

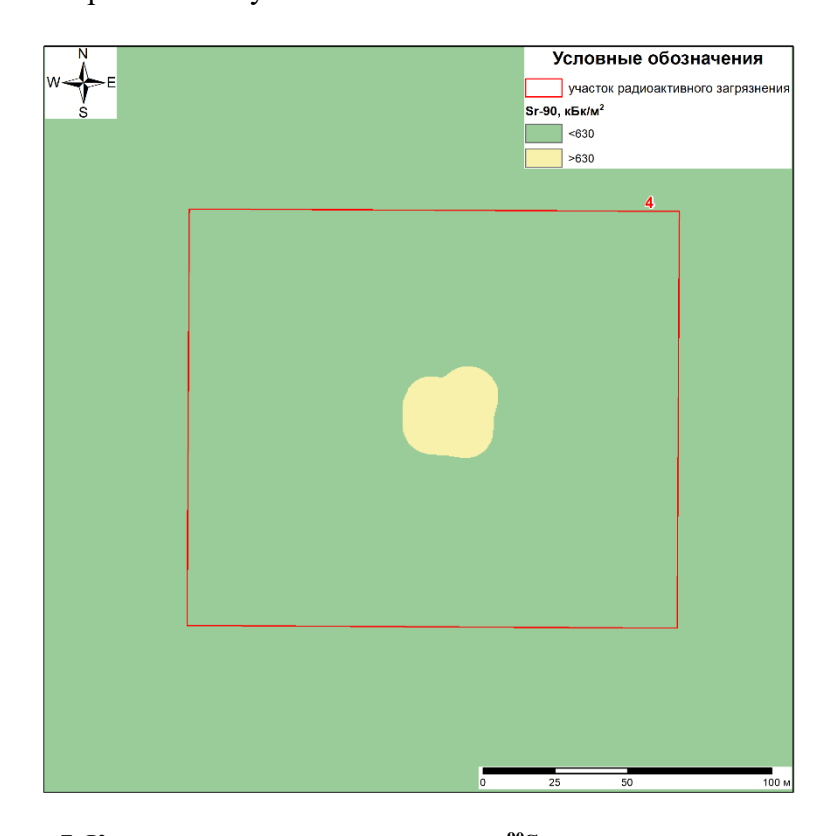


Рисунок 7. Карта площадного распределения <sup>90</sup>Sr на территории участка №4

Диапазон площадных активностей основных техногенных радионуклидов, кБк/м<sup>2</sup>:

- $^{241}$ Am:  $<4,9\times10^2$ ;
- $^{137}$ Cs <75;
- $^{90}$ Sr:  $<1,2\times10^2-2,8\times10^4$ ;
- $\bullet$  <sup>239+240</sup>Pu: <4.1×10<sup>2</sup>.

Площадь радиоактивного загрязнения, превышающая значения, указанные в Критериях оценки экологической обстановки территорий, составляет порядка  $3,89\times10^{-4}$  км<sup>2</sup>. В тоже время объем радиоактивного материала составляет порядка  $3,9\times10^{1}$  м<sup>3</sup>.

#### Место расположения

Участок радиоактивного загрязнения расположен в центральной части площадки «4» на расстоянии 2 км в северо-восточном направлении от ее границы. Географические координаты представлены в таблице (Таблица 6).

Таблица 6. Географические координаты участка №5

| Ī | Мо химо отмо | Географические координаты |        |       |         |    |      |  |  |
|---|--------------|---------------------------|--------|-------|---------|----|------|--|--|
|   | № участка    |                           | Широта |       | Долгота |    |      |  |  |
|   | 5            | 50                        | 27     | 13,43 | 77      | 32 | 1,33 |  |  |

#### Характеристика источника радиационного загрязнения

Место испытания боевых радиоактивных веществ (БРВ) в период 1953-1957 гг. БРВ представляли собой жидкие или порошкообразные радиоактивные рецептуры.

#### Экологические характеристики объекта

На скважине наиболее показательным техногенным радионуклидом является <sup>90</sup>Sr (Рисунок 8). Он имеет локальный характер и сконцентрирован, в основном, в центральной части радиационно-загрязненного участка.

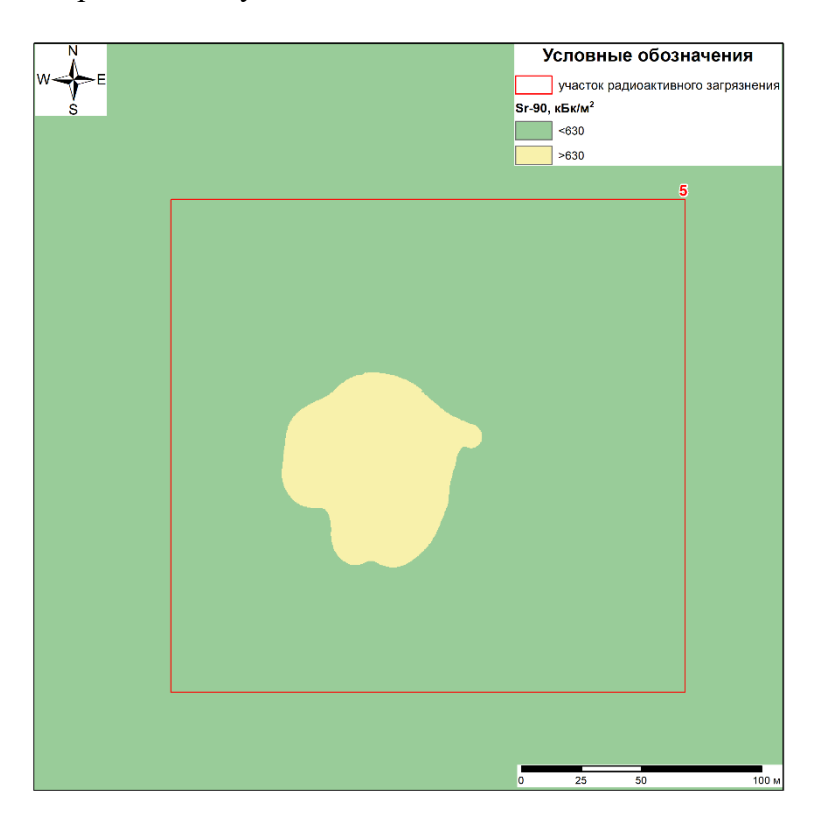


Рисунок 8. Карта площадного распределения <sup>90</sup>Sr на территории участка №5

Диапазон площадных активностей основных техногенных радионуклидов, кБк/м<sup>2</sup>:

- $^{241}$ Am:  $<4.9\times10^2$ :
- $\bullet$  <sup>137</sup>Cs <75 1,1×10<sup>2</sup>;
- $^{90}$ Sr:  $<1,2\times10^2-2,4\times10^4$ ;
- $\bullet$  <sup>239+240</sup>Pu: <4.1×10<sup>2</sup>.

Площадь радиоактивного загрязнения, превышающая значения, указанные в Критериях оценки экологической обстановки территорий, составляет порядка  $3.88 \times 10^{-4}$  км<sup>2</sup>. В тоже время объем радиоактивного материала составляет порядка  $3.9 \times 10^{1}$  м<sup>3</sup>.

#### Место расположения

Участок радиоактивного загрязнения расположен за пределами испытательной площадки «4» на расстоянии  $\sim$ 2 км в юго-западном направлении от ее границы. Географические координаты представлены в таблице (Таблица 7).

Таблица 7. Географические координаты участка №6

| No revo ameno | Географические координаты |    |       |         |    |       |  |
|---------------|---------------------------|----|-------|---------|----|-------|--|
| № участка     | Широта                    |    |       | Долгота |    |       |  |
| 6             | 50                        | 26 | 30,99 | 77      | 28 | 19,56 |  |

#### Характеристика источника радиационного загрязнения

Место испытания боевых радиоактивных веществ (БРВ) в период 1953-1957 гг. БРВ представляли собой жидкие или порошкообразные радиоактивные рецептуры.

#### Экологические характеристики объекта

На скважине наиболее показательным техногенным радионуклидом является <sup>90</sup>Sr (Рисунок 9). Он имеет масштабный характер и сконцентрирован, в основном, в западной части радиационно-загрязненного участка.

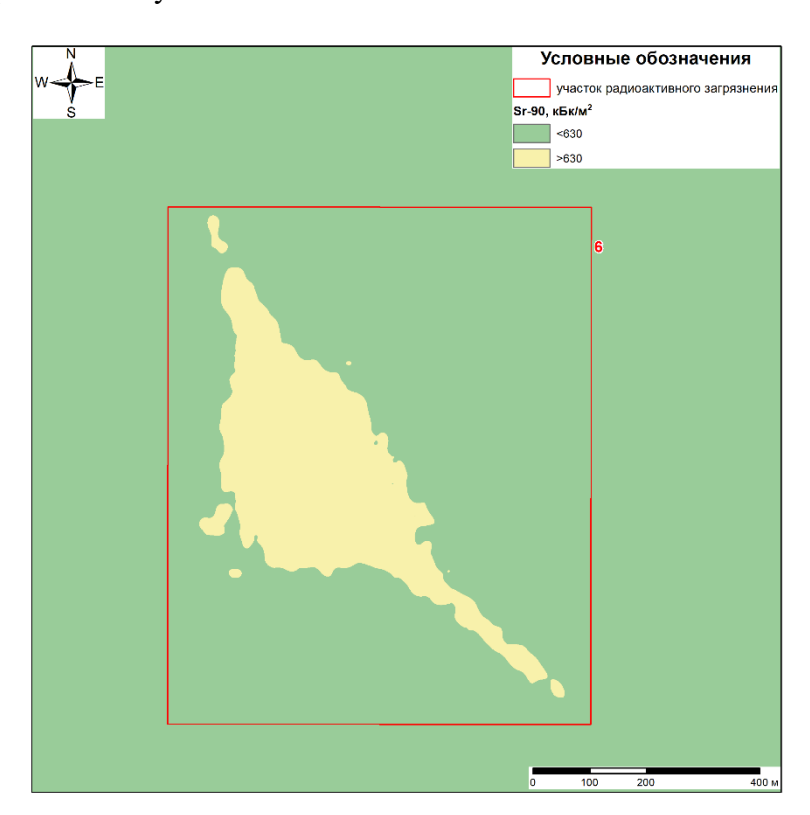


Рисунок 9. Карта площадного распределения <sup>90</sup>Sr на территории участка №6

Диапазон площадных активностей основных техногенных радионуклидов, кБк/м<sup>2</sup>:

- $\bullet$  <sup>241</sup>Am:  $<4.9\times10^2-1.7\times10^3$ ;
- $^{137}$ Cs  $< 75 5.6 \times 10^2$ :
- $^{90}$ Sr:  $<1,2\times10^2-2,4\times10^6$ ;
- $\bullet$  <sup>239+240</sup>Pu: <4,1×10<sup>2</sup> 1,8×10<sup>4</sup>.

Площадь радиоактивного загрязнения, превышающая значения, указанные в Критериях оценки экологической обстановки территорий, составляет порядка  $2,84\times10^{-2}$  км $^2$ . В тоже время объем радиоактивного материала составляет порядка  $3,51\times10^3$  м $^3$ .

#### Место расположения

Участок радиоактивного загрязнения расположен за пределами границ испытательной площадки «4» на расстоянии 2 км в северо-западном направлении от ее границы. Географические координаты представлены в таблице (Таблица 8).

Таблица 8. Географические координаты участка №8

| ĺ | Ма хима атма | Географические координаты |    |       |         |    |       |  |
|---|--------------|---------------------------|----|-------|---------|----|-------|--|
|   | № участка    | Широта                    |    |       | Долгота |    |       |  |
|   | 8            | 50                        | 30 | 10,24 | 77      | 29 | 38,19 |  |

#### Характеристика источника радиационного загрязнения

Место испытания боевых радиоактивных веществ (БРВ) в период 1953-1957 гг. БРВ представляли собой жидкие или порошкообразные радиоактивные рецептуры.

#### Экологические характеристики объекта

На скважине наиболее показательным техногенным радионуклидом является <sup>90</sup>Sr (Рисунок 10). Он имеет локальный характер и сконцентрирован, в основном, в восточной части радиационно-загрязненного участка.

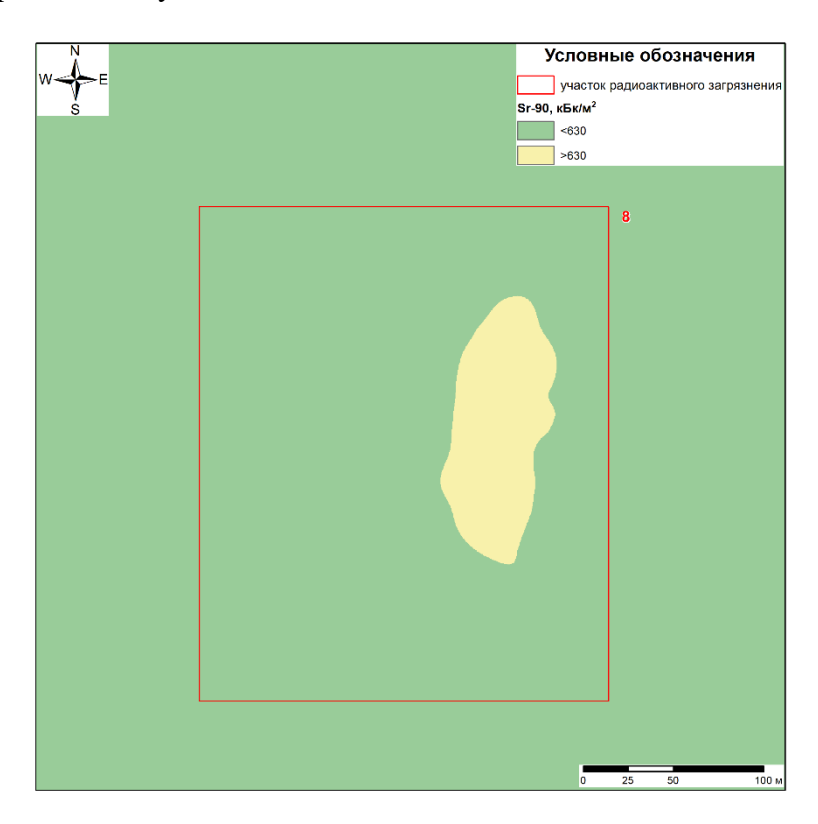


Рисунок 10. Карта площадного распределения <sup>90</sup>Sr на территории участка №8

Диапазон площадных активностей основных техногенных радионуклидов, кБк/м<sup>2</sup>:

- $^{241}$ Am:  $<4,9\times10^{2}$ ;
- $^{137}$ Cs <75;
- $^{90}$ Sr:  $<1,2\times10^2-1,5\times10^4$ ;
- $^{239+240}$ Pu:  $<4.1\times10^2$ .

Площадь радиоактивного загрязнения, превышающая значения, указанные в Критериях оценки экологической обстановки территорий, составляет порядка  $1,55 \times 10^{-3}$  км<sup>2</sup>. В тоже время объем радиоактивного материала составляет порядка  $1,55 \times 10^2$  м<sup>3</sup>.

#### Место расположения

Участок радиоактивного загрязнения расположен в центральной части площадки «4». Географические координаты представлены в таблице (Таблица 9).

Таблица 9. Географические координаты участка №9

| No vivo amino | Географические координаты |    |      |    |    |      |  |
|---------------|---------------------------|----|------|----|----|------|--|
| № участка     | Широта Долгота            |    |      |    |    |      |  |
| 9             | 50                        | 28 | 5,40 | 77 | 32 | 0,76 |  |

#### Характеристика источника радиационного загрязнения

Место испытания боевых радиоактивных веществ (БРВ) в период 1953-1957 гг. БРВ представляли собой жидкие или порошкообразные радиоактивные рецептуры.

#### Экологические характеристики объекта

На скважине наиболее показательным техногенным радионуклидом является <sup>90</sup>Sr (Рисунок 11). Он имеет локальный характер и сконцентрирован, в основном, в центральной части радиационно-загрязненного участка.

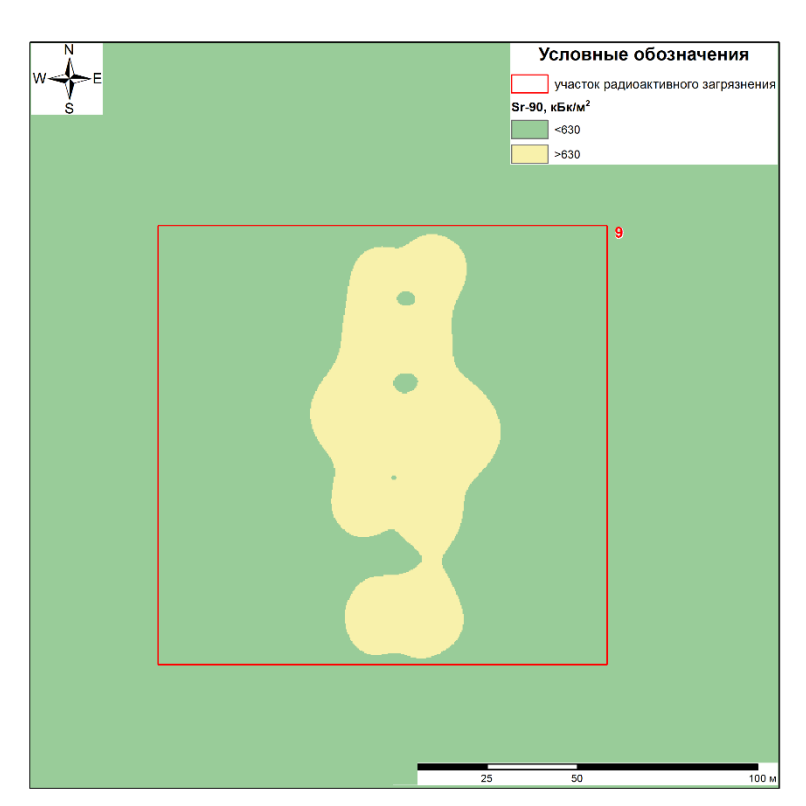


Рисунок 11. Карта площадного распределения <sup>90</sup>Sr на территории участка №9

Диапазон площадных активностей основных техногенных радионуклидов, кБк/м<sup>2</sup>:

- $\bullet^{241}$ Am:  $<4,9\times10^2$ ;
- $^{137}$ Cs <75;
- $^{90}$ Sr:  $<1,2\times10^2-5,9\times10^5$ ;
- $^{239+240}$ Pu:  $<4.1\times10^2$ .

Площадь радиоактивного загрязнения, превышающая значения, указанные в Критериях оценки экологической обстановки территорий, составляет порядка  $9,43\times10^{-4}$  км<sup>2</sup>. В тоже время объем радиоактивного материала составляет порядка  $9,50\times10^{1}$  м<sup>3</sup>.

#### Место расположения

Участок радиоактивного загрязнения расположен в центральной части площадки «4». Географические координаты представлены в таблице (Таблица 10).

Таблица 10. Географические координаты участка №10

| № участка | Географические координаты |    |       |         |    |       |  |
|-----------|---------------------------|----|-------|---------|----|-------|--|
|           | Широта                    |    |       | Долгота |    |       |  |
| 10        | 50                        | 28 | 11,03 | 77      | 31 | 59,55 |  |

#### Характеристика источника радиационного загрязнения

Место испытания боевых радиоактивных веществ (БРВ) в период 1953-1957 гг. БРВ представляли собой жидкие или порошкообразные радиоактивные рецептуры.

#### Экологические характеристики объекта

На скважине наиболее показательным техногенным радионуклидом является <sup>90</sup>Sr (Рисунок 12). Он имеет локальный характер и сконцентрирован, в основном, в центральной части радиационно-загрязненного участка.

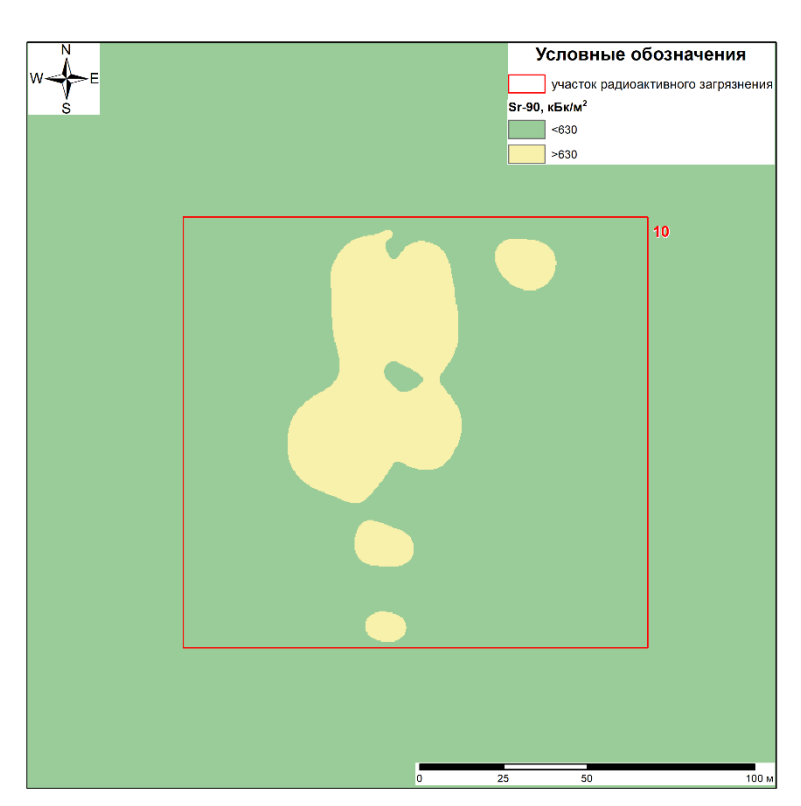


Рисунок 12. Карта площадного распределения <sup>90</sup>Sr на территории участка №10

Диапазон площадных активностей основных техногенных радионуклидов, кБк/м<sup>2</sup>:

- $\bullet$  <sup>241</sup>Am: <4,9×10<sup>2</sup>;
- $^{137}$ Cs <75;
- $\bullet$  90Sr:  $<1,2\times10^2-8,5\times10^5$ ;
- $^{239+240}$ Pu:  $<4.1\times10^2$ .

Площадь радиоактивного загрязнения, превышающая значения, указанные в Критериях оценки экологической обстановки территорий, составляет порядка  $1,10\times10^{-3}$  км<sup>2</sup>. В тоже время объем радиоактивного материала составляет порядка  $1,13\times10^2$  м<sup>3</sup>.

#### Место расположения

Участок радиоактивного загрязнения расположен в центральной части площадки «4». Географические координаты представлены в таблице (Таблица 11).

Таблица 11. Географические координаты участка №11

| № участка | Географические координаты |    |      |         |    |       |  |
|-----------|---------------------------|----|------|---------|----|-------|--|
|           | Широта                    |    |      | Долгота |    |       |  |
| 11        | 50                        | 28 | 5,52 | 77      | 31 | 43,58 |  |

#### Характеристика источника радиационного загрязнения

Место испытания боевых радиоактивных веществ (БРВ) в период 1953-1957 гг. БРВ представляли собой жидкие или порошкообразные радиоактивные рецептуры.

#### Экологические характеристики объекта

На скважине наиболее показательным техногенным радионуклидом является <sup>90</sup>Sr (Рисунок 13). Он имеет локальный характер и сконцентрирован, в основном, в центральной части радиационно-загрязненного участка.

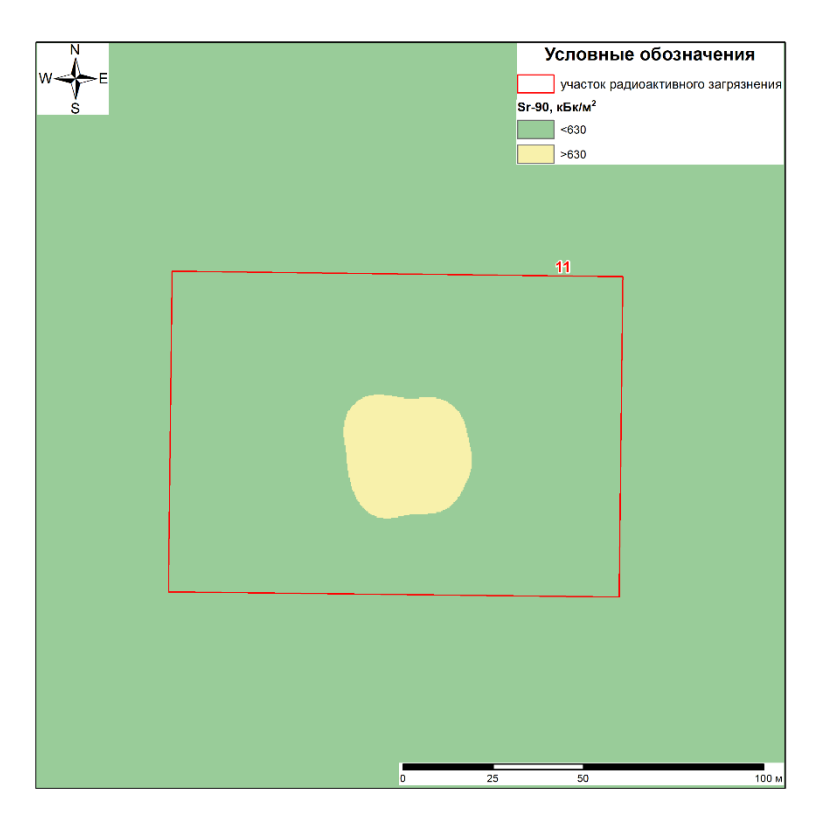


Рисунок 13. Карта площадного распределения <sup>90</sup>Sr на территории участка №11

Диапазон площадных активностей основных техногенных радионуклидов, кБк/м<sup>2</sup>:

- $\bullet$  <sup>241</sup>Am: <4,9×10<sup>2</sup>;
- $\bullet$  <sup>137</sup>Cs <75 93;
- $^{90}$ Sr:  $<1,2\times10^2-5,4\times10^4;$
- $\bullet$  <sup>239+240</sup>Pu: <4.1×10<sup>2</sup>.

Площадь радиоактивного загрязнения, превышающая значения, указанные в Критериях оценки экологической обстановки территорий, составляет порядка  $2,21\times10^{-4}$  км<sup>2</sup>. В тоже время объем радиоактивного материала составляет порядка  $2,20\times10^{1}$  м<sup>3</sup>.

#### Место расположения

Участок радиоактивного загрязнения расположен в близи северо-восточной границы площадки «4» на расстоянии 50 м. Географические координаты представлены в таблице (Таблица 12).

Таблица 12. Географические координаты участка №14

| № участка | Географические координаты |    |       |         |    |       |  |
|-----------|---------------------------|----|-------|---------|----|-------|--|
|           | Широта                    |    |       | Долгота |    |       |  |
| 14        | 50                        | 28 | 16,31 | 77      | 29 | 15,75 |  |

#### Характеристика источника радиационного загрязнения

Место испытания боевых радиоактивных веществ (БРВ) в период 1953-1957 гг. БРВ представляли собой жидкие или порошкообразные радиоактивные рецептуры.

#### Экологические характеристики объекта

На скважине наиболее показательным техногенным радионуклидом является <sup>90</sup>Sr (Рисунок 14). Он имеет локальный характер и сконцентрирован, в основном, в центральной части радиационно-загрязненного участка.

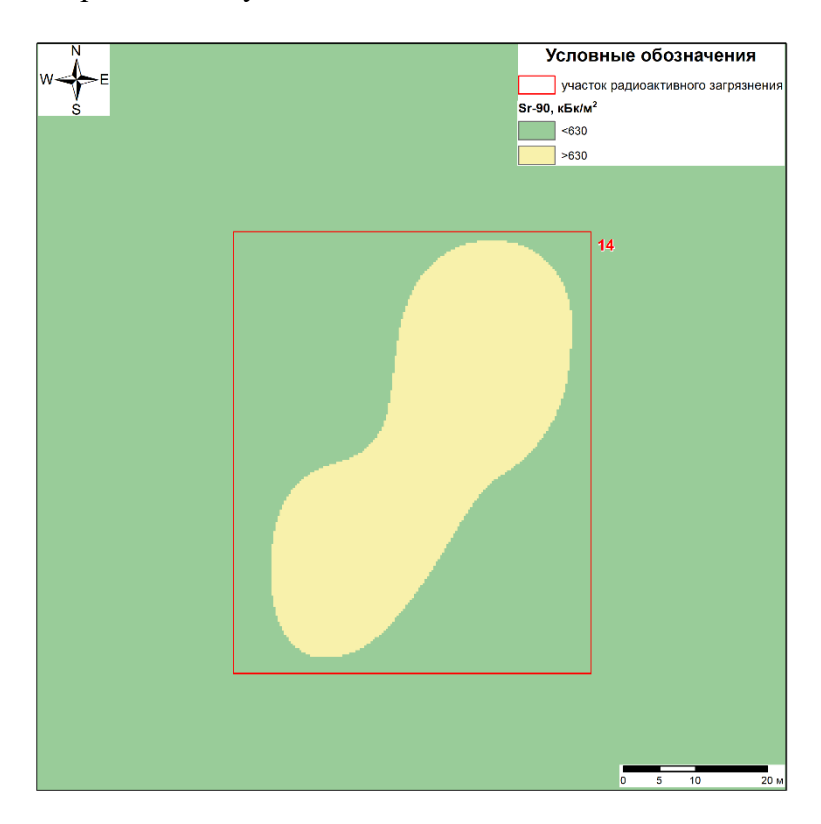


Рисунок 14. Карта площадного распределения <sup>90</sup>Sr на территории участка №14

Диапазон площадных активностей основных техногенных радионуклидов, кБк/м<sup>2</sup>:

- $^{241}$ Am:  $<4.9\times10^2$ :
- $^{137}$ Cs < 75;
- $^{90}$ Sr:  $<1,2\times10^2-1,5\times10^4$ ;
- $\bullet$  <sup>239+240</sup>Pu: <4.1×10<sup>2</sup>.

Площадь радиоактивного загрязнения, превышающая значения, указанные в Критериях оценки экологической обстановки территорий, составляет порядка  $6,60\times10^{-5}$  км<sup>2</sup>. В тоже время объем радиоактивного материала составляет порядка  $7,0\times10^0$  м<sup>3</sup>.

#### СПИСОК ИСПОЛЬЗОВАННЫХ ИСТОЧНИКОВ

- 1 Сайбеков Т.С., Абылаев Ж.А. Атлас. Радиационная обстановка на территории Республики Казахстан с 1954 по 1994 годы. Алматы: Министерство экологии и биоресурсов РК, 1997- Т.16, Семипалатинская область. 400 с.
- 2 Логачев В. Радиоэкологические последствия испытаний БРВ на Семипалатинском полигоне / В. Логачев; под рук. Н.Я. Левченко // Бюллетень по атомной энергии. Центральный научно-исследовательский институт управления, экономики и информации. 2002. -№ 12. 94 с.
- 3 Радиоэкологические последствия испытаний БРВ на Семипалатинском полигоне // Бюллетень по атомной энергии, №12, 2002 г.
- 4 Логачев В. Радиоэкологические последствия испытаний БРВ на Семипалатинском полигоне // Бюллетень по атомной энергии, №12, 2002 г.